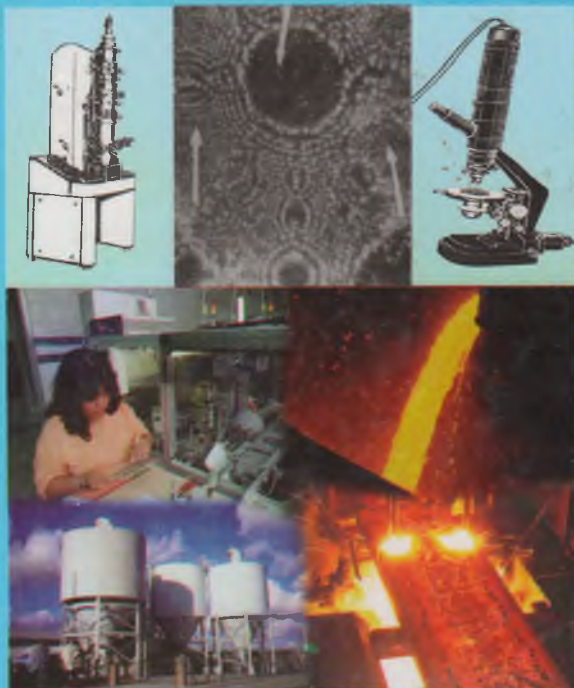


А.А. ИСМАТОВ

СИЛИКАТ ВА ЗҮРФАСУЮЛУВЧАН
МАТЕРИАЛЛАР ФИЗИК-КИМЁВИЙ
ТАҲЛИЛИНИНГ ЗАМОНАВИЙ
УСУЛЛАРИ



ЎЗБЕКИСТОН РЕСПУБЛИКАСИ
ОЛИЙ ВА ЎРТА МАХСУС ТАЪЛИМ ВАЗИРЛИГИ

А. А. И С М А Т О В

**СИЛИКАТ ВА ЗЎРФАСУОЛУВЧАН
МАТЕРИАЛЛАР ФИЗИК - КИМЁВИЙ
ТАҲЛИЛИНИНГ ЗАМОНАВИЙ
УСУЛЛАРИ**

Ўзбекистон Республикаси Олий ва ўрта маҳсус таълим
вазирлиги томонидан олий ўқув юртларининг
кимёвий-технология факультетлари талабалари учун
шурӯв қўлланма сифатида тавсия этилган

ТОШКЕНТ – 2006

А.А.Исматов. Силикат ва зўрга суюловчан материаллар физик-кимёвий таҳлилиниң замонавий усуллари.
Т., «Fan va texnologiya», 2006, 272 б.

Ўқув қўлланмада кимёвий технология, шу жумладан, ноорганик моддалар, силикат ва зўргасуюловчан материаллар, камёб, тарқоқ ва нодир металлар физик-кимёвий таҳлилиниң замонавий усуллари, айниқса, микроскопия, рентгенография, ИК спектроскопия ва термография ҳақида маълумот берилади. Ҳар бир усул алоҳида ёритилиб, унга таалуқли аппаратлар, уларнинг тузилиши, ишлаш принципи ва уларда иш олиб бориши тартиби ҳақида маълумотлар киритилган. Текширилаётган обьект намуналарини тайёрлаш йўллари ҳам кўрсатилган.

"Физик-кимёвий таҳлилниң замонавий усуллари" фани ўқув қўлланмаси В 522400 – «Кимёвий технология» йўналишида ўқитиладиган "Силикат ва зўргасуюловчан материаллар технологияси" соҳасида таълим олаётган 4-курс кундузги ва 5-курс сиртқи бўлимларнинг талабалари учун мўлжалланган. Ундан «Ноорганик моддалар технологияси», «Камёб, нодир ва тарқоқ металлар технологияси», «Электро-кимёвий ишлаб чиқариш ва коррозиядан сақлаш технологияси» соҳалари талабалари, илмий мутахассислар, магистрантлар, ишлаб чиқаришдаги муҳандис ва техник ходимлар ҳам фойдаланишлари мумкин.

Тақризчилар: **С.Т.Тўхтаев** – Ўзбекистон Республикаси
Фанлар Академиясининг ҳақиқий аъзоси,
кимё фанлари доктори, профессор.
Н.П.Исмоилов – кимё фанлари
доктори, профессор.
П.А.Арипов – техника фанлари номзоди

СҮЗ БОШИ

В 522400 – «Кимёвий технология» йўналишининг асосий соҳаларидан бири “Силикат ва қийин суюқланадиган материаллар технологияси” соҳаси бўйича бакалавр касб фаолиятлари доираси кент ва обьектлари жуда кўп. Булар қаторига саноат корхоналарида ишлаб чиқарилган буюмлар, ашёлар, уларнинг таркиби ва хусусиятларини аниқловчи усуллар, асебблар, кўп мақсадларга мўлжалланган боғловчи модда, керамика ҳамда шишасимон буюмлар олишда қўлланиладиган жиҳозлар, юқори самарали технологик жараёнлар, тизимлар, атроф-муҳит ҳолатини баҳолаш услублари, воситалари, саноат ишлаб чиқариши, энергетика ва транспорт таъсиридан атроф-муҳитни ҳимоялаш кабилар киради.

Юқоридаги факторларни аниқлаш, уларга таъсир ўтказиш ва яхшилашда “Физик-кимёвий таҳтилнинг замонавий усуллари” фанининг роли бениҳоят катта. Шунинг учун ҳам силикат ва зўргасуюлувчан материаллар технологияси мутахассислигига оид кадрлар тайёрловчи олий ва маҳсус ўргу ўкув юртларининг ўкув режасидан у мустақил фан сифатида ўрин эгаллаган.

Ушбу ўкув қўлланма олий техника ўкув юртлари “Боғловчи материаллар кимёвий технологияси”, “Керамика ва ўтга чидамли материаллар кимёвий технологияси”, “Шиша ва ситаллар кимёвий технологияси” ва “Электрон техника воситалари кимёвий технологияси” ихтиососликлари дастурларига мувофиқ ўзбек тилида ёзилган.

Ўкув қўлланмана беш бобдан ташкил топган. Унинг биринчи бобида “Физик-кимёвий таҳтилнинг асосий усуллари” га оид умумий масалалар қисқача тарзда ёритилган. Иккинчи боб микроскопик, учинчи боб инфрақизил спектрскопик, тўртинчи боб термик ва ниҳоят бешинчи боб рентгенографик таҳтилга бағишиланган.

Ўкув қўлланмани ёзишда муаллиф ўзининг Тошкент кимё-технология институтининг “Силикат материаллар технологияси” кафедрасида узоқ вақт давомида талабаларга ўқыган маъруза материалларини асос қилиб олган.

Мазкур ўкув қўлланмани нашрга тайёрлашда фойдали маслаҳатлар ва танқидий фикр-мулоҳазалар билдирган акад. С.Т. Тұхтаев, т.ф.н. П.А. Арипов ва К.Ф.д., проф. К.А. Ахмеровларга муаллиф самимий миннатдорчилик билдиради.

Ўкув қўлланма биринчи бор нашр қилинаётганлиги сабабли фойдаланувчиларнинг қўйидаги манзилга юборилган барча истак, фикр ва танқидий мулоҳазалари мамнуният билан қабул қилинади: 700011, Тошкент, Навоий кўчаси, 32, ТошКТИ.

КИРИШ

Олий таълим йўналишлари ичидаги В 522400 – «Кимёвий технология» йўналишига кирувчи «Силикат ва зўрғасу олувчан материаллар технологияси», «Ноорганик моддалар технологияси» ва «Камёб, нодир ва тарқоқ металлар технологияси» мухим ўринни эгаллайди.

Силикат ва қийин суюқланадиган материаллар технологияси – физикавий, физик-кимёвий, кимёвий ва биологик жараёнлар ёрдамида кўп мақсадларга мўлжалланган керамика, шишасимон ва боғловчи моддалар ҳамда электрон техникиаси буюмларини олиш ва яратиш услублари, усуслари ва воситалари мажмуасини қамраб олувчи фан ва техника соҳасидаги йўналишларидир.

Бу йўналиш бўйича бакалавр касб фаолиятлари доираси ва обьектлари қўйидагилардан иборат: силикат ва қийин суюқланадиган буюмлар ва ашёлар; уларнинг таркиби ва хусусиятларини аниқловчи усуслар ва асбоблар; кўп мақсадларга мўлжалланган керамика, шиша ва боғловчи моддалар ва ашёлар олишда қўлланиладиган жиҳозлар, юқори самарали технологик жараёнлар ва саноат тизимлари, уларни бошқариш; атроф-муҳит ҳолатини баҳолаш услублари ва воситалари, саноат ишлаб чиқариши, энергетика ҳамда транспорт таъсиридан атроф-муҳитни ҳимоялаш.

Силикат ва қийин суюқланадиган материаллар технологияси соҳаси бўйича бакалавр фундаментал, умумкасб ва маҳсус тайёргарликка мувофиқ равишда қўйидаги касбий фаолият турларини юритиши мумкин:

ଠ технологик фаолият: цех, бўлим, участка технологи сифатида ишлаш; кўп мақсадларга мўлжалланган керамика, шишасимон ва боғловчи моддалар ишлаб чиқариш соҳаси бўйича ҳаракатдаги ишлаб чиқаришда участкани, цехни эксплуатация қилиш; хом ашё, ёрдамчи материаллар ва тайёр маҳсулотлар сифатини назорат қилиш, ана шу ишлаб чиқаришларни ташкил этиш ва такомиллаштириш бўйича технологик ечимларни

ишилаб чиқиш; намунавий технологик жараёнларни қўллаш; технологик схемаларни таҳдил қилиш ва технологик кўрсаткичлар ҳисобини юритиш; ҳаракатдаги технологик жиҳозларнинг ишлашини таъминлаш, уларнинг ишга яроқлилигини сақлаш ва тиклаш;

п лойиҳавий фаолият: ностандарт ва намунавий технологик аппаратлар, ускуналар, жиҳозларни лойиҳалаш ва лойиҳа ҳужжатларини расмийлаштириш;

- илмий фаолият: янги моддалар ва ашёлар синтези соҳаларида илмий-тадқиқотлар ўтказиш; керамика (нафис, қурилиш, функционал ва машинасозлик керамикаси, чинни, сопол, иссиқлик ҳимояловчи ва ўтга чидамли материаллар – шамот ва динас гиштлари, таркибига магний, хром, цирконий ва бошқа қийин эрувчан элементлар кирган буюмлар ва бошқалар), шиша-сизмон (шиша, қийин суюқланадиган шиша, шиша толаси, толали оптика, лазер шишааси, люминисцент шишааси, ярим ўтказувчан шиша, ўта юқори ўтказувчан шиша, эмаль ва ҳимояловчи қатлам, шишақристалл материаллар ва бошқалар) ва боғловчи материаллар (цемент, асбоцемент буюмлари, гипсли ва оҳакли боғловчи, автоклав материаллар ва ҳоказолар) ҳамда электрон техникаси буюмлари кимёвий технологиясининг янги жараёнларини ишилаб чиқиш; ишилаб чиқариш ускуналарини моделлаштириш ва оптималлаштириш, янги яратилган технологик жараённи синаш ва тажрибалар ўтказиш; ишлаётган ва олингган моддалар ва ашёларнинг хоссаларини аниқлаш ва таҳдил этиш; патент қидибуви ишларини олиб бориш ва адабиётлар таҳлилини ўтказиши.

Бакалавр В522400 – «Кимёвий технология» йўналиши «Силикат ва қийин суюқланадиган материаллар технологияси» соҳаси бўйича магистратурада камида 2 йил муддатда қуйидаги мутахассисликлар бўйича ўқиши давом эттирилади:

- | | |
|----------|--|
| M 522412 | п Силикат ва зўргасуюлувчан материаллар кимёвий технологияси |
| M 522413 | п Керамик ва оловбардош буюмлар кимёвий технологияси |
| M 522414 | п Шиша ва ситаллар кимёвий технологияси |
| M 522415 | п Боғловчи материаллар кимёвий технологияси |
| M 522424 | п Электрон техника буюм ва материаллари кимёвий технологияси |

Юқорида санаб ўтилган касбий фаолият турларини амалга оширишда, саноат корхоналарида чиқарилаётган маҳсулотларнинг хоссаларини ўрганишда, шунингдек, илмий-текширув ишларини кенг кўламда олиб боришида “Физик-кимёвий таҳлилнинг замонавий усуллари” фанининг роли жуда катта. Бу фанга оид ўзбек тилидаги китобларнинг камлиги туфайли ушбу ўқув қўлланмаси ёзилди.

Ўқув қўлланмада физик-кимёвий таҳлилиниң микроскопия, рентгенография, инфрақизил спектроскопия, электрон микроскопия, термография ва бошқа усуллари ҳақидаги маълумотлар келтирилади. Усулларга оид маълумотлар беришда қуйидагиларга аҳамият берилган: усулларнинг кашф этилиш тарихи, уларнинг назарий асослари, ишлатиладиган асбобларнинг тузилиши ва ишлаш ҳолати, ҳисоблаш ҳамда усуллардан фойдаланишга асосланган мисоллар.

БИРИНЧИ БОБ

ФИЗИК-КИМЁВИЙ ТАҲЛИЛНИНГ АСОСИЙ УСУЛЛАРИ

1-§. Физик-кимёвий таҳлил усуулларини ривожлантиришда жаҳон, Марказий Осиё ва Ўзбекистон олимларининг ҳиссаси

Кириш қисмида қайд қилганимиздек, кимёвий модда, камёб, тарқоқ ва нодир металлар, силикат ва зўргасуюлувчан материаллар ва уларни ташкил қилган айрим хом ашёларнинг кимёвий-минералогик таркибини мукаммал ўрганиш ва уларнинг вужудга келишини физик-кимёвий қонунлар асосида талқин этиш физик-кимёвий таҳлил усуулларининг асосини ташкил қиласди. Физик-кимёвий таҳлил усуулларини ривожлантиришда кўпгина ривожланган мамлакатларнинг олимлари катта ҳисса қўшишган. Масалан, микроскопия усули пайдо бўлишида италиялик Г.Галилей, германиялик И. Кеплар ва Лазо, голландиялик А.Левенгук, англиялик Р. Гук, франциялик Берtrand, россиялик С.С. Федоров каби ўнлаб олимларнинг илмий изланишлари асос бўлди. Рентгенографик текшириш усулининг яратилишига немис физиги Рентген, инглиз физиклари ота-бола Брегглар, Лауэ, Шеррер каби олимлар асос сошлишди. Инфрақизил спектроскопия усули Брестер, Леон, Бер, Л.Н.Лазарев каби олимлар иши туфайли ривожланди. Термография усулининг ривож топишига Ле-Шателье, Де Кейзер, А.С. Курнаков, Л.Г. Берг каби жаҳон олимлари ҳисса қўшишди.

Физик-кимёвий таҳлил усууллари ривожида Марказий Осиё давлатлари, шу жумладан, Ўзбекистон олимларининг хизматлари ҳам катта. Қозоғистон Фанлар Академиясининг ҳақиқий аъзоси С.Т. Сулейменов, фан докторлари Т.Абдувалиев, Б.О.Есимов, З.А.Естемесов, А.А.Мирзахўжаев, И.С.Аҳметов, Ўзбекистон Фанлар Академиясининг ҳақиқий аъзолари Ҳ.М.Абдулаев, И.Ҳ.Ҳамрабоев, Н.А.Парпиев, М.Н.Набиев, С.Т.Тўхтаев, фан докторлари Н.А.Сирожиддинов,

Х.Т.Шарипов, Б.И.Нудельман, А.А.Исматов, С.С.Қосимова, М.Ю.Юнусов, А.П.Иркаходжаева, Д.Д.Гуломова, Р.И. Абдуллаева, А.М. Эминов, Д.У. Тұлаганов, М. Искандарова ва бошқалар физик-кимёвий таҳлил усулларининг құлланиши ва ривожлашишига оид күплаб мақолалар чоп этишди ва асарлар яратылды.

2-§. Физик-кимёвий таҳлил таърифи

Физик-кимёвий таҳлил – тайёр маҳсулот олиш учун ишлаб чиқариш жараёнларида құлланиладиган усул ва методлар (хом ашё, материал ёки ярим фабрикатларга ишлов бериш, арапаштириш, қолиплаш, қуритиш, күйдириш каби жараёнлар орқали уларнинг ҳолати, шакли ва хусусиятини ГОСТ, ТУ каби техник шароитлар талаблари бүйича ўзгартыши) мажмумини тұла таъминловчи ва шу билан бирга технологик процессларнинг турли босқичларидаги назоратни ҳам ўз ичига олган кимёвий, физик-кимёвий ва физикавий омиллар йиғиндиси.

Физик-кимёвий таҳлилда шу кунга қадар инсониятта маълум бўлган барча асосий анализ методлари группасидан, чунончи кимёвий (вазн, ҳажм, колориметрик, газ ҳажмий ва бошқа), физик-кимёвий (электровазний, потенциометрик, амперометрик, полярографик, фотоколориметрик, хроматографик ва бошқа) ва физикавий (рентгеноспектрал, алана фотометрияси, масса спектроскопик, люминесцент, активацион, магнит каби) анализ методларидан фойдаланилади.

Физик-кимёвий таҳлил маҳсулот ишлаб чиқарувчи корхона талабларидан келиб чиқсан ҳолда бир қатор турларга ажralади. Унинг маркировка методида истеъмолчиларга узатилувчи тайёр материал кимёвий таркибининг маркаси ёки сиртида күрсатилган таркиб ёки хоссага тұғри келиш-келмаслиги аниқланади. Тезлаштирилган ёки экспресс метод материал кимёвий таркиби ёки унга кирган бирор кимёвий модда микдорини технологик жараён бүйича текширища құлланилади. Назорат ёки арбитраж методи таъминловчи муассаса билан истеъмолчи муассаса ўртасида материалнинг кимёвий таркиби ёки бирор хосса-хусусияти (масалан, пишиқ, ғиыш ва портландцемент маркаси) тұғрисида келишмовчилек юз берган тақдирда үтказилади.

Физик-кимёвий таҳлил кейинги вақтларда фан ва техника-нинг турли соҳаларida кимёвий бирикма, минерал, тупроқ,

курилиш материаллари, керамика хом ашёси ва бошқаларни текширишда кенг қўлланмоқда. Айниқса, саноатда технологик жараёнлар назорати ва материаллар анализида у жуда ҳам қўл келмоқда.

Силикат ва қийин суюқланувчи моддалар, табиий ва сунъий минераллар ҳамда кимёвий бирикмаларнинг тузилмалари, фазовий таркиблари, микротузилиши, иссиқлик таъсирида хоссаларини ўзгартиришлари физик-кимёвий текширишлар орқали аниқланади. Силикат моддалари асосида олинган барча маҳсулот тури, масалан, цемент кукуни, керамика буюми, шиша ва турли турдаги электрон материаллари (цемент, шифер, гипс, оҳак, ғишт, оловбардош буюм, самарадор ғишт, кошин, қувур, ойна, шишақристалл, диэлектрик, ўтказгич ва бошқалар) нинг тузилиши ва хоссалари ҳам физик-кимёвий усулда текшириш орқали амалга оширилади.

Текширилаётган модда ёки минерални чукур таҳлил этишда фақат бир ёки икки параметр маълумотлари бўйича чекланиб қолмасдан, балки уни комплекс равишда таҳлил этиш лозим. Олинган натижалар бир-бирини тўлдириб, текширилаётган обьект ҳақида тўлиқ бир хулоса чиқаришга имкон беради.

Фаннинг биринчи ва асосий вазифаси физик-кимёвий таҳлилнинг асосий усулларини талабаларга сингдиришдан иборат. Бунинг учун текширилаётган модда ёки минералнинг на-муналарини тўғри тайёрлаш, қўлланилаётган усул талабларини тўғри бажариш лозим.

Анъянавий янги материаллар, янги технологиялар барпо этишда, қайтадан барпо этилган технологик жараёнда тажриба ишларни бажаришда тегишли таҳлилларни қўллаш, илмий-тадқиқот ишларни бажариш бўйича талабалар маҳоратини ошириш, ишлатиладиган хом ашёлар ҳамда олинадиган материаллар, маҳсулотларнинг кимёвий-минералогик таркиби, хоссалари, уларнинг хусусиятларини аниқлаш, таҳлил қилиш, шунингдек, патент излаш, адабиётлардаги маълумотларни тўплаш, ўрганиш ва бошқалар ҳам «Физик-кимёвий таҳлилнинг замонавий усуллари» фанининг асосий вазифалари қаторига киради.

Илмий таҳлилни саноатда қўллаш орқали ишлаб чиқариллаётган маҳсулот сифати яхшиланади ва таниархининг арzonлашишига эришилади.

3-§. Фанда құлланыладиган асосий түшүнчалар

Силикат моддалар, минераллар, хом ашёлар ва маҳсулоттарни физик-кимёвий усулда таҳлил этишда жиҳозларни тұғри танлаш ҳамда шу жиҳозлар учун талаб асосида намуналарни тұғри тайёрлаш лозим бўлади.

Моддаларни микроскопия, электронмикроскопия, рентгенография, термография ва бошқа усулларда текширилаётганда техника хавфсизлиги қоидаларига қатый риоя қилиш, асбоб ҳамда хоналарни нурлардан ҳимояловчи қопламалар билан жиҳозлаш, хона ҳавосини янгилаб туриш мұхим аҳамиятта эга.

Физик-кимёвий таҳлилнинг замонавий усулларида құлланыладиган асосий қоида икки мұхит (физикавий ва кимёвий) - нур (тебраниш) билан кимёвий модда, камёб, тарқоқ ва нодир металл, силикат ёки зўргасуюлувчан материал үртасидан ўзаро мулоқот ва муносабатдир.

Нурлар (тебранишлар) ва уларнинг тұлқин узунликларига оид маълумотлар 1 ва 2 жадвалларда берилған.

Ёруғлик нурлари ёки оқ нурларнинг таркиби мураккаб бўлиб, спектрнинг бизга маълум барча ранглари йигиндисидан иборат, кўз билан кўриш мумкин бўлган рангларнинг тұлқин узунликлари 400 ммк дан 760 ммк гачадир. Улардаги узун ва қисқа тұлқинли нурларни кўз билан кўриб бўлмайди.

I-жадвал

Электромагнит нурларининг тури ва уларга тааллуқлы тұлқин узунликлари

Нур турлари	Тұлқин узунлиги	
	A	Mк
Радиотұлқынлар	10^{13} - 10^7	10^9 -1000
Инфрақизильтурлар	10^7 - $7,6 \times 10^3$	1000-0,76
Ёруғлик нурлари	$7,6 \times 10^3$ - 4×10^3	0,76-0,40
Ультрабинафша нурлар	4×10^3 - 10^2	0,04-0,01
Рентген нурлари	10^2 - 10^{-1}	0,01-0,00001
Гамма нурлари	10^{-1} - 10^{-4}	0,00001- 10^{-8}

Усулларда құлланыладиган асосий қоида - текширилаётган моддага йұналтирилған нурнинг ҳолати. У қисман қайтади, қисман ютилади ва қисман үтиб кетади. Турли мосламалар ёрдамида уларни ҳисобга олиш ва шу тариқа модданинг тузилиши

ёки хоссаси ҳақида аниқ бир фикрға келиш физик-кимёвий таҳлилнинг замонавий усуллари асосини ташкил этади.

2-жадвал

Ёруғлик нурларининг тури ва уларга тааллуқли тұлқин узунликлари

Нур турлари	Тұлқин узунлиги	
	A	Mк
Қызыл нурлар	$7,6 \times 10^3$ - $6,4 \times 10^3$	0,76 - 0,64
Сарық нурлар	$6,4 \times 10^3$ - $5,8 \times 10^3$	0,64 - 0,58
Күк нурлар	$5,8 \times 10^3$ - $4,95 \times 10^3$	0,58 - 0,495
Ҳаворанғ нурлар	$4,95 \times 10^3$ - $4,4 \times 10^3$	0,495 - 0,44
Бинафша нурлар	$4,4 \times 10^3$ - $4,0 \times 10^3$	0,44 - 0,40

Физик-кимёвий таҳлилнинг микроскопия усулида микроскоплар-поляризацион микроскоп ва металлографик микроскоп, шлиф ва аншлиф, кристалл формалари ва сингониялари каби тушунчалар күп учрайди.

Рентгенография усулида рентген нури, рентген аппарати, рентген камераси, дифракция, дифрактограмма, рентгентузилмавий анализ, тузилмавий константалар, фазовий анализ кабилар кенг қўлланилади.

Термография усулида эндо-экзотермик эффектлар, дифференциал термик анализ, термогравиметрия, термограмма, дериватограмма, термик эффект каби тушунчалар асосида таҳлил олиб борилади. Эндоэффект ва экзо эффектлар пайдо бўлишининг негизида кимёвий ёки бошқа жараёнларда иссиқлик чиқиши ёки ютилиши ётади.

Инфрақизил спектроскопия усулида инфрақизил нури, ютилиш, ўтказиш ва қайтарилиш спектрлари, оптик призмалар ва уларнинг ўтказиш диапозони, спектрофотометрлар, глобар каби тушунчаларга асосланыб тадқиқотлар олиб борилади.

4-§. Физик-кимёвий таҳлилнинг асосий усуллари

Кимёвий модда, камёб, нодир ва тарқоқ металлар, силикатлар, зўргасуюлувчан материаллар, тоғ жинслари ҳамда уларга ўхшаш сунъий маҳсулотлар жуда хилма-хил ва мураккаб. Шунинг учун уларнинг хусусиятлари ва таркиблари ҳам турлича-

дир. Бундай материалларни текшириш усуллари ҳам турлича бўлиб, уларни икки катта группага ажратиш мумкин:

1. Оптика усуллари. Бу группага умумий номи кристаллооптика деб аталувчи иммерсион таҳлил, металлографик таҳлил, монокристаллар таҳлили кирган бўлиб, улар маҳсус оптика асбоблари-поляризацион ва металлографик микроскоплар орқали олиб борилади.

2. Кимёвий ва физик-кимёвий усуллар. Буларга петрографиянинг петрокимё, петрургия, петрофизика каби соҳалари киради. Бу усуллар ёрдамида силикат ва зўрғасуюловчан материалларининг таркибини мукаммал ўрганиш ва уларнинг пайдо бўлиши, хосса-хусусиятларини физик-кимёвий қонунлар нуқтаи назаридан талқин этиш мумкин. Ҳозирги вақтда минералогик-геокимёвий текшириш усули номи билан аталувчи тадқиқотларни ўтказишида спектрал, рентген спектрал ва радиометрик анализ усулларидан фойдаланилади.

Петрокимё усули ёрдамида жинс ҳосил қилувчи элементларнинг тақсимланиши ҳисобга олинади. Минералогик - геокимё усулида эса жинслар таркибига кирган тарқоқ ҳолда ва микдори оз бўлган минераллар аниқланади. Рентгеноэлектрон микроанализ методи ёрдамида эса минералларнинг таркиби тез ва сифатли аниқланади. Петрургия усулида сунъий маҳсулотлар ўрганилиб, уларнинг табиий минераллар генезисига ўхшаш-ўхшамаслиги аниқланади. Петрофизика усулларида эса турли ашпаратлар ёрдамида тектоник процесслар, уларнинг зичлиги, электр, иссиқлик ҳамда сейсмик тўлқинларнинг ўтказувчанлиги каби хусусиятлари ўрганилади.

Силикат моддалар, бирикмалар ва материалларни физик-кимёвий таҳлилининг асосий усуллари қаторига киради:

- 1) микроскопия;
- 2) электрон микроскопия;
- 3) рентгенография;
- 4) термография;
- 5) ИК спектроскопия;
- 6) ядро магнит резонанси (ЯМР);
- 7) электрон парамагнит резонанси (ЭПР);
- 8) электронография;
- 9) хромотография;
- 10) магнетокимё;
- 11) изотропия;
- 12) кимёвий анализ;

- 13) спектрал анализ;
- 14) бошқа усуллар.

Биринчи - бешинчи усуллар энг күп құлланиладиган усуллар қаторига киради.

Хом ашё, маҳсулот ва бошқа ноорганик моддаларнинг кимёвий, минералогик таркиби, микро ва макротузилиш, белгилі хосса ва хусусиятларини аниқлашда энг қадимий микроскопияга оид усуллар жуда құл келади.

Цемент ва шифер, керамика ва оловбардош буюм, шиша ва шиша-кристалл ишлаб чиқаришда маҳсулоттарнинг хоссалари ва сифатини аниқлашда эса микроскопия усулидан кенг күламда фойдаланылған.

Фазалар сони, нималиги ва миқдорини аниқлаш, кристалларининг текстураланғанлық даражаси, ўлчамини аниқлаш ва документал фиксация қилишда рентгенографик усулга тенг келдиган бошқа усул йўқ.

Термография усули моддаларни қиздириш жараённида содир бўладиган процесларни ўрганади. Иссиклик ютувчи ва иссиқлик чиқарувчи эндо ва экзоэффектларни фиксация қилиш орқали моддада содир этилган ўзгаришлар (парчаланиш, бирикиш, полиморфик ўзгариш ва ҳоказо) ҳарорати аниқланади.

Термографик текширишларда эндотермик реакциялар дифференциал эгри чизиги абсцисса ўқидан пастга йўналтирилган, экзотермик реакциялар учун эса пол чизигига нисбатан юқорига қараб оғган бўлади. Шу жараёнларнинг бошланиш, максимал равишда ўтиш ва тутгалланиш температуралари ўта аниқ аниқланади. Лекин бўлиб ўтган ўзгариш мөҳиятини аниқлаш учун яна рентгенография, микроскопия каби усулларга мурожаат қилинади.

Кимёвий модда, камёб, тарқоқ ва нодир металл, силикат ва зурғасуюлувчан моддалар таҳлилини ўтказишида инфрақизил спектроскопия усули ҳам кенг құлланилади. Бу ўринда кимёвий бирикмалар инфрақизил спектрнинг бაъзи частоталарида уларни танлаб ютиш хусусиятига эга эканлиги құл келди. ИК спектрнинг кўриниши модда табиати, молекула ҳосил бўлиш шартшароитлари, улар орасидаги масофа ва кимёвий боғланиш турига боғлиқ.

Модда тузилиши, ундаги физик ва кимёвий жараёнларни узунлиги 10^{13} - 10^7 Å ёки 10^9 -1000 мкм бўлган радио түлқинларнинг резонанс ютилиши асосида ҳам ўрганиш методи-

лари мавжуд. Радиоспектроскопия номи билан аталувчи бундай методлар қаторига ядро магнит резонанси (ЯМР), электрон парамагнит резонанси (ЭПР), циклотрон резонанс (ЦР) кабилалар кирган бўлиб, улар оптик спектроскопия, инфрақизил спектроскопия ва мессбауэр γ -спектроскопиясидан ютилаётган квант энергиянинг кичикилиги билан фарқ қиласди. Жумладан, ЭПР асосида электронларда юз берадиган резонанс ҳодисаси ётган бўлиб, якка электронли орбитаси ёки орбиталари бўлган атом ёки молекула магнит хусусиятига эга эканлиги ва жуфтланмаган электронларнинг магнит моментлари билан ташки магнит майдони Н нинг ўзаро таъсири натижасида ҳосил бўладиган энергия сатҳлари орасидаги ўтишларга асосланган радиотўлқинларнинг резонанс ютилиши ётади.

Номлари юқорида қайд этилган усулларнинг баъзиларини алоҳида-алоҳида қилиб ажратмай умумий кимёвий анализ усуллари қаторига киритиш мумкин. Уларга комплексометрия, фотокалориметрия, ион алмашиниш, потенциометрик титрлаш, полярография, анъанавий фотометрия, люминесценция киради.

5-§. Физик-кимёвий, термик ва бошқа таҳлил усуллари ёрдамида аниқланадиган кўрсаткичлар.

Физик-механикавий таҳлил орқали аниқланадиган физик-механик кўрсаткичлар: 1. Зичлик-ўлчов бирлиги - kg/m^3 да. 2. Мустаҳкамлик. Чўзилишдаги мустаҳкамлик чегараси - МПа да. сиқилишдаги мустаҳкамлик чегараси - МПа да. 3. Эластиклик модули - $\text{kg}/\text{cm}^2 \times 10^{-6}$. 4. Юнг модули - $\text{kg}/\text{cm}^2 \times 10^5$. 5. Қаттиқлик ва микроқаттиқлик - kg/mm^2 . 6. Мўртлик. Стандарт намуналар бузилиши - кг см. Зарба ёпишқоқлиги-кг см / cm^2 . Мўртлик кўрсатгичи - $\text{kg}/\text{cm}/\text{cm}^3$. 7. Едирувчанилийк - % да.

Термик жараёнлар таҳлили орқали аниқланади: 1. Иссиклик сифими - кал/г град. 2. Иссиклик ўтказиш коэффициенти - кал/см сек град ёки ккал/м час. град. 3. Ҳарорат ўтказиш коэффициенти - $\text{cm}^2/\text{сек}$ ёки $\text{m}^3/\text{соат}$. 4. Иссиклик кенгайиш коэффициенти - $1/\text{град} \times 10^{-7}$. 5. Иссикда чидамлилик - $^{\circ}\text{C}$. 6. Оловбардошлик - $^{\circ}\text{C}$. 7. Кристалланиш - $^{\circ}\text{C}$.

Моддаларнинг электр таҳлилига асосланган хоссалари: 1. Ҳажмий электртўтказувчанлик - ом^{-1} , см^{-1} . 2. Юзали электртўтказувчанлик - ом^{-1} . 3. Диэлектрик ўтказувчанлик. 4. Диэлектрик йўқотувчанлик. 5. Электр мустаҳкамлик - $\text{кв}/\text{см}$.

Модданинг оптик таҳлилига асосланган хоссалари: 1. Нур ўтказувчанлик. 2. Нур ютувчанлик. 3. Нур қайтарувчанлик. 4. Нур синиши. 5. Дисперсия. 6. Нурнинг кўш синиши. 7. Оқлик.

Модданинг кимёвий турғунылиги таҳлилига асосланган хосса-хусусиятлар: 1. Сувга барқарорлик. 2. Кислотага бардошлиқ. 3. Ишқорга турғунилиқ. 4. Коррозиябардошлиқ.

Бирималарнинг технологик таҳлилига асосланган хоссалари: 1. Намлик - % да. 2. Сув шимиш- % да. 3. Пластилик - % да. 4. Киришиб кетиш - % да. Ҳавода киришиб кетиш. Олов таъсирида киришиб кетиш. 5. Ёпишқоқлик. 6. Юза тортилиши. 7. Қўлланиш қобилияти.

Такрорлаш учун саволлар

1. В 522400 – «Кимёвий технология» Олий таълим йўналишининг асосий соҳаларидан бири «Силикат ва зўргасуюлувчан материаллар кимёвий технологияси» соҳасининг моҳиятини тушунтириб беринг.

2. Физик-кимёвий таҳлил таърифини келтиринг ва унинг технологик жараёнларни бошқаришдаги ролини ёритиб беринг.

3. «Физик-кимёвий таҳлилнинг замонавий усуллари» фанинг вазифаси ва мазмуни қандай?

4. «Физик-кимёвий таҳлилнинг замонавий усуллари» фанида қандай асосий қоида ва тушунчалар мавжуд?

5. Физик-кимёвий таҳлилиниң қандай асосий усуллари бор?

6. Нима учун илмий-тадқиқотлар олиб боришда бир нечта усулнинг бир вақтида кўлланилиши зарур?

7. Физик-механикавий, термик ва бошқа жараёнларни ўрганишда кўлланиладиган яна қандай усулларни биласиз?

8. Электромагнит нурларининг тури ва уларга таалуқли тўлқин узунликларини келтиринг.

9. Ёруглик нурларининг тури ва уларга таалуқли тўлқин узунликларини ва мкм ўлчовларида беринг.

10. Физик-кимёвий таҳлил усулларини ривожлантиришда жаҳон, Марказий Осиё ва Ўзбекистон олимлари қандай ҳисса қўшишган?

11. Марказий Осиё олимларидан кимлар қимматбаҳо тошларнинг таҳлили устида иш олиб боришган ва юксак натижаларга эришган?

ИККИНЧИ БОБ

МИКРОСКОПИК ТАҲЛИЛ

6-§. Микроскопик текшириш усули аҳамияти ва ривожи

Анорганик моддалар кимёси ва технологиясида кимёвий моддаларнинг хоссалари ва сифатини ўрганишда кенг қўллашниладиган қадимий усул микроскопиядир. Микроскопия илмий-текшириш ишлари олиб борищда микроскопни қўллаш ва микроскопик препаратлар ёрдамида жуда кичик, майда, фақат микроскоп билангина кўринадиган заррачаларнинг специфик хосса-хусусиятларини аниқлашга қаратилган усулдир. У аниқ кимёвий методлардан фойдаланиб, жуда оз миқдордаги моддаларни анализ қилиш имконини беради.

Микроскопия усули оптика қонунларига асосланган бўлиб, у ҳақидаги илк маълумотлар эрамиздан аввалги IV-II асрларда яшаган Аристотел, Евклид ва Птолемея асарларида учрайди. Катталашибурувчи шиша ёки лупани эса бу усулнинг энг бирламчи ва ута содда асбоби деб қараши мумкин. Эрамизнинг XI асрида яшаган ва Европада Алхазен номи билан аталган араб олими Ибн Ал-Хайтан, XIII асрда тадқиқотлар олиб борган Роджер Бэкон, XVI аср бошида яшаган италиялик рассом Леонардо да Винчи фотометрия назарияси ва амалиётига асос солишиди. Оптика асбобларини кашф этиш ва ясаш эса XVII аср бошларига тўғри келади. Жумладан, 1609 й. италиялик олим Галилео Галилей томонидан катталашибурувчи труба - дурбин, 1611 й. немис олими Иоганн Кеплер томонидан телескоп, 1638 й. У. Гаскойн томонидан окулярли микрометр яратилди.

Майда обьектларни кўрсатувчи маъносини англатувчи “микроскоп” термини ҳаётга 1646 й. немис олими А. Кирхер ва поляк астрономи И. Гавелия томонидан татбиқ этилди. Аммо микроскопия усулининг “отаси” сифатида бутун дунёда голландиялик А. Левенгук ва англиялик тадқиқотчи Р. Гук ҳисобланади. А. Левенгук ўз қўли билан ясаган микроскоп орқали инсоният тарихининг оламшумул ихтиросини яратади.

У сув томчиларида шу даврғача маълум бўлмаган жонли моддамикроблар борлигини аниқлаб, янги фан “микробиология” га асос солди. Унинг тадқиқотлари француз олимни Л.Пастор томонидан давом эттирилди ва натижада турли касалликларнинг пайдо бўлиши ва тарқалишида микроблар асосий сабабчи эканлиги исботлаб берилди. Гук эса ўзи яратган нурли микроскоп орқали ўсимлик ва ҳайвонларнинг ҳужайрали тузилишга эга эканлигини кашф этди. Умуман олганда, юз йилча давом этган бу даврда микроскопдан кенгроқ фойдаланилди.

XVIII аср бошларига келиб микроскоп орқали кристаллар дунёсининг тузилиши ўргана бошланди, натижада Ўрта Осиё (Ўзбекистон) халқларидан чикқан хоразмлик буюк олим, математик ва астроном Беруний (972-1048) нинг “Қимматбаҳо тошлар”, бухоролик Абу Али ибн Сино (980-1037) нинг “Тошлар ҳақидаги трактат” ва бошқа олимлар асарларида келтирилган минераллар тавсифи тасдиқ топди. Даниялик олим Эразма Бартолин 1669 й. ёруғлик нурини синдириш кўрсатгичи кристалларда иккита бўлиши мумкинлиги, француз муҳандиси Этьен Малюс 1808 й. нурнинг қутбланиши, англиялик физик Уильям Никол қутбланувчи призма, англиялик олим Дэвид Брюстер ўз номи билан аталувчи бурчакларга оид қонунни кашф этиб, микроскопия усули назарияси ва асбобларини та-комилластиришга салмоқли ҳисса қўшдилар.

Даниялик олим Э.Бартолин томонидан нурнинг поляризацияга учраши кашфиёт этилганидан икки аср кейин, яъни 1850 йили англиялик оптик Г.Сорби нурли микроскопда поляризацион нурни ишлатиш мумкинлигини аниқлади. Шу билан нурли микроскоп имкониятлари жуда кенгайди.

Микроскопик таҳтилнинг тақомиллашиши кристаллографиянинг ривож топишига олиб келди. 1669 йили даниялик олим Н.Стенсен томонидан кристалларда тегишли бурчакларнинг доимийлилиги, 1783 йили эса француз Рене Жюст Гайю кристаллар тузилишининг умумий назарияси, 1813 йили англиялик кимёгар В.Волластон кристалл панжараси тушунчасини яратдилар. Бу тушунчанинг ривожланиши туфайли 1866 йили француз олими О.Бравэ кристаллар дунёсида 14 элементар ячейкаларнинг мавжудлигини аниқланди. И.Гессель тадқиқотлари туфайли 1831 йилда кристалларнинг 32 симметрияси, 1891 йили эса рус олими Е.С. Федоров ва немис математиги А.Шенфлис томонидан 230 хил симметриянинг фазовий группалари борлиги тасдиқланди.



7-§. Кристаллооптика усули

Табиий ва сунъий кимёвий бирикмалар, хом ашё, материал ва буюмлар, минерал ва композицияларнинг оптик кўрсатгичларини уларнинг кристалл шакллари, таркиби ва симметрия қонуниятиларига боғлиқ ҳолда ўрганувчи фан соҳаси кристаллооптика деб аталади. Бу соҳа физика, кристаллография ва минералология фанлари билан боғлиқдир.

Кристаллооптиканда кристалл тузилишига эга бўлган силикатлар ва зўрфасуюлувчан материаллардан нур тўлқинларининг ўтиш ҳодисалари ўрганилади. Унда тадқиқотлар нур ва унинг турли шароитда тарқалишини кузатиш, тегишли хулоса чиқариш орқали олиб борилади.

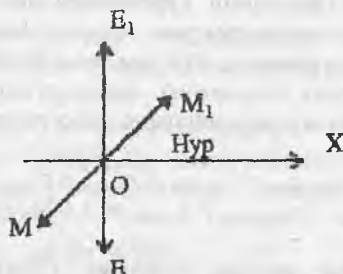
Нур тўлқинлари электромагнит тўлқинларидан бирмунча қисқалиги билан фарқланади. Инсон узунлиги 400-760 ммк га тенг бўлган нур тўлқинларинигина кўра олади. Электромагнит тўлқинлари электр ($E-E_1$) ва магнит ($M-M_1$) тўлқинларидан иборат. Бу тўлқинлар бир-бирига ва шу билан бирга ёруғлик энергиясининг тарқалиш йўналишига перпендикулярдир. Мана шу ёруғлик энергияси тарқаладиган йўналиш нур деб аталади (1-расм). Кристаллооптика усулида нур тарқалишини кузатиш орқали олиб борилади.

Микроскопик таҳлилда нурнинг минераллардан ўтиши ва синиши ҳодисаси катта аҳамиятга эга. Булар орқали қуйидаги хусусиятлар аниқланади:

1. Нур синдирилиши ва синдирилиш кўрсаткичи- Ng , Nm ва Np .
2. Нурнинг иккиланиб синдириши кучи – ($Ng-Np$) ёки ΔN .
3. Нур поляризацияси – бир текис поляризацияланган нурларни ҳосил қилувчи ва микроскопик столчаси остидаги поляризатор орқали бажарилади.
4. Нур интерференцияси – интерференцион рангларнинг пайдо бўлиши.
5. Нисбий миқдорни аниқлаш – окуляр сетка ва интеграцион столча орқали.
6. Кимёвий бирикма ва минераллар рельефи – Бекке чизиги.
7. Плеохроизм – модданинг ютиш (абсорбциялаш) қобилиятлари.
8. Минерал ўқлари – Ng ва Np ўқлари.

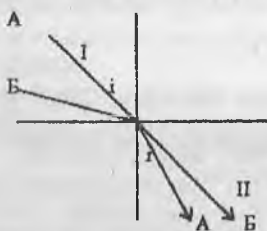
9. Моддаларнинг узайиши белгиси – мусбат ва манфий узатиш.

10. Сұниш бурчаги – тұғри ва қия синиши ва бошқа хусусиатлар.

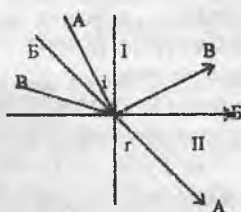


1-расм. Нур ва электромагнит тұлқинларининг йұналиши.

$E - E_1$ – электр тұлқинлари ва $M - M_1$ – магнит тұлқинлари



2-расм. А ва Б нурларининг камзіч мұхитдан зич мұхиттағы үтишидеги синиши. Бурчак $i > r$, $v_1 > v_2$ ва $n_1 < n_2$.



3-расм. А, Б ва В нурларининг зич мұхитдан камзіч мұхиттағы үтишидеги синиши ва қайтарилиши. Бурчак $i < r$, $v_1 < v_2$ ва $n_1 > n_2$.

8-§. Таҳлилда аниқланадиган асосий хусусиятлар

1. Нур синдириш күрсаткичи (n ёки N). Нур синдириш күрсаткичи Снеллиус ва Ньютон текширишлари бүйіча нур тушищ бурчаги синусининг нур синищ бурчаги синуси нисбатына айтилади. У биринчи мұхитдеги ёруғлик тезлигининг иккінчи мұхитдеги ёруғлик тезлигіне нисбатына тән.

$$n_{\text{абсолют}} = \sin i / \sin r = v_{\text{бұшлиқ}} / v_{\text{мұхит}},$$

бунда: $n_{\text{абсолют}} = n_{\text{модда}} \times n_{\text{хаво}} = n_{\text{модда}} \times 1,0003$
 $n_{\text{хаво}} = v_{\text{бушлик}} / v_{\text{хаво}} = 1,000275 \approx 1,0003$.

Нисбий нур синдириш күрсаткичи деб, икки шаффо оптик мұхитта ёруғлар тарқалиш тезлигининг (ёки $\lambda=583,3$ ммк, 15°C ва симоб устунининг 760 мм тенг бұлған тұлқин узунлигидеги электромагнит тәбәриниң) нисбатига айтилади.

Агар иккінчи мұхит сифатида ҳаво танланса, у ҳолда

$$n_{\text{абсолют}} = n_{\text{модда}} \times n_{\text{хаво}} = n_{\text{модда}} \times 1,0003$$

$$n_{\text{хаво}} = v_{\text{бушлик}} / v_{\text{хаво}} = 1,000275 \approx 1,0003.$$

2. Симметрия ҳақида түшүнчә. Симметрия элементлари (симметрия үқлари, симметрия текислиги, симметрия марказы ёки инверсия).

Симметрик хүсусият деганда биз мос тушиш, яғни кристаллнинг үз-үзиге баъзи фазовий айлантиришда мос тушиши түшүнилади.

- а) симметрия үқлари
- б) акс тасвир
- в) марказли симметрик тасвир.

Бу күрсаткичлар бўйича ҳамма кристаллар етти (юқори - 1, ўрта -2-4 ва қуий -5-7) сингонияга бўлинади:

- 1) кубик $a=b=c$, $\alpha=\beta=\gamma=90^{\circ}$.

Мисол: Алмаз -С. Сингонияси – куб, фазавий группаси – Fd3m, $z=8$, $a=3.567 \text{ \AA}$, $b=3.567 \text{ \AA}$, $c=3.567 \text{ \AA}$, $\alpha=90^{\circ}$, $\beta=90^{\circ}$ ва $\gamma=90^{\circ}$.

Альмандин – $\text{Fe}_3\text{Al}_2\text{Si}_3\text{O}_{12}$. Сингонияси – куб, фазавий группаси – Ia3d, $z=8$, $a=11.53 \text{ \AA}$, $b=11.53 \text{ \AA}$, $c=11.53 \text{ \AA}$, $\alpha=90^{\circ}$, $\beta=90^{\circ}$ ва $\gamma=90^{\circ}$;

- 2) гексагонал $a=b \neq c$, $\alpha=\beta=90^{\circ}$ ва $\gamma=120^{\circ}$.

Мисол: Берилл – $\text{Be}_3\text{Al}_2\text{Si}_6\text{O}_{18}$. Сингонияси – гексагонал, фазавий группаси – P6/mcc, $z=2$, $a=9.20 \text{ \AA}$, $b=9.20 \text{ \AA}$, $c=9.22 \text{ \AA}$, $\alpha=90^{\circ}$, $\beta=90^{\circ}$ ва $\gamma=120^{\circ}$;

- 3) тетрагонал $a=b \neq c$, $\alpha=\beta=\gamma=90^{\circ}$.

Мисол: Геленит – $\text{Ca}_2\text{Al}_2\text{Si}_7\text{O}_{17}$. Сингонияси – тетрагонал, фазавий группаси – P42₁m, $z=2$, $a=7.738 \text{ \AA}$, $b=7.738 \text{ \AA}$, $c=5.045 \text{ \AA}$, $\alpha=90^{\circ}$, $\beta=90^{\circ}$ ва $\gamma=90^{\circ}$;

- 4) тригонал ёки ромбоэдрик $a=b \neq c$, $\alpha=\beta=\gamma \neq 90^{\circ}$.

Мисол: Виллемит— Zn_2SiO_4 . Сингонияси—тригонал, фазавий группаси—R3, $z=18$, $a=13.94 \text{ \AA}$, $b=13.94 \text{ \AA}$, $c=9.31 \text{ \AA}$, $\alpha=90^\circ$, $\beta=90^\circ$ ва $\gamma=120^\circ$;

5) ромбик $a\neq b\neq c$, $\alpha=\beta=\gamma=90^\circ$.

Мисол: Монтичеллит — $CaMgSiO_4$. Сингонияси—ромбик, фазавий группаси—Pnma, $z=4$, $a=4.815 \text{ \AA}$, $b=11.08 \text{ \AA}$, $c=6.37 \text{ \AA}$, $\alpha=90^\circ$, $\beta=90^\circ$ ва $\gamma=90^\circ$;

6) моноклин $a\neq b\neq c$, $\alpha=\beta=90^\circ$ ва $\gamma\neq90^\circ$.

Мисол: Диопсид— $CaMgSi_2O_6$. Сингонияси—моноклин, фазавий группаси—C2/c, $z=4$, $a=9.73 \text{ \AA}$, $b=8.91 \text{ \AA}$, $c=5.25 \text{ \AA}$, $\alpha=90^\circ$, $\beta=105.83^\circ$ ва $\gamma=90^\circ$;

7) триклини $a\neq b\neq c$, $\alpha\neq\beta\neq\gamma\neq90^\circ$.

Мисол: Анортит— $CaAl_2Si_2O_8$. Сингонияси—триклини, фазавий группаси—P1, $z=4 \times 2$, $a=8.18 \text{ \AA}$, $b=12.88 \text{ \AA}$, $c=7.08 \times 2 \text{ \AA}$, $\alpha=93.165^\circ$, $\beta=115.85^\circ$ ва $\gamma=91.215^\circ$.

Улар ўз наизбатида симметрия бўйича 32 классни, элементар трансляциялари ҳаракати бўйича 14 турли Бравэ панжарасини ва кристаллар классификацияси бўйича 230 Федоров группаси-ни беради.

3. Кристалларнинг иккиланиб синдириш кучи. Кристалл сингониялари турига қараб ҳар турли бўлади:

1. Юқори кубик сингонияда - нурни иккиланиб синдириш кучи кузатилмайди.

2-4 - уртача сингонияда бир ўқли, нурни иккиланиб синдириш кучи мавжуд. Улардан бири n_o ёки N_o деб белгиланади. У нур тарқалиши қонунларига бўйсунади ва ҳамма йўналишларида бир хил тезликка эга.

Иккинчи нур ўзининг нур синдириш кўрсаткичини ўзгартиралиган йўналишга эга бўлиб, n_c ёки N_c ҳарфлари билан белгиланади.

5-7. Кўйи сингонияда - N_g , N_m ва N_p мавжуд бўлиб, бунда $\Delta N = N_g - N_p$ бўлади.

4. Чўзиқ кристалларнинг сўниш тавсифи. Ёқилган анализаторлар билан ҳар 90° да қайтарилади.

Тўғри сўниш 5 та сингония - кубик, гексагонал, тетрагонал, тригонал, ромбик сингониялар учун хосдир.

Тўғри ва эгри сўниш фақат 1 сингония - моноклинга тааллуқли.

Фақат эгри сўниш 1 сингония триклини кристалларига хос.

5. Узайиш белгиси. Кристаллар мусбат - агар кристаллнинг узунлиги бўйича нур тебраниши ҳосил бўлиб, нур синдириш кўрсаткичи N_g катта бўлса; манфий - агар N_p кристалл узунлиги бўйича катта бўлса.

Кристаллар формаси тўғри бўлмаган донсимон ёки ажралиш дарзи йўқ доначалар кўринишида бўлса, бу хусусиятни аниқлаб бўлмайди.

6. Кристаллнинг оптик белгиси. Бу кўрсаткичлар мусбат ёки манфий бўлиши мумкин. Бир ўқли мусбат кристалларда $n_o = n_e$, яъни бу ерда $n_o = n_p$

ва $n_e = n_g$ бўлади. Манфий белгили кристалларда эса $n_o = n_g$ ва $n_e = n_p$ бўлади.

7. Оптик ўқларнинг бурчак катталиги. Бу кўрсаткичлар $2V$ ёки $2E$ ҳолатида бўлади.

8. Габитус. Турли-туман минераллар габитуси, яъни ташқи кўриниши бир-биридан тузилишига кўра фарқланади:

кубик сингонияли кристаллар - изометрик ва квадрат кўринишида;

гексагонал сингонияли кристаллар -олтибурчак, думалоқ доначалар ва призматик кўринишида;

тетрагонал сингонияли кристаллар - квадрат, жадвал, думалоқ доначалар, саккизқиррали ва пластинкасимон кўринишида;

тригонал сингонияли кристаллар - учбурчак доначалар шаклида;

ромбик сингонияли кристаллар- ромба, бруск шаклида ва тўғри бурчакли кўринишида;

моноклин сингонияли кристаллар - тангачасимон, тўғри бурчакли, бруск шаклида, игнасимон ва толали кўринишида;.

триклин сингонияли кристаллар - шакли аниқ бўлмаган доначалар кўринишида бўлади.

9. Кристалларнинг ўлчамлари. Кристалларнинг ўлчамлари ўта кичик ҳолатида бўлиши мумкин. Бу ҳолат кўпроқ поликристалларга тааллуқли. Агар кристаллар монокристалл ҳолатида бўлса, ўлчамлари катта бўлади.

10. Кристалларнинг ажралиш қобилиятлари. Ҳамма минераллар ҳам ажралиш қобилиятига эга эмас. Бўлганда ҳам аниқлиги, йўналишлари сони ва улар орасидаги бурчакларнинг катта-кичиклиги билан фарқ қиласи. Шунинг учун минералларнинг бу хусусияти ҳам муҳим диагностик белгилардан бири ҳисобланади.

11. Құшалоқлар. Икки ёки уңдан күп бир хил кристалларнинг қонуний бирикишига құшалоқлар дейилади. Оддий құшалоқ икки индивиднинг бирикишидан изборат. Полисинтетик құшалоқ кристалларнинг параллел текисликлари бүйлаб үсипидан, панжаралик құшалоқлык икки томон йұналишдаги полисинтетик құшалоқларнинг бирикишидан, секторсимон құшалоқлы түрт ёки олти қысларга бүлингандан айланған сектор құшалоқларидан ташкил топади.

12. Минераллар ранги ва плеохроизм. Баъзи-бир анизотроп минералларнинг спектр қысларини ҳар хил кристаллографик йұналишлар бүйича ютиш қобилияттегі плеохроизм деб аталади. Минералларда бу қобилияттегін бор-йүқтілік поляризатор билан аниқтанды. Плеохроизмта мансуб кристаллар үз ранги ёки рангтегінде интенсивлігінде нур тебранишлари таъсирида үштартиради. Рангтегі түқтілік модданинг ютувчанлик қобилияті (абсорбция) ва кристалларнинг қалинлігиге боғлиқ. Шунинде учун петрографик шлифларда (уларнинг қалинлігі ҳаммашақт 0,027-0,30 мм га тенг) бу ҳолат яхши сезилмайды. Иммерсион препараттарда эса улар қалинроқ ва шу туфайли сезилуучан бўлади.

9-§. Усулдан фойдаланишининг имкониятлари

Микроскопик таҳлилдан қўйидагиларни билиш мумкин:

- 1) кристалларнинг идентификацияси учун уларнинг оптик константаларини ўлчаш йўли билан ($N_g, N_p, \Delta N$ ва бошқалар);
- 2) кристалларнинг тузилиши, кристаллокимёвий хусусиятини дастлабки босқичда аниқлаш учун;
- 3) ҳом ашё материаллари ва уларни куйдириш-асосидаги маҳсулотларнинг шакл ва ўтчамларини ўрганиш учун;
- 4) кристалларнинг ўсиш жараёни ва уларнинг бузилиши;
- 5) моддалардаги фазовий ўзгаришлар;
- 6) диффузия жараёни;
- 7) ишлаб чиқаришнинг технологик жараёнларидаги пүксонлар ва маҳсулот сифатини ўзгариши (керамик материаллар ва клинкерни пишган – пишмаганлиги, гишт ҳамда бетонлар тузилмасининг етилган-етилмаганлиги) сабабларини аниқлани учун;
- 8) фазалар миқдорини аниқлаш учун;
- 9) модданинг бир ёки күп таркиблиги;
- 10) моддаларнинг акс тасвирлаш хусусияти;

- 11) моддаларнинг кимёвий бардошлиги;
- 12) моддаларнинг механик мустаҳкамлиги;
- 13) модда ёки аралашманинг эриш ҳарорати;
- 14) фаза таркиби миқдорини аниқлаш учун;
- 15) минералларнинг ранг бериш хусусиятини аниқлаш учун;
- 16) минералларнинг ажралиш қобилиятларини ажралиш текислиги орасидаги бурчаклар қиймати билан;
- 17) минерал ёки кимёвий модданинг узайиш белгиси ёки асосий йўналишини топиш учун;
- 18) сўниш бурчаги С:Ng ни аниқлаб олиш учун;
- 19) қўшалоқ — полисинтетик, панжарали ва секторсимон.

10-§. Усулининг афзаллиги ва камчиликлари

Микроскопик таҳлил усулининг афзалликларига қўйида-тиларни кўрсатиш мумкин:

- 1) талқин этишнинг соддалиги;
- 2) олинган натижанинг тўлалиги;
- 3) олинган натижанинг ишончлилиги;
- 4) олинган натижанинг тезкорлиги (1-10 минут);
- 5) 0,3 мкм гача (ёруғлик микроскопларида) бўлган майда заррачаларни фарқлаш имкони (ультрабинафаша микроскопларида 0,2 мкм гача);
- 6) микроскоп тузилишининг оддийлиги (соддалиги);
- 7) фотоматериал, пластинка ва плёнкалар ёрдамида визуал кузатилаётган микротузилиш ҳолатининг документаллаштириш, яъни фотографиясини олиш мумкинлиги;
- 8) такомиллаштирилган ион проекторли микроскопларда ўлчами 0,1 мм дан то 10^{-10} м (1 Е) гача бўлган дефектларни аниқлай олиши;
- 9) текширишни паст ва юқори ҳароратда, ультрабинафаша ва инфрақизил нурлар иштирокида, ультратратовуш таъсирида олиб бориш мумкинлиги.

Микроскопик таҳлил усулининг камчиликлари сифатида қўйидағиларни кўрсатиб ўтиши мумкин:

- 1) расшифровка қилишнинг соддалиги;
- 2) кўпгина микроскопларнинг етарли даражада моддаларни катталаштира олмаслиги;
- 3) микроскопда ишловчининг толиқишиш ва чарчашиб туфайли хоссаларни тўғри қабул қила олмаслиги.

- 4) иммерсион суюқликларни учиши ва ҳар куни уларнинг таъсирини назорат қилишни муҳимлиги;
- 5) ўлчаш ноаниқлигининг катталиги, $\pm 0,03$;
- 6) юқори даражали катталаштиришда юстировка операциясининг мураккаблиги;
- 7) нур синдириш кўрсатгичи яқин бўлган моддалар кимёвий таркибини аниқлаш қўйинлиги.

11-§. Микроскопия усули аппаратлари

Микроскопик таҳдилнинг муваффақиятли амалга оширилиши қўлланиладиган аппаратларга кўп жиҳатдан боғлиқ. Тегинлии аппаратларсиз илмий-тадқиқот иши, техника ва тиббиёт муаммоларини ҳал этиш мумкин эмас.

Микроскопик таҳдил аппаратларининг тури жуда кўп. Улар қаторига А. Левенгук ва Р.Гулларнинг шиша линзаларидан тортиб замонавий микроскопларгача киради.

Замонавий микроскоплар қаторига қўйидагилар киради:

1. Нурли микроскоплар. Уларнинг қаторига линзали телескоп - рефракторлардан тортиб икки нурли микроинтерферометрларгача киради. Ҳозирги кунда қўлланиладиган нурли микроскоп поляризацион нурни қўллашга асосланган.

2. Электрон микроскоплар. Уларда катод нурларидан фойдаланиш орқали катта ютуқларга эришилди. Улар қаторига 1931 йили немис олимлари М.Кноллем ва Э.Руск томонидан яратилган электрон микроскопларидан тортиб то ҳозирги замонавий интерференцион электрон микроскопларгача киради. Назарий жиҳатдан бундай микроскопларда 100 \AA гача, амалий жиҳатдан эса $500\text{--}1000 \text{ \AA}$ бўлакчаларни кўриш мумкин.

3. Растро нурли ва электрон микроскоплар. Улар қаторига растро нурли микроскоп, массив объекtlарни тадқиқот қилишга мўлжалланган растро электрон микроскопи, кучланиши 150 кВ бўлган растро электрон микроскопи, катодлюминесцент объекtlарни текширувчи растро электрон микроскопи, телевизион тасвирили ультратовушли микроскоп ва бошқалар киради.

4. Рентген микроскопияси ва микрозонд таҳлили. Рентген проекцияли микроскоп, рентгенли топография, электрон-зондли рентген микроанализатори, ион-зондли масс-спектрал микроанализатор ва бошқалар бу гурухга киради.

5. Автоэлектрон микроскопияси. Автоэлектрон микроскоп - зондли анализатор тоза юзалар билан ишлашга мұлжалланган. Улар ёрдамида металл-плёнкали тизимлар үрганилади.

6. Автоион микроскопияси. Паст ҳароратли автоион микроскопи - юқори тасвирға эга атом зонди жуда кичик бұлакчаларнинг микроскопик күрнишини фиксация қилишга мұлжалланган.

1617-1619 йилларда кашф этилган микроскоплар биологик, кимёвий ва бошқа текширишлар учун тааллуқли поляризацион микроскоплардир.

МП-2, МП-3, МП-4, МИН-4, МИН-5 ва МИН-8 турдаги поляризацион микроскоплар. Улар ёруғлик остида ишлаш учун мұлжалланган замонавий аппаратлар қаторига киради. Кичик ҳажмни катталаشتаришда ёруғлик манбай бўлиб оддий стол лампаси хизмат қиласи. Ҳажмни жуда катталаشتаришда эса ОИ-9 ва ОИ-19 каби сунъий ёритқичлар қўлланилади.

Одатда нур синдириш кўрсаткичи п ёки N ни ўлчашда сариқ нурлар, яъни D - натрий буғлари чизиги (тўлқин узунлиги $\lambda = 5893 \text{ \AA}$) қўлланилади.

Объектив сифатида объектив ва оқулярлар тўпламига кирган ва объектларни 17,5 X дан то 1350 X гача катталаشتывчи мосламалар қўлланилади.

Ҳозирги вақтда саноат корхоналари, илмий - текширув институтларида замонавий МИН-8 микроскопи ишлатилади (4- расм).

МИН- 8маркали полизацион микроскопнинг асосий деталлари қуйидагича:

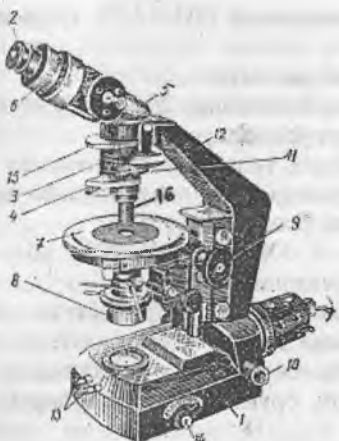
1- микроскоп асоси - массив плитка. Унинг ичига конденсор линза ва буриш призмалари жойлаشتырилган;

2-окуляр.УХ ,6X, 8X, 5X ва 20X марта катталаشتаришга имкон беради;

3- тубус. У тутгичнинг юқори қисмига қўзғалмас қилиб маҳкамланади. Тубус ўйигига анализатор ёки бошқа компенсаторлар мосламаси ўрнатилган;

4- опак-илюминатор ОП-12 ни ўрнатиш салазкаси. Бу ўз навбатида микроскопда қайтган нурлар ёрдамида ҳам ишлашга имкон беради;

5- қия монокуляр мослама. Предмет столчасини доимо горизонтал ҳолатда сақлаб объектни кузатиш учун хизмат қиласи;



4-расм. МИН-8 русумли поляризацион микроскопнинг кўриниши.



5-расм. $\text{SrLaAl}_3\text{O}_7$ – микрофотографияси. МИМ-7 микроскопи пластиинкасидан олинган тасвир. 600 марта катталаштирилган.

6- цилиндр шаклидаги металл труба. Унда кўриш учун катталаштириб берувчи система-окуляр ўрнатилган;

7- предмет столчаси. Унинг устига текширилаётган объект ўрнатилган бўлади. Предмет столчаси кронштейнга ўрнатилган бўлиб, катта тишли силжитиш механизми ёрдамида юқорига-пастга ҳаракатланади;

8- конденсор. У ўрнатилиши ёки олиб қўйилиши мумкин;

9- силжитиш механизми. Унинг ёрдамида предмет столчаси юқорига-пастга ҳаракатлантирилади;

10-ҳаракатлантирувчи дасталар. Улар микроскоп асосининг икки томонидаги механизмни ҳаракатлантирадилар;

11- опак-илюминатор ОП-12. У тубуснинг пастки қисмида жойлашган;

12- микроскоп дастаги;

13- марказлаш винтлари. Унинг ёрдамида ёритиш тизими-нинг ҳолати ўзгартирилади;

14- линза ёритиш тизимидан ташқарига чиқарилган даста;

15- диск. У анализаторнинг устига интерференцион ёруғлик фильтри сифатида ўрнатилган;

16- объектив. У 3X, 8X, 20X, 40X, 60X ва 90X марта катта-лаштиришни таъминлайди.

МИН-8 микроскопи текширилаётган объектни бир ёки иккни никол ёрдамида кўриш имкониятини беради. Битта никол билан иш олиб борилганда анализатор оптик тизимидан чиқарилган бўлиб, ёруғлик нурлари бир-бирига параллел жойлашган бўлади.

Икки никол билан тадқиқот олиб борилганида нур параллел ёки учрашувчан бўлиши мумкин. Нурлар параллел бўлганида модданинг изотроп ёки анизотроплиги ҳамда нурнинг сўниш ҳолати аниқланади. Жумладан, сўниш тўғри, ўтқир ва ўтмас бурчак остида ўтиши мумкин.

Учрашувчан ёруғлик нурлари таъсирида моддаларнинг неча ўқлилиги, уларнинг мусбат ёки манфийлиги каби параметрлари аниқланади, икки ўқли кристалларнинг ўқлари орасидаги бурчакни аниқлаш имконияти туфилади.

МИН-8 микроскопида монохроматик нур ҳосил қилиш мумкин.

Нур синдириш кўрсаткичи кўпинча иммерсион суюқлик ёрдамида аниқланади. У текширилаётган объект ва муҳит (суюқ ёки қаттиқ)нинг нур синдириш кўрсаткичини таққослашга асосланган.

МИН-8 каби поляризацион микроскоплар билан бир қаторда илмий-тадқиқот ишларини олиб бориша металлографик микроскоплар ҳам кенг кўлланилади.

МИМ-5, МИМ-6, МИМ-7, МИМ-ВМ микроскоплари. Илмий-тадқиқот лабораторияларида МИМ-5, МИМ-6, МИМ-7 турдаги (60X дан 660X гача катталаштиради) ва МИМ-ВМ (оддий кўришда 100X дан 1350X гача; фотографияда 45X дан 2000X гача катталаштиришга эришиллади) металлографик микроскоплар кенг ишлатилади.

Бу турдаги микроскоплар шаффофт бўлмаган микропрепаратларни оддий ва поляризацион ёруғликда, ёруғлик майдони-

нинг түғри ва ёnlама ёритиш шароитида текшириш ва расмлар олиш учун мұлжалланган. Бунинг учун кристалл ёки аморф моддалардан шлиф ва аншлифлар тайёрланади ва улар қайттан нурлар ёрдамида текширилади. Кузатилган манзара фотопластинка ёки фотоплёнкага маҳсус фотоаппаратлар ёрдамида туширилади.

Амалиётта стереоскопик поляризацион микроскоп МПС-1 ни құллаш ҳам маълум. Бу турдаги микроскоплар ёруғ ва қоронги майдон усулида оддий ва поляризацион ёруғлиқда текширилаётган объектни ҳажмий тасвирини олишга имкон беради. Бунинг учун шаффофф шлифлар, шаффофф бұлмаган шлифлар, аншлифлар, иммерсион препаратлар яроқлидир. Құллаңылуичи окулярлар - 6, 8 ва 12,5, объективлар- 0,6 дан 7 гача объектив катталаشتыради.

Минералогик йүл микроскопи МПД-1 нинг тузилиши МИН-8 поляризацион микроскопига үхаша. Оғирлиги - 3,2 кг, қатталанырыншы даражаси 45Х дан 900Х гача. Дала ва йүл шароитларында илмий-тәдқиқот ишларини муваффақиятли олиб берени, текширилаётган объект устида бир фикрга тез келиш учун имкон беради.

Пульфрих, Аббе, ИРФ-22, ИРФ-23 ва ИРФ-25 рефрактометрлари. Фаңда Пульфрих, Аббс, ИРФ-22, ИРФ-23 ва ИРФ-25 маркалы рефрактометрлардан көнг фойдаланилади. Бу турдаги рефрактометрлар суюқникларнинг нур синдириш күрсатқичи (жамда дисперсияси)ни үлчашга хизмат қилади. Аббе рефрактометрида 1,00-1,40 ва ИРФ-23 рефрактометрида 1,33-1,78 оралығындағы нур синдириш күрсатқичига эга бўлган суюқниклар миқдори аниқланади.

Шибү рефактометрлар ёрдамида иммерсион суюқниклар эталонинг тасвишүүли суюқниклар күрсатқичи үзгарган ёки үзгармаганligиги ҳам тасдиқланади. Уларнинг үлчаш аниқлиги п бүйича 2×10^{-4} ва ўртача дисперсия бүйича $1,5 \times 10^{-4}$.п нинг λ га болғылғынк үзгариши дисперсияни беради. Кўк (n_F) ва қизил (n_C) нурларидаги п нинг фарқи ўртача дисперсияни беради, яныни $\Delta n_F - \Delta n_C$.

Микроскоп ёрдамида ҳам тасвир, ҳам механик хосса-хусусиятларни аниқлаш мүмкін. Бундай аппаратлардан бири микротвердомер ПМТ-3 дир. Олмос пирамида ва 200 граммгача юкламали микроскопда микроқаттиқлик

$$H=1.819 \text{ P/d}^2 \text{ кг/мм}^2 \text{ ёки } H=18188 \text{ P/d}^2 \text{ МПа}$$

формулалари орқали топилади.

Бу ерда, Р-ўткир олмос пирамидага қўйилган оғирлик, кг д-туширилган тасвир диагонали узунлиги, мм.

ПМТ-3 аппаратининг тузилиши ўта содда бўлиб, у ўзининг компактлиги ва вазнининг енгиллиги билан ажralиб туради. Унда аниқланадиган микроқаттиқлик ўзига хос диагностик хусусиятдир.

Кристалл моддаларидаги микроқаттиқлик билан Моос шкаласи бўйича аниқланадиган қаттиқлик орасидаги боғланиш қўйидаги:

3-жадвал

Минерал тури	Моос шкаласи қаттиқлиги	Микроқаттиқлик (Н, МПа)
Тальк	1	23.5
Гипс	2	353
Кальций	3	1069
Флюорит	4	1854
Апатит	5	5258
Ортоклаз	6	7799
Кварц	7	10987
Топаз	8	13999
Корунд	9	20209
Алмаз	10	98689

12-§. Микроскоплар учун мосламалар

1.Объектни ёритиш учун мосламалар. ОИ-9М типидаги ёритқич икки линзали коллектор ва лампочкадан ташкил топган. Лампа 127/220 в ли манбадан камайтирувчи трансформатор орқали ишлатилади. Бу турдаги ёритқич препаратни ўтувчи нурда ёритишга хизмат қиласди.

ОИ-24 типидаги ёритқич препаратни ўтувчи нурда ёритиш ва тасвирини тушириш учун хизмат қиласди. Унинг лампаси 12 в ва 100вт да, 127/220 в ли манбада камайтирувчи трансформатордан ишлайди.

ОИ-17 типидаги ёритқичлар препаратларни 400 ва 365 нм гача бўлган кўк бинафша ва яқин ультрабинафша нурларида люминесценцияни қўзғатиш учун хизмат қиласди. Ёруғлик манбай сифатида СВД-120А типидаги симоб кварцли лампа ишлатилади. Бу лампа 220 в ли ўзгарувчан токда маҳсус пультдан кувват олади.

2.Объектни кузатиш учун мосламалар. АУ-29 типидаги бинокуляр мослама - объектни бир вақтнинг ўзида иккала кўз билан кўришга мосланган. Бунда микроскопда ишловчининг толиқиши камаяди ва шу билан бирга кузатиладиган картинани

аниқроқ күришга имкон беради. У МИН-8 ва МИД-1 микроскопларига ұрнатиласы.

Бинокуляр мослама комплектига 7X, 10X ва 15X окулярлари киради.

АУ-14 типидаги демонстрация (намойиш) мосламаси объектни бир вақтнинг үзіда иккита кузатувчи кузатишига мосланған. Илмий-тадқықот ишларыда, үқув жараёнида ва маслағат олишда ишлатиласы.

МКС-3 ярим ұтказувчан столчаси термоэлектрик иситиши ва совитиши орқали олиб борилади. Унинг диапозони -10°C дан + 70°C гача бўлиб, иситиши манбаи термобатареялардир.

3. Микрофотографиялар учун мосламалар. Бу мақсадларда стерескопик микроскоп учун МФН-5 ва оддий микроскоп учун МФН-12 мосламалари қўлланилади. Улар корпуси ва 35 мм плёнка учун плёнкали камерадан ташкил топган бўлади.

4. Объектни монохроматик нур ёрдамида ёритишга мўлжал-ланган мосламалар. Бу мақсадда МПФ-1 типидаги монохроматор ишлатиласы. Ёритиш диапазони 420-650 нм. Унинг ишчи бўлаклари: револьверли фильтр ұрнатилган диск бўлиб, у 650, 610, 550 ва 450 нм да максимал ұтказиш учун хизмат қиласы. Дискнинг олтинчи тешиги прераратга оқ нур туширишга имкон беради.

5. Микроскопларнинг катталаштириш даражасини таъминловчи мосламалар. Улар қаторига объектив (объектни катталаштирувчи линза ёки бир нечта линзалардан ташкил топган мураккаб оптик қурилма) ва окуляр (күриш учун катталаштириб берувчи қурилма, у цилиндр шаклидаги металл трубага үрна-тилган иккита линзадан ташкил топган) ларнинг тўплами киради. (4-жадвал):

4-жадвал

Объектнинг катталаштириш даражаси

Объектив	Окуляр ва катталаштириш					
	5x	6x	8x	12x	15x	17x
3x	15	18	24	37.5	45	51
8x	40	48	64	100	120	136
20x	100	120	160	240	300	340
40x	200	240	320	480	600	680
60x	300	360	480	720	900	1020
90x	450	540	720	1080	1350	1530
						1800

6. Проекциялаш мосламалари. Бу мақсадда РА-5 русумли мослама қўлланилади. У объективнинг микроскоп билан катталаштирилган тасвирини расмга олиш ва проекциялаш учун хизмат қиласы. Аппарат билан қоронги хонада ишлаш зарур. Ёритқич сифатида эса ОП-24 типидаги ёритқичлар ишлатиласы.

7. Иммерсион микрорефрактометр мосламаси. Бундай асбоб ёрдамида стандарт иммерсион суюқликларининг ва иммерсион препаратларидағи моддаларнинг ёруғлик нурини синдириш күрсаткичлари аниқланади.

8. Моддаларнинг нисбий мөқдорини аниқлаш мосламаси. Улар қаторига окуляр-сетка ва интеграцион столча киради.

13-§. Препаратларни тайёрлаш усуллари

Материал, буюм ва тажриба намунасини микроскопик текширишга қуруқ ёки хұл усулларда тайёрлаш ва тадқиқотлар үтказиш учун асосан қуйида батағсил баён қилинган уч усулдан фойдаланилади.

1. Иммерсион препаратларни тайёрлаш. Бу усул энг қадимий ва энг осон усуллардан бири бўлиб, унда иммерсион препаратларни тайёрлаш қуйидаги соддалаштирилган схема бўйича тайёрланади:

Шишадан намуна турадиган бўлакча ясаш (узунлиги 6 см, эни 2 см) ва уни спиртланган пахта ёки дока ёрдамида тозалаш.



Микроскоп предмет столи юзасига тоза шиша бўлагини ўрнатиш ва иммерсион суюқликни суртиш (ёйиш).



Текширилаётган моддани майдалаш ва туйиш.



Майда туйилган модда (10-20мг)ни учи иммерсия суюқлиги билан хўлланган нина, пичноқ ёки сим ёрдамида шиша бўлагидаги суюқликка үтказиш.



1,5x1,5 см² юзали предмет столидаги иммерсион суюқлигини ингичка шишадан ясалган шаффофф материал билан қоплаш.



Фильтр көғоз ёрдамида предмет столи ва қопловчи ингичка шаффофф шиша орасидан чиққан ортиқча суюқликни тортиб олиш.



Тайёр иммерсион препаратни МИН-8 микроскопига ўрнатиш.



МИН-8 микроскопи ёрдамида турли хосса ва хусусиятларни аниқлаш, керак бўлса, тасвирини фотография усулида тушириш.

2. Шаффоф шлифлар тайёрлаш. Шаффоф шлиф тайёрлаш иммерсия усулида шлиф тайёрлашдан тубдан фарқ қиласи. Иммерсия усулида суюқликни тез-тез алмаштириб туриш мумкин. Бу ерда эса шаффоф шлиф тайёрлаш анчагина мураккаб жараёндир. Уни күйидаги тизим буйича амалга оширилади:

Диаметри 300 мм ли шлифовка станогида силлиқлантирувчи суюқлик иштирокида (богловчи моддалар учун спирт, керосин ва бензин) қалинлиги 3-4 мм гача бўлган намуна пластиинкаларни тайёрлаш ва силлиқлаш.

↓
Предмет столи (шиша) га канада ёки пиҳтов бальзами ёрдамида намунани ёпиштириш.

↓
Намунанинг очиқ юзасини 150 мк қалинликкача шлифовкалаш (силлиқлаш).

↓
Намуна юзасини ювиш.

↓
Намуна юзасини қуритиш.

↓
Иситиш ва юзага бальзам томчиларини томизиш.

↓
Ингичка шиша қоплама билан юзани беркитиш (ёпиш).

↓
Шаффоф шлифни микроскопнинг предмет столчасига ўрнатиш.

↓
Тегишли тадқиқотларни олиб бориш.

3. Силлиқланган (полировка қилинган) шлифларни тайёрлаш. Бундай шлифлар металлографик микроскоплари учун қуйидаги тартибда амалга оширилади:

Қаттиқ, мўрт бўлмаган
текширилувчи жисм

Фовак ёки мўрт
текширилувчи жисм.

↓
Канифол, канада бальзами
ёки олтингугарт ёрдамида
материални қотириш

↓
ШПС-73, ШС-1000 станокларининг чўян дискларда шлифовка қилиш. Шлифовка вақтида куқун сифатида абразив

куми SiO_2 , корунд $\alpha\text{-Al}_2\text{O}_3$, карборунд SiC , наждак-тоғ жинси, пемза Fe_2O_3 , алмаз С кабилар ишлатилади. Одатда қуқун сув билан аралашган (пульпа) ҳолда бұлади.

↓

Сүкно билан қопланған дисклар ёрдамида силлиқ қилиш. Дискнинг айланиш тезлиги минутига 400-500 марта. Силлиқловчи суспензия-хром оксиди Cr_2O_3 , крокус Fe_2O_3 , полирит(CeO_2 , TR_2O_3) ва чанглар ёрдамида тайёрланади.

↓

$\text{Ювиш} - \text{H}_2\text{O}$

↓

Кимёвий бирикмалар ёрдамида үйиш. Масалан, CaO 2-3 сек дистилланған сув билан; 3CaO SiO_2 2-3 соат $\text{C}_4\text{H}_{10}\text{O}$ нинг $\text{C}_2\text{H}_5\text{OH}$ даги эритмаси билан ёки 3 секунд HF буглари билан; 2CaO SiO_2 2-3 сек HNO_3 нинг 1%ли спиртли эритмаси билан.

↓

Полировкаланған шлиф металлографик микроскопга ўрнатылади.

↓

Металлографик микроскоплар ёрдамида тадқиқотлар олиб борилади.

14-§. Микрофотография намуналари

Микрофотография усули орқали тасвир ҳужжат мақомини олади. Шунинг учун магистрлик, номзодлик ва докторлик диссертация ишлари олиб борища, солишириш эталонлари ясашда ва корхона маҳсулотлари сифатини тасвир орқали белгилашда ишлатыща у бебаҳодир.

Барча микроскопларга фотоаппаратлар ўрнатыш мумкин. Тасвир қайтган ва ұтувчан нур асосида пайдо бўлиши ва олиниши мумкин. Қуйидаги 5-8-расмларда ўзига хос кристалларнинг микрофотолари берилган.

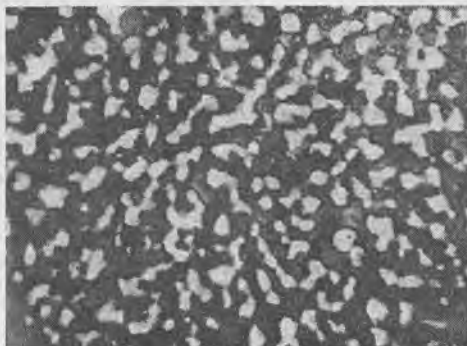
5-расмдаги фото стронций-лантан алюминати $\text{SrLaAl}_3\text{O}_7$ га тааллуқли. Шу минералга оид шихта электр ёйли печида эритилган бўлиб, у совитилаётган пайтда кристаллизацияга учраган. Микрофото металлографик микроскоп МИМ-7 да қайтган нурлар ёрдами ва 600 марта катталаштирилган ҳолда ҳосил қилинган ҳамда фотопластинкага туширилган. Анишлиф олдиндан маҳсус кимёвий эритма ёрдамида ишланган. Шу туфайли тетрогонал сингонияга эга бўлган мелилитсимон кристалл до-

наларининг кўриниши ва ўлчами ҳақида аниқ маълумотга эга бўлинди.

6-расмда SrSiO_3 – $\text{CaMgSi}_2\text{O}_6$ эвтектик диаграмм холатига оид фото келтирилган. Бу диаграмма 37,5 SrSiO_3 холатида 1310°C ли эвтектика ҳосил қиласи. Расмдаги оқ майдон диопсид минералига тааллукли бўлиб, призма шаклидаги кристаллар SrSiO_3 қаттиқ қотишмасига тўғри келади. Фото олишга тайёрланган намуна 1450°C ли ҳароратда 5 соат ушланган. Эритувчи модда сифатида махсус аралашма ($10\text{мл } \text{H}_2\text{SiF}_6 + 10 \text{ мл } \text{H}_2\text{O} + 1 \text{ мг } \text{CoCl}_2$) ишлатилган. Аралашманинг тасир этиш вақти - 10 сек. Катталашибориши 400 марта.

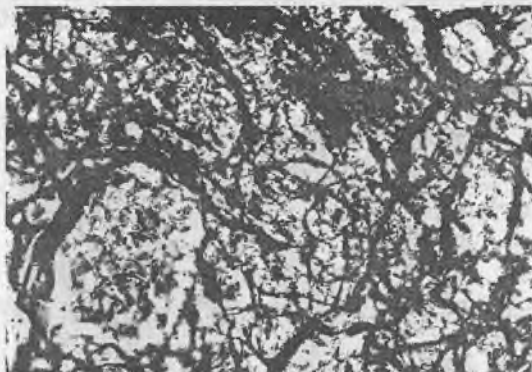


6-расм. “ $60 \text{ SrSiO}_3 + 40 \text{ CaMgSi}_2\text{O}_6$ ” ли шихта асосида олинган шишани 1450°C ли ҳароратда 5 соат давомида ушлаш натижасида пайдо бўлган тасвир. 400 марта катталашибориленган.

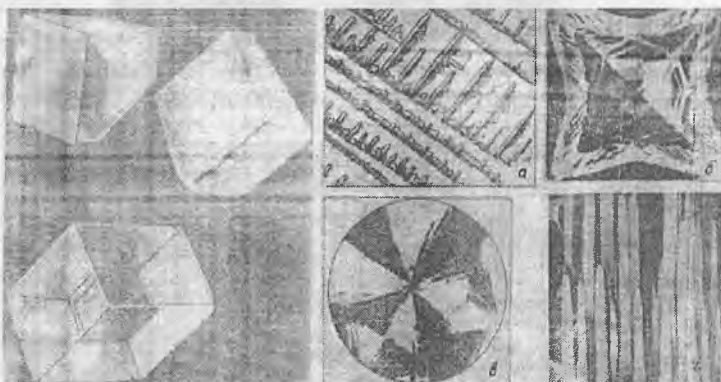


7-расм. “ $60 \text{ SrSiO}_3 + 40 \text{ CaMgSi}_2\text{O}_6$ ” асосида олинган шишани 1150°C ли ҳароратда 5 соат давомида ушлаш натижасида пайдо бўлган квазиэвтектикага оид тасвир. 600 марта катталашибориленган.

7-расмда “ $60 \text{ SrSiO}_3 + 40 \text{ CaMgSi}_2\text{O}_6$ ” таркибли шишани эвтектика нүктаси (1310°C) дан пастда, яъни 1150°C ли ҳароратда 5 соат ушлаш натижасида ҳосил бўлган квазиэвтектика кўриниши берилган. Қора майдон SrSiO_3 қаттиқ қотицмасига тегишли, оқ доналар эса диопсид минерали доначалариридир. Олтингуругуртга қотирилган намуна юқорида таркиби келтирилган маҳсус модда ёрдамида 3-4 сек давомида ишланган.



8 – расм. $\text{CaTRGa}_3\text{O}_7$ га оид микрофотография. Анишлиф. 600 X



9-расм. Шаффооф кальцит-исланд шпати кристалларининг кўриниши.

10-расм. Камқиррали кристалларнинг шакллари:
а-дендритлар; б-скелестлар; в-сферолитлар;
г-ипсимон кристаллар.

Ўтган нурлар ва ёқилган анализатор ёрдамида анишлифдан олинган $\text{CaTRGa}_3\text{O}_7$ кристалларига оид фото 8-расмда берил-

ган. $\text{CaTRGa}_3\text{O}_7$ шихтаси 1250-1300°C ли ҳароратда қаттиқ фазали реакциялар усули бүйича пиширилган. Катталаштириш миқдори 600. Намуна маҳсус бирикма ёрдамисиз олинган. Кристалл доначаларининг чегаралари сув таъсирида пайдо бўлган. Умумлаштириб олинганда кристалларнинг шакли уларнинг турғун ҳолати ёки реал ҳолатига боғлиқ, шу жумладан, кристалларнинг ташқи қиёфаси ёки кристалларнинг ўсиши ташқи муҳитга ўта боғлиқдир.

Кристалларнинг турғун ҳолати ўсаётган кристалл атрофида «хом ашё» нинг етарли даражада бўлиши билан боғлиқ. Бу холда кристалларга хос бўлган қиррали полизэдрик шакл пайдо булади. Турғун кристалларнинг пайдо бўлиши 1878 йили У. Гиббс, 1885 йили П. Кюри ва 1901 йили Г.В. Вульф томонидан ишлаб чиқилган қоидаларга амал қиласди:

$$\sum S_i f_i = \min, \quad V=\text{const},$$

бу ерда S_i – кўпқиррали кристалл; f_i – қиррасининг майдони; f_i – бу қирранинг солиштирма ташқи энергияси; V – кристалл ҷажми.

Кристалларнинг реал шакли юқорида айтилган шартларга амал қилинмаган ҳолатда рўй беради. Унинг тузилиши фақат сингониясига боғлиқ бўлиб қолмай, шу билан бирга уларнинг тўйиниш даражаси, ҳарорати, ташқи муҳит таркиби ва бошқа параметрларга боғлиқ.

Юқорида қайд қилинганлардан ташқари кристалларга хос бўлган ташқи қиёфа фақат турғунли шароитда, яъни кристаллизация жараёни ўта секин амалга оширилганда рўй беради. 9-расмда шундай шароитда ўстирилган шаффоф қальцит-исланд шпати кристалларининг кўриниши келтирилган.

Кристаллар ўсиши турғун ҳолатидан реал ҳолатига ўтганда дендрит, скелет, сферолит ва ипли кристаллар ҳосил бўлади (10-расм). Бир қараганда бир-бирига ўхшаш тўйилган дендрит ва скелет шакллари тубдан фарқ қиласди: скелетли кристаллар монокристаллардир, дендритлар эса – поликристалл агрегатлардир.

15-§. Тупроқ минераллари, баъзи бир оксидлар ва кальций оксиди - кремний оксиди тизимидағи фазаларнинг оптик тавсифлари

Ҳар қандай ноорганик модда, шу жумладан, табиий ва сунъий силикат моддаларининг ўзига хос оптик константалари бўлади. Масалан, улар нур синдириш кўрсаткичи, сингонияси,

габитуси ва бошқа хусусиятлари билан бир-бирларидан фарқланади. Шунинг учун номаълум модданинг оптик хоссалини аниқлаш ва уларни этalon ёки маълум моддалар кўрсаткичларига таққослаш асосида унинг қайси модданинг кристали эканлигини айтиш мумкин.

5-жадвал

Муҳим ва кўп тарқалган тупроқ минералларининг оптик хусусиятлари

№	Минералнинг номи	Нур синдириши кўрсаткичи			Габитус
		N _p	N _g	N _g -N _p	
1.	Каолинит (триклин, Z=2) $\text{Al}_2\text{O}_3 \cdot 2\text{SiO}_2 \cdot 2\text{H}_2\text{O}$	1.553	1.560	0.007	Олти бурчак шаклидаги пластиналар
2.	Галлуазит $2[\text{Al}_2\text{O}_3 \cdot 2\text{SiO}_2 \cdot 2\text{H}_2\text{O}] \cdot (4\text{H}_2\text{O})$	1.526-1.532	-	-	Майдо доначалар
3.	Галлуазит $2[\text{Al}_2\text{O}_3 \cdot 2\text{SiO}_2 \cdot 2\text{H}_2\text{O}] \cdot 2\text{H}_2\text{O}$	1.548-1.556	-	-	Майдо доначалар
4.	Монтмориллонит (Ca,Mg) O· $\text{Al}_2\text{O}_3 \cdot (4-5)\text{SiO}_2 \cdot x\text{H}_2\text{O}$	1.480-1.590	1.516-1.630	0.036-0.040	Жуда майдо доналади кирримсимон
5.	Нонтронит* $\text{Fe}(\text{OH})\text{Si}_2\text{O}_5 \cdot 2\text{H}_2\text{O} \cdot \text{Fe}_2\text{O}_3 \cdot 4\text{SiO}_2 \cdot 5\text{H}_2\text{O}$	1.565-1.600	1.600-1.640	0,035-0,040	Майдо доначалар, чўзилган пластинка майдончалари
6.	Иллит	1.45	1.57	0,12	Слюдасимон, яхши ривожланмаган гексагонал шаклдаги танталар
7.	Монотермит 0,2 (K,Na, Mg,Ca) O· $\text{Al}_2\text{O}_3 \cdot 3\text{SiO}_2 \cdot 2\text{H}_2\text{O}$		N _m =1.55-1.57	-	Нозик тангасимон
8.	Пирофиллит (моноклин, Z=4) $\text{Al}_2\text{O}_3 \cdot 4\text{SiO}_2 \cdot \text{H}_2\text{O}$	1.552	1.600	0.008	Радиал-пластиналари, япроқсимон, доначаларнинг тўла агрегатлари.

*Нонтронит: m|Mg₃(Si₂O₅)₂(OH)₂|p|(Fe,Al)₂(Si₂O₅)₂(OH)₂]nH₂O

Юқоридаги жадвалларда тупроқ минераллари, оксидлар ва бир муҳим тизим оид моддаларнинг оптик тавсифлари келтирилган.

Күйилдаги 6-жадвалда оксидлар күрсаткичига оид маълумотлар берилган.

6-жадвал

Баъзи оксидларининг оптик тавсифи

№	Оксиднинг номи	Таркиби	Нур синдириш кўрсаткичи		Ng-Np	Габитус
			Ng	Np		
1.	α-Кварц	α-SiO ₂	1.541	1.533	0.008	Бипирамидали
2.	α-Тридимит	α-SiO ₂	-	-	Кучсиз	-
3.	β-Кристобалит	β-SiO ₂	1.487	1.484	0.003	Октаэдрлар, доначалар, қўшалоқлар
4.	α-Кристобалит	α-SiO ₂		1.466	-	Тангачалар, доналар
5.	γ-Глиназём	γ-Al ₂ O ₃		1.696	-	-
6.	β-Глиназём	β-Al ₂ O ₃	1.655	1.630	0.025	-
7.	α-Глиназём	α-Al ₂ O ₃	1.768	1.760	0.008	Устунсимон, пирамидасимон
8.	Магний оксили	MgO		1.736	-	Думалоқ доначалар
9.	Кальций оксили	CaO		1.837	-	Думалоқ доначалар
10.	Темир оксили	Fe ₂ O ₃	2.95	2.77	0.18	-
11.	Литий оксили	Li ₂ O		1.644	-	Донача ва кублар
12.	Мис оксили	Cu ₂ O		2.705	-	Октаэдрлар
13.	Марганец оксили	MnO		2.23	-	Октаэдрлар
14.	Никель оксили	NiO		2.27	-	Октаэдрлар
15.	Стронций оксили	SrO		1.870	-	Кублар
16.	Калмий оксили	CdO		2.49	-	Октаэдр ва кублар
17.	Барий оксили	BaO		1.980	-	Кублар
18.	Бериллий оксили	BeO	1.733	1.719	0.014	Призмалар
19.	Цинк оксили	ZnO	2.029	2.013	0.016	Гексагонал кристаллар
20.	Кўрошии оксили	PbO	2.665	2.535	0.130	Таблицалар

5-жадвалдан тупроқ минералларининг оптик кўрсаткичлари бир-бира га яқинлиги кўриниб турибди. Тупроқ минералларидан оксидларга ўтадиган бўлсак, хоссаларидағи фарқ сезиларлироқ даражада бўлади. Айниқса, SiO₂, Al₂O₃, MgO, CaO ва Fe₂O₃ орасидаги тафоввут ўта сезилувчандир (6-жадвал).

Силикатларнинг фазовий диаграмма ҳолатларини текширишда ҳам оптик кўрсаткичларга таяниш ижобий натижа беради. Айниқса, кремний - кислород, магний оксили - кремнезем, кальций оксили-кремнезем каби тизимларни таҳлил қилишда у қўл келади.

Куйидаги 7-жадвалда $\text{CaO}-\text{SiO}_2$ тизимиға оид маълумотлар берилган.

7-жадвал
 $\text{CaO}-\text{SiO}_2$ системасининг кристаллик фазалари

Бирикма	Кристалл тизим	Габитус	Ажраклиш қоби-лияти	Ng	Np	$2 V^o$	Оптик белги
Ca_3SiO_5 (алит)	Гексагонал	Олтибур-чакли пластинка ва доначалар	Аниқ эмас	1.723	1.717	0	(-)
$\alpha\text{-Ca}_2\text{SiO}_4$	Гексагонал	Олтибур-чакли пластинка ва доначалар	-	-	-	-	-
$\alpha'\text{-Ca}_2\text{SiO}_4$ (бредигит)	Ромбик	-	-	-	-	-	-
$\gamma\text{-Ca}_2\text{SiO}_4$ (оливин туридаги гузилма)	Ромбик (оливин туридаги гузилма)	Приз-малар	(010) текис-лиги бўйича аниқ	1.654	1.642	60	(+)
$\beta\text{-Ca}_2\text{SiO}_4$ (метастабил, белит, фелит, ларит)	Моно-клин	-	(010) ва (100) бўйича аниқ	1.735	1.717	Катта	(+)
$\text{Ca}_3\text{Si}_2\text{O}_7$ (ранкинит)	Моно-клин	Приз-малар	-	1.650	1.641	Катта	(+)
$\alpha\text{-CaSiO}_3$	Псевдогек-сагонал, триклин	Узун призма, доначалар	(001) бўйича, бавзан (001) бўйича қўша-локлар	1.654	1.610	0-8	(+)
$\beta\text{-CaSiO}_3$ (волластонит)	Триклин	Доскаси-мон инди-видлар	(100) бўйича аниқ	1.631	1.616	39	(-)

16-§ Диагностика мақсадларида фойдаланиладиган микроскопик кўрсаткичлар

В 5222400 — «Кимёвий технология» йўналишининг «Силикат ва зўргасуюлувчан материаллар технологияси» соҳаси хом

ашёлари, яримфабрикатлари, материаллари ва буюмларини бир-биридан ажратиб олишда микроскоп ва унинг ёрдамида аниқланадиган параметларнинг роли жуда катта. Бундай мақсадларда оддий микроскопдан ҳам, электрон микроскопидан ҳам унумли фойдаланиш мүмкин.

Диагностика мақсадларида фойдаланилайдиган микроскопик күрсаткичлар қаторига моддаларнинг нур синдириш күрсаткичлари биринчи навбатда киради. Аморф таркибли қаттиқ модда ҳамда куб қисмига мойил бўлган кимёвий моддалар учун нур синдириш күрсаткичи барча йўналишларда бир хил қийматтага эга. Тузилиши бўйича гексагонал, тетрагонал ва ромбикли тузилмаларга тааллуқли моддаларда бундай қиймат икки турли бўлиб, улар Ng ва Nr күрсаткичлари номи билан аталади. Тузилиши жиҳатидан ўта мураккаб бўлган моноклин, тригонал ва триклин тузилмали сунъий ҳамда табиий кристалл моддаларида бундай күрсаткичлар сони учтага етади.

Диагностика күрсаткичлари ичиди кристалл моддаларига хос бўлган ΔN ва $2V$ ларнинг қийматлари гоҳида рақам ҳолатида, гоҳида шартли белгилар орқали берилган (8-жадвал).

8-жадвал

Ng – Nr ва 2V лар қийматини нисбий аниқлаш шкаласи

Нурнинг иккиланиб синиш шкаласи		Оптик ўқларнинг бурчак каттагиши шкаласи	
Ng-Nr ни нисбий аниқлаш	Ng-Nr нинг кўзда тутилган қиймати	2Vнинг нисбий қиймати	2Vнинг кўзда тутилган қиймати
Жуда кучсиз	0,002	Жуда кичик	10° (ёки 15°)
Кучсиз	0,006	Кучсиз	25°
Ўртacha	0,014	Ўртачадан кичик	40°
Бироз кучсиз	0,023	Ўртача	50°
Кучли	0,032	Ўртачадан катта	60°
Жуда кучли	0,045	Катта	70° (ёки 75°)
Жуда-жуда кучли	> 0,050	Жуда катта	80° (ёки 85°)

**Табиий ва сунъий кремнийли кимёвий бирикмаларнинг бир
қисмига оид асосий микроскопик кўрсаткичлар**

Модда	Нур синдириш кўрсаткичлари			Бошқа кўрсаткичлар
	N _g	N _p	ΔN	
2Li ₂ O·SiO ₂	1.610 N _m =1.608*	1.602	0.008	Ромбик (псевдогексагонал) сингонияли. Донсимон ва қўшалоқ кристаллар. Оптик белгиси (+), 2V кичик, ρ _{тажр.} = 2.39 г/см ³ . 1255°C да инконгруэнт эрийди (Li ₂ O ва суюқликка ажralади)
Li ₂ O·SiO ₂ - I	1.670 N _m =1.650*	1.650	0.020	Ромбик (псевдогексагонал) сингонияли, a=9.361, b=5.395, c=4.675 Å, Z=4, Li _{k.c.} =4. Кристаллари нинасимон ва призмалар кўринишида. Оптик белгиси (+), 2V=0°, ажралиши узун томон бўйлаб, ρ _{тажр.} = 2.524 ва ρ _{хис.} =2.535 г/см ³ . Эриш нуқтаси 1200°C
Li ₂ O·SiO ₂ - II	1.599	1.587	0.012	Тетрагонал сингонияли, a=9.39, c=5.92 Å, Кристаллар габитуси-ни-насимон. Бир ўқли, мусбат
Li ₂ O·2SiO ₂	1.558 N _m =1.550	1.547	0.011	Ромбик сингонияли, a=5.80±0.02, b=14.66±0.05, c=4.806±0.015, Z=4. Донсимон ва тўғри бурчакли жадвалсимон кристаллар. Оптик белгиси (+), 2V=50-60°. Ажралиши-уч йўналишда 90° ли бурчак остида, ρ _{тажр.} = 2.454 ва ρ _{хис.} = 2.438 г/см ³ . Эриш нуқтаси 1032°C.
α - Эвкриптит - Li ₂ O·Al ₂ O ₃ ·2SiO ₂	1.587±0.002	1.572±0.002	0.015	Гексагонал сингонияли, a=13.54 ва c=9.01 Å. Кристалларининг габитуси - пирамидалар ҳолида. Бир ўқли, мусбат, ρ _{тажр.} =2.64 г/см ³ . Эриш нуқтаси 1388°C.
β - Эвкриптит- Li ₂ O·Al ₂ O ₃ ·2SiO ₂	1.524±0.003	1.520±0.003	0.004	Гексагонал сингонияли, a=5.27, c=11.25 Å, Z=3. Кристаллари билирамида кўринишида. Бир ўқли, манфий, ρ _{тажр.} =2.35 г/см ³ .

α - Сподумен – $\text{Li}_2\text{O}\cdot\text{Al}_2\text{O}_3\cdot 4\text{SiO}_2$	1.750 $N_m=1.730$	1.720 $N_m=1.730$	0.030	Моноклин сингонияли, $a=9.50$, $b=8.30$, $c=5.24 \text{ \AA}$, $\beta=110^0 28'$, $Z=4$. Нинасимон кристаллар. Икки ўқли, мусбат, суниш бурчаги 30р атрофида, $\rho_{\text{тажр.}}=3.2 \text{ г/см}^3$. Эриш нүктаси 1380^0C .
β - Сподумен – $\text{Li}_2\text{O}\cdot\text{Al}_2\text{O}_3\cdot 4\text{SiO}_2$	1.522	1.516	0.006	Тетрагонал сингонияли. Бипирамидасимон кристаллар. Бир ўқли, мусбат, $\rho_{\text{тажр.}}=2.41 \text{ г/см}^3$. Эриш нүктаси 1423^0C .
Петалит - $\text{Li}_2\text{O}\cdot\text{Al}_2\text{O}_3\cdot 8\text{SiO}_2$	1.516 $N_m=1.510$	1.504	0.012	Моноклин сингонияли, $a=11.77$, $b=5.13$, $c=15.17 \text{ \AA}$, $\beta=112^0 44'$. Кристаллар габитуси-нинасимон. Икки ўқли, мусбат, $2V=83^0 34'$, $\rho_{\text{тажр.}}=2.42 \text{ г/см}^3$, қаттиқұлғы 6.5, кислоталарда (HF дан ташқары) эримайды.
$\text{Li}_2\text{O}\cdot\text{K}_2\text{O}\cdot 4\text{SiO}_2$	1.540 $N_m=1.538^*$	1.536	0.004	Ромбик сингонияли, икки ўқли, $2V=53^0$. Эриш нүктаси 870^0C .
$\text{Li}_2\text{O}\cdot 2\text{K}_2\text{O}\cdot 6\text{SiO}_2$	1.515 $N_m=1.512$	1.510	0.005	Ромбик сингонияли, икки ўқли, $2V=85-90^0$. Эриш нүктаси 815^0C .
$\text{Li}_2\text{O}\cdot 5\text{K}_2\text{O}\cdot 4\text{SiO}_2$	1.520 $N_m=1.517^*$	1.515	0.005	Ромбик сингонияли, икки ўқли. Эриш нүктаси 830^0C .
$\text{Li}_2\text{O}\cdot 5\text{K}_2\text{O}\cdot 7\text{SiO}_2$	1.555 $N_m=1.552^*$	1.550	0.005	Ромбик сингонияли, икки ўқли. $2V=13^0$. Эриш нүктаси 880^0C
$2\text{Li}_2\text{O}\cdot 5\text{K}_2\text{O}\cdot 7\text{SiO}_2$		1.540	-	Кубик сингонияли. Эриш нүктаси 900^0C
$\text{Li}_2\text{O}\cdot\text{Na}_2\text{O}\cdot 2\text{SiO}_2$	1.571 $N_m=1.557$	1.552	0.019	Ромбик сингонияли. Кристаллари призма күрнишида. Икки ўқли, мусбат, $2V$ катта. Эриш нүктаси 847^0C
$\text{Li}_2\text{O}\cdot\text{La}_2\text{O}_3\cdot 2\text{SiO}_2$	1.870	1.843	0.027	Гексагонал сингонияли, бир ўқли, манфий
$\text{Li}_2\text{O}\cdot\text{Al}_2\text{O}_3\cdot 2\text{SiO}_2\cdot 2\text{H}_2\text{O}$	1.535 $N_m=1.528^*$	1.525	0.010	Ромбик сингонияли. Кристаллари столба күрнишида, икки ўқли
$2\text{LiF}\cdot\text{SiF}_4\cdot 2\text{H}_2\text{O}$	1.300 $N_m=1.298^*$	1.296	0.004	Моноклин сингонияли, $\rho_{\text{тажр.}}=2.33 \text{ г/см}^3$

$\alpha - 2\text{Na}_2\text{O} \cdot \text{SiO}_2$	1.537 $N_m = 1.530^*$	1.524 $N_m = 1.530^*$	0.013	Моноклин сингонияли. Полисинтетик құшалоқ кристаллар ҳолда. Икki ўқли, сүниш бурчаги 8ғаға. 1089°C да парчаланады, 960°C да бошқа формага үтады
$\beta - 2\text{Na}_2\text{O} \cdot \text{SiO}_2$		$N_{\text{уртата}} = 1.536$	Куч-сиз	Пластиинка шаклли кристаллар. Икки ўқли, оптик белгиси (-), сүниш бурчаги 15ρ атрофифа, $\rho_{\text{тажр.}} = 2,58 \text{ г/см}^3$
$\text{Na}_2\text{O} \cdot \text{SiO}_2$	1.528 $N_m = 1.520$	1.513 $N_m = 1.520$	0.015	Ромбик сингонияли, $a=10.43$, $b=6.02$, $c=4.81 \text{ \AA}$, $Z=4$. Призма ва нина шаклли кристаллар. 2V жуда катта, оптик белгиси (-), түрі сүниш бурчагига эга, ажралиши-призма бўйича, $\rho_{\text{тажр.}} = 2.500$ ва $\rho_{\text{хис.}} = 2.685 \text{ г/см}^3$. Эриш нуқтаси 1089°C
$\alpha - \text{Na}_2\text{O} \cdot 2\text{SiO}_2$	1.508 $N_m = 1.505$	1.497 $N_m = 1.505$	0.011	Ромбик сингонияли, $a=6.43$, $b=15.46$, $c=4.91 \text{ \AA}$, $\alpha=\beta=\gamma=90^\circ$, $Z=4$. Кристаллари пластиинкалар ҳолида. 2V= 50-55, оптик белгиси (-), узайиш белгиси (+), ажратиш қобилияти (100) ва (010) бўйича, $\rho_{\text{тажр.}} = 2.47 \text{ г/см}^3$. Эриш нуқтаси 874°C
$\beta - \text{Na}_2\text{O} \cdot 2\text{SiO}_2$	1.515 $N_m = 1.510$	1.500 $N_m = 1.510$	0.015	Моноклин сингонияли элементар панжара ўтчамлари, $a=12.26$, $b=4.80$, $c=8.07 \text{ \AA}$, $\beta=104.18^\circ$, $Z=4$. Кристаллари ингичка псевдогексагональ пластиинка шаклида, $\rho_{\text{тажр.}} = 2.56$ ва $\rho_{\text{хис.}} = 2.628 \text{ г/см}^3$.
$3\text{Na}_2\text{O} \cdot 2\text{SiO}_2$	1.529 $N_m = 1.526^*$	1.524 $N_m = 1.526^*$	0.005	Ромбик сингонияли. Пластиинка-симон кристаллар. Икки ўқли, оптик белгиси (+), $\rho_{\text{тажр.}} = 2.96$ ва $\rho_{\text{хис.}} = 2.60 \text{ г/см}^3$, ажратиш дарзликлари-яқол. Эриш нуқтаси 1122°C
$\text{Na}_2\text{O} \cdot 3\text{SiO}_2$ ($3\text{Na}_2\text{O} \cdot 8\text{SiO}_2$)	1.502 $N_m = 1.499^*$	1.496 $N_m = 1.499^*$	0.006	Моноклин сингонияли, $a=4.90 \pm 0.02$, $b=23.4 \pm 0.1$, $c=15.4 \text{ \AA}$, $Z=4$. Моноклин сингониянга хос кристаллар. Икки ўқли, фазовий группаси $C_5^{5h} \cdot P2_1/c$, $\rho_{\text{тажр.}} = 2.47$ ва $\rho_{\text{хис.}} = 2.50 \text{ г/см}^3$. Инконгруэнт эриши 808±2°C

Жадист - $\text{Na}_2\text{O}\cdot\text{Al}_2\text{O}_3\cdot 4\text{SiO}_2$	1.667 1.655 $N_m=1.659$	0.012	Моноклин сингонияли, $a=9.45$, $b=8.57$, $c=5.25 \text{ \AA}$, $\beta=107^0 15.5^l$, $Z=4$ $\text{NaAlSi}_2\text{O}_6$. Призматик кристаллар. Икки ўқли, мұсбат, $2V=70^0$; $cNg=34.5^0$. Ажralиши 87^0 ли бурчак остида. Қаттықдиги 6-7, $\rho_{тажр}=3.3-3.5 \text{ г/см}^3$
$3\text{Na}_2\text{O}\cdot 6\text{BeO}\cdot 14\text{SiO}_2$	1.545 1.532 $N_m=1.533$	0.013	Ромбик сингонияли, икки ўқли, мұсбат, $2A=60^0$, $2V=38^0$, $\rho_{тажр}=2.55 \text{ г/см}^3$
$\text{Na}_2\text{O}\cdot 2\text{CaO}\cdot \text{Al}_2\text{O}_3\cdot 4\text{SiO}_2$	1.580 1.575	0.005	Тетрагонал сингонияли, $a=8.511$, $c=4.807 \text{ \AA}$. Бир ўқли, манфий. 1080^0 да парчаланади
Лейкофан – $\text{NaF}\cdot\text{BeO}\cdot\text{CaO}\cdot 2\text{SiO}_2$	1.598 1.571 $N_m=1.595$	0.027	Ромбик (псевдотетрагонал) сингонияли, $a=7.39$, $b=7.39$, $c=9.97 \text{ \AA}$. Кристаллари базаль табличка күринишида. Икки ўқли, манфий. $2V=39^0$. Қаттықдиги 4, $\rho_{тажр}=2.96 \text{ г/см}^3$
$\text{Na}_2\text{O}\cdot 2\text{CaO}\cdot 2\text{SiO}_2$	$N_{уртава}=1.665$	0.003	Моноклин сингонияли. Кристаллари планкасимон ва құшалоқ қолатда. Қийшиқ сұнади, $2V$ катта
$\text{Na}_2\text{O}\cdot 2\text{MgO}\cdot 2\text{SiO}_2$	1.654 1.641 $N_m=1.646$	0.013	Моноклин сингонияли, $cNg=38^0$, икки ўқли мұсбат, $2V$ катта
$\text{Na}_2\text{O}\cdot 2\text{CaO}\cdot \text{SiO}_2$	1.60	-	Куб сингонияли, $a=7.50 \text{ \AA}$, $\rho_{тажр}=2.79 \text{ г/см}^3$. Осон эрийди
$\text{Na}_2\text{O}\cdot 2\text{CaO}\cdot 3\text{SiO}_2$	1.599 1.596 $N_m=1.597$	0.003	Паст категорияли сингонияга этә. Кристаллари тұғрибуручакли шаклда. Пластикасимон ва құшалоқ кристаллар ҳам учрайди. Эриш нүктаси 1284^0C
Дсвитрит – $\text{Na}_2\text{O}\cdot 3\text{CaO}\cdot 6\text{SiO}_2$	1.579 1.564 $N_m=1.570$	0.015	Ромбик сингонияли. Призматик кристаллар. Икки ўқли, мұсбат, $2V=75^0$, Ng кристалларнинг узунасыга параллел. 1045^0C да CaSiO_3 ва суюқликса айланади
$2\text{Na}_2\text{O}\cdot\text{CaO}\cdot 3\text{SiO}_2$	1.571	-	Куб сингонияли. Кристалларнинг шакли-октаэдр. 1141^0C да парчаланади

$4\text{Na}_2\text{O} \cdot 3\text{CaO} \cdot 5\text{SiO}_2$	$N_{\text{упрата}}=1.620$	0.002	Ромбик сингонияли. Пинакоид ва призматик қирраларга эга түгри бурчакли кристаллар ҳосил қиласы. Иккى ўқли, мусбат, $2V$ катта, 1125°C да инконгруэнт ерди
Акмит, эгирин - $\text{Na}_2\text{O} \cdot \text{Fe}_2\text{O}_3 \cdot 4\text{SiO}_2$	$1.827 \quad 1.771$ $N_m=1.810$	0.056	Моноклин сингонияли, $a:b:c=1.099:1.0601$, $\beta=106^{\circ}49'$. Кристаллари узайтирилган призма ҳолида. Иккى ўқли, манфий, $2V=60^{\circ}$. Ажралиши - 87° ли бурчак остида. Қаттиқлиги 6-6.5, $\rho_{\text{тажр}}=3.584 \text{ г}/\text{см}^3$, $cNg=104^{\circ}$. Эриш нұқтаси = 990°C
$5\text{Na}_2\text{O} \cdot \text{Fe}_2\text{O}_3 \cdot 8\text{SiO}_2$	$1.625 \quad 1.609$	0.016	Гексагонал сингонияли, кристаллари призматик қиёфада. Бир ўқли, мусбат. Эриш нұқтаси 838°C
$\text{Na}_2\text{O} \cdot 2\text{MgO} \cdot 2\text{SiO}_2$	$1.654 \quad 1.641$ $N_m=1.646$	0.013	Моноклин сингонияли, $cNg=38^{\circ}$, (+), $2V$ катта
$\text{Na}_2\text{O} \cdot 2\text{MgO} \cdot 6\text{SiO}_2$	$1.546 \quad 1.540$ $N_m=1.542$	0.006	Моноклин сингонияли, $cNg=24^{\circ}$, иккى ўқли, (+), $2V$ катта.
$\alpha - \text{Na}_2\text{O} \cdot \text{Al}_2\text{O}_3 \cdot 2\text{SiO}_2$	1.510	-	Кубик сингонияли. 1248°C дан юқорида барқарор. 687°C да Карнегиитта айланади.
Карнегиит - $\text{Na}_2\text{O} \cdot \text{Al}_2\text{O}_3 \cdot 2\text{SiO}_2$	$1.514 \quad 1.509$ $N_m=1.514$	0.005	Триклин сингониялы метастабил фаза. Полисинтетик құшалоқлар ҳосил қиласы, иккى ўқли, (-), $2V=12-15^{\circ}$, $\rho_{\text{тажр}}=2.51 \text{ г}/\text{см}^3$. Сови-тиш жараёнға (227°C ли ҳолаты) да нефелинга айланади
Нефелин - $\beta - \text{Na}_2\text{O} \cdot \text{Al}_2\text{O}_3 \cdot 2\text{SiO}_2$	1.537 1.533	0.004	Гексагонал сингонияли, $a=9.98$, $c=8.44 \text{ \AA}$. Кристаллари базал табличка ва калта призма ҳолида. Бир ўқли, манфий. Ажралиши (1010) ва (001) бүйича, $\rho_{\text{тажр}}=2.619 \text{ г}/\text{см}^3$. Эриш нұқтаси 1526°C
Альбит - $\alpha - \text{Na}_2\text{O} \cdot \text{Al}_2\text{O}_3 \cdot 6\text{SiO}_2$	$1.534 \quad 1.527$ $N_m=1.532$	0.007	Триклин сингонияли, $a=8.23$, $b=13.00$, $c=7.25 \text{ \AA}$, $\alpha=94^{\circ}31'$, $\beta=116^{\circ}20'$, $\gamma=88^{\circ}9'$. Кристаллари - таблетка ва призма күрінішида, иккى ўқли, (-), $2V=45-55^{\circ}$. Ажралиши (001) ва (010) бүйича. Сүниш бурчагы $9-12^{\circ}$ дан $26-37^{\circ}$ гача. Қаттиқлиги 6-6.5, $\rho_{\text{тажр}}=2.61-2.62 \text{ г}/\text{см}^3$

$\beta\text{-Na}_2\text{O}\cdot\text{Al}_2\text{O}_3\cdot6\text{SiO}_2$	1.539 $N_m=1.533$	1.528 $N_m=1.533$	0.011	Икки ўқли, мусбат, $2V=75-83^\circ$. Сүниш бурчаги $7-20^\circ$. $\rho_{шиша}=2.382 \text{ г}/\text{см}^3$
$\text{Na}_2\text{O}\cdot\text{B}_2\text{O}_3\cdot2\text{SiO}_2$		1.572	-	Кубик сингонияли. Эриш нүктаси 760°C . Изотроп хусусиятга эга
$\text{Na}_2\text{O}\cdot\text{Ga}_2\text{O}_3\cdot6\text{SiO}_2$	1.558 $N_m=1.555^\circ$	1.552 $N_m=1.555^\circ$	0.006	Триклин сингонияли. Эриш нүктаси 1015°C . $N_{шиша}=1.519$
Лоренцснит- $\text{Na}_2\text{O}\cdot2\text{TiO}_2\cdot2\text{SiO}_2$	2.02 $N_m=2.01$	1.91	0.11	Ромбик сингонияли. $a=8.66$, $b=14.42$, $c=5.18 \text{ \AA}$. Нинасимон кристаллар. Икки ўқли, манфий, $2V=38-40^\circ$, $N_p=b$, $N_m=a$. Каттиқлиги 6, $\rho_{тажр.}=3.43 \text{ г}/\text{см}^3$
$\text{Na}_2\text{O}\cdot\text{ZrO}_2\cdot2\text{SiO}_2$	1.710 $N_m=1.690^\circ$	1.688 $N_m=1.690^\circ$	0.022	Моноклин сингонияли. Узун-узун нинасимон кристаллар. Сүниши паст бурчак остида.
$2\text{Na}_2\text{O}\cdot2\text{ZrO}_2\cdot3\text{SiO}_2$		1.715 1.692	0.023	Гексагонал сингонияли. Ромбоэдрик обликта эга, $\rho_{тажр.}=2.88 \text{ г}/\text{см}^3$. Эриш нүктаси 1540°C .
Фтор-эденит- $\text{Na}_2\text{O}\cdot10\text{MgO}\cdot4\text{CaO}\cdot\text{Al}_2\text{O}_3\cdot13\text{SiO}_2\cdot\text{SiF}_4$	1.624 $N_m=1.617$	1.605 $N_m=1.617$	0.019	Моноклин сингонияли, $a=9.85$, $b=18.00$, $c=5.28 \text{ \AA}$, $\beta=104^\circ 50'$. Кристаллар нинасимон ва призма күрнишида. (-) $2V=69^\circ$, $\rho_{тажр.}=3.077 \text{ г}/\text{см}^3$
Фтор-бор-эденит - $\text{Na}_2\text{O}\cdot10\text{MgO}\cdot4\text{CaO}\cdot\text{B}_2\text{O}_3\cdot13\text{SiO}_2\cdot\text{SiF}_4$	1.605 $N_m=1.598$	1.588 $N_m=1.598$	0.017	Моноклин сингонияли. $a=9.81$, $b=17.96$, $c=5.27 \text{ \AA}$, $\beta=104^\circ 27'$. Кристаллари нина қиёфасида. (-) $2V=75^\circ$, $N_m=b$, $cNg=12^\circ$, $\rho_{тажр.}=3.042 \text{ г}/\text{см}^3$
$\text{K}_2\text{O}\cdot\text{SiO}_2$	1.528 $N_m=1.521$	1.520 $N_m=1.521$	0.008	Ромбик сингонияли. Донасимон кристаллар. Икки ўқли. Оптик белгиси (+), $2V=35^\circ$, $\rho_{тажр.}=2.538$, $\rho_{шиша}=2.474 \text{ г}/\text{см}^3$. Эриш нүктаси 976°C
$\text{K}_2\text{O}\cdot2\text{SiO}_2$	1.513 $N_m=1.509$	1.503 $N_m=1.509$	0.010	Ромбик сингонияли, олти томонли пластинка, полисинтетик құшалоқлар. Оптик белгиси (-), $2V$ катта. Эриш нүктаси 1045°C
$\text{K}_2\text{O}\cdot4\text{SiO}_2$	1.482 $N_m=1.479$	1.477 $N_m=1.479$	0.005	Моноклин сингонияли. Жадваллар ва құшалоқлар. Оптик белгиси (+), $2V$ катта, қия сүниш, $\rho_{тажр.}=2.335$ ва $\rho_{шиша}=2.384 \text{ г}/\text{см}^3$. Эриш нүктаси 770°C . $N_{шиша}=1.495$.

$K_2O \cdot Al_2O_3 \cdot 2SiO_2$	1.537 $N_m=1.536$	0.009	Ромбик сингонияли, $a=9.01$, $b=15.67$, $c=8.57 \text{ \AA}$. (-), $2V=40^\circ$. Кристаллари псевдогексагонал құшалоқ ҳолида. Ажралиши (001) ва (100) орқали. $N_p=a$, $N_m=b$, $\rho_{тажр}=2.60 \text{ г/см}^3$. Эриш нүктаси 1800°C . 1540°C да бошқа формага ўтады
Калиофилит – $K_2O \cdot Al_2O_3 \cdot 2SiO_2$	1.537 1.533	0.004	Метастабил тексагональ форма, $a=27.0$, $c=8.51 \text{ \AA}$. Кристаллари призмалар ҳолида. Бир ўқли, манфий. Қаттиқлиги 6, $\rho_{тажр}=2.61 \text{ г/см}^3$
Кальцилит – $K_2O \cdot Al_2O_3 \cdot 2SiO_2$	1.542 1.537	0.005	Гексагональ сингонияли, $a=5.17$, $c=8.67 \text{ \AA}$. Бир ўқли, манфий. $\rho_{тажр}=2.59 \text{ г/см}^3$
Лейцит – $\alpha-K_2O \cdot Al_2O_3 \cdot 4SiO_2$	1.495	-	Куб сингонияли, $a=13.40 \text{ \AA}$. Қаттиқлиги 5.5-6, $\rho_{тажр}=2.47 \text{ г/см}^3$. Эриш нүктаси 1686°C
$\beta-K_2O \cdot Al_2O_3 \cdot 4SiO_2$	1.509 1.508	0.001	Тетрагонал сингонияли, $a=12.92$, $c=13.70 \text{ \AA}$. Кристаллари құшалоқ бұлғани сабабли псевдокуб қиёфасида
Fe-лейцит – $K_2O \cdot Fe_2O_3 \cdot 4SiO_2$	1.619	-	Куб сингонияли, $\rho_{тажр}=2.59 \text{ г/см}^3$.
K-акмит – $K_2O \cdot Fe_2O_3 \cdot 4SiO_2$	$N_{\text{ұртача}}=1.800$	0.030	Моноклин сингонияли. Кристаллар призма күринишида. Икки ўқли, манфий
Санидин – $K_2O \cdot Al_2O_3 \cdot 6SiO_2$	1.525 1.520 $N_m=1.525$	0.005	Моноклин сингонияли юқори температурали форма (Ортоклаз), $a=8.4$, $b=12.9$, $c=7.1 \text{ \AA}$, $\beta=115^\circ 35'$, $Z=4$ $KAISi_2O_8$. Кристаллари табличкасымон. Ажралиши (001) ва (010) бүйича. Икки ўқли, манфий, $2V$ жуда кичик. Қаттиқлиги 6, $\rho_{тажр}=2.57 \text{ г/см}^3$
Адуляр – $K_2O \cdot Al_2O_3 \cdot 6SiO_2$	1.524 1.519 $N_m=1.523$	0.005	Моноклин сингонияли паст температурали форма (Ортоклаз), $a=8.45$, $b=12.9$, $c=7.15 \text{ \AA}$, $\beta=116^\circ 31'$. Икки ўқли, мусбат, $2V=50-70^\circ$. Қаттиқлиги 6, $\rho_{тажр}=2.57 \text{ г/см}^3$

Микроклин – $K_2O \cdot Al_2O_3 \cdot 6SiO_2$	1.525 $N_m=1.522$	1.518 $N_m=1.522$	0.007	Триклин сингонияли ўта паст температурали форма, $a=8.44$, $b=13.00$, $c=7.21 \text{ \AA}$, $\alpha=90^\circ$ ¹ , $\beta=115^\circ$ ⁵⁰ ¹ , $\gamma=89^\circ$ ⁵⁵ ¹ , $Z=4$ $KAISi_3O_8$. Икки ўқли, манфий, $2V=83^\circ$. Қаттиклиги 6, $\rho_{\text{тажр}}=2.55 \text{ г/см}^3$. $1170^\circ C$ да лейцит ҳосил қилиш билан парчаланади. Бутунлайнин $1530^\circ C$ да эрииди
$K_2O \cdot Fe_2O_3 \cdot 6SiO_2$	1.609 $N_m=1.605^*$	1.601 $N_m=1.605^*$	0.008	Моноклин сингонияли. Кристаллари құшалоқ ҳолда учрайди. Сүниш бурчаги (010)га нисбатан $7-8^\circ$, $N_m=b$, $\rho_{\text{тажр.}}=2.712 \text{ г/см}^3$
$K_2O \cdot Al_2O_3 \cdot SiO_2$	1.540	-	-	Кубик сингонияли. Кристаллари октаэдрли формага эга
Гиератит – $2KF \cdot SiF_4$	1.339	-	-	Кубик сингонияли. $a=8.18 \text{ \AA}$, $Z=4$. Кристаллари октаэдрлік шакли, $\rho_{\text{тажр.}}=2.665 \text{ г/см}^3$
$K_2O \cdot CaO \cdot SiO_2$	1.605 $N_m=1.600$	1.600 $N_m=1.600$	0.005	Гексагонал сингонияли. Кристаллари гексагонал бипирамида шаклида. Бир ўқли, мусбат. Эриш нүктаси $1630^\circ C$
$4K_2O \cdot CaO \cdot 10SiO_2$	1.548 $N_m=1.537$	1.537 $N_m=1.537$	0.011	Гексагонал сингонияли. Кристаллари пластинка күринишида. Бир ўқли, манфий
$\beta-K_2O \cdot 3CaO \cdot 6SiO_2$	1.570 $N_m=1.565^*$	1.560 $N_m=1.565^*$	0.010	Ромбик сингонияли. Кристаллари призма ва пластиника шаклида. Икки ўқли, манфий, $960^\circ C$ да $K_2Ca_2Si_6O_{15}$ ва шишага ажралади
$K_2O \cdot 2CaO \cdot 6SiO_2$	1.590 $N_m=1.580^*$	1.575 $N_m=1.580^*$	0.015	Кристаллари қалин призма ҳолатида. Икки ўқли, мусбат, $2V$ катта 1115° да $CaSiO_3$ ва шишага ажралади
$2K_2O \cdot CaO \cdot 6SiO_2$	1.543 $N_m=1.541$	1.535 $N_m=1.541$	0.008	Кристаллари паст категорияли сингонияга эга, призма ва пластиника габитуси, (-), $2V=60^\circ$ ⁵ ⁰ . Эриш нүктаси $959^\circ C$
$2K_2O \cdot CaO \cdot 9SiO_2$	1.535 $N_m=1.526$	1.515 $N_m=1.526$	0.020	Паст категорияли сингонияга эга. Габитуси – призма ҳолатида. (-), $2V$ катта

$\alpha\text{-K}_2\text{O}\cdot3\text{CaO}\cdot6\text{SiO}_2$	1.590 1.575 $N_m=1.582$	0.015	Ромбик сингонияли. Кристаллари призма ҳолатида. Сүниши-тұғри, (+), 2V катта. 1115°C да парчаланади
$2\text{K}_2\text{O}\cdot\text{CaO}\cdot3\text{SiO}_2$	1.572	-	Кубик сингонияли. Кристаллари октаэдр шаклида. 1005°C да парчаланади
$\text{K}_2\text{O}\cdot23\text{CaO}\cdot12\text{SiO}_2$	1.703 1.695	0.008	Гексагонал сингонияли. Кристаллари күшалоқлар ҳолатида. Бир ўқли, мусбат
$\text{K}_2\text{O}\cdot\text{MgO}\cdot3\text{SiO}_2$	1.530 1.524	0.006	Гексагонал сингонияли, бир ўқли, манфий. Эриш нүктаси 1134°C
$\alpha\text{-K}_2\text{O}\cdot\text{MgO}\cdot5\text{SiO}_2$	1.501	-	Куб сингонияли, $a=13.39 \text{ \AA}$. Кристалларнинг шакли – куб, октаэдр ва бошқа. Эриш нүктаси 1089°C
$\beta\text{-K}_2\text{O}\cdot\text{MgO}\cdot5\text{SiO}_2$	$N_{\text{штата}}=1.505$	0.002	Кристаллари тола күрініншідә. $\rho_{\text{тажр}}=2.395$ ва $\rho_{\text{шиша}}=2.38 \text{ г}/\text{cm}^3$ $N_{\text{шиша}}=1.498$
$\text{K}_2\text{O}\cdot5\text{MgO}\cdot12\text{SiO}_2$	1.550 1.543	0.007	Гексагонал сингонияли Кристаллари олтиқүрралы табличка ҳолатида. Ажралиш күрінмайды. Бир ўқли, мусбат, $\rho_{\text{тажр}}=2.58 \text{ г}/\text{cm}^3$. Эриш нүктаси 1174°C
$\text{K}_2\text{O}\cdot\text{PbO}\cdot4\text{SiO}_2$	1.650 1.590 $N_m=1.612$	0.060	Кристаллари тұғри бурчаклы пластинкалар ҳолатида. Сүниши-тұғри. Икки ўқли, мусбат, $2V=75^{\circ}$. $N_{\text{шиша}}=1.606$ ва юмшаши 463°C
$\text{K}_2\text{O}\cdot2\text{PbO}\cdot2\text{SiO}_2$	1.93 1.72	0.21	Гексагонал сингонияли. Габитуси-гексагонал пластинкалар. Бир ўқли, манфий. Эриш нүктаси 918°C . $N_{\text{шиша}}=1.775$, юмшаши – 395°C
$\text{K}_2\text{O}\cdot4\text{PbO}\cdot8\text{SiO}_2$	1.790 1.690 0.01 0.01	0.10	Кристаллари-тола ва пластиника шаклида. Сүниши-тұғри
$\text{K}_2\text{O}\cdot\text{ZnO}\cdot\text{SiO}_2$	1.622	-	Кубик сингонияли. Кристаллар шакли – куб ва бошқалар
$\text{K}_2\text{O}\cdot\text{Ga}_2\text{O}_3\cdot6\text{SiO}_2$	1.539 1.533 $N_m=1.535^{\circ}$	0.006	Моноклин сингонияли. Кристалларнинг эриш нүктаси $1000\text{-}1020^{\circ}\text{C}$. $N_{\text{шиша}}=1.513$
$\text{K}_2\text{O}\cdot\text{La}_2\text{O}_3\cdot2\text{SiO}_2$	1.867 1.840	0.027	Гексагонал сингонияли, $a=11.1$, $c=9.05 \text{ \AA}$. Бир ўқли, манфий

$2\text{K}_2\text{O} \cdot 3\text{BeO} \cdot 4\text{SiO}_2$	1.523	-	Куб сингонияли, $\rho_{\text{тажр}} = 2.53 \text{ г/см}^3$
$\text{Rb}_2\text{O} \cdot 2\text{SiO}_2$	1.513 $N_m = 1.510^*$	1.507 0.006	Нина ва призма кристаллар. Икки ўқли, оптик белгиси (+), $\rho_{\text{тажр}} = 3.254 \text{ г/см}^3$. Эриш нүктаси 1090°C
$\text{Rb}_2\text{O} \cdot 4\text{SiO}_2$	1.539	1.532 0.007	Гексагонал пластинкалар. Икки ўқли, оптик белгиси (-), $\rho_{\text{тажр}} = 3.022 \text{ г/см}^3$. Эриш нүктаси 900°C
Рубидийтін лейцит - $\text{Rb}_2\text{O} \cdot \text{Al}_2\text{O}_3 \cdot 4\text{SiO}_2$	$N_{\text{прата}} = 1.526$	Куч-сиз	Тетрагонал сингонияли, $a = 13.37$, $c = 13.73 \text{ \AA}$
$\text{Rb}_2\text{O} \cdot \text{Al}_2\text{O}_3 \cdot 2\text{SiO}_2$	1.530	1.526 0.004	Гексагонал сингонияли, бир ўқ-ли, манфий
Рубидийтін іоневолой шпат $\text{Rb}_2\text{O} \cdot \text{Al}_2\text{O}_3 \cdot 6\text{SiO}_4$	1.529 $N_m = 1.526^*$	1.524 0.005	Паст категориялы сингонияга эга. Икки ўқли, манфий.
$\alpha - \text{Rb}_2\text{O} \cdot \text{Al}_2\text{O}_3 \cdot 4\text{SiO}_2 \cdot \text{H}_2\text{O}$	$N_{\text{прата}} = 1.521$	Куч-сиз	Тетрагонал сингонияли, $a = 13.64$, $c = 13.33 \text{ \AA}$.
$\beta - \text{Rb}_2\text{O} \cdot \text{Al}_2\text{O}_3 \cdot 4\text{SiO}_2 \cdot \text{H}_2\text{O}$	$N_{\text{прата}} = 1.481$	Куч-сиз	Тетрагонал сингонияли, $a = 13.20$, $c = 13.60 \text{ \AA}$.
$\text{Cs}_2\text{O} \cdot 2\text{SiO}_2$	1.563 $N_m = 1.562^*$	1.560 0.003	Донасимон кристаллар. Икки ўқли, оптик белгиси (-), $\rho_{\text{тажр}} = 3.852 \text{ г/см}^3$, кучли гигроскопик хусусият.
$\text{Cs}_2\text{O} \cdot 4\text{SiO}_2$	1.579	1.573 0.006	Гексагонал пластинкалар. Оптик белгиси (-), сұниши - түрі, $\rho_{\text{тажр}} = 3.452 \text{ г/см}^3$, кучли гигроскопик хусусият.
$\text{Cs}_2\text{O} \cdot \text{Al}_2\text{O}_3 \cdot 2\text{SiO}_2$	1.574	-	Кубик сингонияли
$\text{Cs}_2\text{O} \cdot \text{Al}_2\text{O}_3 \cdot 4\text{SiO}_2$	1.523	-	Кубик сингонияли, $a = 13.66 \text{ \AA}$.
Бромсиліт - BeO	1.733	1.719 0.014	Гексагонал сингонияли. Призмалар. Оптик белгиси (+), $2V = 0^\circ$, ажralыш дарзликлари - базис бүйича, $\rho_{\text{тажр}} = 3.00 \text{ г/см}^3$. Эриш нүктаси 2500°C

Фенакит – $2\text{BeO}\cdot\text{SiO}_2$	1.668 1.654	0.014	Тригонал сингонияли. Ромбоэдрлар, призмалар, (1010) бүйича күшалоқлар. Оптик белгиси (+), $2V=0^\circ$, ажралиш қобилиятлари (1120) бүйича, $\rho_{\text{тажр}}=3,00 \text{ г/см}^3$. Инконгруэнт парчаланиши 1560°C ($2\text{BeO}+\text{SiO}_2$)
Берилл - $2\text{BeO}\cdot\text{Al}_2\text{O}_3\cdot6\text{SiO}_2$	1.568 1.602 1.594	0.004- 0.008-	Гексагонал сингонияли, $a=9.21 \text{ } \text{\AA}$ ва $c=9.17 \text{ } \text{\AA}$. Габитуси-призма ҳолида. Бир ўқли, манфий, $2E 10^\circ$ -гача боради. Қаттиқлиги 7.5-8.0, $\rho_{\text{тажр}}=2.66-2.85 \text{ г/см}^3$. Эриш нүктаси 1420°C
Форстерит - $2\text{MgO}\cdot\text{SiO}_2$	1.668 $N_m=1.652^*$ 1.636	0.032	Ромбик сингонияли. Призмалар. Оптик белгиси (+), оптик ориентировкаси $Z=c$, $2V = 85^\circ 6^1$, ажралиши (001) ва (010) бүйича, $\rho_{\text{тажр}}=3,216 \text{ г/см}^3$. Эриш нүктаси 1890°C
Энстатит - $\text{MgO}\cdot\text{SiO}_2$	1.658 $N_m=1.652$ 1.650	0.008	Ромбик сингонияли, фазовий группаси Pbca, $a=18.230$, $b=8.814$ ва $c=5.178 \text{ } \text{\AA}$, волокноли агрегатлар. Оптик белгиси (+), оптик ориентировкаси $Z=c$, $2V=60^\circ$, ажралиши 90° ли (110) юзаси бүйича, $\rho_{\text{тажр}}=3,175$ ва $\rho_{\text{шиша}}=2.758 \text{ г/см}^3$. Инконгруэнт эриши 1557°C ($2\text{MgO}\cdot\text{SiO}_2$ +суюқлик)
Клиноэнстатит- $\text{MgO}\cdot\text{SiO}_2$	1.660 $N_m=1.654$ 1.651	0.009	Моноклин сингонияли, фазовий группаси $P2_1/c$, $a=9.618$, $b=8.828$ ва $c=5.186 \text{ } \text{\AA}$, $\beta=108^\circ 30^1$. Кристалл агрегатлар, (010) бүйича полисинтетик күшалоқлар. Оптик белгиси (+), оптик ориентировкаси $Z=c=22^\circ$, $2V = 53^\circ 30^1$, ажралиши 88° ли (110) бүйича, $\rho_{\text{тажр}}=3,19 \text{ г/см}^3$
Протоэнстатит- $\text{MgO}\cdot\text{SiO}_2$	Энстатитдан о0.002 га фарқ қилади	Куч- сиз	Ромбик сингонияли, фазовий группаси Pbcp, $a=9.25$, $b=8.74$, $c=5.32 \text{ } \text{\AA}$. Брус шаклии кристалллар. Оптик белгиси (+), оптик ориентировкаси $Z=c$, $2V=70^\circ$, сўниши тўғри.

Клинохлор - 5MgO·Al ₂ O ₃ · 3SiO ₂ ·4H ₂ O	1.579 N _m =1.575	1.572 N _m =1.575	0.007	Моноклин сингонияли, a=5.3, b=9.3, c=28.6 \AA , $\beta=96^{\circ}50'$. Кри- сталлы пластинка күри-нишида. Иккى ўқли, мусбат, 2V=0-40°, N _m =b, N _p \perp (010). Қаттиқлиги 2- 2.5, $\rho_{\text{тажр.}}=2.7 \text{ г}/\text{cm}^3$
α -2MgO·2Al ₂ O ₃ · 5SiO ₂ - I	1.528	1.524	0.004	Үрта категориялы сингонияга эга, a=9.782 \AA , c=9.365 \AA . Бир ўқли, манфий
β -2MgO·2Al ₂ O ₃ · 5SiO ₂ - II	1.541	1.537	0.004	Гексагонал сингонияли, a=9.792, c=9.349 \AA . Бир ўқли, манфий.
α -Кордисерит - 2MgO·2Al ₂ O ₃ · 5SiO ₂ - III	1.550 N _m =1.545	1.540	0.010	Ромбик сингонияли, a=9.7, b=17.1, c=9.3 \AA . Призма күринишидаги кристаллар. (-), 2V=70-100°
β -Кордисерит - 2MgO·2Al ₂ O ₃ · 5SiO ₂ - IV	1.53- 1.57 N _m =1.525-	1.52- 1.55 1.526	0.010 0.020	Ромбик сингонияли. Күшалоқ кристаллар. (-) 2V=40-105°. Қаттиқлиги 7-7.5, $\rho_{\text{тажр.}}=2.57-2.66 \text{ г}/\text{cm}^3$
Пироп - 3MgO·Al ₂ O ₃ · 3SiO ₂		1.705	-	Кубик сингонияли, a=11.44 \AA . Қаттиқлиги 7-7.5, $\rho_{\text{тажр.}}=3.51 \text{ г}/\text{cm}^3$
Сапфирин - 4MgO·5Al ₂ O ₃ · 2SiO ₂	1.711 N _m =1.709	1.705	0.006	Моноклин сингонияли, a=9.70, b=14.55, c=10.05 \AA , $\beta=111^{\circ}27'$. (-) 2V=68°49'. Қаттиқлиги 7.5, $\rho_{\text{тажр.}}=3.4-3.6 \text{ г}/\text{cm}^3$
Хризолит - MgO·FeO·SiO ₂	1.792 N _m =1.778	1.748	0.044	Паст категориялы сингонияга эга. Иккى ўқли, манфий, 2V=69°
Fe- Клинопизстатит- MgO FeO·2SiO ₂	1.70 1.754 N _m =1.69-1.71	1.69 1.71	0.01 0.04	Моноклин сингонияли. Таркибига Ca ҳам киради. (+), 2V=0-30°
Хризотил - 3MgO·2SiO ₂ · 2H ₂ O	1.555 N _m =1.543	1.542 N _m =1.543	0.013	Моноклин сингонияли, a=14.66, b=9.24, c=5.33, $\beta=93^{\circ}16'$, Z=1 Mg ₆ (OH) ₈ Si ₄ O ₁₀ . Кристаллари призма ва волокно ҳолатида. Иккى уюқли, мусбат, 2V=30-35°, N _m =b, cN _p =0°. Қаттиқлиги 2-2.5. $\rho_{\text{тажр.}}=2.43 \text{ г}/\text{cm}^3$

Сепиолит - 3MgO·4SiO ₂ · nH ₂ O	1.529 1.520 $N_m=1.529$	0.009	Моноклин сингонияли, $a=23.2$, $b=15.7$, $c=5.32 \text{ \AA}$, $\beta=90^\circ\text{-}93^\circ$. Кристаллари ингичка волокно шаклида. Икки ўкли, манфий, $2V=0^\circ$, Қаттиқлиги 2-2.5, $\rho_{\text{тажр.}}=2 \text{ г/cm}^3$
Серпентин, антигорит - 3MgO·2SiO ₂ · 2H ₂ O	1.565 1.558 $N_m=1.565$	0.007	Моноклин сингонияли, $a=5.3$, $b=9.25$, $c=13.52 \text{ \AA}$, $\beta=91^\circ 41'$, $Z=2$. Кристаллари пластинка ҳолида, ажралиши (001) бўйича. Икки ўкли, манфий, $2V$ ўртacha. Қаттиқлиги 2-2.5, $\rho_{\text{тажр.}}=2.62 \text{ г/cm}^3$
Вермикулит - (Mg,Fe) ₃ [Al, Si] ₄ O ₁₀]·(OH) ₂ · 2H ₂ O	1.545 1.525 $N_m=1.545$	0.020	Моноклин сингонияли, $a=5.33$, $b=9.18$, $c=28.85 \text{ \AA}$, $\beta=93^\circ 15'$. Кристаллари пластинкалар ҳолатида, (-), $2V=0\text{-}8^\circ$
Тальк - 3MgO·4SiO ₂ · H ₂ O	1.575 1.540 $N_m=1.575$	0.035	Моноклин сингонияли, $a=5.27$, $b=9.13$, $c=18.88 \text{ \AA}$, $\beta=100^\circ 15'$, $Z=4$. (-), $2V=0\text{-}30^\circ$. Қаттиқлиги 1, $\rho_{\text{тажр.}}=2.82 \text{ г/cm}^3$
Алит - 3CaO·SiO ₂	1.723 1.717	0.006	Гексагонал сингонияли. Олтибурчакли пластинкалар ва донсимон доналар. Оптик белгиси (-), $2V=0$, ажралиши аниқ эмас, $\rho_{\text{тажр.}}=3.20 \text{ г/cm}^3$
α -2CaO·SiO ₂	$N_{\text{ўртacha}}=1.707$	Куч-сиз	Гексагонал сингонияли, $a=5.45$ ва $c=7.03 \text{ \AA}$. Олтибурчакли ва тўғри бўлмаган донсимон кристаллар. 1500°ли ҳароратда $\rho_{\text{тажр.}}=3.07 \text{ г/cm}^3$. Конгрезент эриш нуқтаси 2130°C
Бредигит- α' -2CaO·SiO ₂	1.725 1.712 $N_m=1.716$	0.013	Ромбик сингонияли, $a=6.76$, $b=5.45$, $c=9.28 \text{ \AA}$, (+), $2V=30^\circ$. 700°ли ҳароратда $\rho_{\text{тажр.}}=3.31 \text{ г/cm}^3$
Шенонит - γ - 2CaO·SiO ₂	1.654 1.642 $N_m=1.645$	0.012	Ромбик сингонияли. $a=6.78$, $b=5.06$, $c=11.28 \text{ \AA}$. Призмалар. Оптик белгиси (+), $2V=60^\circ$, ажралиши (010) бўйича, 20°ли ҳароратда $\rho_{\text{тажр.}}=2.97 \text{ г/cm}^3$

Белит (фелит, ларнит) - $\beta\text{-CaO}\cdot\text{SiO}_2$	1.730 $N_m=1.715$	1.707 0.023	Моноклин сингонияли, $a=5.49$, $b=6.77$, $c=9.29 \text{\AA}$, $\beta=94^050^1$, полисинтетик құшалоқлар, (+), $2V=$ катта, ажралиши (010) ва (100) бүйича
Ранкинит - $3\text{CaO}\cdot2\text{SiO}_2$	1.650	1.641 0.009	Моноклин сингонияли. Призмалар. Оптик белгиси (+), $2V^0$ катта
Псевдоволластонит- $\alpha\text{-CaO}\cdot\text{SiO}_2$	1.654 $N_m=1.611$	1.610 0.044	Триклин сингонияли, $a=6.90$, $b=11.58$, $c=19.65 \text{\AA}$, $\alpha=90^\circ$, $\beta=90^048^1$, $\gamma=90^\circ$, $Z=8$. Донсисмон доналар ва узайтирилган призмалар, баъзида (001) бүйича құшалоқлар. Оптик белгиси (+), $2V=0-8^\circ$, ажралиши-(001) бүйича, $\rho_{\text{тажр}}=2.905 \text{ г}/\text{cm}^3$, конгруэнт эриш нүктаси 1544°C
Волластонит- $\beta\text{-CaO}\cdot\text{SiO}_2$	1.631 $N_m=1.628$	1.616 0.015	Триклин сингонияли, $a=7.88$, $b=7.27$, $c=7.03 \text{\AA}$, $\alpha=90^\circ$, $\beta=95^016^1$, $\gamma=103^022^1$. Доскасимон индивидлар. Оптик белгиси (-), $2V=39^\circ$, ажралиши-(100) ва (001) бүйича, $\rho_{\text{тажр}}=2.915 \text{ г}/\text{cm}^3$
Параволластонит- $\gamma\text{-CaO}\cdot\text{SiO}_2$	1.631 $N_m=1.629$	1.614 0.017	Моноклин сингонияли, $a=15.33$, $b=7.28$, $c=7.07 \text{\AA}$, $\beta=95^025^1$. Қаттиқұлғы 4.5-5, $\rho_{\text{тажр}}=2.915 \text{ г}/\text{cm}^3$
Окерманит - $2\text{CaO}\cdot\text{MgO}\cdot2\text{SiO}_2$	1.639	1.632 0.007	Тетрагонал сингонияли, $a=7.840$, $c=5.015 \text{\AA}$. Кристаллар калта призма күренишида. Бир ўқли, мусбат. Қаттиқұлғы 5-6, $\rho_{\text{тажр}}=2.95 \text{ г}/\text{cm}^3$. Эриш нүктаси 1458°C
Геленит - $2\text{CaO}\cdot\text{Al}_2\text{O}_3\cdot\text{SiO}_2$	1.669	1.658 0.011	Тетрагонал сингонияли, $a=7.69$, $c=5.10 \text{\AA}$. Кристаллар қысқа призма күренишида. Бир ўқли, манфий. Қаттиқұлғы 5-6, $\rho_{\text{тажр}}=3.04 \text{ г}/\text{cm}^3$. Эриш нүктаси 1590°C
Ферроокерманит - $2\text{CaO}\cdot\text{FeO}\cdot2\text{SiO}_2$	1.690	1.673 0.017	Тетрагонал сингонияли. Бир ўқли, манфий. Ажралиши (001) бүйича, $\rho_{\text{тажр}}=3.23 \text{ г}/\text{cm}^3$

Ферригеленит - 2CaO·(Fe ₂ Ae) ₂ O ₃ ·SiO ₂	1.666 1.661	0.005	Тетрагонал сингонияли. a=7.54, c=4.855 Å, Бир ўқли, манфий. Эриш нүктаси 1285°C
Гардистонит - 2CaO ZnO· 2SiO ₂	1.671 1.662	0.009	Тетрагонал сингонияли. a=7.83, c=4.99 Å. Қаттиқлиги 3-4, ρ _{тажр.} =3.40 г/см ³ . Бир ўқли, манфий
CaO·Al ₂ O ₃ · 2SiO ₂ - I	1.590 1.585	0.005	Гексагонал сингонияли, метастабил форма, a=5.11, c=14.74 Å, Z=1. Кристаллари пластинка күрнишида. Бир ўқли, мусбат, қаттиқлиги 5-6, ρ _{тажр.} =2.74 г/см ³
CaO·Al ₂ O ₃ · 2SiO ₂ - II	1.584 1.553 N _m =1.580	0.031	Ромбик сингонияли, метастабил форма, a=8.224, b=8.606, c=4.836 Å, Z=2. Иккى ўқли, манфий, 2V=39°. Қаттиқлиги 6, ρ _{тажр.} =2.70 г/см ³
Анортит - CaO·Al ₂ O ₃ · 2SiO ₂	1.589 1.576 N _m =1.583	0.013	Триклин сингонияли, a=8.21, b=12.95, c=14.16 Å, α=93°13', β=115°56', γ=91°12'. Табличкасамон кристаллар. Иккى ўқли, манфий, 2V=77°. Қаттиқлиги 6, ρ _{тажр.} =2.765 г/см ³ . Эриш нүктаси 1550°C
CaO·CuO·4SiO ₂	1.635 1.605	0.030	Тетрагонал сингонияли, Бир ўқли, манфий, ρ _{тажр.} = 3.04 г/см ³
Диопсид - CaO·MgO·2SiO ₂	1.695 1.666 N _m =1.672	0.029	Моноклин сингонияли, a=9.750, b=8.926, c=5.252 Å, β=105°55', Z=4. Кристаллар призма ҳолида. Иккى ўқли, (+), 2V=58°. Қаттиқлиги 5-6, ρ _{тажр.} =3.275 г/см ³ . Эриш нүктаси 1391°C
Геденбергит - CaO·FeO·2SiO ₂	1.755 1.726 N _m =1.732	0.029	Моноклин сингонияли, a=9.873, b=9.049, c=5.264 Å, β=104°14', ρ _{тажр.} =3.538 г/см ³
Иоганисенит - CaO·MnO·2SiO ₂	1.738 1.710 N _m =1.719	0.028	Кристаллари призма ва волокно ҳолида. Призматик ажралиш. ρ _{тажр.} =3.5 ва ρ _{хис.} =3.6 г/см ³

Уваровит - $3\text{CaO}\cdot\text{Cr}_2\text{O}_3\cdot$ 3SiO_2	1.86	-	Куб сингониялы, $a=12.05 \text{\AA}$. Қаттиқлиги 7.5, $\rho_{\text{тажр.}}=3.78 \text{ г}/\text{см}^3$	
Гроссуляр - $3\text{CaO}\cdot\text{Al}_2\text{O}_3\cdot$ 3SiO_2	1.735	-	Куб сингониялы, $a=11.84 \text{\AA}$. Қаттиқлиги 6.5-7, $\rho_{\text{тажр.}}=3.53 \text{ г}/\text{см}^3$	
Андрадит - $3\text{CaO}\cdot\text{Fe}_2\text{O}_3\cdot$ 3SiO_2	1.895	-	Куб сингониялы, $a=12.04 \text{\AA}$. Қаттиқлиги 6.5-7, $\rho_{\text{тажр.}}=3.83 \text{ г}/\text{см}^3$	
$\text{CaO}\cdot\text{FeO}\cdot\text{SiO}_2$	1.743 $N_m=1.734$	1.696 $N_m=1.734$	0.047	Ромбик сингониялы, $a:b:c=0.437:1:0.577$, (-), $2V=49^\circ$, $\rho_{\text{тажр.}}=3.33 \text{ г}/\text{см}^3$, Эриш нүктаси 1208°C
Монтичеллит - $\text{CaO}\cdot\text{MgO}\cdot\text{SiO}_2$	1.653 $N_m=1.646$	1.639 $N_m=1.646$	0.014	Ромбик сингониялы, $a=4.815$, $b=11.08$, $c=6.37 \text{\AA}$. Кристаллари призма ва донсимон. (+), $2V=85^\circ$, $\rho_{\text{тажр.}}=3.2 \text{ г}/\text{см}^3$, 1300°C да парчаланади
Глаукохроит - $\text{CaO}\cdot\text{MnO}\cdot\text{SiO}_2$	1.736 $N_m=1.723$	1.685 $N_m=1.723$	0.051	Ромбик сингониялы, $a=4.91$, $b=11.12$, $c=6.49 \text{\AA}$. Призмасимон кристаллар. (-), $2V=61^\circ$, $\rho_{\text{тажр.}}=3.48$ $\text{г}/\text{см}^3$. Эриш нүктаси 1355°C
$3\text{CaO}\cdot\text{Al}_2\text{O}_3\cdot$ SiO_2	1.685 $N_m=1.679$	1.675 $N_m=1.679$	0.010	Ромбик сингониялы, Кристаллари тола ҳолида. (+), $2V$ кatta. 1335°C да парчаланади
Мервинит - $3\text{CaO}\cdot\text{MgO}\cdot$ 2SiO_2	1.724 $N_m=1.712$	1.706 $N_m=1.712$	0.018	Моноклин сингониялы, $a=5.20$, $b=9.20$, $c=6.78 \text{\AA}$. Полисинтетик қүшалоқ кристаллар. (+), $2V=66^\circ$. Қаттиқлиги 6, $\rho_{\text{тажр.}}=3.15 \text{ г}/\text{см}^3$. Эриш нүктаси 1598°C
Титанит, сфен - $\text{CaO}\cdot\text{TiO}_2\cdot\text{SiO}_2$	2.092 $N_m=1.970$	1.950 $N_m=1.970$	0.142	Моноклин сингониялы, $a=6.55$, $b=8.70$, $c=7.43 \text{\AA}$, $\beta=119^\circ 43'$, (+), $2V=23-35^\circ$. Қаттиқлиги 5-5.5, $\rho_{\text{тажр.}}=3.4-3.6 \text{ г}/\text{см}^3$
Гигиант - $2\text{CaO}\cdot\text{BeO}\cdot2\text{SiO}_2$	1.672	1.664	0.008	Тетрагонал сингониялы, $a=7.48$, $c=5.044 \text{\AA}$. Бир ўқли, мусбат. $\rho_{\text{тажр.}}=3.0336 \text{ г}/\text{см}^3$
Мелифанит - $(\text{Ca},\text{Na})_2\text{Be}$ $(\text{Si},\text{Al})_2(\text{O},\text{F})_7$	1.612	1.593	0.019	Тетрагонал сингониялы, $a=10.58$, $c=9.88 \text{\AA}$. Бир ўқли, манфий, $\rho_{\text{тажр.}}=3.006 \text{ г}/\text{см}^3$

Лейкофанит – $(\text{Ca}, \text{Na})_2\text{BeSi}_2\text{O}_7 \cdot (\text{OH}, \text{F})_7$	1.598 $N_m=1.595$	1.571 0.027	Тетрагонал сингонияли, $a=7.39$, $c=9.98 \text{ \AA}$. Бир ўқли, манфий, $2V=39^\circ$, $\rho_{\text{тажр.}}=2.96 \text{ г}/\text{см}^3$
Аминофит – $\text{Ca}_2(\text{Be}, \text{Al})\text{Si}_2\text{O}_7 \cdot (\text{OH}) \cdot \text{H}_2\text{O}$	1.647	1.637 0.010	Тетрагонал сингонияли, $a=13.8$, $c=9.8 \text{ \AA}$. Бир ўқли, манфий, $\rho_{\text{тажр.}}=2.94 \text{ г}/\text{см}^3$
Мелилит – $(\text{Ca}_{0.7}\text{Na}_{0.2}\text{K}_{0.1})_2(\text{Mg}_{0.5}\text{Al}_{0.5})\text{Si}_2\text{O}_7$	1.638	1.634 0.004	Тетрагонал сингонияли, $a=7.789$, $c=5.018 \text{ \AA}$. Бир ўқли, манфий, $\rho_{\text{тажр.}}=2.95 \text{ г}/\text{см}^3$
$2\text{SrO} \cdot \text{SiO}_2$	1.756 $N_m=1.732$	1.727 0.029	Моноклин сингонияли, (100) бүйича құшалоқлар. Оптик белгиси (+), $2V=32.5^\circ$, $\rho_{\text{тажр.}}=3.84 \text{ г}/\text{см}^3$
SrO	1.870	-	Куб сингонияли, $a=5.15 \text{ \AA}$. Куб шаклі кристаллар, $\rho_{\text{тажр.}}=4.75 \text{ г}/\text{см}^3$
$\text{SrO} \cdot \text{SiO}_2$	1.637	1.599 0.038	Гексагонал сингонияли, (0001) бүйича пластинкалар ва құшалоқлар. Оптик белгиси (+), $2V=0^\circ$, $\rho_{\text{тажр.}}=3.65 \text{ г}/\text{см}^3$. Эриш нүктаси 1578°C
$2\text{SrO} \cdot \text{Al}_2\text{O}_3 \cdot \text{SiO}_2$	1.665	1.660 0.005	Тетрагонал сингонияли, $a=7.831$, $c=5.276 \text{ \AA}$. Габитуси-призма, $\rho_{\text{тажр.}}=3.80$ ва $\rho_{\text{хис}}=3.82 \text{ г}/\text{см}^3$
$\text{SrO} \cdot \text{Al}_2\text{O}_3 \cdot 2\text{SiO}_2$	1.586 $N_m=1.582$	1.574 0.012	Триклин сингонияли, тола габитусга зәғ. Икki ўқли, манфий, $2V=70^\circ$, $\rho_{\text{тажр.}}=3.12 \text{ г}/\text{см}^3$
$2\text{SrO} \cdot \text{Ga}_2\text{O}_3 \cdot \text{SiO}_2$	1.728	1.717 0.011	Тетрагонал сингонияли, $a=7.92$, $c=5.33 \text{ \AA}$, $\rho_{\text{тажр.}}=4.49 \text{ г}/\text{см}^3$. Эриш нүктаси 1590°C
$2\text{SrO} \cdot \text{MgO} \cdot 2\text{SiO}_2$	1.638	1.609 0.029	Тетрагонал сингонияли, $a=8.06$, $c=5.19 \text{ \AA}$, $\rho_{\text{тажр.}}=3.64 \text{ г}/\text{см}^3$.
$2\text{SrO} \cdot \text{ZnO} \cdot 2\text{SiO}_2$	1.710	1.678 0.032	Тетрагонал сингонияли, $a=8.04$, $c=5.20 \text{ \AA}$, $\rho_{\text{тажр.}}=3.99 \text{ г}/\text{см}^3$.
$\text{Sr}_4\text{La}_6\text{Si}_6\text{O}_{24}\text{F}_2$	1.838	1.827 0.011	Гексагонал сингонияли, $a=9.69$, $c=7.13 \text{ \AA}$, $\rho_{\text{тажр.}}=5.03$ ва $\rho_{\text{хис}}=5.05 \text{ г}/\text{см}^3$. Эриш нүктаси 2063 K

<chem>Sr4Nd6Si6O24F2</chem>	1.843 1.829	0.014	Гексагонал сингонияли, $a=9.59$, $c=7.07 \text{ \AA}$, $\rho_{\text{тажр.}} = 5.26$ ва $\rho_{\text{хис.}} = 5.29$ г/см ³ . Эриш нүктаси 2023 К
<chem>Sr4Sm6Si6O24F2</chem>	1.854 1.842	0.012	Гексагонал сингонияли, $a=9.52$, $c=6.99 \text{ \AA}$, $\rho_{\text{тажр.}} = 5.50$ ва $\rho_{\text{хис.}} = 5.54$ г/см ³ . Эриш нүктаси 2023 К
<chem>Sr4Gd6Si6O24F2</chem>	1.862 1.850	0.012	Гексагонал сингонияли, $a=9.49$, $c=6.96 \text{ \AA}$, $\rho_{\text{тажр.}} = 5.71$ ва $\rho_{\text{хис.}} = 5.74$ г/см ³ . Эриш нүктаси 2083 К
<chem>Sr4Dy6Si6O24F2</chem>	1.871 1.858	0.013	Гексагонал сингонияли, $a=9.42$, $c=6.92 \text{ \AA}$, $\rho_{\text{тажр.}} = 5.90$ ва $\rho_{\text{хис.}} = 5.95$ г/см ³ . Эриш нүктаси 2083 К
<chem>Sr4Er6Si6O24F2</chem>	1.892 1.880	0.012	Гексагонал сингонияли, $a=9.30$, $c=6.78 \text{ \AA}$, $\rho_{\text{тажр.}} = 6.15$ ва $\rho_{\text{хис.}} = 6.17$ г/см ³ . Эриш нүктаси 2103 К
<chem>Sr4Y6Si6O24F2</chem>	1.773 1.759	0.014	Гексагонал сингонияли, $a=9.46$, $c=6.89 \text{ \AA}$, $\rho_{\text{тажр.}} = 4.40$ ва $\rho_{\text{хис.}} = 4.42$ г/см ³ . Эриш нүктаси 2048 К
BaO	1.980	-	Куб сингонияли, $a=5.53 \text{ \AA}$. Куб күрнишили кристаллар. $\rho_{\text{тажр.}} = 5.72$ г/см ³
<chem>2BaO·SiO2</chem>	1.830 1.810 $N_m = 1.820^*$	0.020	Ромбик сингонияли. Донсимон доналадар. $\rho_{\text{тажр.}} = 5.21$ г/см ³
BaO·SiO ₂	1.678 1.673 $N_m = 1.674$	0.005	Ромбик сингонияли. Донсимон ва нинасимон агрегатлар. Оптик белгиси (+), $2V = 29^\circ$, ажралиши (010) бүйича, $\rho_{\text{тажр.}} = 4.40$ г/см ³ . Эриш нүктаси 1604°C
<chem>2BaO·3SiO2</chem>	1.645 1.620 $N_m = 1.625$	0.025	Ромбик сингонияли, $a=12.50$, $b=4.69$, $c=13.92 \text{ \AA}$, $\beta=93.3^\circ$, $Z=2$. Донсимон доналадар, пластинкасимон күшталқылар. Оптик белгиси (+), $2V = 54^\circ$, ажралиши (010), (100) ва (010) бүйича, $\rho_{\text{тажр.}} = 3.93$ г/см ³ . Эриш нүктаси 1450°C.
BaO·2SiO ₂	1.621 1.597 $N_m = 1.616$	0.027	Ромбик ёки триклин сингонияли. Призмалдар. Оптик белгиси (-), $2V = 75^\circ$, ажралиши (010), (100) ва (001) бүйича, $\rho_{\text{тажр.}} = 3.73$ г/см ³ . Эриш нүктаси 1420°C

$\alpha - \text{BaO} \cdot \text{Al}_2\text{O}_3 \cdot 2\text{SiO}_2$	1.571 1.567	0.004	Юқори ҳароратли гексагонал фаза, $a=5.25$, $c=7.84 \text{ \AA}$. Пластиинкасimon кристаллар. Ажралышы (0001) бүйича, $\rho_{\text{тажр.}} = 3.03 \text{ г/см}^3$. Эриш нүктаси 1715°C
Цельзиан — $\text{BaO} \cdot \text{Al}_2\text{O}_3 \cdot 2\text{SiO}_2$	1.600 $N_m = 1.593$ 1.587	0.013	Паст ҳароратли моноклин фаза, $a=8.63$, $b=13.10$, $c=7.29 \text{ \AA}$, $\beta=116^\circ$. Құшалоқ кристаллар, (+), $2V=80^\circ$, $\rho_{\text{тажр.}} = 3.57 \text{ г/см}^3$
Парацельзиан — $\text{BaO} \cdot \text{Al}_2\text{O}_3 \cdot 2\text{SiO}_2$	1.587 $N_m = 1.582$ 1.570	0.017	Моноклин сингониялы, $a:b:c=0.947:1:0.895$, $\rho=90^\circ 10^1$. Призма күрнишили кристаллар. Икки ўқли, манфий, $2V=50-53^\circ$, $\rho_{\text{тажр.}} = 3.315 \text{ г/см}^3$
Бенитоит — $\text{BaO} \cdot \text{TiO}_2 \cdot 3\text{SiO}_2$	1.804 1.757	0.047	Гексагонал сингониялы, $a=6.60$, $c=9.71 \text{ \AA}$. Кристаллари пирамида ва табличка күрнишида. Бир ўқли, мусбат. Қатиқұлғиги 6-5.5, $\rho_{\text{тажр.}} = 3.65 \text{ г/см}^3$
$2\text{BaO} \cdot \text{MgO} \cdot 2\text{SiO}_2$	1.710 1.650	0.060	Тетрагонал сингониялы, $a=8.32$, $c=5.52 \text{ \AA}$. $\rho_{\text{тажр.}} = 3.80 \text{ г/см}^3$
$2\text{BaO} \cdot \text{ZnO} \cdot 2\text{SiO}_2$	1.722 1.698	0.024	Тетрагонал сингониялы, $a=8.40$, $c=5.68 \text{ \AA}$. $\rho_{\text{тажр.}} = 4.02 \text{ г/см}^3$
$\text{Ba}_4\text{Nd}_6\text{Si}_6\text{O}_{24}\text{F}_2$	1.873 1.866	0.007	Гексагонал сингониялы, $a=9.72$, $c=7.19 \text{ \AA}$, $\rho_{\text{тажр.}} = 5.36$ ва $\rho_{\text{хис.}} = 5.36 \text{ г/см}^3$. Эриш нүктаси 1923 K
$\text{Ba}_4\text{Y}_6\text{Si}_6\text{O}_{24}\text{F}_2$	1.848 1.826	0.022	Гексагонал сингониялы, $a=9.60$, $c=6.98 \text{ \AA}$, $\rho_{\text{тажр.}} = 4.66$ ва $\rho_{\text{хис.}} = 4.68 \text{ г/см}^3$. Эриш нүктаси 1973 K
$\text{Ba}_4\text{Gd}_6\text{Si}_6\text{O}_{24}\text{F}_2$	1.881 1.870	0.011	Гексагонал сингониялы, $a=9.62$, $c=7.10 \text{ \AA}$, $\rho_{\text{тажр.}} = 5.78$ ва $\rho_{\text{хис.}} = 5.79 \text{ г/см}^3$. Эриш нүктаси 1963 K
$\text{Ba}_4\text{Dy}_6\text{Si}_6\text{O}_{24}\text{F}_2$	1.892 1.878	0.014	Гексагонал сингониялы, $a=9.58$, $c=6.97 \text{ \AA}$, $\rho_{\text{тажр.}} = 5.98$ ва $\rho_{\text{хис.}} = 6.00 \text{ г/см}^3$. Эриш нүктаси 1963 K

$\text{Ba}_4\text{La}_6\text{Si}_4\text{P}_2\text{O}_{26}$	1.796 1.782	0.014	Гексагонал сингонияли, $a=9.97$, $c=7.35 \text{ \AA}$, $\rho_{\text{тажр.}} = 5.12$ ва $\rho_{\text{хис.}} = 5.16 \text{ г/см}^3$. Эриш нүктаси 2023 K
$\text{Ba}_4\text{Nd}_6\text{Si}_4\text{P}_2\text{O}_{26}$	1.848 1.829	0.019	Гексагонал сингонияли, $a=9.80$, $c=7.25 \text{ \AA}$, $\rho_{\text{тажр.}} = 5.45 \text{ г/см}^3$. Эриш нүктаси 2028 K
Цинкит - ZnO	2.029 2.013	0.016	Гексагонал сингонияли, $a=3.25$, $c=5.19 \text{ \AA}$, $Z=2$. Бир ўқли, мусбат. Қаттиқлиги 4, $\rho_{\text{тажр.}} = 5.66 \text{ г/см}^3$. 1670°C да эрийди
Веллимит - $\alpha - 2\text{ZnO}\cdot\text{SiO}_2$	1.715 1.695	0.020	Үртага сингонияга таалуқли кристаллар. Бир ўқли, $2V=0^\circ$
$\beta - 2\text{ZnO}\cdot\text{SiO}_2$	1.712 1.703 $N_m=1.700$	0.009	Ромбик сингонияли, $a=8.40$, $b=5.10$, $c=3.22 \text{ \AA}$. Икки ўқли, $2V=49^\circ$, $\rho_{\text{хис.}} = 4.29 \text{ г/см}^3$. Эриш нүктаси 1420°C .
$\gamma - 2\text{ZnO}\cdot\text{SiO}_2$	1.703 1.685 $N_m=1.700$	0.018	Икки ўқли кристаллар, $2V = -40^\circ$
$\text{ZnO}\cdot\text{SiO}_2$	1.623 1.616	0.007	Нинасимон кристаллар, $\rho_{\text{тажр.}} = 3.52 \text{ г/см}^3$. Эриш нүктаси 1429°C
Гемиморфит - $\text{Zn}_4(\text{OH})_2\text{Si}_2\text{O}_7\cdot\text{H}_2\text{O}$	1.636 1.614 $N_m=1.617$	0.022	Ромбик сингонияли, $a=8.40$, $b=10.72$, $c=5.13 \text{ \AA}$. Икки ўқли, мусбат, $2V=46^\circ$. Қаттиқлиги 5, $\rho_{\text{тажр.}} = 3.45 \text{ г/см}^3$
$\text{ZnSiF}_6\cdot\text{H}_2\text{O}$	1.395 1.382	0.013	Тригонал сингонияли, $c:a=0.517$. Призма кристаллар. Бир ўқли, мусбат, $\rho_{\text{тажр.}} = 2.14 \text{ г/см}^3$
CdO	2.49	-	Куб сингонияли, $a=4.70 \text{ \AA}$, $Z=4$. Кристаллар октаэдр ва куб күрнишида. Қаттиқлиги 3, $\rho_{\text{тажр.}} = 8.15 \text{ г/см}^3$
$\text{CdO}\cdot\text{SiO}_2$	-	-	Эриш нүктаси 1246°C , $\rho_{\text{тажр.}} = 5.833 \text{ г/см}^3$
$2\text{CdO}\cdot\text{SiO}_2$	$N_{\text{уртacha}} = 1.74$	Үртача	Оливинга ўшаш структурали, $\rho_{\text{тажр.}} = 4.928 \text{ г/см}^3$, эриш нүктаси 1252°C

Паст темпера-турали $\beta - \text{Al}_2\text{O}_3$	1.665 1.680	1.630 1.650	0.035- 0.030	Гексагонал сингонияли, барқарор бұлмаган, бир ўқли, манфий, $\rho_{\text{тажр.}} = 3.31 \text{ г/см}^3$
$\gamma - \text{Al}_2\text{O}_3$		1.696	-	Куб сингонияли, $\rho_{\text{тажр.}} = 3.47 \text{ г/см}^3$
Корунд $\alpha - \text{Al}_2\text{O}_3$		1.768 1.760	0.008	Гексагонал сингонияли, $a=4.76$, $c=13.00 \text{ \AA}$. Бир ўқли, манфий. Қаттиқлиги 9, $\rho_{\text{тажр.}} = 4 \text{ г/см}^3$. 2050°C да эрийди.
Кианит - $\text{Al}_2\text{O}_3.\text{SiO}_2$	1.728 $N_m = 1.722$	1.713	0.015	Триклин сингонияли, Фазовий группаси P1, $a=7.121$, $b=7.861$, $c=5.574 \text{ \AA}$, $\alpha=90.03^\circ$, $\beta=101.08^\circ$, $\gamma=105.95^\circ$, $V=294 \text{ \AA}^3$, $Z=4$ $2V=83^\circ$
Силлиманит - $\text{Al}_2\text{O}_3.\text{SiO}_2$	1.678 $N_m = 1.658$	1.658	0.020	Ромбик сингонияли. Фазовий группаси Pbmt, $a=7.481 \pm 0.002$, $b=7.672 \pm 0.002$, $c=5.769 \pm 0.002 \text{ \AA}$, $V=331 \text{ \AA}^3$. $2V=25^\circ$, $\rho_{\text{тажр.}} = 3.255 \pm 0.015 \text{ г/см}^3$
Андалузит- $\text{Al}_2\text{O}_3.\text{SiO}_2$	1.641 $N_m = 1.639$	1.630	0.011	Ромбик сингонияли. Фазовий группаси Pnmm, $a=7.797 \pm 0.002$, $b=7.898 \pm 0.002$, $c=5.551 \pm 0.002$, $V=341.8 \text{ \AA}^3$. $2V=83$ дан 86° гача
Муллит- $3\text{Al}_2\text{O}_3.2\text{SiO}_2$		1.654 1.642	0.012	Ромбик сингонияли. Фазовий группаси Pmmm, $a=7.5794 \pm 0.005 \text{ \AA}$, $b=7.6873$, $c=2.8878 \pm 0.0004 \text{ \AA}$, $V=168.26 \text{ \AA}^3$. $2V=45$ дан 50° гача, $\rho_{\text{тажр.}} = 3.0 \text{ г/см}^3$. Конгруэнт эриш нүкласи 1910°C
Пирофиллит - $\text{Al}_2\text{O}_3.4\text{SiO}_2.\text{H}_2\text{O}$	1.601 $N_m = 1.558$	1.552	0.048	Моноклин сингонияли, $a=5.15$, $b=8.88$, $c=18.60 \text{ \AA}$, $\beta=99.055^\circ$, $Z=8$. Призматик кристаллар. (-), $2V=53-60^\circ$. Қаттиқлиги 1-1.15, $\rho_{\text{тажр.}} = 2.84 \text{ г/см}^3$
Левсеръерит - $\text{Al}_2\text{O}_3.4\text{SiO}_2.5\text{H}_2\text{O}$	1.513 $N_m = 1.513$	1.488	0.025	Паст категориялы сингонияға эга бўлган монтмориллонит гурӯҳи вакили, $a=5.15$, $b=8.95$, $c=15.25 \text{ \AA}$, Кристаллари юпқа пластиинка ҳолида. (-), $2V=0-33^\circ$. Қаттиқлиги 1.5, $\rho_{\text{тажр.}} = 2.84 \text{ г/см}^3$

Топаз - $\text{Al}_2\text{SiO}_4\text{F, OH}_2$	1.618- 1.638 $N_m = 1.610-$ 1.631	1.607- 1.629 $N_m = 1.610-$ 1.631	0.011- 0.009	Ромбик сингонияли, $a=4.61$, $b=8.78$, $c=8.38 \text{ \AA}$, Кристаллар призма күринишида. Ажralиши (001) бүйича. Қаттиқлиги 8, $\rho_{тажр.}=3.50 - 3.57 \text{ г}/\text{cm}^3$
Каолин - γ - форма $\text{Al}_2\text{O}_3 \cdot 2\text{SiO}_2 \cdot 2\text{H}_2\text{O}$	1.566 $N_m = 1.565$	1.561	0.006	Моноклин сингонияли паст темп-ратурали фаза, $a=5.14$, $b=8.93$, $c=7.37 \text{ \AA}$, $\alpha=91^\circ 48'$, $\beta=104^\circ 30'$, $\gamma=90^\circ$, $Z=2\text{Al}_4(\text{OH})_8\text{Si}_4\text{O}_{10}$. Кристаллар псевдогексагонал чешүй- калар ҳолида. (-), $2V=20-55^\circ$. Қаттиқлиги 2-2.5, $\rho_{тажр.}=2.61 \text{ г}/\text{cm}^3$
Диккит - β - $\text{Al}_2\text{O}_3 \cdot 2\text{SiO}_2 \cdot 2\text{H}_2\text{O}$	1.566 $N_m = 1.562$	1.560	0.006	Моноклин сингонияли, $a=5.15$, $b=8.95$, $c=28.70 \text{ \AA}$, $\beta=96^\circ 49'$, $Z=4\text{Al}_4(\text{OH})_8\text{Si}_4\text{O}_{10}$. Кристаллар тангачасимон күринишида. (+), $2V=68-80^\circ$. Қаттиқлиги 2.5-3, $\rho_{тажр.}=2.62 \text{ г}/\text{cm}^3$
Накріт - α - $\text{Al}_2\text{O}_3 \cdot 2\text{SiO}_2 \cdot 2\text{H}_2\text{O}$	1.563 $N_m = 1.562$	1.557	0.006	Моноклин сингонияли, $a=5.15$, $b=8.95$, $c=28.70 \text{ \AA}$, $\beta=91^\circ 43'$, $Z=4$ $\text{Al}_4(\text{OH})_8\text{Si}_4\text{O}_{10}$. Кристаллар псев- догексагонал қиёфага эга. (-), $2V=40^\circ$. Қаттиқлиги 2.5-3, $\rho_{тажр.}=2.5 \text{ г}/\text{cm}^3$
Монтморил- лонит- $(\text{Al}, \text{Mg})_2(\text{OH})_2 \cdot [\text{Si}_4\text{O}_{10}] \cdot \text{H}_2\text{O}$	$N_m = 1.516-1.526$		Куч- сиз	Моноклин сингонияли, $a=5.10$, $b=8.33$, $c=15.2 \text{ \AA}$. Кристаллари тангача ҳолида, улар (001) бүйича уланган.
Бейделлит- $\text{Al}_2[\text{Si}_4\text{O}_{10}] \cdot (\text{OH})_2 \cdot n\text{H}_2\text{O}$	Күрсаттычлар сув микдорига күра үзгартылған		Куч- сиз	Моноклин сингонияли. Ромбіа ұшаша пластинкалар ҳолида. Ұлапш текислиги (001) бүйича. Қаттиқлиги 1.5, $\rho_{тажр.}=2.6 \text{ г}/\text{cm}^3$
Галлуазит (енделлит)- $\text{Al}_2\text{O}_3 \cdot 2\text{SiO}_2 \cdot 4\text{H}_2\text{O}$	$N_{уртча}=1.547-$ 1.550		Куч- сиз.	Моноклин сингонияли, $a=5.20$, $b=8.92$, $c=10.25 \text{ \AA}$, $\beta=100^\circ$ Шаффор гелсімінен масса, қамчи шакл- ли. Қаттиқлик 1-2, $\rho_{тажр.}=2.0-2.2 \text{ г}/\text{cm}^3$
Аллофан- $m \text{ Al}_2\text{O}_3 \cdot n\text{SiO}_2 \cdot n\text{H}_2\text{O}$	$N=1.470-$ 1.510		-	Қаттиқ псевдо эритма. У нотскис әки чиганоқсимон юзалар ҳосил қылувчи типтес шишиасимон масса. Қаттиқлиги 3, $\rho_{тажр.}=1.85-1.89$ $\text{г}/\text{cm}^3$
Sc_2O_3	1.990		-	Куб сингонияли, $\rho_{тажр.}=3.860$ $\text{г}/\text{cm}^3$. Эриш нүктаси $2470 \pm 50^\circ\text{C}$

$\text{Sc}_2\text{O}_3 \cdot \text{SiO}_2$	1.850 1.835	0.015	Икки ўқли, оптик белгиси (+), $\rho_{\text{тажр}} = 3.490 \text{ г/см}^3$. Эриш нүктаси 1950 $^{\circ}\text{C}$
$\text{Sc}_2\text{O}_3 \cdot 2\text{SiO}_2$	1.803 1.754 $N_m = 1.785$	0.049	Икки ўқли, оптик белгиси (-), $\rho_{\text{тажр}} = 3.390 \text{ г/см}^3$. Эриш нүктаси 1850 $^{\circ}\text{C}$
Y_2O_3	1.910	-	Куб сингонияли. Кристаллари түғри чизикли пластинка күрнисишида.
$\text{Y}_2\text{O}_3 \cdot \text{SiO}_2$	1.825 1.807 $N_m = 1.815^*$	0.018	Икки ўқли, мусбат. Эриш нүктаси 1980 $^{\circ}\text{C}$
$2\text{Y}_2\text{O}_3 \cdot 3\text{SiO}_2$	1.780 1.765	0.015	Гексагонал сингонияли, оптик манфий. Эриш нүктаси 1950 $^{\circ}\text{C}$
$\text{Y}_2\text{O}_3 \cdot 2\text{SiO}_2$	1.747 1.737 $N_m = 1.742^*$	0.010	Моноклин сингонияли, икки ўқли, оптик мусбат, сүниши қия, $2V = 60^{\circ}$
$\text{La}_2\text{O}_3 \cdot \text{SiO}_2$	1.875 1.855 $N_m = 1.865^*$	0.020	Икки ўқли, мусбат, $\rho_{\text{тажр}} = 5.72 \text{ г/см}^3$. Эриш нүктаси 1930 $^{\circ}\text{C}$
$2\text{La}_2\text{O}_3 \cdot 3\text{SiO}_2$	1.852 1.837	0.015	Гексагонал сингонияли, оптик манфий, $\rho_{\text{тажр}} = 5.31$ ва $\rho_{\text{хис}} = 5.303 \text{ г/см}^3$. Эриш нүктаси 1975 $^{\circ}\text{C}$.
$\text{La}_2\text{O}_3 \cdot 2\text{SiO}_2$	1.762 1.752	0.010	Оптик мусбат, $\rho_{\text{тажр}} = 4.85 \text{ г/см}^3$. 1750 $^{\circ}\text{C}$ да инконгруэнт парчаланади ($2\text{La}_2\text{O}_3 \cdot 3\text{SiO}_2 + \text{суюқлик}$)
$\text{Ce}_2\text{O}_3 \cdot \text{SiO}_2$	$N_{\text{ұртата}} = 1.880$	0.025	-
$2\text{Ce}_2\text{O}_3 \cdot 3\text{SiO}_2$	$N_{\text{ұртата}} = 1.850$	0.020	Гексагонал сингонияли, $a = 11.36$ ва $c = 4.71 \text{ \AA}$
$\text{Ce}_2\text{O}_3 \cdot 2\text{SiO}_2$	$N_{\text{ұртата}} = 1.770$	0.015	-
$\text{Nd}_2\text{O}_3 \cdot \text{SiO}_2$	1.888 1.871 $N_m = 1.883^*$	0.017	Икки ўқли, мусбат, $\rho_{\text{тажр}} = 4.476 \text{ г/см}^3$. Эриш нүктаси 1980 $^{\circ}\text{C}$

$2\text{Nd}_2\text{O}_3 \cdot 3\text{SiO}_2$	1.854	1.835	0.019	Гексагонал сингонияли, бир ўқли, манфий, $\rho_{\text{тажр.}} = 4.424 \text{ г}/\text{см}^3$ Эриш нүктаси 1960°C
$\text{Nd}_2\text{O}_3 \cdot 2\text{SiO}_2$	1.760 $N_m = 1.755^*$	1.745	0.015	Икки ўқли, мусбат, $\rho_{\text{тажр.}} = 5.242 \text{ г}/\text{см}^3$ 1750°C да парчаланиб эрийди.
$\text{Sm}_2\text{O}_3 \cdot \text{SiO}_2$	1.885 $N_m = ?$	1.863	0.022	Икки ўқли, мусбат, $\rho_{\text{тажр.}} = 6.36 \text{ г}/\text{см}^3$ Эриш нүктаси 1940°C
$2\text{Sm}_2\text{O}_3 \cdot 3\text{SiO}_2$	1.860	1.840	0.020	Бир ўқли, манфий, $\rho_{\text{тажр.}} = 5.77 \text{ г}/\text{см}^3$ Эриш нүктаси 1920°C
$\text{Sm}_2\text{O}_3 \cdot 2\text{SiO}_2$	1.775 $N_m = ?$	1.765	0.010	Икки ўқли, мусбат, $\rho_{\text{тажр.}} = 5.20 \text{ г}/\text{см}^3$ 1775°C Сли ҳароратда парчаланиб эрийди
$3\text{EuO} \cdot \text{SiO}_2$	1.870	1.855	0.015	Тетрагонал сингонияли, бир ўқли кристаллар, оптик манфий, ферромагнит
$2\text{EuO} \cdot \text{SiO}_2$	1.860 $N_m = ?$	1.840	0.020	Ромбик сингонияли, икки ўқли кристаллар, оптик мусбат, конгруэнт эриши - 2000°C , ферромагнит
$3\text{EuO} \cdot 2\text{SiO}_2$	1.835	1.820	0.015	-
$\text{EuO} \cdot \text{SiO}_2$	1.805	1.775	0.030	Гексагонал сингонияли, бир ўқли кристаллар, оптик манфий. Эриш нүктаси 1700°C
$\text{Eu}_2\text{O}_3 \cdot \text{SiO}_2$	1.890 $N_m = ?$	1.870	0.020	Икки ўқли, оптик мусбат, түғри сүнади. Эриш нүктаси $1980 \text{--} 30^\circ\text{C}$
$2\text{Eu}_2\text{O}_3 \cdot 3\text{SiO}_2$	1.865	1.845	0.020	Гексагонал сингонияли, бир ўқли, оптик манфий. Эриш нүктаси $1970 \text{--} 30^\circ\text{C}$
$\text{Eu}_2\text{O}_3 \cdot 2\text{SiO}_2$	1.775 $N_m = ?$	1.763	0.012	Икки ўқли, оптик мусбат, $1760 \text{--} 30^\circ\text{C}$ да $2\text{Eu}_2\text{O}_3 \cdot 3\text{SiO}_2$ ва суюқликка айланади.
$\text{Dy}_2\text{O}_3 \cdot \text{SiO}_2$	1.865	1.847	0.018	Икки ўқли, оптик ўқлар орасидаги бурчак 88° . Эриш нүктаси 1930°C

$2\text{Dy}_2\text{O}_3 \cdot 3\text{SiO}_2$	1.853 1.838	0.015	Бир ўқли, манфий. Эриш нүктаси 1920°C
$\text{Dy}_2\text{O}_3 \cdot 2\text{SiO}_2$	1.765 $\frac{1.759}{1.71}$	0.008	Икки ўқли, мусбат. 1720°C да $2\text{Dy}_2\text{O}_3 \cdot 3\text{SiO}_2$ ва суюқликка айланади
$\text{Er}_2\text{O}_3 \cdot \text{SiO}_2$	1.825 1.807	0.018	$\rho_{\text{тажр.}} = 6.80 \text{ г/см}^3$. Конгруэнт эриш нүктаси 1980°C
$2\text{Er}_2\text{O}_3 \cdot 3\text{SiO}_2$	1.800 1.780	0.020	$\rho_{\text{тажр.}} = 6.22 \text{ г/см}^3$. Конгруэнт эриш нүктаси 1900°C
$\text{Er}_2\text{O}_3 \cdot 2\text{SiO}_2$	1.768 1.740	-	$\rho_{\text{тажр.}} = 6.10 \text{ г/см}^3$. Конгруэнт эриш нүктаси 1800°C
$3\text{YbO} \cdot \text{SiO}_2$	1.815 1.805	0.010	-
$2\text{YbO} \cdot \text{SiO}_2$	1.800 1.780	0.020	-
$3\text{YbO} \cdot 2\text{SiO}_2$	1.780 1.760	0.020	-
$\text{YbO} \cdot \text{SiO}_2$	1.770 1.745	0.025	-
$\text{Yb}_2\text{O}_3 \cdot \text{SiO}_2$	1.827 1.807	0.020	Икки ўқли, мусбат. Эриш нүктаси 1950°C .
$2\text{Yb}_2\text{O}_3 \cdot 3\text{SiO}_2$	1.800 1.782	0.018	Бир ўқли, манфий. Эриш нүктаси 1920°C .
$\text{Yb}_2\text{O}_3 \cdot 2\text{SiO}_2$	1.770 1.740	0.030	Икки ўқли, мусбат. Эриш нүктаси 1850°C .
Глёт – PbO	2.665 2.535	0.030	Квадрат сингонияли. Жадваллар, пластинкалар. Оптик белгиси (-), $2V = 0^{\circ}$. Эриши – 886°C
$\alpha - 4\text{PbO} \cdot \text{SiO}_2$	2.380 $N_m = 2.34$	0.070	Призмалар. Оптик белгиси (+), $2V = 40^{\circ}$, Эриш температураси 725°C
$\beta - 4\text{PbO} \cdot \text{SiO}_2$	$N_{\text{үртата}} = 2.340$	Куч-сиз	720-155 $^{\circ}\text{C}$ ли оралиқда барқарор. Кристаллтар призма ва донсимон күрінішіда
$\gamma - 4\text{PbO} \cdot \text{SiO}_2$	β -формага ўшашы	Куч-сиз	155 $^{\circ}\text{C}$ ли ҳароратдан пастда барқарор. Күрсаттычлари β -фаза кабидир
$2\text{PbO} \cdot \text{SiO}_2$	2.180 $N_m = 2.150$	0.050	Ромбик сингониялы. Призмалар. (-), $2V = 80^{\circ}$, сүниши – түгри. Эриш нүктаси 723°C
$\text{PbO} \cdot \text{SiO}_2$	$N_{\text{үртата}} = 1.950$	Куч-сиз	Призмалар. Оптик белгиси (-), $2V = 60^{\circ}$. Эриш нүктаси 764°C

Барисилит - 3PbO·2SiO ₂	N _{пуртака} =2.040 N _m =?	0.005	Призмалар, жадваллар. Бир ўқли, Оптик белгиси (-), 2V = 0°
Аламозит - PbO·SiO ₂	1.968 1.947 N _m =1.961	0.023	Моноклин сингонияли, a:b:c=1.375:1:0.924, β=95°50'. Волокноли кристаллар. (-), 2V = 65°. Қаттиқлиги 4.5, ρ _{тажр.} =6.49 г/см ³ . Эриш нүктаси 764°C
Казолит - Pb ₂ (UO ₂)·SiO ₄ · H ₂ O	1.967 1.890 N _m =1.900	0.077	Моноклин сингонияли, a=13.28, b=7.01, c=6.71 Å, β=103°42'. Кристаллар майда призмалар холида. (+), 2V = 42°58'. Қаттиқлиги 4-5, ρ _{тажр.} =6.46 г/см ³
Бадделит - ZrO ₂	2.200 2.130 N _m =2.190	0.070	Моноклин сингонияли. a=5.22, b=7.27, c=5.59 Å, β=99°71'. Жадвал- симон кристаллар. Ажралиши (001) бүйича. (-), 2V = 30°. ρ _{тажр.} =5.6 г/см ³ . Эриш нүктаси 2715°C
Циркон - ZrO ₂ ·SiO ₂	1.968 1.923 2.015 1.960	0.045 0.055	Квадрат сингонияли, a=6.61, c= 5.89 Å. Призмалар, пирамидалар, күшталоқтар. Ажралиши - призма бүйлаб, қаттиқлиги 7.5, ρ _{тажр.} =4.7 г/см ³
HfO ₂ ·SiO ₂	1.950 1.940	0.010	Тетрагонал симметрияли, a = 6.60 ва c = 5.97 Å. ρ _{тажр.} =3.27 г/см ³
Гуттонит - ThO ₂ ·SiO ₂	1.930 о 1.900 о 0.005 0.003 N _m =?	0.030	Моноклин сингонияли стабил форма, a = 6.80, b = 6.96 ва c = 6.54 Å, ρ _{тажр.} =7.20 о 0.10 г/см ³ . 1975 о50°C да ThO ₂ ва суюқликка пар- чаланади
Торит - ThO ₂ ·SiO ₂	1.885 о 1.827 о 0.003 0.003	0.058	Тетрагонал сингонияли метаста- бил форма, a = 7.03, c = 6.25 Å. ρ _{тажр.} = 6.63 о 0.10 г/см ³
α - SiO ₂ ·P ₂ O ₅	- -	-	-
β - SiO ₂ ·P ₂ O ₅	- -	-	1030°C да β-формадан α-формага ұтади.
2SiO ₂ ·P ₂ O ₅	- -	-	1120°C да SiO ₂ ·P ₂ O ₅ ва суюқликка айланади.
3SiO ₂ ·P ₂ O ₅	- -	-	-

α - SiC	2.689- 2.647- 2.693 2.649	0.042- 0.043	Гексагонал сингонияли. Ингичка базал пластинкалар. Бир ўқли, мусбат. Қаттиқлиги 9.5, $\rho_{тажр.}=3.2$ г/см ³ . 3400°C да эримай диссоциацияга учрайди.
β - SiC	2.63	-	Куб сингонияли, $a=4.349 \text{ \AA}$, $Z=4$, $\rho_{тажр.}=3.216$ г/см ³ .
Кремний моно-оксиди – SiO	2.00	-	Куб сингонияли, $a=7.135 \text{ \AA}$. Кристаллари бир түрли пластинкалар ҳолида учрайди, $\rho_{тажр.}=2.146$ г/см ³
α -кристобалит- SiO ₂	1.486	-	Куб сингонияли юқори температурали фаза. Кристалларининг формаси-оқтаздар ва куб. Қаттиқлиги 6-7, $\rho_{тажр.}=2.27-2.35$ г/см ³ . 1710°C да эрийди
β -кристобалит- SiO ₂	1.487 1.484	0.003	Тетрагонал сингонияли, паст температурали. Полисинтетик құшалоқтар. Бир ўқли, манфий
α -Тридимит- SiO ₂	- -	-	Гексагонал сингонияли, 117°C дан юқорида барқарор, $c : a = 1.653$
β -Тридимит- SiO ₂	1.473 1.469 $N_m=1.469$	0.004	Ромбик сингонияли, 117°C дан пастда барқарор, $a = 9.88$, $b = 17.1$, $c = 16.3 \text{ \AA}$, $Z=64$. 870-1470°C ли оралиқдан ташқарыда полиморфизмға учрайди. (+), $2V = 35^\circ$. Қаттиқлиги 7, $\rho_{тажр.}=2.27$ г/см ³ .
α -Кварц- SiO ₂	1.540 1.533	0.007	Гексагонал сингонияли, $a = 5.01$, $c = 5.47 \text{ \AA}$, $Z=3$. 870-573°C оралиғида барқарор.
β -Кварц- SiO ₂	1.553 1.544	0.009	Тригонал сингонияли, $a = 4.903$, $c = 5.393 \text{ \AA}$, $Z=3$. Қысқа призматик кристаллар, 573-20°C да оралиғида барқарор. Бир ўқли, мусбат. Қаттиқлиги 7, $\rho_{тажр.}=2.65$ г/см ³
Китит-SiO ₂	1.522 1.513	0.009	Тетрагонал сингонияли, $a = 7.46$, $c = 8.59 \text{ \AA}$, $Z=12$. Бир ўқли, манфий, $\rho_{тажр.}=2.50$ г/см ³ . 1100°C гача барқарор

Коусит- SiO_2	1.604 $N_m=1.593$	1.599 0.014	Моноклин сингонияли, $a = 7.23$, $b = 12.52$, $c = 7.23 \text{ \AA}$, $\beta = 120^\circ$, $Z = 17$. Қаттиқлиги 8, $\rho_{\text{тажр.}} = 3.01 \text{ г/см}^3$, (+), $2V = 54^\circ$
Лешательерит- SiO_2		1.459	-
Халцедон- SiO_2		1.537 1.530	Кварц структурасыга ўхшаш, қаттиқлиги 6, $\rho_{\text{тажр.}} = 2.55-2.63 \text{ г/см}^3$
$\text{P}_2\text{O}_5 - \text{I}$		1.624 1.599	Тетрагонал сингониялы стабил фаза. Бир ўқли, мусбат, $\rho_{\text{тажр.}} = 2.89 \text{ г/см}^3$
$\text{P}_2\text{O}_5 - \text{II}$	1.589 $N_m=1.578$	1.545 0.044	Ромбик сингониялы метастабиль фаза. Икки ўқли, манфий, $2V = 65^\circ$
$\text{P}_2\text{O}_5 - \text{III}$		1.471 1.469	Гексагонал сингониялы метастабил фаза. Бир ўқли, мусбат, $\rho_{\text{тажр.}} = 2.28-2.32 \text{ г/см}^3$
Cr_2O_3		$N_{\text{уртча}} = 2.5$	Гексагонал сингониялы, $a = 4.95$, $c = 13.57 \text{ \AA}$, Кристаллари призма ва табличка қолида. Бир ўқли, мусбат, $\rho_{\text{тажр.}} = 5.2 \text{ г/см}^3$
$2\text{CrO} \cdot \text{SiO}_2$	2.03 $N_m=1.94$	1.93	Паст категориялы сингонияга мансуб, икки ўқли, $\rho_{\text{тажр.}} = 4.0 \text{ г/см}^3$
$\text{Cr}_2\text{O}_3 \cdot 3\text{SiO}_2$	1.905o1.790o 0.05 0.05	0.002	Ромбик сингониялы, икки ўқли, түрі сұнади. Эриш нұктаси 1995°C
Коффинит- $\text{UO}_2 \cdot \text{SiO}_2$		$N_{\text{уртча}} =$ $\sim 1.83) 1.88$	Тетрагональ сингониялы, $a = 6.981 \pm 0.004$, $c = 6.250 \pm 0.005 \text{ \AA}$. Иссиклик- дан кснгайиш коэффициенти $80 \cdot 10^{-7}$ га тенг
Тефроит- $2\text{MnO} \cdot \text{SiO}_2$	1.820 $N_m=1.805$	1.780 0.040	Ромбик сингониялы, $a = 4.86$, $b = 10.62$, $c = 6.22 \text{ \AA}$. Икки ўқли, манфий, $2V = 50^\circ$. Қаттиқлиги 4.2. Конгруэнт эриш нұктаси 1345°C
Родонит- $\text{MnO} \cdot \text{SiO}_2$	-	-	1291 $^\circ\text{C}$ да инконгруэнт эриш туфайли тридимит ва суюқлікка айланади

Манганозит - MnO	2.230	-	Куб сингонияли, $a = 4.45 \text{ \AA}$, $Z=4$. Кристаллари октаэдрик қиёфада, ажралиши куб бүйічә. Қаттиқлиги 5.5, $\rho_{\text{тажр}} = 5.36 \text{ г/см}^3$	
Mn-кордиерит - $2\text{MnO}\cdot 2\text{Al}_2\text{O}_3\cdot 5\text{SiO}_2$	1.558 $N_m = 1.558$	1.537 $N_m = 1.558$	0.021	Кристаллари нинасимон. Икки ўқли, манфий, 2V кичик. Эриш температурасы 1200°C
Спессартин - $2\text{MnO}\cdot \text{Al}_2\text{O}_3\cdot 3\text{SiO}_2$		1.800	-	Куб сингонияли, $a = 11.59 \text{ \AA}$. Додекаэдрик кристаллар. Қаттиқлиги 7-7.5, $\rho_{\text{тажр}} = 4.18 \text{ г/см}^3$. Эриш нұқтаси 1200°C . $N_{\text{шина}} = 1.655$
Пикротефроит - $2(\text{Mn}, \text{Mg})\text{O}\cdot \text{SiO}_2$	1.740 $N_m = 1.727$	1.710 $N_m = 1.727$	0.030	Ромбик сингонияли, икки ўқли, манфий, $2V = 85^\circ$
$\text{MnO}\cdot \text{Al}_2\text{O}_3\cdot 2\text{SiO}_2$	1.626	1.605 $N_m = ?$	0.021	Триклин сингонияли, икки ўқли, сұниш бурчагы 43°
$\text{MnF}_2\cdot \text{SiF}_4\cdot 6\text{H}_2\text{O}$	1.374	1.357	0.017	Тригонал сингонияли, $c:a = 0.504$. Призматик кристаллар. Ажралиши (1120) бүйічә. Бир ўқли, мусбат, $\rho_{\text{тажр}} = 1.86 \text{ г/см}^3$
Фаялит - $2\text{FeO}\cdot \text{SiO}_2$	1.875 $N_m = 1.864$	1.824	0.051	Ромбик сингонияли, $a = 4.80$, $b = 10.59$, $c = 6.16 \text{ \AA}$. (100) бүйічә жадваллар. Ажралиши (010) бүйічә яққол ва (100) бүйічә сезилар-сезилмас, $2V = 57^\circ$, оптикалык ориентири $x=b$, $\rho_{\text{тажр}} = 4.32 \text{ г/см}^3$
Вюстит - FeO	2.32	-	Куб сингонияли, $a = 4.30 \text{ \AA}$. $Z=4$. $\rho_{\text{тажр}} = 5.5 \text{ г/см}^3$ Эриш нұқтаси 1380°C	
Гематит - $\alpha - \text{Fe}_2\text{O}_3$	3.010	2.780	0.230	Гексагонал сингонияли, $a = 5.04$, $c = 13.75 \text{ \AA}$. Габитусы-ромбоэдр ва пластинка. Бир ўқли, манфий, $\rho_{\text{тажр}} = 5.2 \text{ г/см}^3$. 1350°C да эрийди
Клиноферропсилит - $\text{FeO}\cdot \text{SiO}_2 - \text{I}$	-	-	-	Фазавий группаси $P2_1/c$, $a = 9.70850\text{o}0.0008$, $b = 9.08720\text{o}0.0011$, $c = 5.22840\text{o}0.0006 \text{ \AA}$, $\beta = 108.4320\text{o}0.004^\circ$, $V = 437.60\text{o}0.1 \text{ \AA}^3$, $Z = 8$
Ортоферропсилит - $\text{FeO}\cdot \text{SiO}_2 - \text{II}$	-	-	-	Фазавий группаси Pbc . $a = 18.4310\text{o}0.004$, $b = 9.080\text{o}0.002$, $c = 5.2380\text{o}0.001 \text{ \AA}$, $V = 876.60\text{o}0.5 \text{ \AA}^3$, $Z = 16$

Ферросилит - FeO·SiO ₂ - III	-	-	Элементар панжара ўлчамлари: $a = 6.57$, $b = 7.51$, $c = 22.68 \text{ \AA}$, $\alpha = 115.3^\circ$, $\beta = 80.5^\circ$, $\gamma = 95.5^\circ$
Fe-кордиерит - 2FeO·2Al ₂ O ₃ · 5SiO ₂	1.574 $N_m = 1.564$	1.551 $N_m = 1.564$	0.023 Ромбик сингонияли, икки ўқли, манфий, 2V катта
Альмандин - 3FeO·Al ₂ O ₃ · 3SiO ₂		1.830	- Куб сингонияли, $a = 11.53 \text{ \AA}$. Қаттиқлиги 7-7.5, $\rho_{\text{тажр.}} = 4.32 \text{ г/см}^3$
Джиллеспит - FeO·BaO·4SiO ₂		1.621 1.619	0.002 Тригонал сингонияли, $a = 7.495$, $c = 16.05 \text{ \AA}$, $Z = 4$. Бир ўқли, манфий. Қаттиқлиги 3, $\rho_{\text{тажр.}} = 3.4 \text{ г/см}^3$
Антофиллит - 7(Fe,Mg)O· 8SiO ₂ ·H ₂ O		1.597 $N_m = 1.590$	0.013 Ромбик сингонияли, $a = 18.52$, $b = 18.04$, $c = 5.27 \text{ \AA}$. Призма шаклли кристаллар. Икки ўқли, мусбат, 2V-кatta
7(Fe,Mg)O· 8SiO ₂ ·H ₂ O		1.665 $N_m = 1.647$	0.025 Моноклин сингонияли, $a = 19.4$, $b = 17.8$, $c = 17.8 \text{ \AA}$. Икки ўқли, мусбат, 2V = 95°
Миннесотаит- 3FeO·4SiO ₂ · H ₂ O		1.618 $N_m = 1.618$	0.032 Моноклин сингонияли, $a = 5.4$, $b = 9.4$, $c = 19.1 \text{ \AA}$. Пластинкасимон кристаллар. Икки ўқли, манфий, 2V = 5°. Қаттиқлиги 2.5, $\rho_{\text{тажр.}} = 3 - 3.1 \text{ г/см}^3$
Нонтронит - Fe(OH)Si ₂ O ₅ · 2H ₂ O		1.640 $N_m = 1.637$	0.023 Моноклин сингонияли, $a = 5.23$, $b = 9.11$, $c = 15.25 \text{ \AA}$. Юпқа пластинкасимон кристаллар, (-), 2V = 40°, $\rho_{\text{тажр.}} = 2.6 \text{ г/см}^3$
FeF ₂ SiF ₄ ·6H ₂ O		1.384 1.364	0.020 Тригонал сингонияли, $c:a = 0.503$. Бир ўқли, мусбат
Кобальтовый оливин - Фаялит - 2CoO·SiO ₂		1.940 1.890	0.050 Ромбик сингонияли, сүништүгри, $\rho_{\text{тажр.}} = 4.677 \text{ г/см}^3$ ва $\rho_{\text{хис.}} = 4.74 \text{ г/см}^3$. 2V-үртагача. Элементар панжара ўлчамлари: $a = 5.99$, $b = 4.77$, $c = 10.27 \text{ \AA}$
Шпинел - 2CoO·SiO ₂	-	-	- Шпинел структуралы, $a = 8.140 \pm 0.005 \text{ \AA}$ ва $\rho_{\text{хис.}} = 5.17 \text{ г/см}^3$
CoO·SiO ₂ - I	-	-	- Ромбик пироксен структуралы кристаллар
2CoO·SiO ₂ - II	-	-	- Моноклин пироксен структуралы кристаллар

Кобальтовый монтичеллит – CdO·CaO·SiO ₂	1.748 N _m =1.738	1.698 N _m =1.738	0.050	Паст категорияли сингонияга эга, a = 6.39, b = 4.81, c = 11.06 Å. Бипирамидал – призматик кристаллар, 2V=53°, ρ _{тажр.} = 3.69 г/см ³
CoF ₂ ·SiF ₄ ·6H ₂ O	1.387	1.381	0.006	Тригонал сингонияли, a:c = 0.522. Призматик ва ромбоздр кристаллар. Бир ўқли, мусбат, ρ _{тажр.} = 2.09 г/см ³
Никельевый оливин – 2NiO·SiO ₂ – I	2.019 N _m =1.987	1.976 N _m =1.987	0.043	Ромбик сингонияли, фазавий группаси Pnma, оливин структурали, a=4.724, b=10.105 ва c=5.928 Å, Z=4, оптик мусбат, узайиши мусбат, сүниши-түгри, 2V-үртача, ρ _{тажр.} = 4.72 г/см ³
NiO·SiO ₂ – II	-	-	-	Шпинел структурали, a = 8.044 Å, ρ _{хис.} = 5.34 г/см ³
NiO·SiO ₂ – I	1.661 N _m =1.656	1.653 N _m =1.656	0.008	Моноклин сингонияли, a=7.75, b=9.02 ва c=5.35 Å, ва β = 91°39'
NiO·SiO ₂ – II	1.665 N _m =1.661	1.655 N _m =1.661	0.010	Ромбик сингонияли, a=8.66, b=17.74 ва c=4.99 Å
Гарньерит – (Ni,Mg) ₆ (OH) ₆ Si ₄ O ₁₁ ·H ₂ O	1.630 N _m =1.630	1.622 N _m =1.630	0.008	Моноклин сингонияли, (+), 2V = 0-10°
Бунзенит – NiO	2.270		-	Куб сингонияли, a=4.18 Å, Z=4. Кристаллари октаэдрик қиёфада. Қаттығылы 3.5, ρ _{тажр.} = 6.8 г/см ³
NiF ₂ ·SiF ₄ ·6H ₂ O	1.406	1.391	0.015	Тригонал сингонияли, c:a = 0.514. Кристаллари узайтирилган призмалар күренишида. Бир ўқли, мусбат, ρ _{тажр.} = 2.13 г/см ³
Шеелит – CaWO ₄	1.936	1.920	0.016	Тетрагонал сингонияли, a=5.25, c=11.36 Å, Z=4, Кристаллари пирамида ва жадвал күренишида. Бир ўқли, мусбат, ρ _{тажр.} = 6.10 г/см ³ . Эриш нуктаси - 1570 °C.
Повеллит – CaMoO ₄	1.984	1.974	0.010	Тетрагонал сингонияли, a=5.24, c=11.46 Å, Z=4, Кристаллари пирамида ва пластинка күренишида. Бир ўқли, мусбат, ρ _{тажр.} = 4.20 г/см ³

Стронцийлии повеллит – SrMoO_4	1.926	1.921	0.005	Тетрагонал сингонияли, $c:a=1.574 \text{ \AA}$, $Z=4$, Кристаллари пирамида күринишида. Бир үқли,мусбат, $\rho_{\text{тажр}} = 4.15 \text{ г/см}^3$
Вульфенит – PbMoO_4	2.405	2.283	0.122	Тетрагонал сингонияли, $a=5.41$, $c=12.1 \text{ \AA}$, $Z=4$, Кристаллари пирамида ва жадвал күринишида. Бир үқли,манфий, $\rho_{\text{тажр}} = 6.75 \text{ г/см}^3$ Эриш нүктаси - 1065°C .
Штольцит – PbWO_4	2.27	2.19	0.08	Тетрагонал сингонияли, $a=5.46$, $c=12.05 \text{ \AA}$, $Z=4$, Кристаллари пирамида күринишида. Бир үқли,манфий, $\rho_{\text{тажр}} = 7.9-8.3 \text{ г/см}^3$
Гюбнерит – MnWO_4	2.283	2.150	0.133	Моноклин сингонияли, $a=4.85$, $b=5.77$, $c=4.98 \text{ \AA}$, $\beta=90^\circ 53'$, Кристаллари призма күринишида. Икки үқли,мусбат, $\rho_{\text{тажр}} = 7.10 \text{ г/см}^3$

Такрорлаш учун саволлар

- 1.Микроскоп термини нимани англатади?
- 2.Кристаллар дунёсини ўрганишда микроскопнинг ўрни қандай бўлган?
- 3.Таҳлилда аниқланадиган асосий хусусиятлар – нур синдириш кўрсаткичи ва бошқалар қандай изоҳланади?
- 4.Қаттиқ моддаларнинг асосий хусусиятлари – симметрия ўқлари, симметрия текислиги, симметрия маркази, кристалларнинг иккиланиб синиш кучи, чўзиқ кристалларнинг сўниши, узайиш белгиси, кристалларнинг оптик белгиси ва бурчак катталиги, габитус, кристалл ўлчами, ажралиш қобилиятлари, қўшалоқликлари, ранг ва плеохроизм ҳақида тушунча беринг.
- 5.Минераллар, хом ашёлар, ярим маҳсулотлар ва тайёр маҳсулотларнинг оптик хусусиятлари қандай асбоблар ёрдамида аниқланади?
- 6.Кристаллооптика усулида табиий ва сунъий кимёвий биримлар, хом ашё, материал ва буюмлар, минерал ва композицияларнинг оптик кўрсаткичлари қандай қонунларга бўйсунади ва аниқланади?
- 7.Микроскопнинг қандай турларини санаб бера оласиз?
- 8.Микроскоплар учун қандай мосламалар мавжуд?
- 9.МИН-8 маркали поляризацион микроскопининг асосий деталлари номини айтиб беринг.

- 10.Микроскопларнинг катталаштириш даражаси қандай аниқланади?
- 11.Шлифларнинг қандай турлари бор?
- 12.Микроскопия препаратларини тайёрлаш усулини келтиринг.
- 13.Тупроқ минераллари, баъзи бир оксидлар ва кальций оксиди – кремний оксиdi тизимидағи фазаларнинг оптик характеристикалари фарқи қандай?
- 14.Корхона шароитида маҳсулотлар сифатини назорат қилишда микроскопия усулидан фойдаланиш мүмкінми?
- 15.Усулдан фойдаланишнинг имкониятларига оид маълумотларни келтириң.
- 16.Усунинг афзаллиги ва камчиликлари ҳақида қандай фикрдасиз?

УЧИНЧИ БОБ

ИНФРАҚИЗИЛ СПЕКТРОСКОПИК ТАҲЛИЛ

17-§. Инфрақизил нурларининг табиати

ИК нурланиш биринчи марта 1800 йилда инглиз олими Уильям Гершель томонидан очилган. У термометрни қуёш спектри бўйлаб ҳаракат қилдирганда 0.86 мкм дан юқорироқда симоб столбининг юқори lab кетганлигини аниқлаган. Бу ҳодиса рўй берган макон инфрақизил нурланишнинг пастки чегараси эди холос. «Инфрақизил» термини Стокс томонидан 1852 йили киритилган «ультрабинафша» терминидан фарқли равишда Беккерель томонидан 1869 йили киритилади.

1834 йили Меллона томонидан ўтказилган тадқиқотлар натижасида инфрақизил нурларининг қайтарилиш ва синиш табиати ёруғлик нурларининг табиатига ўхшаш эканлиги тасдиқланди. Бундан бироз кейинроқ Ампер ва Кноблаух томонидан янги кашф этилган нурларининг тарқалиши, қайтарилиши, поляризация ҳамда интерференцияси худди ёруғлик нурларидек кечиши, аммо улардан тўлқин узунлигининг катталиги билан фарқланиши исботланди.

Инфрақизил нурланиш спектрининг юқори чегарасига етиб бориш узоқ давом этган тадқиқотлар натижасида рўй берди. Бунинг учун жуда кўп нурланиш манбаалари текширилди, турили материаллардан ясалган призмалар ўрганилди. Натижада бу рақам 350 мкм атрофида бўлиб, у радиотўлқинлари билан чегардош эканлиги тасдиқ топди.

Молекуляр спектроскопия спектрал таҳлил усуллари туркумiga киради. Спектрал таҳлилда моддаларнинг кимёвий таркиби ва тузилиши атом ва молекулаларни нур ўтказиш ва қайтариш спектрларини текшириш орқали олиб борилади.

Моддаларнинг квант тузилиши назарияси, атом ва молекула ҳолатини ўзгариши, электромагнит энергия ютилиши ва нурланиши уларда фақат дискрет улушларда содир бўлиши мумкинлигини кўрсатади. Бунга модданинг атом ва молекулаларини

мураккаб тузилмали энергия даражаси мос келади. Энергия квантлар ҳолатида ютилади ва нурланади. Бу ҳолат $h\nu$ га тенг. Бу формуладаги h - универсал константа, яъни Планк доимийлиги бўлиб, у $6,6 \cdot 10^{-27}$ эрг. сек га тенг. ν эса нурланиш майдони частотасидир (ИКС макони $\nu=4 \cdot 10^{14} - 3 \cdot 10^{11}$ Гц). Атом ядроларининг ҳолатини ўзгаришида бу $h\nu$ катта қийматга эга бўлиши зарур. $h\nu$ энергияси электрон қобигларни ўзгаришида кичик ва молекулаларнинг ҳолатини ўзгаришида - жуда кичик катталикка эга бўлиши керак. Майдон частотаси ν ҳам турлича бўлади: биринчи ҳолда у γ -нурланиш ($0,00001-10^{-8}$ мк), иккинчи ҳолда - рентген ($0,01-0,00001$ мк), ультрабинафша ($0,01-0,40$ мк), кўринадиган ($0,40-0,76$ мк) нурланиш ва ниҳоят охирги ҳолда ИК маконидаги нурланиш ($0,76-1000$ мк).

Маълумки, электромагнит майдон билан муҳитнинг ўзаро таъсири нурланиш тўлқин узунликларида кучли тарзда ўзгариди. Масалан, ультрабинафша нурланиш фотокимёвий таъсирга, рентген ва γ -нурланиш- катта сингиш (кириб кетиш) хусусиятига эга. ИК нурланиш фақат молекула ёки молекуладаги атомларнинг алоҳида гуруҳлари билан мулоқотда бўлади, ҳамда моддадаги кучсиз боғланган ёки “озод” ташувчи зарядлар билан ўзаро таъсирлашади.

Юқоридагиларга асосланган ҳолда ИКС усули асосида турли органик ва ноорганик гуруҳларнинг (қаттиқ бўлак ёки жисм) хоссаларини аниқлаш, нур ютилиши ёки кайтиши полосаларининг аниқ хусусиятини бериш устида ишлар қизиб кетди. Одатий полосалар гуруҳларнинг энергетик ўзгаришида тебранма ёки айланма даражадаги орасидаги энергия ҳамда электронларнинг кузатилган ҳолатидаги валент ўзгаришига боғлиқлиги аниқланди.

Органик бирикмаларнинг тузилишини ИКС усулида текшириш бундан 70 йил аввал нур қайтариш спектрларини олиш ва ўрганиши билан бошланган. Кварц 8,5 мк да 80% атрофида ИК радиация қайтаришини Никольс топган. Асримиз бошида Кобленц турли хил силикатлар тури ИК спектрларига эга эканлигини аниқлаган. Силикатларнинг нур қайтариш спектрлари бўйича Шефер, Матосси (1930-1938 й.), нур ютиш спектрлари бўйича Тарт (1950-60 й.), Флоринская (1960-1970 й.), Лазарев (1960-1970 й.) ва бошқалар (Колесова В.А., Шевяков А.М., Плюснина И.И., Солнцева Л.С.) систематик ишлар олиб боришган.

ИК нурланиш табиати күринадиган ва радио нурланишлар табиатига ўхшашдир.

ИК нурланиш- бу 0,76 дан 1000 мк гача түлкін узунлигидаги (ёки түлкін сонлари $13160\text{-}10 \text{ см}^{-1}$) электромагнит нурланиш бұлғын - ёргулук спектрлари (0,40 - 0,76 мк) ва радиотүлкінлар [$\lambda > 1 \text{ см}^{-1}$ (1000мк)] оралиғидаги нурлаништар. Ҳозирги вақтда силикатларни ўрганишда күпинча ИК нурланишнинг 2дан 25-40мк гача бұлған маконлари құлланилади.

Нормал ИК нур оқими силлиқланған, ясси модда юзасига тушғанда:

- а) ундан қайтади;
- б) модда заррачаларида ютилади ва ёйилади;
- в) нур үтказади.

ИК нурларини қайтариш спектрлари қуидеги формула орқали топилади:

$$I_p = \rho \cdot I_o,$$

бу ерда, I_p - қайтган нурлар оқими;

ρ - модданинг нур қайтариш коэффициенти;

I_o - модда юзасига тушаётган нормал нур оқими.

ИК нурларнинг үтқазиш спектрлари қуидеги топилади:

$$I = (1 - \rho^2) I_o \cdot e^{-kt},$$

бу ерда, k - модданинг нур ютиш коэффициенти;

t - нур ютаётган қаватнинг қалинлиғи.

Нур қайтиш ва үтқазиш спектрларининг қиймати қуидегиларга боғлық:

1) нур ютиш коэффициенти k , нур қайтариш коэффициенти ρ ва модданинг нур синдириш күрсаткичи n га;

2) кристалл панжара сингонияларига;

3) тузилмаларнинг массалар ва ион радиусларига, бунда масса қанча күп бўлса, бир сингония кристаллари нур ютишининг асосий полосалари шунча күп узун түлкінли макон тарафига силжийди;

4) панжарарадаги изоморф қўшилмалар ва бошқа факторларга.

18-§. Моддаларнинг инфрақизил спектрлари

ИК маконида нур ютилиши, асосан ИК нурланиши таъсирда модда молекулалари ёки ионларининг айланма ва тебранма ҳаракат үзгариши, баъзан уларнинг электрон қобиғлари деформацияга учраши билан изоҳланади. Энг күп ИК нурининг ютиши кристалл панжара ва унинг компонентлари (молекула,

ионлар)нинг тебраниш частоталарига амалий жиҳатдан мос келади. Бу тебранишларнинг ҳолати ва частоталари модданинг табиатига, молекулалари (ионлари) жойлашишига, улар орасидаги масофа ва бошқаларга боғлиқ.

Модда ҳолатига тебраниш частоталарининг боғлиқлигини умумий кўринишда қуйидагича ифодалаш мумкин:

$$v = 1/2\pi c \gamma /k,$$

бу ерда, v - тебраниш частотаси;

k - келтирилган мураккаб анионнинг атом массаси;

γ - кучланиш доимийлиги. XO_4 тетраэдр учун $1,86 \times 10^5 / R \cdot d_i$ га тенг бунда, R - ион радиуси;

d_i - XO_4 тетраэдрга кирувчи, X атоми учун одатий ва берилган атомни элементлар даврий жадвали ўрнига боғлиқ константа;

C - модданинг константаси.

Валент боғлар бўйича содир бўладиган тебранишлар валент тебранишлари, уларга перпендикуляр бўлганлари эса деформацион тебранишлар дейилади.

ИК нурларни ютиш спектрлари ёрдамида тузилишни ўрганиш ва текшириш усулларидан келиб чиқсан ҳолда (препарат тайёрлаш, текшириш учун аппарат танлаш) қаттиқ моддалар икки синфга бўлинади:

1) Бир тартибли мураккаб бўлмаган гуруҳ компонентлари (ионлари, молекулалари) орасидаги масофа ва энергияга боғлиқ бўлган кристалл модданинг ИК нурларни ютиш спектрлари.

Кристалл модда умумий равишда бир молекулани намоён этади. Бундай моддаларда фақат оддий панжараларнинг бошқаларга нисбатан тебраниши базис ячейкаларининг айланниши панжаранинг бузилишига олиб келади. Бундай панжара тебранишларини ҳисоблаш мураккаб, бунда кўп сонли ионларнинг боғлиқлигини ҳисобга олиш лозим. Бир қанча соддалаштиришлардан мумкин бўлган тебранишлар сони ёки нур ютиш полосаларини аниқлаш мумкин. Бундай кристаллар таркибиға нисбатан оғир ионлар киради, шунинг учун уларнинг тебраниш частоталари узун тўлқинли спектрларда (12-15 мк дан катта ёки $800-700 \text{ см}^{-1}$ дан кичик) намоён бўлади.

Моддаларнинг аморфлик ҳолатининг уларнинг ИК спектрларга таъсири етарлича ўрганилмаган. Аморфизацияда ютилиш полосалари кенгайиб, уларнинг нозик тузилмаси йўқолиши мумкин.

Хозирги кунда бирорта маълум кристалл тузилма ёки аморф модданинг ҳамма тебранишларини аниқлаш (модданинг барча ютиш полосалари ҳолати) ва аксинча, маълум бўлган ИК нурларини ютиши спектрлари орқали ионларнинг кристалл панжараларида жойлашишини олдиндан айтишнинг имконияти йўқ ва моддаларнинг тузилишидаги баъзи ҳолатларнигина ИК нур ютиш спектрларини ўрганиш орқали аниқлаш мумкин.

Масалан, кубик сингонияга эга кристаллар (Шефер, Маттосси, 1935 й.) ўзининг биттадан тебраниш частотасига эга. Улар массасининг тебранувчи атомлари массаси қанча кўп бўлса, бу полоса шунча узун тўлқинли маконда сурилган бўлади:

$$\text{MgO } \lambda = 14,2 \text{ мк (704 см}^{-1}) \quad \text{KCl} = 63 \text{ мк (159 см}^{-1})$$

$$\text{CaO } \lambda = 22 \text{ мк (455 см}^{-1}) \quad \text{NaCl} = 52 \text{ мк (192 см}^{-1})$$

Кубик сингонияга эга бўлган кристалларнинг бир қанчасида битта ўрнига иккита максимумли нур ютиш полосалари мавжуд (масалан, NaCl учун иккинчи нур ютилиш $\lambda=39$ мк га мос келади (Лекопт, 1958 й.). Бу фақат шартли равишда Борннинг кристаллодинамик назариясининг тахмини бўйича - панжаранинг қўшимча тебранишлари, қўшни элементар ячейкаларнинг атомлари эквивалент ҳолатда қарши фазада тебраниши орқали тушунирилади. Бундай тебранишлар сони катта бўлиши мумкин. Масалан, юқори панжарали кварц учун назарий жиҳатдан 189 тебраниш бўлиши мумкинлигини кўриш мумкин.

ZnO ва BeO (гексагонал сингонияда) типидаги оксидлар мураккаб нур ютиш спектрига эга. Бундай кристалларнинг элементар ячейкасида 4 атом мавжуд ва шахсий тебранишлар сони $3\times4-6=6$ ни ташкил этади, улардан Брестер бўйича фақат 2 таси актив, Тольксдарф бўйича эса учтаси: $\text{BeO}= 8,2$ мк (1222 см^{-1}); $10,7$ мк (935 см^{-1}) ва 14 мк (713 см^{-1}); $\text{ZnO}= 15,2$ мк (658 см^{-1}); 22 мк (455 см^{-1}) ва 28 мк (357 см^{-1}).

2) Ички кучларининг боғланиши группаларо боғланишга нисбатан кучли бўлган, ўзининг тузилмасида мураккаб гурухга (ионлар, молекулалар) эга бўлган кристалл моддаларнинг ИК нур ютиш спектрлари.

Агар панжараада анион ва катионлар комплекси ёки гурух атомлари ўзаро мустаҳкам боғланган бўлса, интерпретация ва тебранишлар ҳисоби ёки уларга мос келувчи нур ютиш полосаларини аниқлаш ва модданинг тузилишини ИК спектрлар орқали ўрганиш жуда осон бўлади. Бу гурухларни (масалан,

$[SiO_4]^{4-}$) етарли даражада изолировка қилинган ва уларни катта бўлмаган атомлар сонидан ташкил топган молекула деб қарашиб мумкин.

Мураккаб гуруҳдан ташкил топган моддаларнинг тебраниши:

а) ички тебраниш, яъни комплекс гуруҳ атомларининг ички тебраниши;

б) ташқи тебраниш, яъни бошқа гуруҳ ёки атомларга нисбатан комплекс гуруҳ тебранишига киритиш мумкин.

Кристалларнинг айрим бўлакларини ажратиш ва уларнинг тебранишини тажриба билан кўриш исботлайдики: агар гуруҳни ташкил этувчи элементларнинг атом оғирлиги қўшни гуруҳ элеменларининг атом оғирлигидан маълум равища фарқ қиласа.

Бундай ҳолларда гуруҳ учун барча шахсий тебраниш ва уларни симметрияга таъсиirlарини назарий жиҳатдан ҳисоблаш мумкин. Полосалар кўриниши, ҳолати ва сони бўйича умумий ҳолда қайси гуруҳ бирикма таркиби (кристалл панжара)га кириши ва унинг тузилиши ёки кристалл панжара таъсиридаги унинг деформациясини аниқлаш мумкин. Гуруҳ тузилиши (деформацияси) кўпроқ ундаги атомларнинг сони ва жойлашишига боғлиқ. Бундан ташқари, баъзан қаттиқ моддаларда гуруҳлар, бошқа ион ёки нейтрал зарралар орасидаги ўзаро таъсир билан комплекс гуруҳ тузилишида (унинг симметрияси ва баъзи боғларда тебраниш частотаси ўзгаради) комплекс гуруҳ тузилишида ўз аксини топади.

Шунга жавобан 2 - синф қаттиқ моддалар тузилишининг аҳамиятига кўра, амалий жиҳатдан ИК нур ютиш спектрлари ўртасидаги боғланиши қуйидагича белгиланади:

1) нур ютиш полосасининг сонига гуруҳ симметрияси ва атомлари сонига боғлик;

2) Гуруҳларнинг нур ютиш полосалари ва уларнинг силжишлари ҳамда бошқа гуруҳлар (ёки катионлар ва нейтрал зарачалар) ва бир хил гуруҳларнинг ўзаро жойлашишига боғлиқ.

Гуруҳларнинг маълум даражада қонуний жойлашиши масаласига келсак, масалан, бир турли сингония кристаллари учун, текширилаётган мураккаб гуруҳнинг нур ютиш полосаси ҳолати қўшни гуруҳ ўлчамлари ва массаси билан аниқланади. Бу ҳолат модданинг инденификацияси ёки модда синфини (масалан, кислота, альдегидларнинг тузи, катионлар ва бошқалар) аниқлаш учун асос бўлиб хизмат қиласи.

Баъзи минераллар (доломит, людвигит, гранат, хлорит) учун ИҚ нур ютиш полосаси изоморф гурухлар ҳолатига тұғри пропорционал равища силжиши топилған (Архипенко, 1963 й.; Александров, 1965 й.; Ковалев ва бошқалар, 1965 й.). Бу шуни билдирады, изоморф гурух (ион) текширилаётган гурух нур ютиш полосасини силжишини юзага келтиради. Минералнинг механик құшилмалари эса текширилаётган модданинг нур ютиш полосаси ҳолатидә ұзгаришлар содир этмайды. Күринишидан нур ютиш спектри бүйича моддадаги компонентларнинг шаклини чиқиши ва полосанинг силжиш катталиги бүйича изоморф құшимчалар сонини аниқлаш имконини беради.

Модданинг кристаллигини ИҚ нур ютиш спектрларига таъсири, баъзи гурухларнинг нур ютиш полосаларини сони ва парчаланиши билан ифодаланади, чунки парчаланиш тавсифи кристалл панжара тури билан аниқланади. Аморф моддаларда парчаланиш полосаси күзатылмайды.

Кристалл ва аморф моддаларда гурух (ион, нейтрал заррача)нинг ұзгариши (изоморфлилиги)ни текширилаётган гурухнинг нур ютиш полосасини бироз силжишига олиб келади. Бунда құпинча ҳар бир полосанинг парчаланиш ҳолати сақланади. Баъзан полосанинг интенсивлик нисбати ұзараади.

XU_4 гурух (SiO_4^{4-} , SO_4^{2-} , PO_4^{3-} ва бошқалар) тұғри тетраэдрда намоён бұлса, иккита тебраниш частотасига эга ва агар тетраэдр қайишганрек бұлса, тұртта тебранишга эга. Чунки мос келувчи нур ютиш полосалари бу ҳолда парчаланади. Берилган намунадан нур ютиш полосалариниг сони ва күриниши бүйича гурух тузилиши ҳақида хулоса қилиш мумкин.

Тетраэдрларнинг деформацияга учраши ва унинг натижасида инфрақизил нурларни ютиш чизиклари ұзгариши мумкинligини биринчи маротаба Брестер қайд этган. Модда таркибига кирганның атом оғирилиги, радиуси, атомлар орасидаги масофа ва кимёвий бояланиш тури – ионли, ковалентли, металли, водородли ва ҳоказога қараб ютилиш чизикларининг қыймати ва ҳолати ұзараади. Шунинг учун инфрақизил нурларини ютиш даражаси, полосалар сони ва күринишига қараб қайси гурух ёки модда устидаған кетаётгандылық ҳақида фикр юритиш мумкин.

Масалан, ютилиш полосалари тааллуқли: силикатлар ва SiO_4 га- 1100-900, 830-740 ва 500-400 cm^{-1} ; боратлар, BO_3 ва BO_4 ларига- 1300-1150, 1050-900 ва 780-660 cm^{-1} ; фосфатлар ва

PO_4 га-1100-1000,830-780 ва 650-500 cm^{-1} ; арсенатлар ва AsO_4 га - 900-780, 550-400 ва 350 cm^{-1} ; сульфатлар ва SO_4 га-1250-1000,650-610 ва 450 cm^{-1} ; карбонатлар ва CO_3 га-1450-1410,880-860 ва 740-680 cm^{-1} ; нитратлар ва NO_3 га-1380-1350 ва 840-815 cm^{-1} ; вольфраматлар ва WO_4 га- 930-810, 450-400 ва 320 cm^{-1} ; молибдатлар ва MoO_4 га - 950-810, 450-400 ва 320 cm^{-1} ; ванадатлар ва VO_4 га - 1150-730, 480-450 ва 350 cm^{-1} .

19-§. Кальцит минералининг инфрақизил спектрлари ҳақида

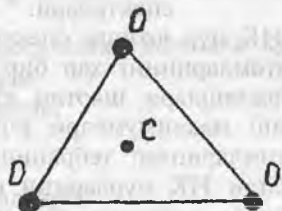
Кальцит минерали CaCO_3 табиатда кўп тарқалган табиий минераллар туркумига киради. У боғловчи ва шиша маҳсулотлари ишлаб чиқаришда кенг қўлланиладиган хом ашё бўлиб хизмат қиласди.

Сувсиз карбонатлар, шу жумладан, кальцит минералининг инфрақизил спектрларини ўрганиш 1950-1963 йиллар давомида Адлер, Келлер ва Керр томонидан амалга оширилган. Кальцит – доломит аралашмасидан минералларни ажратиб олиш методикаси Хант ва Тернер томонидан 1962 йили ҳал этилди. Турли карбонат минераллари миқдорини уларнинг аралашмаси спектрларидан аниқлашга Честер томонидан 1967 йили уриниб кўрилди.

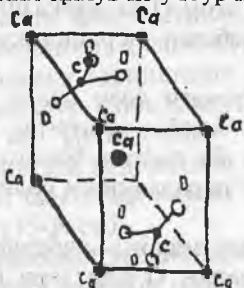
Табиий ва синтетик карбонатлар ИК спектрини текшириш 1952-1971 йиллар ичida Миллер, Вайт, Анжино, Ле Наво, Харитонов ва бошқалар томонидан систематик равишда олиб борилди. Натижада карбонат минераллари спектрларининг асосий частоталари аниқланди:

Модда	ν_1	ν_2	ν_3	ν_4
Кальцит- CaCO_3	-	879	1429-1492	706
Арагонит- CaCO_3	1080	866-852	1492-1504	706
Магнезит- MgCO_3	1096	886-851	1460	735
Доломит- $\text{CaMg}(\text{CO}_3)_2$	-	880-857	1460	727-697
Стронцианит- SrCO_3	1070	841-871	1461	702
Родохрозит- MnCO_3	-	848-871	1430	727
Смитсонит- ZnCO_3	-	859-858	1428	743
Ватерит- BaCO_3	1060	837-840	1435	687
Церусит- PbCO_3	1051	839	1397	678-668

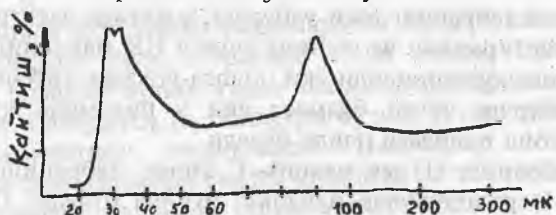
Куйида CaCO_3 минералининг ИК спектрлари батафсилроқ кўриб чиқлади. CaCO_3 - кальцит: У CO_3^{2-} группасидан ташкил топган ва С атомлари ясси бир хил томонли учбурчак марказини ҳосил қиласди. Бу ерда тўртта шахсий тебраниш, ҳар бирига мос келувчи ўзининг нур ютиш полосаси бўлиши мумкин. Углероднинг координацион сони 6 га teng. Куйида учбурчак ёки пирамида (11-расм), кальцит тузилиши (12-расм), унинг ИК нурларини қайтариш (13-расм) ва ютиш (14-расм) спектрлари берилган.



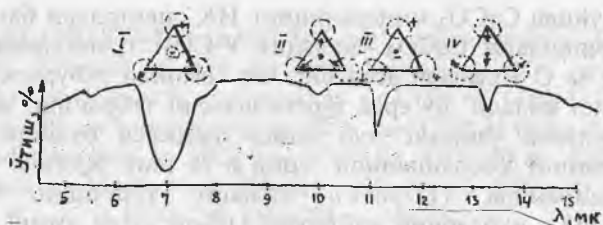
11-расм. Кальцитни ташкил қилувчи учбурчак ёки пирамида.



12-расм. CaCO_3 нинг тузилиши.



13-расм. Кальцитнинг нур қайтариш спектри.



14-расм. Кальцит минералининг ИК нурларини ютиш спектрлари.

Кальцитининг ИК нур ютиши спектрларида ва CO_3^{2-} муреккаб анионида атомларининг ҳар бир нур ютишга мос келувчи шахсий тебранишлари шартли кўрсатилган (14-расм). Юқори нур ютилиш максимумлари ички тебраниш CO_3^{2-} -комплекс анион атомларининг тебраниши билан аниқланади. 14-расмда келтирилган ИК нурларини ютиш спектрида 4 та полоса мавжуд бўлиб, куйидаги тебранишларни англатади: 1-тебраниш (7 мк области)- икки атом О бир-биридан узоқлашади, учинчى атом О ва марказий С ҳаракатини олдинги икки атомга нисбатан перпендикуляр йўналиши бўйича бажаради.

Агар CO_3^{2-} учбурчаги ясси бўлса, унга фақат битта нур ютиш полосаси мос келади. Нотўғри пирамида ёки ҳар хил томонли учбурчакда бу полоса ўрнига қиймати яқин бўлган (шахсий частотанинг парчаланиши содир бўлади) иккита полоса пайдо бўлади.

2-тебраниш (10 мк макон)- учбурчак марказидаги атом С ҳаракат қилмайди, лекин О атомлари (учбурчак чўққисидаги) марказ билан чўққи орасидаги чизикда тебраниш ҳосил қиласади.

Бундай тебраниш ясси учбурчак ҳолатида электрик моментини ўзгартирмайди ва шунинг учун у ИК майдонида ноактив, нур ютиши кузатилмайди ёки полоса ўта кам интенсив бўлади. Агар учбурчак тўғри бўлмаса ёки у пирамида кўринишида бўлса, ютиш полосаси пайдо бўлади.

3- тебраниш (11 мк макон)- С атоми тебраниши учбурчак юзасига перпендикуляр йўналиш бўйича бўлади, О атомлари учбурчак юзасининг баъзи бир бурчаклари бўйича қарамакшарши равишда содир бўлади.

Нур ютилиши ҳар қандай ҳолат (ясси учбурчак, томонлари ҳар хил учбурчак ёки пирамида) да содир бўлади.

4-тебраниш (13,5 мк макон)- иккита O⁻ атомлари бир-биридан узоклашади, учинчи O⁻ атоми бу вақтда учбұрчак юза-сіда аниқ траектория бүйлаб ҳаракат қиласы.

Агар CO₃²⁻ томонлари бир хил учбұрчак бұлса, битта нур ютиш полосаси бұлади, агар томонлари ҳар хил учбұрчак ёки пирамида бұлса, бунда тебраниш иккита мөс келмайдиган, қийматлари жиҳатидан эса бир-бирига яқын бұлади.

20-§. Таҳлил имкониятлари

Инфрақызил спектроскопик таҳлилдан қуидагиларни тек-ширишда фойдаланылади:

- а) кимёвий бирикмалар;
- б) минераллар;
- в) тупроқтар;
- г) қурилиш материаллари;
- д) керамик ҳом ашёлар ва бошқалар.

Текширишдан кузатилған мақсад:

1) Бирикма, минерални диагностика қилиш учун (сони, парчаланиши ва полосаларининг ҳолати бүйича).

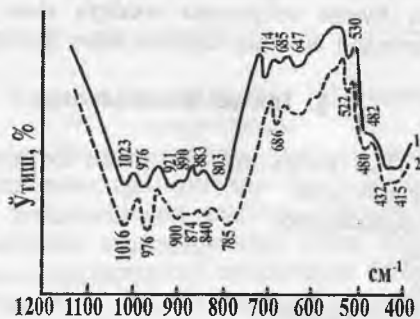
Бу ҳолатни расшифровка қилишнинг иккі моменти бор:
а) иккінчи минерал номағым, спектрлар бүйича биз уни геленитларга хослигини ва унинг Me₂²⁺ Me₂³⁺ Me⁴⁺O₇ күринишидаги формулага ега дейишимиз мүмкін; б) синтетик Sr₂Al₂SiO₇ оксидларидан синтез қилинған ва хоссалари бүйича у геленитга мөс келади (15-расм).

2) Ярим миқдорий кимёвий таркиби аниклаш учун: Масалан, айтайлик 4-чи намуна таркиби номағым, лекин 3-чи намуна таркибини билған ҳолда ёзамиз: Ca₁₆ TR₈ Al₈ Si₁₆ O₇₂ (16-расм).

3) Кристалл ёки аморф моддаларнинг кристалланиш дара-жасини аниклаш учун. 17-расмда 15-чи спектр LaMgAlSiO₆ моддасига тегишли бұлиб, унинг поликристалларидан иборат, 1-чи спектр CaMgSi₂O₆ га тааллуклы бұлиб, унинг шишақсимон ҳолатда эканлигини тасдиқлайды. Намуналар 1550°C ли ҳароратда 1 соат давомида синтез қилинған ва тез тобланған.

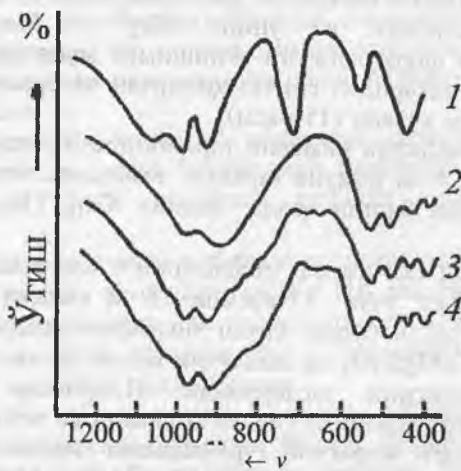
4) Моддадаги мураккаб гурухларнинг таҳлили (18 ва 19-расмлар), масалан, SiO₄, AlO₄, AlO₆, MgO₄, MgO₆ ва бошқа анионлар (нур ютиш полосаси ҳолати ва миқдори бүйича аникланади).

5) Моддаларнинг қиздириш ва бошқа турли реакцияларда ўзгариш жараёнини (янги модда пайдо бўлиши, фазалар арашмаси, оралиқ маҳсулотлар, диссоциация ва бошқалар) ўрганиш.

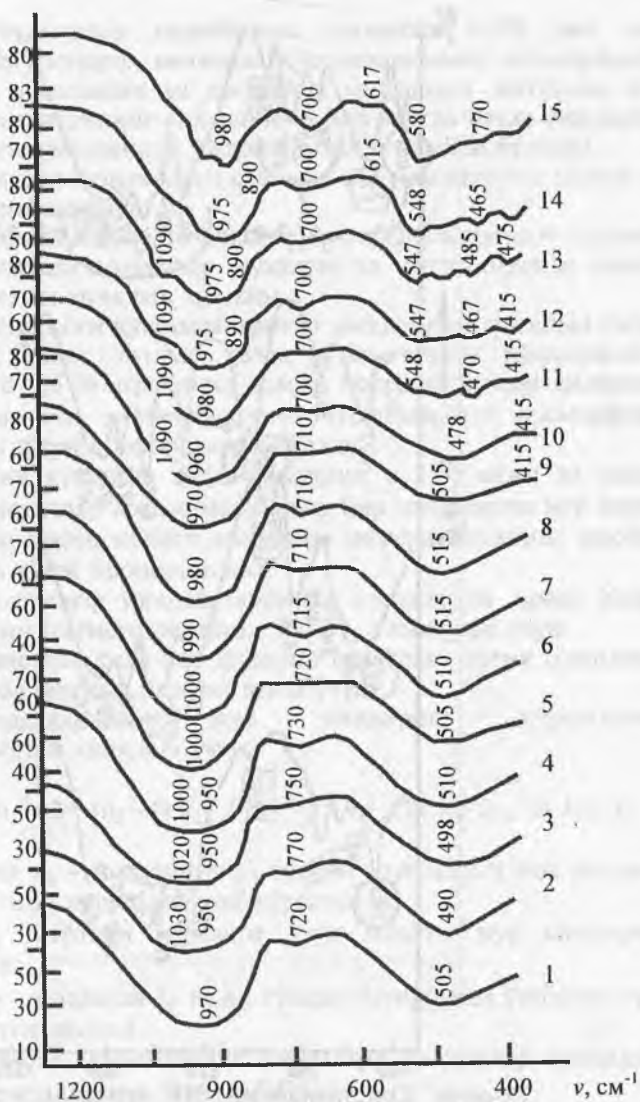


15-расм. Синтетик мелилитларнинг ИК нур ютиш спектрлари:

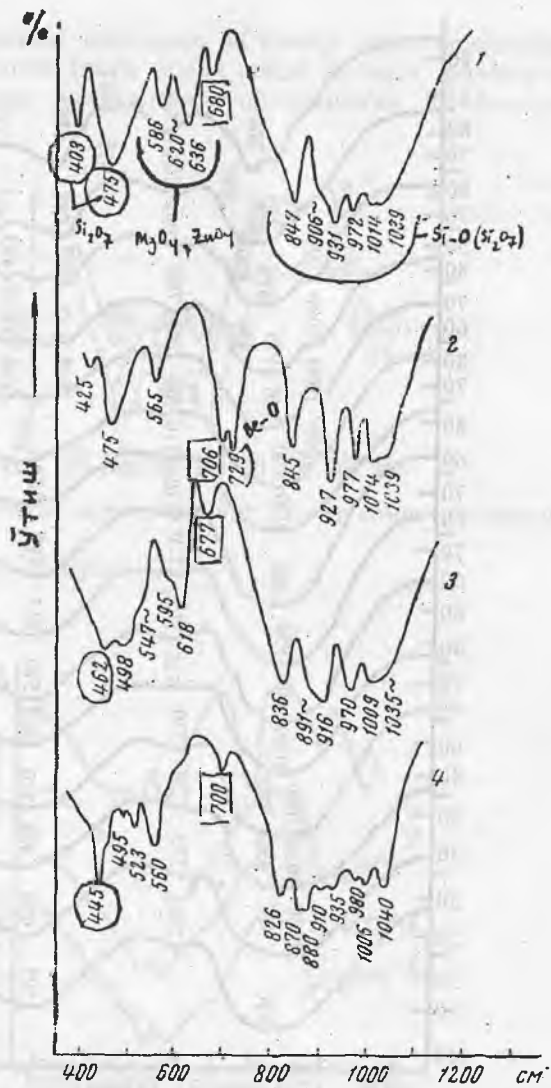
1- $\text{Ca}_2\text{SiAl}_2\text{O}_7$; 2- $\text{Sr}_2\text{SiAl}_2\text{O}_7$.



16-расм. Кристалларнинг ИК нур ютиш спектрлари:
1- CaSiO_3 ; 2- $\text{La}_{9.34}(\text{SiO}_4)_6\text{O}_2$; 3- $\text{Ca}_{16}\text{La}_8\text{Al}_8\text{Si}_{16}\text{O}_{72}$;
4- $\text{Ca}_{16}\text{Nd}_8\text{Al}_8\text{Si}_{16}\text{O}_{72}$.



17-расм. $\text{CaMgSi}_2\text{O}_6 - \text{LaMgAlSiO}_6$ тизимидағи синтез қилингандықтардың ИК нур ютиш спектрлари.



18-расм. Кристалларнинг ИК нур ютиши спектрлари:
 1-окерманит $\text{Ca}_2\text{MgSi}_2\text{O}_7$;
 2-бериллийли окерманит $\text{Ca}_2\text{BeSi}_2\text{O}_7$;
 3-рухли окерманит $\text{Ca}_2\text{ZnSi}_2\text{O}_7$;
 4-қўрғошинли окерманит $\text{Pb}_2\text{ZnSi}_2\text{O}_7$.

6) Күшимчалар таркибиини ўрганиш: 1-5% дан кам бўлмаганда изоморф, механик (күшимчаларнинг изоморфлиги ҳолатини араласиши ва дастлабки модданинг интенсив нур ютиш полосаларининг силжиши ва бир вақтда баъзи бир полосалар интенсивлигининг ўзгариши билан намоён бўлади).

7) Минерал тузилмадаги сувнинг ёки намликнинг шакли ва турини аниқлаш учун.

8) Тузилманинг тартибилилиги ва тартибсизлилиги (тартибсизлик ҳолатида полосалар чўзилган ва интенсивлиги пасай-ган бўлади) ни аниқлаш мумкин.

9) Фазалар ёки кўшимчаларнинг микдорини аниқлаш (жуда ҳам аниқ эмас). Бундай ҳолда кўшимчанинг изоморфлиги (аниқлик о 0,5 % атрофида) ҳолати полосаларининг силжиши одатда кирувчи элементларнинг (группанинг) изоморфлик микдорига тўғри пропорционал бўлади.

Механик кўшилма ҳолда (аниқлик о 1%) икки ва ундан ортиқ минераллар аралащмаси - хар бир минерални нур ютиш полосалари интенсивлиги аралашма минералларининг нисбий микдорига тўғри пропорционал.

10) Полиморф ўзгаришларни ва нуқталарни ҳамда Кюри нуқталарини (сегнетоэлектрик- BaTiO_3) аниқлаш учун.

11) Кристалл фаза ёки шишани (масалан, оптик шишалар) бир таркибилигини назорат этиш учун.

12) Моддаларнинг нур синдириш кўрсаткичи- (дисперсия)ни аниқлаш учун;

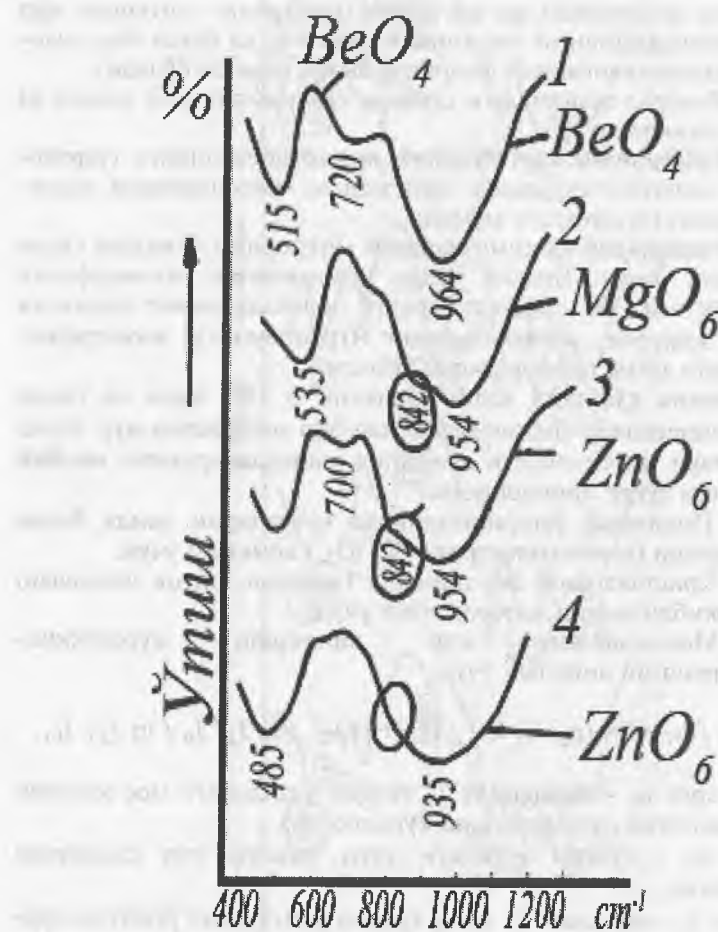
$$n_1^{2-1} / n_1^{2+2} = (n_2^{2-1}) \lambda_1^2 / (n_2^{2+2}) \lambda_2^2 / \ln J_1 / J_0 / \ln J_2 / J_0,$$

бу ерда n_1 - модданинг λ_1 тўлқин узунлигига мос келувчи қидирилаётган нур синдириш кўрсаткичи;

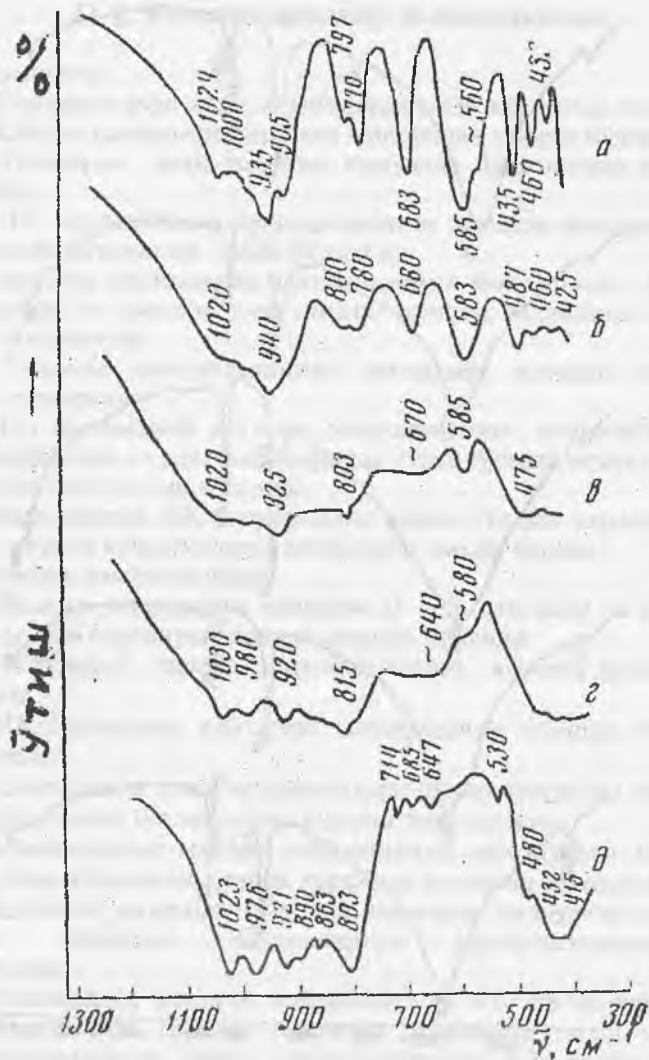
n_2 - λ_2 - тўлқин узунлиги учун маълум нур синдириш кўрсаткичи;

J_1 ва J_2 - моддадан λ_1 ва λ_2 тўлқин узунлигига ўтаётган нурланиш интенсивлиги.

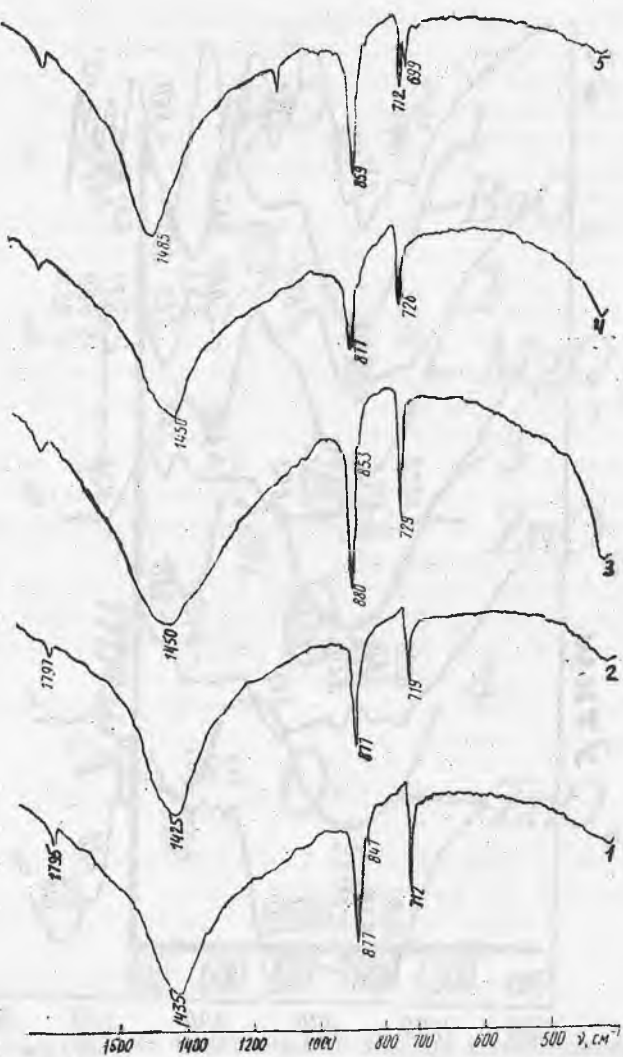
13) Ионлар, атомларнинг ўлчамлари ва ионлар орасидаги бурчакларни аниқлаш учун, $\% \text{SiOSi}$.



19-расм. Шишаларнинг ИК нур ютиши спектрлари:
 1-бериллийли окерманит;
 2-окерманит;
 3-гардистонит;
 4-қўрошинли гардистонит.



20-расм. ИК нур ютиш спектрлари: а) $\text{Y}_2\text{SiBe}_2\text{O}_7$; б) $\text{Ca}_{0,5}\text{Y}_{1,5}\text{SiAl}_{0,5}\text{Be}_{1,5}\text{O}_7$; в) CaYSiAlBeO_7 ; г) $\text{Ca}_{1,5}\text{Y}_{0,5}\text{SiAl}_{1,5}\text{Be}_{0,5}\text{O}_7$; д) $\text{CaSiAl}_2\text{O}_7$ (намуналар KBr аралашмаси билан пресс-лаб тайёргланган).



21-расм. Карбонатларнинг инфрақизил нур ютиш спектрлари: 1-кальцит, 2-кобальтли шпат, 3-доломит, 4-анкерит ва 5-арагонит.

21-§. Усулнинг афзаллиги ва камчиликлари

Афзаллиги:

1. Текширув учун жуда оз миқдорда (1-10 мг) модда олиш.
2. Қатлам қалинлиги бир неча микрондан иборат бўлиши.
3. Текширув учун олинган намунада йўқотишлар содир бўлмайди.
4. ИК нурланишдан текширилаётган модлада кимёвий ва физикавий ўзгаришлар содир бўлмайди.
5. Маълум группалардаги атомларнинг жойлашиши, фазавий ҳолати ва умуман жуда нозик тузилма таҳлилини олиб бориш имконияти.
6. Таҳриба натижаларининг автоматик равишда фотоқоғозга тушириш.

7. Тез парчаланиб кетувчи, ўзгарилишнинг кичиклигидан кристаллооптик ва рентгенографияда тутиб бўлмайдиган баъзи номаълум кристалларни топиш.

8. Моддаларни ИҚ спектрининг ҳамма тўлқин узунлигига нур синдириш кўрсаткичини аниқлашга имкон беради;

Усулнинг камчиликлари:

1. Жуда оз миқдордаги қўшимча (1-5 % дан кам) ва баъзи жуда ҳам кам групировкаларни намоён этмайди;
2. Микдорий анализ натижаларининг юқори даражада эмаслиги.
3. ИҚ нурларини қайтариш спектрларини олишни бироз қийинлиги.
4. Решетканинг ички тебранишлари билан анионлар тебраниши ўртасидаги боғлиқликни кўрсата била олиши.

5. Кристаллнинг майдон кучланишини ифодаловчи коэффициентлар тўпламини етарли даражада ишончли эмаслиги.

6. Қиймати жиҳатидан яқин ва изоморф ўзгарувчан атомларнинг тебраниш частоталарини иденификациясидаги қийинчилик.

7. Моддаларни механик майдалашда ва KVg билан таблеткалар пресслашда тузилма ўзгариши эҳтимолдан ҳоли эмас. Яна текширилаётган модда кристалларининг KVg билан аралашиб кетиши.

8. Кукуннинг баъзи қисмларида нурланишнинг ҳар хил ўтириши натижасида нур қайтариш ва ютилишида ноаниқ эфектларнинг пайдо бўлиши.

22-§. Инфрақизил спектроскопия усули аппаратлари

Инфрақизил макони, юқорида қайд этилганидек спектрнинг бир қисми бўлиб, унинг тўлқин узунлиги қизил рангли ёруғлик спектри (750 ммк) тўлқин узунлигидан катта. Инфрақизил спектрининг юқори чегараси тахминан 350 мк атрофида жойлашган. Буни тадқиқ қилиш учун спектрал усуллар, жумладан, иссиқлик чиқишини қайд этиш усуллари қўлланилиши даркор.

Бу усулда қўлланадиган жиҳозлар спектрометр ёки спектрофотометр деб аталади. Ушбу приборлар ёрдамида нурчиқиш интенсивлилиги ўлчанади ва улар детекторли қурилмага фокусировка қилинади. Диспергирлашган элементнинг турига қараб улар уч асосий синфларга ажралади: призмали, дифракционли ва комбинировкалашган призма-дифракционли. Приборлар тузилишида фарқлар бўлишига қарамасдан, уларнинг хаммаси автоколлимацион типга таъмулукли. Ўта перспективли, аммо кам тарқалган аппаратлар турига интерференциян спектрал жиҳозлар киради.

Микроскопик таҳлил орқали моддаларнинг фазовий таркиби ва тузилиши ҳақида маълумот олишимиз мумкин. Лекин бу усул орқали атомлар орасидаги кимёвий мулоқот, радикал ва группалар тузилишига оид натижаларни олиб бўлмаслиги ҳақида юқорида сўз юритган эдик.

Группа ёки радикалларга оид маълумотлар, катионларнинг анионлар билан берадиган валент тебранишларини аниқлашда инфрақизил спектроскопик таҳлил яхши натижа беради. Инфрақизил нурларни ютиш ва қайтариш спектрлари билан қаттиқ модда таркибидаги комплекс группалар ва радикаллар тузилиши орасида назарий боғлиқлик бор. Шу боғлиқлик текширилаётган модда билан этalon инфрақизил спектрларини солишишириш ва бошқа усуллар орқали амалга ошади.

Агар ИК спектрларини ўрганиш нур қайтариш спектрларидан бошланган бўлса, 1933 йилларда Пфунд ва Барнес ишларидан кейин кристалл моддаларнинг нур ютишини кукунларнинг юпқа қаватларини қўллаб ИК спектрларини олиш бошланган. Бу янгилик ўрганилаётган моддаларни монокристалл ва тупроқли силикатлар ҳисобига кўпайтириш имконини берди.

Аморф модда ва шиша тузилма ИК спектрларида текшириш Флоринская номи билан (Ленинград, Вавилов номли Давлат оптика институти) ҳамда юқори ҳароратли ИК спектро-

скопияни ривожланиши А.М. Шевяков (Ленсовет номли технология институти, Ленинград) номи билан бөғлиқ. ИК спектроскопияни амалий ривожланишига Россиялик олимлардан яна Г.Б.Бокий, А.А. Лебедев, А.Г. Власов, В.А. Колесова, И.И. Плюснина каби фан намоёндалари ҳам катта ҳисса қўшишган.

Номлари юқорида қайд этилган чет эл олимлари инфрақизил спектроскопия усулининг амалий асосларини ишлаб чиқишга ҳам катта ҳисса қўшган. Янги силикат ва зўргасуюлувчан материалларни бу усул билан тадқиқот қилишда Ўзбекистонлик олимлар - Н.А.Сирожиддинов, Б.И.Нудельман, Т.А.Отақўзиев, С.С. Қосимова, А.А.Исматов ва бошқаларнинг ҳам хизматлари жуда катта.

Текшириш учун ускуналар. ИК нурларини ўтказиш, нур қайтарилиши ва нур ютиши спектрлари $0,76$ 25 мк тўлқинлари оралиғида маҳсус ИК спектрофотометрларда олинади.

Ҳозирги кунда ИКС-12 (бир каналли, бир нурли), ИКС-14 ва ИКС-21 (икки каналли) жиҳозлари мавжуд.

Чет эл жиҳозларидан: UR лар, айниқса, UR-20 (Германия) моделига оид Бекман спектрометрлари қўлланилади. Бу аппаратларининг ютуғи: 1) ёпиқ система; 2) частоталарни тез беради.

Мавжуд жиҳозларнинг ҳаммаси маълум текшириш диапазонига, кўпинча 1-2 мк ($10000-5000 \text{ см}^{-1}$) дан 25-40 мк ($400-250 \text{ см}^{-1}$) гача ва 50 мк дан 300 мк ва ундан каттароқ (200 см^{-1} ундан кичик)ларда ишлашга мослаштирилган.

Турли фирмаларнинг жиҳозлари бир-биридан ИК спектрларини аниқ тарзда бериши, ишининг стабиллиги, спектр олишдаги автоматик жараёнлари билан фарқ қиласди. Турли жиҳозларда олинган ИК спектрларни фақат фотометр таркиби бир хил бўлса ёки жиҳозий хатолар таъсири хисобга олинган бўлсагина таққослаш мумкин.

23-§. ИК спектрометрларининг соддалаштирилган схемаси

Кўйида ИКС-14 инфрақизил спектрометрининг соддалаштирилган схемаси келтирилган (22-расм).

ИКС-14 типидаги икки нурли спектрофотометрнинг конструкцияси кўйидаги асосий қисмлардан ташкил топган:

1) ИК нурланиш манбаи (076) 1000 мк ли тўлқин узунлигидаги нурлар). Манбадаги Глобар стержени ёки Нернст штифти

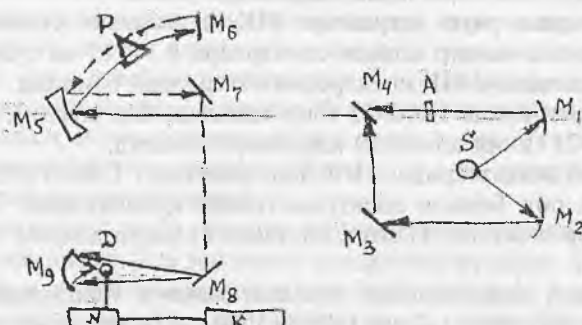
орқали нур ҳосил қилинади ва у фокусловчи кўзгу орқали узатилади.

2) Монохроматор. У бир қанча кўзгулардан иборат. Улардан муҳими Литровнинг айланма кўзгусидир.

3) Нур энергиясини қабул қилувчи мослама, яъни иссиқликни сезувчан элемент, термопаралар ёки балометрлар.

4) Қабул қилувчидан келаётган электрик сигнални кучайтиргич.

5) Ёруғлик частотасига боғлиқ ҳолда (абсцисса) ўтказувчаник қийматини (ордината) қогозга ёзиб олувчи мослама.



22-расм. ИК-спектрометрининг соддалаштирилган схемаси:

S-нурланиш манбаи; M_1 , M_2 , M_3 , M_7 , M_8 – қайтарувчи кўзгу; M_4 – секторли айланма кўзгуси; M_5 – коллиматор кўзгу; M_6 – Литров кўзгуси; M_9 – конденсатор; P – призма; D – нур энергиясини қабул қилувчи мослама; N – кучайтиргич; K – ёзиб олувчи мослама; A – намуна.

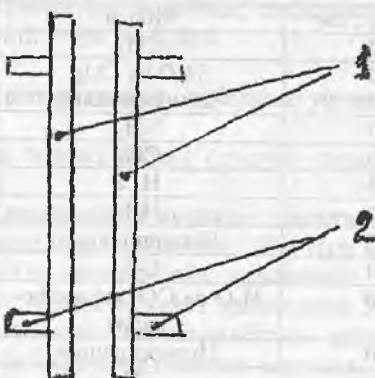
Кўйида биз юқорида номи қайд этилган деталларнинг баъзи бирлари устида батафсилроқ тўхтаймиз.

I. ИК нурланиш манбаи. Уни генератор деб аташимиз мумкин. Авваллари лампочкалардан, ҳозир эса карборунд SiC дан (сони 2 та) қилинади. Улар 1500 μC да тўла нурланишни беради. Ток қуввати амперларда оператор томонидан берилади.

II. Спектрометр призмаси. Одатда призма кўрининшида қўлланилади: шиша $\Phi-1 = 2,8 \text{ мк гача}$; кварц $\text{SiO}_2 = 3,5 \text{ мк гача}$; $\text{CaF}_2 = 2,4-7,7 \text{ мк гача}$; ош тузи $\text{NaCl} = 2-15,4 \text{ мк гача}$;

$KBr = 9-26$ мк гача; $CsI = 10-50$ мк гача. Улар ИК нурланиш учун күрсатылған интервалда шаффоидир.

III. Нур энергиясини қабул қылувчилар. Балометр (грекча нурланишиң үлчовчи) Лангле томонида 1881 йилда амалиётта киритилған. Үнда ютилған нурланиш металл симни қиздиради ва ҳосил бўлган қаршиликлар ўзгариши регистрация қилинади.



23-расм. Микрокюветнинг тузилиши:

1. Металл рамалари (намуна уларнинг орасига кўйилади);
2. Пластмассали қисқич.

Термоэлемент (Рубенс, 1898 й.) - нурланишдан ҳосил бўлган иссиклиқ туфайли термо э.д.с. регистрация қилади.

Фотоқаршилик - фотоэлектрик. Бу ерда атомнинг нур ютуши туфайли ундан валент электронлари ажралади, улар нур ўтказишда иштирок этувчи электронлар миқдорини оширади. Масалан, совимайдиган ФМ, БКМ, ФТ, ГОИ ва бошқа типдаги қабул қылувчилар.

Призмали инфрақизил спектрометрларни частота ва тўлқин узунлиги бўйича градуировка қилиш ўта муҳим масала. У бир қанча усуllар орқали амалга оширилиши мумкин. Энг қулайи спектрометрни дифракцион спектрометр орқали аниқланган этalon спектрлар ёрдамида текшириш.

Текширишда ишлатиладиган биринчи гуруҳга оид моддалар қаторига 2600 cm^{-1} областида қўлланиладиган симоб ҳамда хлорид кислотаси ва 2000 cm^{-1} маконда қўлланиладиган CO_2 кира-ди. Иккинчи гуруҳда натрий хлоридидан ясалган призмаларни

2000-660 см⁻¹ оралиғида градуировка қилиш учун сув бүг, аммиак ва CO₂ лардан фойдаланылади.

Инфрақызил спектрометрларининг турли призмаларини градуировка қилишда құлланиладиган моддалар, спектрнинг тегишли маконлари ва призма материаллари қуйида көлтирилген (10-жадвал):

10-жадвал

Спектр макони , см ⁻¹	Модда	Призма материали
4500-4120	CH ₄	шиша, LiF
3900-3560	H ₂ O ва CO ₂ (атмосферали)	шиша, LiF
3510-3170	NH ₃	LiF ва CaF ₂
3170-2880	CH ₄	LiF ва CaF ₂
3060-2725	HCl	LiF ва CaF ₂
2675-2410	HBr	LiF ва CaF ₂
2400-2220	Интерполяция	LiF ва CaF ₂
2220-2040	CO ₂	LiF ва CaF ₂
1990-1360	H ₂ O ва CO ₂ (атмосферали)	LiF ва CaF ₂
1385-1250	Интерполяция	NaCl
1360-1250	CH ₄	CaF ₂
1230-720	NH ₃	NaCl
740-420	CH ₃ OH	NaCl, KBr
720-650	CO ₂ (атмосферали)	KBr
720-280	H ₂ O ва CO ₂ (атмосферали)	KBr, CsJ

Номлари юқори көлтирилген моддаларнинг спектрларини ёзіб олиш орқали градуировкали график координатлари курилади. Икки каналли спектрометрлар учун график чизи-лади, ИР-10 аппарати учун эса тегишли тузатиш киритилади.

ИКС-14 прибори икки канал усули бүйича ишлайди ва нур ұтказиш катталигини фоиз ҳисобида ёзіб беради.

ИКС-12 прибори бир канал усули бүйича ишлайди, шуннинг учун бу ерда икки карра иш бажарилади, яъни намуна спектри алоҳида ва манба спектри намунасиз ҳолатида олинади. Кейин улар бир-бири билан таққосланади.

ИКС аппаратларини текшириш этalon бүйича - полисти-рал ёрдамида аниқланади, бунда приёмник барабанидаги айла-нишлар сони 0 дан 20 гача ва уларга мос келувчи частота (түгри чизиқли боғлиқлық) киритилади.

Аппарат мосламалари. ИК спектрометрлар мосламаларига қыйидагилар киради:

1. Термостат кюветлар - юқори ва паст ҳароратлар учун улар ИК спектрофотометрнинг манбаидан микрообъектга келәйтган ёруғликни фокусировка қилиб беради.
2. Катта босим учун кюветлар.
3. Моддага электромагнит майдони, деформация ва бошқа таъсирларни текшириш учун мослама.

24-§. Препаратларни тайёрлаш усули

Монокристалл ва поликристалл (кукун) лардан намуналар турлича тайёрланади.

1. Монокристалл моддасидан кесилгандыкка шаклидаги препарат. Ясси, параллел силлиқланган, ИК нур ютиш спектрлари учун мүлжалланган намунанинг қалинлиги 2 мм дан то бир неча микронгача, күпинчә қават қалинлиги 20-30 мк гача бўлади. Пластиинка ўлчами ишлатилаётган жиҳозга боғлиқ бўлиб, 35x10 мм дан 5x5 мм гача бўлиши мумкин.

Жуда кичик ўлчамларда эса маҳсус микрокювет мосламаси зарур бўлади (23-расм).

Селен кўзгусиниг нур қайтаришдан олинган ИК нурланиш икки ўзаро перпендикуляр йўналиш бўйича монокристалл орқали ўтказилади. Бу нур қайтариш эгриликлари бўйича гурух атомларининг фазовий жойлашгани ҳақида билиш мумкин. Агар поляризован нур юзасида дипол ётган бўлса, нур ютилиш катта бўлади. Шундай қилиб у ёки бу функционал группаларнинг мавжудлиги аниқланади.

2. Кукундан тайёрланадиган препаратлар. Тайёрлашнинг икки усули мавжуд: Биринчи усул - 1cm^2 юзада 0,1-2 мг миқдорда NaCl , KCl , KBg каби ИК маконларида шаффофф бўлган подложкага намуна кукуни қотирилади ёки чўкмага тушурилади. Масалан, хаволи муҳитда қуйиш: 2-3 г материал агат ҳавончаларда яхшилаб туйилади, сўнгра пробиркага сепиш учун солинади. Йирик заррачалар цилиндр тагига чўкгач, тузли дискка жойлаштирилади ва сепилади. Бунда юза бир хил қаватли пуралар билан қопланиб қолади.

Плёнка қалинлигини қыйидагича топилади:

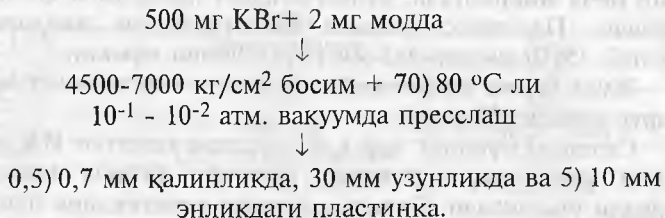
$$t = \frac{m}{a\rho} (\text{cm}),$$

бу ерда, m - кукуннинг массаси, г;
 a - дискнинг юзаси, cm^2 ;
 ρ - модданинг зичлиги, g/cm^3 .

Иккинчи усул - суюқ ёки қаттиқ кукун аралашмасини мос келувчи тұлдирувчилар иштирокида тайёрлаш. Бу усул ҳам үз навбатида иккى йүл билан амалга оширилади:

а) изопропил спирти иштирокида идиш тагига кукунни үтқазиши, сұнгра қуруқ кукунли плёнка ҳосил бўлгунча буглатиши йўли билан қуритиш. Одатда, 2 г кукунга 100 мл спирт қўшилади. Жараён охирида ҳосил бўлган плёнка қалинлиги 0,2-0,3 mg/cm^2 бўлади.

к) намунани вазелин ёки ишқор-галлоид бирикмалар (KCl , NaCl , KBr) билан аралаштириш. Кукун ҳолатида пластинкалар диск кўринишида ёки тўғри бурчак шаклида прессланаб олиниади. Кўпинча аралашмада 0,1; 0,33; 1 ёки 3%-текширилаётган модда бўлади. Бу усулда намуна тайёрлаш тизими қўйидагича бўлади:



Хўл ҳолатида намуна тайёрлаш учун кюветадан фойдаланилади:

Нурланиш манбаидан келаётган радиация текширилаётган намунадан ўтади (намуна мастаҳкамланган, ундан нур қисман қайтади ва унда қисман ютилади) ва монохроматор (Литров кўзгуси) га тушади, кейин орқага термоэлемент майдонига қайтади. ИК нурларининг иссиқлиги натижасида термоэлементда э.д.с. ҳосил бўлади. У кучайтиргичда кучайтирилган ва махсус ёзув қурилмаси ёрдамида спектр ҳолатига келтирилади ва ёзилади.

25-§. ИК спектрларни ёзиб олиш

Амалиётда иккى турли спектрларни ёзиб олиш ва расшифровка қилиш кенг тарқалган (11 ва 12- жадваллар, 24- ва 25-расмлар). Улардан бири ИК нур ўтиш ва нур ютиш спектри

бұлса, иккінчісі ИК нур қайтиш спектридір. Иккі түрли спектрларни жамлаш ва таққослаш орқали уларда фоиз миқдори аниқланады.

1. Қанча фоиз нур үтади ва ютилади;
2. Қанча фоиз нур қайтади.

В.А. Флоринская маълумотлари бўйича, 50 фоиз $\text{Na}_2\text{O} + 50\%$ SiO_2 дан ташкил топган ва 620°C да кристалланган шишада:

- 1) 13,2 мк да
үтказади - 70 %,
қайтаради - 7 %,
ютилади ~ 23%.
- 2) 11,2 мк да
үтказади - 55%,
қайтаради - 25%,
ютилади ~ 20%.
- 3) 10,2 мк да
үтказади - 33 %,
қайтаради - 42 %.

Кремнеземнинг ИК спектрларидаги полоса экстремумларининг ҳолати

11-жадвал

Текширилаёт- ган намуна	Тўлқин узунлиги, мк
Қайтиш спектрлари	
Кварц, ўққа \perp	8,50; 8,95; 12,54; 14,54; 18,2; 20,7-20,8
Кварц, ўққа \parallel	12,55; 12,85; 14,5; 18,9-19,00; 20,1
Кристобалит	8,30; 9,10; 12,60; 16,15-16,20; 19,8-19,9

Гереус фирмасининг кварц шиши	8,95; 12,7-12,9; 20,9-21,0
Ўтиш спектрлари	
α -Кварц	8,63; 9,15; 12,55; 12,85; 14,40-14,45; 19,2 -19,3; 21,4-21,6
α -Кристобалит	8,35; 9,12; 12,60; 16,10; 20,3
α -Тридимит	9,05; 12,70; 17,6; 20,8-21,0
Гереус фирмасининг кварц шиши	9,05-9,15; 12,50; 21,3

**Поликристалл ва рангли кремнеземнинг ИК спектрларидағи
полоса экстремумларининг ҳолати**

12-жадвал

Текширилаётган намуна	Түлкін узунлиги, мк
Қайтиш спектрлари	
Яшма	8,50; 8,77; 9,12; 9,60; 12,55; 12,85; 14,5; 15,55; 17,0; 19,0; 21,0-21,4
Тридимит	8,65-8,70; 8,95; 12,70-12,75; 18,5-18,6; 20,5-20,6
Опал	8,25; 9,05; 12,62; 16,15-16,20; 19,7
Үтиш спектрлари	
Яшма	8,65; 9,1; 12,55; 12,85; 13,1; 13,25; 13,45; 13,8; 14,40-14,45; 15,1; 15,45; 16,45; 16,8-17,0; 19,3; 21,4-21,7
Қора кристалл кварц	8,65; 9,2; 12,55; 12,85; 14,45; 19,3; 21,4-21,7
Опал	9,05; 12,62; 20,8-21,1

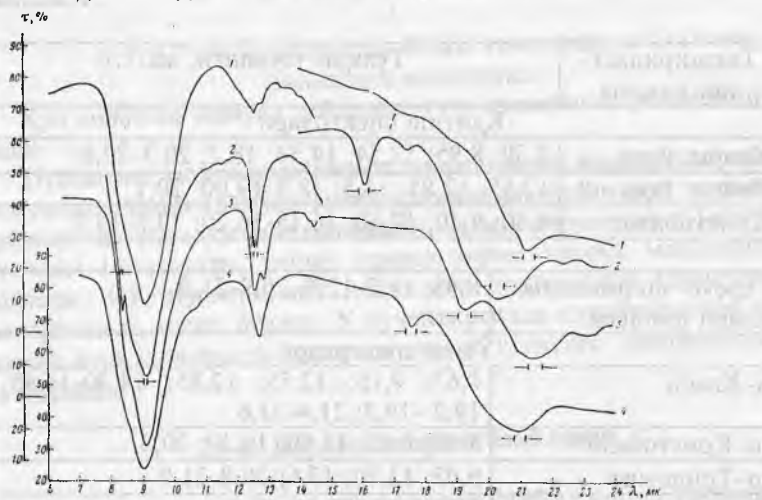
ютилади ~ 25%.

4) 7,8 мк да

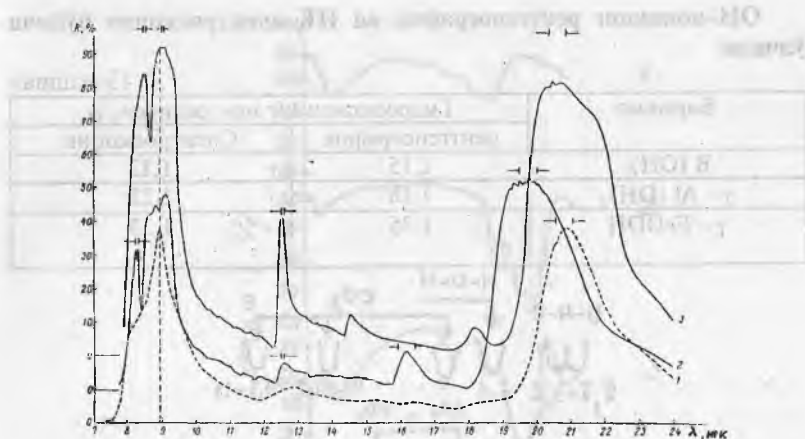
үтказади - 70 %,

қайтаради - 0 % ,

ютилади ~ 30%.



24-расм. ИК нурларини үтказиш (үтиш) спектрлари: 1 – кварц шиша (кукун қавати); 2 - α -кристобалит; 3 - α -кварц; 4 - α -тридимит.



25-расм. ИК нурларини қайтариш спектрлари: 1-кварц шиша; 2 - α -кристобалит; 3 - α -кварц (оптик ўқига перпендикуляр кесилган).

26-§. Мұхим фазаларнинг ИК спектрлари

Силикат структурали моддаларда ИК спектри атом, молекула ва гурухларнинг координациясига ўта боғлиқ бұлади. Буни күйидеги гурухлар, улар берадиган полосалар ва полосаларнинг экстремумлари мисолида қўришимиз мумкин.

I. Кремний-Si асосидаги группалар учун:

- 1) SiO_4 - тарқоқ тетраэдрлари учун - 10) 12,5 мк;
- 2) SiO_3 - занжирли боғланғанлар учун - 9) 11,5 мк;
- 3) Si_6O_{18} - ҳалқасимон группалар учун -8,5) 11 мк;
- 4) SiO_2 - лентали группалар учун - 9,5) 10,5 мк;
- 5) SiO_2 - қатлами учун - 9) 10,5 мк;
- 6) SiO_2 -тетраэдрлар сеткаси учун - 9,6) 10 мк.

II. Алюминий - Al асосидаги группалар учун:

- 1) AlO_6 - октаэдри полосалари - 16-20 мк;
- 2) AlO_4 - тетраэдрлари полосалари - 11-13 мк.

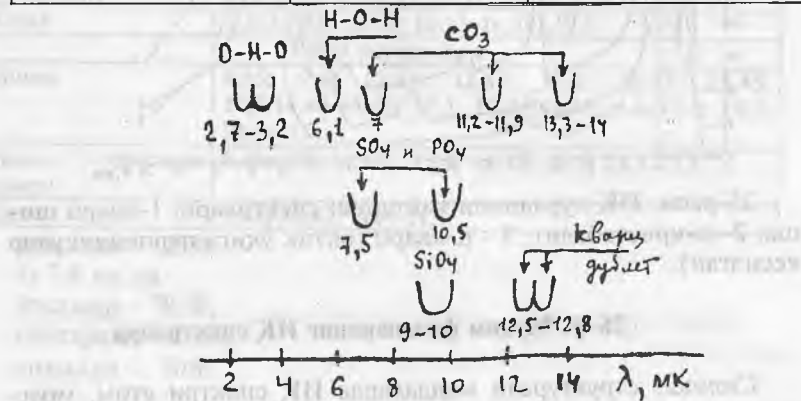
Шундай қилиб, амалий жиҳатдан олинған спектрларни маълум модданинг одатий полосаларига таққослаш бүйича тадқиқ қилинади. Полосаларнинг ҳолати атом гурухлари, ионлари ва гурухларидеги боғланишларга боғлиқ ҳолда ўзгаради.

ИК спектрлари ёрдамыда ион ва ионли гурухларнинг параметрларини ҳам аниқлаш мумкин (13-жадвал).

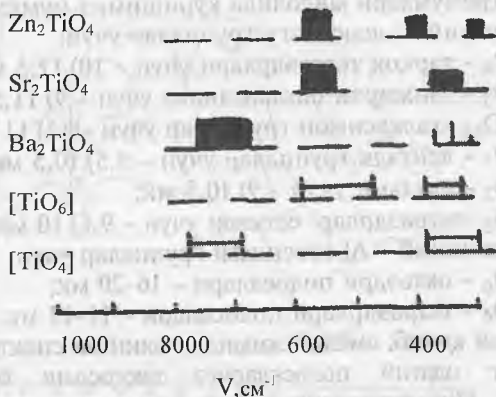
ОН-ионининг рентгенография ва ИК спектроскопия бўйича ўлчами

13-жадвал

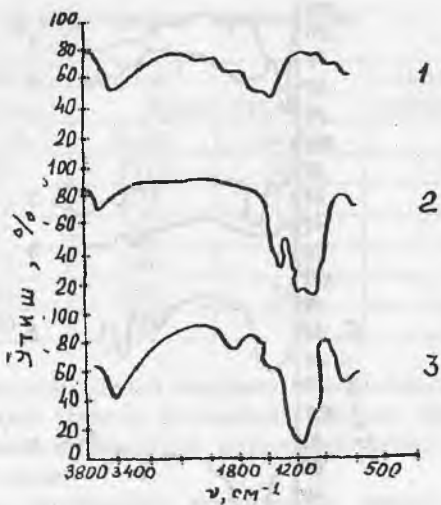
Бирикма	Гидрооксиднинг ион радиуси, А	
	рентгенографик	Спектроскопик
B (OH) ₃	1,15	1,12
γ - Al (OH) ₃	1,16	1,22
γ - FeOOH	1,35	1,33



26-расм. Баъзи бир группаларга хос ИК-полосалари.

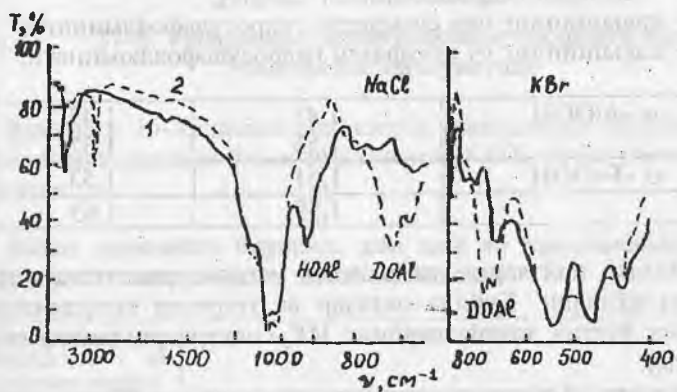


27-расм. Ортотитанатлар ИК спектрлари (Zn - ва Sr ли бирикмаларда - титан октаэдрик координацияда) ва (Ba-ли бирикмада титан тетраэдрик координацияда).

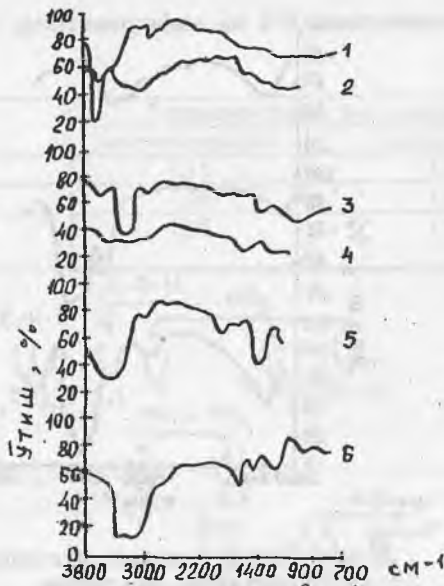


28-расм. Кальций гидросиликатининг ИК нур ютиш спектрлари.

1) гидролит; 2)ксонотлит; 3)тоберморит.



29-расм. I – Каолинит (1) ва дейтерокаолинит (2) нинг ИК спектрлари. II – Гидроксилнинг деформацияли тебраниш полосалари.



30-расм. Кальций гидроалюминати ва гидросульфоалюминатларининг ИК нурларини ютиш спектрлари:

1-2 – кальций гидроалюминати C_3AH ;

3-4 – кальций гидроалюминати $C_4A_3H_3$;

5 – кальцийнинг бир сульфатли гидросульфоалюминати;

6 – кальцийнинг уч сульфатли гидросульфоалюминати.

$\alpha - AlOOH$	1,45 1,55	1,47 1,57
$\alpha - FeOOH$	1,51 1,59	1,53 1,63

Кейинги пайтларда титанатлар устида ҳам тадқиқотлар ўтказиш кўпайди. Кўйида октаэдр ва тетраэдр координацияларга эга бўлган титанатларнинг ИК спектрлари келтирилади (27-расм).

Кўйидаги 14-жадвалда пирогурухлар учун хос бўлган маълумотлар келтирилган.

Пиросиликат ва пирогерманат частоталари

14-жадвал

Частоталар, см ⁻¹				Симметрияниң тебраниш типи
Экспериментал	Хисоб бүйича	Si ₂ O ₇	Ge ₂ O ₇	
Si ₂ O ₇	Ge ₂ O ₇	Si ₂ O ₇	Ge ₂ O ₇	
1015	905	1010	900	A _{2u}
915	745	925	740	E _u
770	715	760	710	A _{2u}
570	475	540	480	E _u
480	395	420	360	A _{2u}
425	320	380	320	E _u

Боғловчи моддалар ишлаб чиқариш технологиясида кальций силикатлари муҳим ўринни эгаллайди. Шунинг учун кальций гидросиликатининг инфрақизил нурларини ютиш спектрлари келтирилади (28-расм).

Керамика ва оловбардош маҳсулотлар ишлаб чиқаришда тупроқлар, шу жумладан, каолинит ва каолинитсимон моддалар кўплаб ишлатилади. Юқоридаги 29-расмда уларга оид ИК спектрлар келтирилган.

Охирги мисол сифатида 30-расмда кальцийнинг гидроалюминатлар ва гидросульфоалюминатларига оид ИК нурларини ютиш спектрлари берилади.

27-§. Инфрақизил спектроскопик таҳлилига оид диагностик маълумотлар

Кўйидаги 15-жадвалда диагностик мақсадларда фойдаланиш учун хизмат қўлувчи баъзи моддаларнинг ИК-ютиш полосалари келтирилган.

Баъзи кремнийли биримма, хом ашё ва аралашмаларга оид инфрақизил спектрлардаги ютиш полосалари

15 - жадвал

Модданинг номи, формуласи ва маълумот манбай		Ютиш области					
	θ, см ⁻¹	I	θ, см ⁻¹	I	θ, см ⁻¹	I	
Аморф кварц – SiO ₂ [18]	468	Ки.	700	Кз.	804	У.	Ж.ки.

α - Кварц — SiO_2 [18]	468 523 -	Ки. Ў. -	695 784 -	Ў. Ки. -	794 1095 1168	Ки. Ж.ки. Ки.
Тридимит — SiO_2 [18]	420 478 568	Кз. Ки. Кз.	620 695 798	Кз. Кз. Ў.	830 940 1105	Кз. Кз. Ж.ки.
Кристобалит — SiO_2 [18]	417 495	Кз. Ки.	620 755	Ў. Ў.	1105 1200	Ж.ки. Ки.
Коззит — SiO_2 [18]	435 468 561 600	Ки. Кз. Ў. Ў.	683 794 804 1036	Ў. Кз. Кз. Ки.	1077 1158 1218 -	Ж.ки. Ки. Ки. -
Стишовит — SiO_2 [18]	560 628	Ки. Ки.	672 730	Ки. Ки.	885 949	Кз. Ки.
Силлиманит — α - $\text{Al}_2\text{O}_3\cdot\text{SiO}_2$ [16]	1200 1180 960 913 888 820 -	Ки. Ки. Ки. Ки. Ки. Ки. -	751 692 635 581 543 534 -	Ў. Ки. Ў. Ки. Ў. Ў. -	508 491 440 374 346 335 322	Ки. Ў. Ки. Кз. Кз. Кз. Кз.
Муллит — $3\text{Al}_2\text{O}_3\cdot 2\text{SiO}_2$ [16]	1178 1145 915 845	Ки. Кз. Ки. Ки.	750 620 585 550	Ў. Ж.кз. Кз. Ж.кз.	510 435 - -	Ж.кз. Ж.кз. - -
Эгирин — Акмит $\text{Na}_2\text{O}\cdot\text{FeO}\cdot 2\text{SiO}_2$ [16]	467 507 545 560	Ки. Ки. Ки. Ки.	639 725 864 897	Ў. Кз. Ки. Ки.	950 1004 1059 -	Ж.кз. Ж.кз. Ж.кз. -
Геденбергит — $\text{CaO}\cdot\text{FeO}\cdot 2\text{SiO}_2$ [16]	466 492 518 624	Ж.кз. Ж.кз. Ж.кз. Ў.	663 860 912 -	Ў. Ж.кз. Ж.кз. -	959 1056 1089 -	Ж.кз. Ж.кз. Ж.кз. -
Диопсид — $\text{CaO}\cdot\text{MgO}\cdot 2\text{SiO}_2$ [34]	435 485 515 635	Ж.кз. Ки. Ки. Ў.	675 790 870 920	Ў. Ж.кз. Ки. Ки.	970 985 1080 1100	Ки. Ки. Ж.ки. Ў.
Диопсид — $\text{CaO}\cdot\text{FeO}\cdot 2\text{SiO}_2$ — таркибли ши- ша [34]	505 -	Ки. -	780 -	Кз. -	950 1020	Ж.ки. Ж.ки.
Геленит — $2\text{CaO}\cdot\text{Al}_2\text{O}_3\cdot\text{SiO}_2$ [29]	415 450 482 530 -	Ки. Ки. Ў. Кз. -	647 675 714 803 -	Кз. Кз. Кз. Ки. -	850 875 921 976 1023	Ки. Ки. Ки. Ки. Ки.
Стронциевый геленит — $2\text{SrO}\cdot\text{Al}_2\text{O}_3\cdot\text{SiO}_2$ [29]	415 480 522 625	Ки. Ў. Кз. Кз.	686 785 840 880	Кз. Ки. Ки. Ки.	900 976 1016 -	Ки. Ки. Ки. -

β -Волластонит – $\text{CaO}\cdot\text{SiO}_2$ [16]	1087 1056 1019 964	Ж.ки. Ж.кз. Ж.кз. Ж.кз.	925 904 650 642	Ж.кз. Ж.кз. Ӧ. Ӧ.	566 508 471 452	Ӧ. Ӧ. Кз. Ж.кз.
Бустамит – $\text{CaO}\cdot\text{MnO}\cdot 2\text{SiO}_2$ [16]	1086 1062 979 951 911	Ки. Ж.кз. Ж.кз. Ж.кз. Ж.кз.	872 850 803 660 619	Ж.кз. Ӧ. Ӧ. Ӧ. Ӧ.	560 525 510 465 450	Ӧ. Ӧ. Кз. Ж.кз. Ж.кз.
Родонит – $\text{CaO}\cdot 4\text{MnO}\cdot 5\text{SiO}_2$ [16]	1080 1063 1023 998 951 916	Ки. Ж.кз. Ж.кз. Ки. Ж.кз. Ж.кз.	900 720 690 661 638 577	Ж.кз. Ӧ. Кз. Ӧ. Ӧ. Ӧ.	559 532 514 492 458 -	Ӧ. Ӧ. Ӧ. Ж.кз. Ж.кз. -
Тремолит – $2\text{CaO}\cdot 5\text{MgO}\cdot 8\text{SiO}_2\cdot \text{H}_2\text{O}$ [16]	1107 1074 1048 1020 998 952	Ж.кз. Ки. Ки. Ки. Ж.кз. Ж.кз.	920 758 730 687 662 645	Ж.кз. Ӧ. Кз. Ӧ. Кз. Ки.	530 510 466 451 -	Ж.кз. Ж.кз. Ж.кз. Ж.кз. -
Активолит – $2\text{CaO}\cdot 5(\text{Mg}, \text{Fe})\text{O}\cdot 8\text{SiO}_2\cdot \text{H}_2\text{O}$ [16]	1094 1052 1037 1012 985 948	Ж.кз. Ки. Ки. Ки. Ж.кз. Ж.кз.	914 755 727 682 658 -	Ж.кз. Ӧ. Кз. Ӧ. Кз. -	646 540 507 466 453 -	Кз. Ки. Ж.кз. Ж.кз. Ж.кз. -
Антофиллит – $7(\text{Mg}, \text{Fe})\text{O}\cdot 8\text{SiO}_2\cdot \text{H}_2\text{O}$ [16]	1097 1059 1047 1016 976 917	Ж.кз. Ки. Ки. Ж.кз. Ж.кз. Ки.	903 781 756 755 710 688	Ки. Ӧ. Кз. Ж.кз. Ӧ. Ӧ.	662 553 532 494 448 -	Ӧ. Ки. Ки. Ж.кз. Ж.кз. -
Тальк – $3\text{MgO}\cdot 4\text{SiO}_2\cdot \text{H}_2\text{O}$ [16]	4330 4200 3670 1919 1866 1818 1770	Ж.кз. Ж.кз. Кз. Ж.кз. Ж.кз. Ж.кз. Ж.кз.	1706 1045 1018 783 690 670 -	Ж.кз. Ж.кз. Ж.кз. Ж.кз. Ӧ. Ки. -	539 500 467 452 447 426 -	Ӧ. Кз. Ж.ки. Ж.ки. Ж.кз. Ӧ. -
Сапонит – $\text{Mg}_3(\text{Al}_{0.33}, \text{Si}_{3.66})\cdot \text{O}_{10}\cdot (\text{OH})_2\cdot \text{Na}_{0.33}\text{H}_2\text{O}$ [16]	4330 3697 3670 1056 1005	Ж.кз. Кз. Кз. Ж.кз. Ж.ки.	809 783 737 692 655	Ж.ки. Кз. Кз. Ӧ. Ӧ.	534 490 464 450 420	Ӧ. Кз. Ж.ки. Ж.ки. Ӧ.
Гекторит – $(\text{Mg}, \text{Li})_3(\text{Al}_{0.33}, \text{Si}_{3.66})\text{O}_{10}\cdot (\text{OH})_2\cdot \text{Na}_{0.33}\text{H}_2\text{O}$ [16]	4330 3600 3610 1073	Ж.кз. Кз. Кз. Ж.ки.	1011 795 696 -	Ж.ки. Ж.ки. Ӧ. -	655 533 465 -	Ӧ. Ӧ. Ж.ки. -

Окерманит – 2CaO·MgO·2SiO ₂ [29]	380 460 560 600	Кз. Ў. Кз. Ў.	675 830 880 -	Кз. Ки. Ки. -	920 950 1000 -	Ки. Ки. Ки. -
Бериллийли окерманит – 2CaO·BeO·2SiO ₂ [29]	390 460 550	Кз. Ў. Кз.	675 840 900	Ў. Ки. Ки.	950 975 1000	Ки. Ки. Ки.
Гардистонит - 2CaO·ZnO·2SiO ₂ [29]	430 475 560 600	Ў. Кз. Кз. Ў.	640 830 900 -	Кз. Ки. Ки. -	940 1000 -	Ки. Ки. -
Құрғошинли гордистонит – 2PbO·ZnO·2SiO ₂ [29]	440 480 575 700	Ў. Кз. Ў. Кз.	800 860 900 -	Ки. Ки. Ки. -	930 975 1040 -	Ки. Ки. Ки. -
Синтетик β - Эвклиптил – Li ₂ O·Al ₂ O ₃ ·2SiO ₂ [16]	480 520 540	Кз. Ж.кз. Кз.	665 754 805	Кз. Ў. Кз.	1003 1040 1150	Ки. Ки. Кз.
Синтетик α - Эвклиптил – Li ₂ O·Al ₂ O ₃ ·2SiO ₂ [16]	480 510 560 612 -	Ки. Ў. Кз. Ў. -	665 705 762 920 -	Кз. Ки. Кз. Кз. -	937 962 985 1015 1052	Ки. Ки. Ки. Ки. Ки.
Табийи Эвклип- тил – Li ₂ O·Al ₂ O ₃ ·2SiO ₂ [16]	480 514 560 614 686	Ки. Ў. Ў. Ў. Ў.	708 768 796 916 999	Ки. Кз. Кз. Ки. Ки.	967 985 1013 1028 1053	Ки. Ки. Ки. Ки. Ки.
Кордиерит – 2(Mg,Fe)O· 2Al ₂ O ₃ ·5SiO ₂ [18]	420 450 485 570 580	Ки. Ки. Ки. Кз. Ў.	620 675 760 773 912	Ў. Кз. Ки. Ки. Ки.	960 1027 1100 1148 1181	Ж.ки. Ў. Кз. Ки. Ж.ки.
Миларит – K ₂ O·4CaO·4BeO· Al ₂ O ₃ ·24SiO ₂ [18]	420 480 510 610	Ки. Ў. Кз. Кз.	630 740 755 780	Кз. Кз. Ў. Ў.	970 1020 1130 -	Ки. Ж.ки. Ки. -
Калийтитанли силикат – K ₂ O·TiO ₂ ·3SiO ₂ · H ₂ O [18]	475 525 590	Ў. Ж.кз. Ж.кз.	753 865 -	Ки. Кз. -	975 1027 -	Ки. Ж.ки. -
Калиймарганец цинкли силикат – KMn ₂ Zn ₃ Si ₁₂ O ₃₀ [18]	420 450 485 570 580	Ки. Ки. Ки. Кз. Ў.	620 675 760 773 912	Кз. Кз. Ки. Ки. Ки.	960 1027 1100 1148 1181	Ж.ки. Ў. Кз. Ки. Ки.

Турмалин – NaMg ₃ Al ₆ (OH) ₄ · (BO ₃) ₃ Si ₆ O ₁₈ [18]	726 760 790 857	У. Кз. Ү. Кз.	1000 1030 1058 1107	Ки. Ки. Ки. Ки.	1306 1347 -	Ки. Ү. -
Хирмонтепа кони лёсси [35]	480 520 560	Ки. Ж.кз. Ж.кз.	670 700 710	Кз. Кз. Кз.	800 1000 1400	Ү. Ки. Ү.
Ангрен кони иккиламчи као- лини [35]	475 625 700	Ки. Кз. Кз.	810 950 1100	Ү. Кз. Ки.	1400 -	Кз. -
Қамишбоши – Чимион кони гилис [35]	480 510 530	Ки. Ү. Ү.	710 750 810	Кз. Кз. Ү.	850 1050 1410	Ү. Ки. Кз.
Бандихон кони гилтупроги [35]	840 545 650	Ки. Ки. Кз.	675 690 710	Кз. Кз. Кз.	810 1050 1460	Ү. Ки. Кз.
Сардара кони фосфорити [30]	410 475 525 575	Кз. Кз. Кз. Ү.	610 660 695 720	Ү. Кз. Кз. Кз.	880 980 1050 1100	Ү. Кз. Ки. Ки.
Сардара кони фосфорити – 1350°C да күйди- рилган [30]	410 475 525 580	Кз. Кз. Кз. Ү.	610 655 975 1050	Ү. Кз. Кз. Ки.	1105 1160 -	Ки. Ки. -
Кермана кони кварц – дала шпати [30]	700 710 795	Ж.кз. Кз. Ү.	815 1075 1180	Ү. Ж.ки. Ки.	1500 1670 1857	Кз. Кз. Кз.
Битаб кони кварц – дала шпати [30]	430 465 535 590	Ү. Кз. Ж.кз. Ү.	615 630 730 775	Кз. Кз. Кз. Кз.	1015 1055 1140 -	Ки. Ки. Ки. -
Битаб кони фос- форити – 1350°C да күйдирилган [30]	420 460	Ү. Ү.	570 730	Кз. Кз.	766 1060	Кз. Ки.
Султонуиздаг кони дала шпати [30]	430 465 535 518	Ү. Кз. Кз. Ү.	615 650 730 770	Кз. Ү. Ү. Ү.	1020 1050 1145 -	Ки. Ки. Ки. -
Султонуиздаг кони фосфорити – 1350°C да күй- дирилган [30]	420 460	Ү. Ки.	575 730	Кз. Ү.	775 1060	Ү. Ки.
Ангрен кони риолити [30]	420 465 540 580	Ки. Ү. Кз. Кз.	640 690 730 770	Кз. Кз. Ки. Ү.	795 1040 1140 -	Ү. Ки. Ки. -

Тошкент чинни корхонаси массаси – 1350°C да күйдирилган [30]	465 560 615	Ки. Ү. Кз.	650 695 720	Кз. Кз. Кз.	800 1085 1160	Ү. Ки. Ки.
Битаб кони дала шпати киритилган чинни массаси – 1350°C да күйдирилган [30]	470 515 575	Ү. Кз. Ж.кз.	615 700 780	Ж.кз. Ж.кз. Ү.	800 1090 1160	Ү. Ки. Ки.
Султонуиздаг кони дала шпати киритилган чинни массаси – 1350°C да күйдирилган [30]	465 555 615	Ки. Ү. Кз.	700 800 1090	Кз. Ү. Ки.	1150 – –	Ки. – –
Чияли кони дала шпати киритилган чинни массаси – 1350°C да күйдирилган [30]	470 555	Ки. Ү.	615 700	Кз. Кз.	790 1090	Кз. Ки.

Изоҳ: Бу ерда ва бошқа жадвалларда қуйидаги қисқартиришлар киритилган: Ки – кучли, Ж.ки – жуда кучли, Ү – ўртача, Кз – кучсиз, Ж.кз – жуда кучсиз.

Такрорлаш учун саволлар

- ИК нури ким томонидан ва қачон кашф этилган?
- Инфрақизил нурларининг тўлқин узунлигини A° , мкм ва cm^{-1} ўлчов бирликларида келтиринг.
- ИК нурларини қайтариш ва ўтказиш миқдорлари қандай формуласалар билан ифодаланади?
- Моддаларнинг инфрақизил спектрлари нима билан изоҳланади?
- ИК нурларни ютиш, ўтказиш ва қайтариш спектрлари қандай ифодаланади?
- Нур ютиш полосалари ҳақида тушунча беринг.
- Нур ўтказиш полосалари мөҳиятини тушунтириб беринг.
- ИК нурларининг қайтарилиш спектрлари ҳақида гапириб беринг.
- Инфрақизил спектроскопия аппаратларидан қайсилари ни биласиз?

10. ИК спектрометрларнинг соддалаштирилган схемасини келтиринг.
11. ИК спектрометрларининг шаффофт призмалари сифатида қандай моддалар ишлатилади?
12. ИК нурланиш манбай ҳақида маълумот беринг.
13. Препаратлар қандай усулларда тайёланади.
14. ИК спектрларини ёзиб олиш мосламаси ҳақида нималарни биласиз?
16. Кремнезем ИК спектрлари полосаларининг экстремумлари ҳолати қандай?
17. Кремний тетраэдрларига қандай полосалар хос?
18. Алюминий гурухлар учун қандай полосалар хусусиятли ҳисобланади?

ТҮРТИНЧИ БОБ ТЕРМОГРАФИК ТАҲЛИЛ

28-§. Термография усули табиати

Термография ноорганик моддалар, силикат ва зўргасуюлувчан материалларни қиздириш жараёнида содир бўладиган процессларни ўрганади. Улар, одатда, иссиқлик эфектлари билан боғлиқ.

Термография усулийнинг турлари жуда кўп. Энг асосийлари қаторига киради:

1. Термик анализ.
2. Дифференциал термик анализ (ДТА).
3. Комплекс термик анализ.
4. Дериватография.
5. Тензиметрия.
6. Газоволюметрия.
7. Дилатометрия.

Биринчи марта қиздириш эгриликлари француз олимни Ле-Шателье томонидан 1887 йилда олинган, у ҳароратни платина - платина-родийли термопараларда ўлчаш орқали термографик эгри чизиқларни ҳосил қилиш мумкинлигини кўрсатди.

Узоқ йиллар давомида тадқиқотчилар қиздириш эгрилигини вақт ва ҳарорат боғлиқлигини координата чизигида қайд этганлар. Бироқ кичик эфектларни бу эгриликларда топиш қийин. 1899 йилда Робертс-Остин дифференциал термопара кўллади, бу термопаралар кичик миқдордаги иссиқликни сезувчандир.

1904 йилда француз муҳандиси Саладин Ле-Шателье билан биргаликда координатада термик эгриликларни оловчи аппарат яратдилар. Аппаратга қуйидаги икки фактор асос қилиб олинди:

- 1) Эталон ва намуна ҳароратининг фарқи;
- 2) Намуна ҳарорати.

Бу усулни янада ривожлантиришга рус олимлари харакат килдилар. Россияда термик таҳлил асосчиси Н.С. Курнаков

бўлиб, у 1904 йилда ҳозирги кунда ҳам қўлланилаётган пиromетрни яратди.

МДХ давлатларида илмий-тадқиқот ишларини ривожланиши натижасида тизимларни физик-кимёвий ва минерологик таркибларини ўрганиш бўйича қиздириш эгриликлари усулидан силикатлар, руда тузлари ва қотишмаларни ўрганиш учун фойдаландилар.

Термик таҳдилдаги дифференциал ёзувларнинг киритилиши усул сезувчанлигини янада ортириди. Икки туздаги термик таҳдил-дифференциал ва оддий эгриликлар ёзила бошлади. Қиздириш эгриликларини ёзиш учун приборга иккита ўта сезувчан кўзгули гальванометр ўрнатилган. 1943 йилда Ф.В. Сиромятников тажриба вақтида дифференциал қиздириш эгрилигига ҳарорат шкалаларини суртиш (тушириш) усулини такъиф қўлганидан сўнг, термик таҳдил учун аппаратга иккинчи кўзгули гальванометрининг уланиши ва оддий қиздириш эгрилигини ёзишнинг хожати бўлмай қолди. Янги функциялар билан термик таҳдил физик-кимёвий анализ рамкасини яна кенгайтириди. 1939 йилда И.В. Тананаев термик таҳдилни термография деб аташни таклиф этди.

Термография деганда текширилаётган модданинг ихтиёрий нуқтасидаги ҳароратни (ёки ҳароратдаги бирор функцияни) аниқ дастур бўйича моддани узлуксиз равишда қиздирилганда ёки совитилгандаги ҳолатини қайд этиш тушунилади.

Усулнинг физик моҳияти: физик ва кимёвий жарёнларнинг катта қисми иссиқликни ажralиши ёки ютилиши билан боради. Баъзи бир жараёнлар тўғри ва қайтар йўналишида, баъзилари эса фақат бир йўналишда содир бўлади.

Қайтар жараёнларга киритиш мумкин: эриш-кристалланиш, қайнаш-конденсация, полиморф ўзгаришлар, мураккаб бирикмаларнинг ҳосил бўлиши ва парчаланиши, диссоциация.

Қайтмас жараёнларга киритиш мумкин: кам барқарор ҳолатдан юқори барқарор ҳолатга ўтиш реакциялари, қаттиқ эритмаларнинг парчаланиши, аморф ҳолатдан кристалл ҳолатга ўтиш, ўзаро таъсир реакциялари, монотроп ўзгариш ва бошқалар.

Ҳамма жараёнлар иссиқликнинг ютилиши ёки ажralиши билан боради, буни ҳароратни ўлчаш ўйли билан ўрганиш мумкин. Жараённи боришини ўлчовчи приборлар ёрдамида қайд этилади. Тажриба натижаларини эгри чизиқлар орқали ифодалаш мумкин, бунда вақт ва ҳароратни боғлиқлигиifo-

даланади. Агар текширилаётган моддада бирорта фазовий ўзгариш ёки кимёвий реакция содир бўлса, қўздириш режими бузилади. Унинг бузилиши қиздириш эгрикларида ёки майдонда пайдо бўлиш билан бирга боради.

Куйида ҳарорат ўзгаришига асосланган термик анализ тури, ҳарорат ўзгаришига боғлиқ физик параметр ва бу ўзгарувчан параметрни қайд этувчи асбоб схематик равишда қайд этилади: термик анализ (ТА) → энтальпия → калориметрлар; дифференциал термик анализ (ДТА) → намуна ва этalon ўргасидаги ҳарорат фарқи → ДТА аппаратлари; термогравиметрик анализ → масса → термоторозлар; дифференциал йўналувчан калориметрик анализ → намунага ўтказилган иссиқлик → дифференциал калориметр; солиширма иссиқлик сигими ўзгариши анализи → солиширма иссиқлик сигими → дифференциал калориметр; динамик қайтарувчан спектроскопик анализ → намунанинг акс эттирилиши → спектро-рефлектометрлар; термолюминесцент анализ → нур эмиссияси → термолюми-несцент аппаратлари; термооптик анализ → птик константалар → қиздириладиган ёруғлик микроскопи; дилатометрик (термомеханик) анализ → чизиқли ўлчамлар ёки ҳажми → дилатометр; электрот-казувчанлик → электр қаршилиги → қаршилик қўприги; юқори ҳароратли рентгенографик анализ → юзалар-аро масофалар → қиздиришга мойия рентген дифрактометри; термометрик титрлаш анализи → моддалар концентрацияси → термометрик титрометр; газоволюметрик анализ → газ ҳажми → газ волюметри; дифференциал газовольметрик анализ → газ ажралишининг тезлиги → дифференциал газ волюметри.

29-§. Термик анализ

Системанинг бирорта кўрсаткичининг катталиги мавжуд фазаларни аста-секин миқдорий нисбатда ўзгаришида бирор фазанинг йўқолиб кетиши ёки янги фазанинг сакраб ўзгаришида пайдо бўлади. Бу эгрилик термик усули орқали олинади. Бунда координата ўқларида модда ҳарорати ва унга жавобан ҳарорат ва абцисса ўқларида вақт қайд этилади.

Масалан: I - эффект: $MgCO_3 \rightarrow MgO + CO_2$ ёки полиморфизм;

- II - эффект: $CaCO_3 \rightarrow CaO + CO_2$ ёки эритиши.

Қиздириш вақтида фазовий ўзгаришлар рўй бериши ва унинг бошланиши аниқ нуқтадан бошланади. Модданинг қиздириш эгрилиги бу вақтда тезлашиши ёки секинлашиши мумкин. Масалан, $\alpha\text{-Al}_2\text{O}_3$ да қиздириш жараёнида ҳеч қандай фазовий ўзгаришлар содир бўлмайди. Шунинг учун у этalon сифатида ишлатилади. Бу инерт модда ҳам печга жойланади ва худди текширилаётган намуна тезлигига қиздирилади.

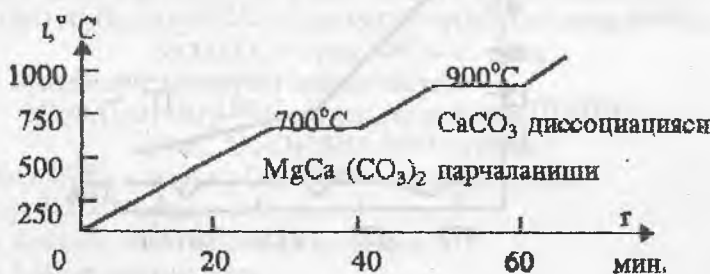
Ҳароратнинг ўзгариши эгриликларнинг горизонтал участкаларида кўринади (31-расм).

Карбонатларнинг диссоциацияси ва гидратларнинг сувсизлантиришдаги қиздириш ҳароратини аниқлаш муҳим ахамиятга эга. Шуни ҳам назарда тутиш керакки, олинаётган ҳарорат эфектлари қиймати қиздириш тезлиги, намуна оғирлиги ва бошқа параметрларга таъсир этади.

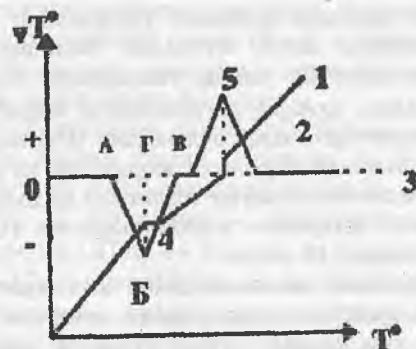
Қиздирилаётган ёки совитилаётган модда ҳароратни гальванометрнинг кўрсаткичидаги қиздириш ёки автоматик тарзда ёзиш мумкин. Қиздириш ёки совитиш эгриликларини автоматик тарзда ёзишда автоматик ўзи қайд этувчи акад. Н.С. Курнаков тизимдаги пиromетрлар қўлланилади.

Курнаков пиromетрларидаги термопара кўзгули гальванометрга уланади, бунда бир меъёр тезлик билан ҳаракатланувчи барабанга ёргуллик нури тушади. Барабан ёргуллиги сезувчан қоғозга ўралган бўлиб, унда автоматик тарзда термик эгриликлар ёзилади.

Узоқ вақт давомида акад. Н.С. Курнаков томонидан яратилган пиromетрлар термография усулининг асосий асбоби вазифасини ўтади.

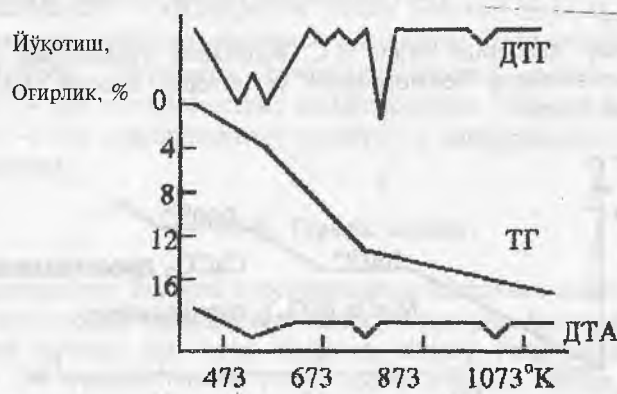


31-расм. Доломит минералининг термик анализига оид вақт-ҳарорат диаграммаси.



32-расм.

32-расм. ДТА табиатини очиб берувчи диаграмма: 1-қиздириш эгрилиги (термик таҳлил); 2-дифференциал эгрилик (ДТА); 3-нол линияси; 4-эндотермик эффект; $\text{CaCO}_3 = \text{CaO} + \text{CO}_2$ жараёнига тўғри келувчи; 5-иссиқликни ажралишига оид экзотермик эффект, масалан, кристаллизация жараёнида янги фаза ёки 2 фазадан янги бир фаза ҳосил бўлишида; АБВ-эндотермик эффект чўққиларини ўлчами; АВ-чўққининг кенглиги; ГБ-чўққининг чуқурлиги ёки баландлиги-термик реакция интенсивлигини кўрсаткичи.



33-расм. Тоза цемент хамирига оид дериваторограмма.

30-§. Дифференциал термик анализ (ДТА)

Күпгина ҳолларда реакцияларнинг термик эффекти жуда кичик, шунинг учун унга мос эгриликлар кам сезиларли. Бундай ҳолларда термопаранинг сезувчанлигини дифференциал схема қўллаш билан катталаширилади (32-расм).

Берилган ушбу ҳолатда дифференциал термопара бир вақтнинг ўзида иккита ҳароратни ұлчайди: 1) текширилаётган модданинг температураси; 2) ҳарорат фарқи ёки қиздирилаётган модданинг текширилаётган ҳарорат интервалида термик үрганишга йўл қўймайдиган инерт моддага нисбатан ўзгариши.

ДТА чизиги ёки эгриликларида эндотермик эффектлар қўйидаги ҳолларда рўй беради:

1) Термик бузилиш ёки текширилаётган моддадан газсимон фаза ажралиши билан. Масалан, тупроқ минерали $\text{Al}_2\text{O}_3 \cdot 2\text{SiO}_2 \cdot 2\text{H}_2\text{O} \rightarrow \text{Al}_2\text{O}_3 \cdot 2\text{SiO}_2 + 2\text{H}_2\text{O}$ (дегидратация); оҳактош $\text{CaCO}_3 \rightarrow \text{CaO} + \text{CO}_2$ (декарбонизация);

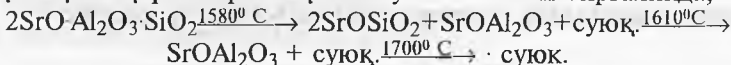
2) Термик парчаланиш, яъни газсимон фаза ажралмасдан модданинг парчаланиши билан.

Масалан, алит минералининг парчаланиши:

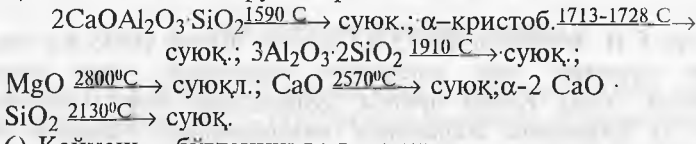


3) Энантиотрон характеристи полиморф ўзгариш билан. Масалан, α -кварц \rightarrow α -тридимит (кенгайиш 16%); $\beta\text{-CaSiO}_3$ ($2,91\text{ г}/\text{см}^3$) \rightarrow $\alpha\text{-CaSiO}_3$ ($2,90\text{-г}/\text{см}^3$).

4) Модданинг инконгруэнт эриши билан, янга таркибининг суюқ ва қаттиқ фазаларини ҳосил бўлиши билан биргаликда,



5) Модданинг конгруент эриши билан:



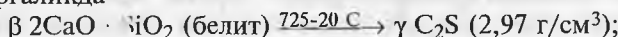
6) Қайнаш – бўғланиш ва возгонка;

7) Қайтар реакциялар.

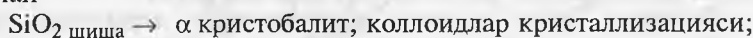
Моддаларнинг дифференциал термик анализ шаклларида экзотермик эффект қўйидаги сабаблар туфайли содир бўлади:

1) Оксидланиш реакцияларида $\text{Fe} + \text{O} \rightarrow \text{FeO}$; $\text{Ce}_2\text{O}_3 + \text{O} \rightarrow 2\text{CeO}_2$;

2) Мор троп характерли полиморф үзгариш, берилган
барқароратда нәбарқарор модификациядан барқарорга үтиш билан
биргаликта



3) Нобағтарор аморф ҳолатидан кристалл ҳолатига үтиш
билан



4) Бирикма реакцияси билан. Масалан, алитнинг ҳосил
бўлиши:



5) Абсорбция жараёни рўй берганида;

6) Адсорбция жараёнида;

7) Кристалларнинг йириклиши жараёнида;

8) Хемосорбция жараёни юз берганида;

9) Изомеризация жараёнида.

Юқорида қайд этилган эфектлар табиатига кўра, 2 гурухга
ажралади – физик ва кимёвий үзгаришлар.

Физик термоэфект берувчиларга киради: абсорбция, ад-
сорбция, полиморф үзгариш, кристаллар йириклиниши, де-
сорбция, эриш, аморф ҳолатидан кристалл ҳолатига үтиш, суб-
лимация ва бўгланиш.

Кимёвий термоэфект берувчи жараёнлар сафига хемо-
сорбция, бўлиниши реакциялари, дегидратация, десольватация,
газли муҳитда оксидланиш, молекулалар камайиши билан
рўй берадиган оксидланиш реакциялари, оксидланиш –
қайтарилиш реакциялари, газли муҳитда қайтарилиш, қаттиқ
фазада рўй берувчан реакциялар, бириктириш ва ўрин алма-
шиш реакциялари, изомеризация ва бошқалар киради.

31-§. Комплекс термик анализ

Усул Г.Н. Воронков (1953 й.) ва Э.К. Келер (1955 й.) томонидан керамик хом ашёларни текшириш учун ишлаб чиқилган. Унда Келер бўйича қуйидагилар бор: 1) одатдаги ДТА; 2) қиздириш жараёнида материалнинг узайиши ёки қисқаришини аниқлаш; 3) қиздиришда материал оғирлигининг йўқолишини аниқлаш.

Воронков бўйича, КТА га киради: 1) ДТА эгриклари;
2) оғирликнинг үзгариш эгрилиги; 3) ҳажм үзгариш эгрилиги;
4) электрқаршилик эгрилиги.

Фотоқайд этиш қурилмаси сифатида Курнаков пиromетри ишлатилган: барабаннинг фотоқозозида бир вақтнинг ўзида термик эфектлар, намунанинг оғирлиги ва ҳажмнинг ўзгариши қайд этилади. Намунанинг чизиқлари ўлчамини ўзгариши (тажрибадан олдин қўйилган белги) фото қайд этиш учун оптик системада берилган.

Термогравиметрик чизиги олишда, шу жумладан, комплекс термик анализда ҳам худди бошқа термография методларида рўй берадиган ҳолатдагидек кўп факторлар мавжуд. Улар тажриба натижаларининг аниқлиги ва қайта тикланишига гоҳ ижобий, гоҳ салбий таъсир ўтказади. Уларни икки асосий гурухга бўлиш мумкин:

1. Ўлчовчи асбоблар (термотарозлар) тузилиши ва ишлаши билан боғлиқ бўлган факторлар:

а) печ қиздирилиш тезлиги;

б) ёзиш тезлиги;

в) печ атмосфераси;

г) намуна ушлагич шакли;

д) ёзув қурилмасининг сезигирлиги;

е) намуна контейнери материалининг кимёвий таркиби.

2. Намуна таркиби:

а) намуна массаси;

б) намунада ажралиб чиқарилаётган газнинг қайта эриши;

в) намуна бўлакчалари ўлчами;

г) реакция иссиқлиги;

д) намуна бўлакчаларининг зич жойлашиши;

е) намунанинг кимёвий таркиби;

ж) иссиқлик ўтказувчанлик ва ҳоказо.

32-§. Дериватографик анализ

Бу усулга К.Хонда 1915 йили асос солган ва илк бор термотарозилар яратган. 1915-1920 йиллар давомида усулнинг термогравиметрия қисми Гайчар томонидан ривожлантирилган. Ўтган асрнинг 40-50 йилларида Дюваль усул афзалликларини амалда синааб кўрсатган. 50-чи йилларда эса юқори сифатли саноат термотарозилари пайдо бўлди. Бу эса дериватографиянинг пайдо бўлишига олиб келди.

Дериватографиянинг анъанавий ДТА дан фарқи шундаки, бир намунанинг ўзида энталпия ва оғирликни йўқотиш қайд этилади. Оддий ҳолдаги дифференциал термотаҳлилда ҳарорат намунада, термогравиметрияда эса-печдаги мухитда ўлчанади. Бу эгриликларни мос равища қўйишда қийин-чиликларни юзага келтиради ва хатоларга йўл қўйишга олиб келади.

1955 йилда венгер фуқаролари Ф.Паулик, И.Паулик ва Л.Эрдан дериватография усули бўйича таклиф киритишган. Бу усул бўйича автоматик равища тўртта эгрилик қайд этилади: 1) ҳарорат эгрилиги; 2) ДТА эгрилиги; 3) термогравиметрик эгрилик (ТГ); 4) дифференциал термогравиметрик эгрилик (ДТГ).

ДТГ бўйича қиздириш жараёнида оғирлик тезлигининг ўзгариши аниқланади. Бу эса ўз навбатида термографик эгрилик ТГ устига устма-уст тушган процессларни ажратишга имкон беради.

Бунга эришиш учун дериваторграф тарозиси чашкаларидан бирига перманент магнит ўрнатилган бўлиб, у обмотка ичидан вертикал ўқда жойлашган. Материални қиздириш билан оғирлиги ўзгаришида магнит қиздириш тезлигига пропорционал равища сурилади. Магнит майдонида ҳосил бўлган ток магнит узатиш тезлигига пропорционал бўлади ва унинг кучланиши приборда фотографик йўл билан қайд этилади.

Мисол тариқасида, юқорида тоза цемент хамири (юза кўрсаткичи $4000 \text{ см}^2/\text{г}$ га, сувцемент нисбати 0.25, қолиплаш ҳарорати 293 К га ва ёши 28 суткага тенг)ни қиздиришда ҳосил бўладиган дериваторограмма берилган (33-расм).

33-§. Усулнинг аппаратуралари

Термография усулларининг имконияти катта. Энг аввало, улар ёрдамида текширилаётган моддада содир бўладиган эндо-термик ва экзотермик эффектларни қайси ҳарорат нуқтасида бошлиниши ва қайси ҳароратда тугаши ҳақида ўта аниқ хуласага эга бўламиз. Бу эса биринчи ҳарорат нуқтасининг пасти ва иккинчи ҳарорат нуқтасининг тепа томонларида рентгенографик, ИК спектроскопик ва микроскопик тадқиқотлар ўтказиб, фиксация қилинган эффект моҳиятини англашга олиб боради.

Термограф тадқиқотларни ўтказишида танланган аппаратура, тигел ва термопаралар роли ниҳоятда катта. Айниқса, тажрибаларни 1500 ва ундан юқори ҳароратда олиб борилганда намуна

ва термопара симларининг учмаслигини таъминлаш, тигел тозалаш жараёнини осонлаштириш ва ҳоказо талаб қилинади.

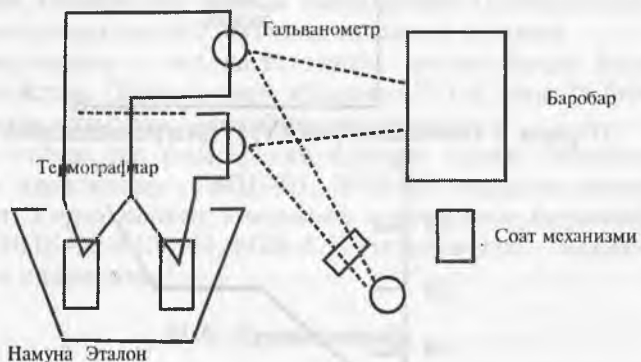
Агар тадқиқотларда термик таҳлил усули қўлланмаса, у ҳолда жуда кўп марта намуналарни куйдириш, жуда кўп рентгенограммалар олиш ва уларни расшифровка қилиш, кўп сонли шлифлар ясаш ва тадқиқотлар ўтказиш керак бўлар эди. Термография эса олимлар ишини тизимга солди ва тадқиқотлар сонининг максимал камайтириш имконини берди.

Замонавий термик жиҳозлар учун қўйидагилар талаб қилинади (34-расм):

1) Вольфрам (2800°C гача), электрографит (2000°C гача), родий (1800°C гача), силит (1500°C гача), 10-20% родийли пластина (1500°C гача), глобар (1500°C гача), платина (1400°C гача), тантал (1330°C гача), молибден (1200°C гача), хромел (1100°C гача), никром (1000°C гача) каби қиздирилишларга эга бўлган электрик печлар.

2) Потенциал-регулятор ёки бошқа турдаги печ ҳароратини бир меъёрда кўтарилишини таъминловчи жиҳоз. Булар қаторига автоматик ползункали реостатлар, автотрансформаторлар ва потенциал-регуляторлар киради. Контактли гальванометр ва потенциометрларни ҳам ишлатиш мумкин.

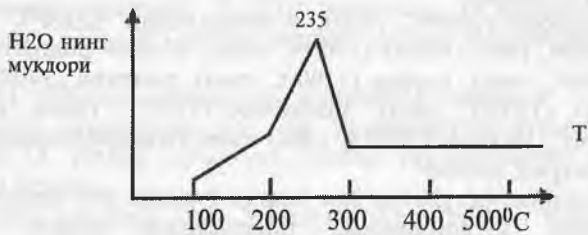
3) Эталон ва намуна солинадиган тигеллар (платинали, корундли, графитли ва бошқалар).



34-расм. Дифференциал термопарали Курнаков пиromетрининг чизмаси.



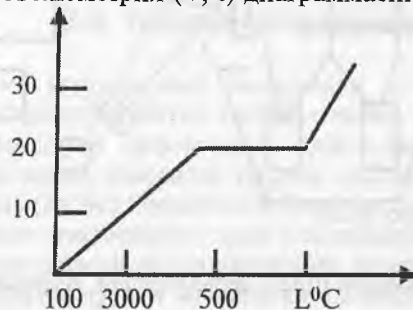
35-расм. Гипстош $2\text{CaSO}_4 \cdot 2\text{H}_2\text{O}$ нинг тензиметрик (P , t) чизиги.



36-расм. Табийи гиббсит минералининг дифференциал тензиметрия чизиги.



37-расм. Газоволюметрия (V , t) диаграммасининг кўриниши.



38-расм. Дилатометрия усули (v_l , t) диаграммасининг кўриниши.

4) Платина – платинородийли ($20\% \text{Rh}$), платина-платинародийли ($10\% \text{Rh}$), хромел-алюмелли, вольфрам-молибденли, никел-хромникелли, темир-константан, мис-константан ва бошқа оддий ва дифференциал термопаралар. Темир-константан термопара $185\text{--}370^\circ\text{C}$ оралиғида, хромел-алюмелли ҳароратда 1200°C гача, платина-платинородийли эса 1400°C гача ишлатилади. 1400°C дан юқоригоқ ҳароратда эса вольфрам, молибден, рений, тантал, ниобий ва уларнинг қотишмаларидан ясалган термопаралар ишлатилиши керак.

5) Натижаларни ёзувчи автоматик ёзув қурилмаси (фотоқайд этиш- ёзиш ёки потенциометр).

Куйида номи қайд қилинган жиҳозлар устида батафсил түшунтириш берилади:

1. Печлар: металл корпусли ҳимояланган, ичига қиздириш элементлари ўрнатилган жиҳоз. Қиздириш элементи сифатида диаметри $0,5\text{--}1$ мм бўлган никромли симлар (1273 K гача), қотишма Б-2 (1473 K гача), платина (1773 K гача), силитли (SiC+C , 1773 K гача) ва корборундли стерженлар (SiC , 1773 K гача) ишлатилади.

2. Печнинг терморегуляторлари сифатида автоматик силжувчи реостатлар, автотрансформаторлар ва программа билан бошқариладиган потенциал регуляторлари қўлланади.

3. Тигеллар - қалин деворли металл ёки керамика блоки, думалоқ ёки тўғрибурчак шаклда тайёрланган. Платинали тигелларни кислотада тозалаб, кўп вақт ишлатиш мумкин.

4. Термопаралар - энг катта талаб - модда билан ўзаро таъсирилашмаслик. Шунинг учун кўпинча 1773 K гача Pt-PtRh ва 2273 K гача вольфрам - молибден ишлатилади.

5) Ўзи ёзувчи ёки регистрация қилувчи тизим. Электрон ўзи ёзувчи қурилмалар - ЭПП-09, ЭПД-09 типидаги потенциометрлар. Курнаковнинг замонавий вариантидаги пирометрлари - ФПК-52, ФПК-54, ФПК-57 (тебранишга, механик таъсириларга чидамсиз).

34-§. Дериватограф

Чет элда чиқариладиган, МДҲ мамлакатларида қўлланиладиган жиҳозга дериватограф номи билан аталувчи ва Будапештнинг “Метримпэкс” фирмасининг 1966 йилда Ф. Паулик ва бошқалар томонидан чиқарган модели жиҳоз бўлиб, унинг русуми ОД-102 дир.

Комплекс термоаналитик жиҳоз дифференциал термоаналитик аппаратлар, термотарози ва дифференциал термотарозиздан иборат. Дериваторграф шу текширилаётган қуқунда бир вақтнинг ўзида оғирликнинг ўзгариши (ТГ), оғирликнинг ўзгариш тезлиги (ДТГ), ҳароратлар фарқининг ўзгариши (ДТА) ва ҳароратнинг ўзгариши (Т) ни аниқлашга имкон беради.

Кўрсатилган тўрт хил ўлчаш тўла таҳлил шароитида - комплекс текширувни таъминлайди. Ҳарорат печда эмас, балки намуна ўлчанади, демак модданинг ҳарорат таъсирида ўзгариши юқори аниқликда ўлчанади.

Намуна учун тигеллар шундай ясалганки, унда содир бўлаётган қаттиқ фаза ва суюқ фазадаги реакцияларни ўрганиш мумкин. Дериваторграфнинг платина тигелидаги намунаси ҳарорати электрик печ қизиши тезлиги билан бир хилда кўтарилади. Модданинг қукуни 50 дан 5000 мг. гача бўлади. Электропечнинг қизишини бошқарув программаси бўйича минутига $0,5^{\circ}$ дан 20°C тезлик билан кўтарилиши таъминланади. Печнинг энг қизиган муҳитидаги максимал ҳарорат 150 , 300 , 600 , 900 , 1200°C . Максимал ҳато $\pm 5^{\circ}\text{C}$. Фотоқайд этувчи барабаннинг бир марта тўлиқ айланиши 25 , 50 , 100 ва 200 мин. да содир бўлади. Термограммалар 25 , 50 , 100 , 200 минутда ёзилиши мумкин. Термограммадаги миллиграммлардаги оптик шкала, намуна оғирлигининг камайишини аниқлаш учун қўйилган. Термограммалар инерт газда олиниши мумкин. Жиҳоз тўла автоматлаштирилган.

Ф. Паулик ва бошқалар томонидан яратилган «ОД-102» дериваторграфи конструктив 16 элемент, детал ва жиҳоздан ташкил топган: 1-намуна солинадиган тигел; 2-инерт модда солинадиган тигел; 3-чинни трубка; 4-термопаралар; 5-электр токи билан ишлайдиган печ; 6-фижимланиб кетмайдиган сим; 7-тарозлар; 8-катушка; 9-магнит; 10-ТГП учун гальванометр; 11-ҳароратни ўлчовчи гальванометр; 12-ДТА гальванометри; 13-лампалар; 14-оптик тешикча; 15-фоторегистрация цилиндири; 16-фотоқоғоз.

МДҲ мамлакатларида мавжуд бўлган жиҳозлар қаторига қўйдагилар киради:

1) СГМ-8 полярграфи билан комплексдаги ТП-1 типидаги термик мослама. У 1959 йилда Москвадаги Геологқидирув аппаратлари ва жиҳозлари заводида чиқарилган. Бу жиҳоз 15 минут давомида 20° дан 1000°C гача ДТА ни олиши мумкин.

Қиздириш тезлиги минутига 70°C , модда миқдори 0,05 дан 0,1 г. гача;

2) ТҮ-1 типдаги термик қурилма: 20° дан 1400°C гача ДТА ни 15 минут давомида олади. Қиздириш тезлиги $75\text{-}100^{\circ}$ бұлиб, текшириләйтган модданинг миқдори 0,02-0,09 г ни ташкил этади.

3) УТА-1термооғырлык анализи қурилмаси. У бир вақтнинг ўзида иккита әгриликни ёзади: ДТА ва ТГ. Иссиклик оралиғи 20° дан 1000°C гача. Қиздириш тезлиги минутига 15, 30, 45, 60. Текшириләйтган намуна миқдори макро ва микро тарзда бұлиши мүмкін. Бу жиҳоз Санкт-Петербургдаги “Геологқидируд” заводида ишлаб чиқарилади;

4) Паст частотали термографик регистратор НТР-62. Россия ФА “Нодир жиҳозлар конструктив бюроси марказы” томонидан чиқарилған. Жиҳоз дастурли - қизиш учун бошқарув пультига эга бұлиб, қиздириш печи ва ўзи ёзувчи қурилмалардан ташкил топған. Ҳар икки минутда автоматик тарзда вақтни белгилаб борилади ва термограмма қофозининг пастки қисміга туширилади. Автоматик тарзда бошқариш ток бүйіча бұлмай, балки ҳарорат бүйіча олиб борилади. Барабаннинг айланиш тезлиги турлича. Барабаннинг бир марта түлік айланиши 4, 8, 16, 32, 64, 128, 256 минут ва 24 соат давом этиши мүмкін. Ўзи ёзувчи қурилма бир вақтнинг ўзида моддани қиздириш жараёнидаги түрт хил хоссаларни ўзгаришини қайд этади.

35-§. Тензиметрия, газоволюметрия ва дилатометрия асаблары

Тензиметрия. Минерални қиздириш жараёнида таркибида бор бұлған учувчан компонентларининг қайышқоқылыгини қайд этишга асосланған.

Тензиметрия приборлари Хюттинг (1920 й.), Краусс ва Шривер (1930 й.), Сиромятников (1940 ва 1957 й.) томонидан яратылған. Бу приборлар газни қиздириш жараёнида унинг босими (P), ҳажми (V) нинг ўзгаришини үлчаш имкониятини беради (35 ва 36-расмлар).

Газоволюметрия - аниқ ҳароратда минераллардан H_2O , CO_2 ва бошқа газсімөн фазаларни ажралашига асосланған (37-расм). Л.Г. Берг томонидан 1952 й. ажралаёттан газ ҳажми ўзгаришини үлчаш газли бюреткада амалға оширилған.

Газоволюметрия ҳароратлари ва ажралиб чиққан газ ҳажмини билиш орқали аралашмадаги минерални дастлабги миқдорини айтиб бериш мумкин.

Шунинг учун бу усулда кўпроқ 50-200 мг, тензemetрия усули бўйича эса 1-2 мг миқдорида модда олинади.

Дилатометрия - жисмнинг кенгайишини ўлчайдиган усул (38-расм). Бундай усулда текширишни дилатометр приборида амалга оширилади.

Дилатометрия термик анализнинг бир тури бўлиб, бунда қаттиқ ҳолатдаги кимёвий модда, минерал, шиша, хом ашё ёки саноат чиқиндисининг юқори ҳарорат таъсирида кенгайиши аниқланган. Бундай кенгайиш чизиқли кенгайиш коэффициенти (α) ва ҳажмий кенгайиш коэффициенти (β) номли параметрлар билан ифодаланади.

Чизиқли кенгайиш коэффициенти α деб текширилаётган модда ҳарорати 1°C га кўтарилиганда намуна ўлмамининг нисбий узайишига айтилади:

$$\alpha = \Delta l/l \cdot \Delta t \text{ ёки } \Delta l = \alpha \cdot l \cdot \Delta t$$

бунда l - текширилаётган модда намунасининг узунлиги;

Δl - ҳарорати Δt $^{\circ}$ га оширилганда намуна узунлигининг ортиши;

Δt - бошланғич (t_1) ва охирги ҳарорат (t_2) лар фарқи.

36-§. Препарат тайёрлаш усуллари

Таҳлил учун керак бўлган материал миқдори олиб борилаётган текширув турига боғлик:

- минераллар таҳлили учун - 30-100 мг;
- термоаналитик эгрилик олиш учун - 350-500мг модда зарур;

в) ялпи бир турли аниқлашлар учун - 100 мг модда кифоя.

Материал тайёрланади:

- узоқ муддатли ишқалаш орқали намуна кукун ҳолига келгунча (кукун катталиги 0,0043 мм). Таркибида конституцион H_2O ва осон оксидланувчи элементлар бўлмаслиги керак;
- вақт бўйича қисқа муддатли эзиш - агар таркибида конституцион H_2O бўлса;

- Пичоқ, қайчи, ўткир тифли кесгичлар ёрдамида юпқа қаватлар кўринишида олинади, масалан, слюдасимон моддалар тайёрланиши шу тарзда бўлади.

Термография усуллари билан тадқиқотлар ўтказиш чоғида текширилаётган модда намунасидан 0,05-0,3г дан 10-12г гача олинади. Олинган намуна чинни ёки агат ховончада 1-3 мм ли бўлакчалар ҳолигача майдаланади. Майдалангандан 1-2 г олиб бюксга солинади, устига абсолют спирт қўйилади ва 10-20 соат тинч қўйилади. Кейин материал қофоз фильтрига тўкиб сувсизлантирилади. Сўнгра материал 4900-10000 тешикли элакларда эланади. Шундан кейин ундан ўртача намуна 0,3-0,5 г миқдорида олинади ва термографнинг платина ёки корунддан тайёрланган тигелига солинади.

Анализ учун олинадиган намуна миқдори гилсимон минераллар учун 0,3-2 г га тенг бўлади. Бу ҳолда печдаги қиздириш тезлиги 5-10 град/мин атрофида бўлади. Агар қиздириш тезлиги 50-60 град/мин бўлса, у ҳолда намуна миқдори 0,1 г гача камайиши мумкин. Натижаларнинг аниқ бўлишига текширилаётган модда билан эталоннинг бир хил зичликка эга бўлиши даркор.

37-§. Усулнинг имкониятлари, афзалиги ва камчиликлари

Усулдан амалий жиҳатдан фойдаланиш имкониятлари. Уларга қўйидагиларни кўрсатиш мумкин:

1) Бу усулсиз илмий-тадқиқот иши олиб борувчилар микроскопия, рентген каби усуллар билангина ишлаганда ўнлаб, ҳатто юзлаб экспериментлар ўтказишлари зарур эди. Термография усули қўлланиши билан экспериментлар сони камайди, биргина эксперимент ўтказиш билан керакли эффектлар ва уларнинг чегаралари ҳамда табиати ҳақида аниқ фикр юритиш имкони пайдо бўлди;

2) Хом ашё материаллари, минераллари, жинсларни минералогик таркибини уларнинг термик эгри чизиқларини бошқа эталон термограммаларга таққослаш йўли билан илк бор ахборотга эга бўлиш имконияти яратилди;

3) Минерални турини, айниқса бир группага тааллуқлисини таҳлил қилишга имконият беради. Айниқса, карбонатлар, сувли бирикмаларда уларнинг парчаланиши, сувни учуб чиқиб кетишини меъёрий аниқлашга муваффақ бўлинди;

4) Модданинг теплофизик ҳолати, айниқса, кимёвий реакциялар давомида уларнинг иссиқлик ютиши ёки чиқарилиши масалаларини аниқлаш имконияти пайдо бўлди;

5) Модданинг термоинерт ёки термоактивлигини аниқлайди. Масалан, корунднинг термоинертилиги ва кремнензининг термоактивлиги;

6) Иссиклик эффекти содир бўладиган ҳарорат оралигини аниқлайди. Термографиядан бошқа усул қўлланганда бу масалани ечиш жуда қийин кечади, жуда кўплаб тажрибалар ўтказилиши талаб этилади;

7) Минерал турини табиатдаги кимёвий ўзгаришини аниқлашга имкон беради;

8) Физик-кимёвий жараён тезлиги ва вақт бўйича унинг ҳолатини аниқлашга хизмат қиласди;

9) Жараёнда ҳосил бўлаётган модда миқдорини аниқ ўлчашга имкон яратади.

Усулнинг афзаллиги. Унинг афзал томонлари кўп. Уларга куйидагилар киради:

1) Усулда аморф, майда дисперс ва метамикт минералларни ўрганиш учун қўллаш имконияти мавжудлиги;

2) Усулнинг объективлиги ва яқъол қофозга термограмма ёки дериватограмма холатида туширилиши;

3) Бажариш техникасининг соддалиги, ишлатилган тигелларнинг тозалаб қайта ишлатиш имконияти мавжудлиги;

4) Усулнинг тез бажарилиши. Ўзганда то 45-60 мин гача талаб қиласди. Шу билан бирга кўп анализ — термоэфектлар, оғирликлар ва бошқаларга оид тажрибаларни бир вақтда ўтказиш имконияти мавжудлиги;

5) Моддани кам миқдорда, яъни 0,1 дан 0,5 г гача олиш имконияти мавжудлиги;

6) Минерал турининг термоаналитик тафсифини аниқлаш имконияти;

7) -190° дан то $+3000^{\circ}$ гача ҳароратларда ДТА эгрилигини олиш имкони.

Усулнинг камчиликлари. Маълум даражада камчиликлар ҳам мавжуд:

1) Термография орқали маълум бир ҳароратда термоэффект содир бўлганлиги, модданинг миқдори ўзгарабошлиганини қайд этилади, лекин у нима асосида рўй берганлигини аниқлай олмайди.

2) Рентгенография, ИК спектроскопия, микроскопия, кимёвий ва бошқа турдаги анализларни жалб этгандан кейингина хуласа чиқариш мумкин бўлади.

3) Термограмма олиш экспериментал шароитга боғлиқлиги (қизидириш тезлиги, намуна оғирлиги, дифференциал термопара занжиридаги ўзгарувчанлик, тигелдаги модданинг зичлиги, эталоннинг хоссаси, печнинг атмосфераси, термопара қотишмасининг намуна ва эталонга ўрнатилиши, дисперслик даражаси ва бошқалар).

38-§ Кимёвий жараёнларда содир бўладиган термик эфектларга оид маълумотлар

Қуйида табиий ва сунъий ҳолда учрайдиган, силикат ва бошқа саноатларда кўпроқ қўлланиладиган кимёвий моддаларда содир бўладиган термик эфектларга оид маълумотлар келтирилади (16-жадвал).

Баъзи кимёвий бирикма ва минералларнинг термик эфектлари

16-жадвал

Модданинг номи ва формуласи	Термоэффект тури	Термоэффект ҳарорати, $^{\circ}\text{C}$	Термоэффект Табиати
Кремний /IV/- оксид – SiO_2	Экзоэффект	115-117	Тридимитнинг ўтиши
	Экзоэффект	155-163	Тридимитнинг ўтиши
	Экзоэффект	220-280	Кристобалитнинг ўтиши
	Эндоэффект	573	Кварцнинг ўтиши
Каолинит- γ $\text{Al}_2\text{O}_3 \cdot 2\text{SiO}_2 \cdot 2\text{H}_2\text{O}$	Эндоэффект	550-610	Дегидратланиш
	Экзоэффект	925-1000	Аморф кремнезем ва глиноземнинг кристалланниши ва силлиманит ёки муллит ҳосил бўлиши
	Экзоэффект	1200	Муллитнинг бутунлай ҳосил бўлиши ва қолдиқ аморф SiO_2 нинг кристалланиши

Диккит – $\beta\text{-Al}_2\text{O}_3\cdot 2\text{SiO}_2\cdot 2\text{H}_2\text{O}$	Эндоэффект	480 – 590	Дегидратланиш
	Экзоэффект	950 – 1050	Аморф махсулотларнинг кристалланиши, муллит ёки силлиманит ҳосил булиши
	Экзоэффект	1130 – 1250	Муллит ва кристобалит ҳосил булиши
Накрит – $\alpha\text{-Al}_2\text{O}_3\cdot 2\text{SiO}_2\cdot 2\text{H}_2\text{O}$	Эндоэффект	550 – 610	Дегидратланиш
	Экзоэффект	950 – 1050	Аморф махсулотларнинг кристалланиши
	Экзоэффект	1200 – 1250	Муллит ва кристобалит ҳосил булиши
Монтмориллонит- $\text{Al}_2\text{O}_3\cdot 4\text{SiO}_2\cdot \text{H}_2\text{O}$ $(\text{Al}_2,\text{Mg}_3)\text{O}_3\cdot 4\text{SiO}_2\cdot \text{H}_2\text{O}$	Эндоэффект	50 – 150	Адсорбилинган сувнинг йўқотилиши
	Эндоэффект	200 – 235	Пакетларо сувнинг йўқотилиши
	Эндоэффект	500 – 760	Конституцион сувнинг чиқиши
	Эндоэффект	800 – 860	Кристалл панжаранинг парчаланиши
	Экзоэффект	900 – 1000	Кристалланиш ва янги модданинг ҳосил булиши
Бейделлит – $\text{Al}_2\text{O}_3\cdot 4\text{SiO}_2\cdot \text{H}_2\text{O}\cdot n\text{H}_2\text{O}$	Эндоэффект	100 – 190	Адсорбилинган сувнинг буғланиши
	Эндоэффект	500 – 600	Конституцион сувнинг чиқиши
	Эндоэффект	800 – 880	Кристалл панжаранинг парчаланиши
	Экзоэффект	900 – 925	Янги кристалл модданинг пайдо булиши

Нонтронит – m[3MgO · 4SiO ₂ · H ₂ O] · p[(Fe ³⁺ , Al) ₂ O ₃ · 4SiO ₂ · H ₂ O] · nH ₂ O	Эндоэффект	100 – 200	Адсорбилинган ва цеолитли сувларнинг буғланиши
	Эндоэффект	400 – 625	Конституцион сувнинг чиқиши
	Экзоэффект	810 – 920	Янги кристалл модда пайдо бўлиши
	Экзоэффект	925 – 1180	Кристалланиш- нинг охирига етиши
Монотермит – 0.2RO · Al ₂ O ₃ · 3SiO ₂ · 1.5H ₂ O (+0.5H ₂ O)	Экзоэффект	50 – 100	Кристалланиш- нинг охирига етиши
	Экзоэффект	450 – 550	Конституцион сувнинг чиқиши
	Экзоэффект	955 – 975	Кристалл мод- данинг ҳосил бўлиши
Галлуазит – Al ₂ O ₃ · 2SiO ₂ · 4H ₂ O	Эндоэффект	50 – 140	Адсорбилинган сувнинг ажралиши
	Эндоэффект	405 – 555	Конституцион сувнинг ажралиб чиқиши
	Экзоэффект	970 – 1060	Кристалл ва янги модданинг ҳосил бўлиши
Пирофиллит – Al ₂ O ₃ · 4SiO ₂ · H ₂ O	Экзоэффект	500 – 800	Сувнинг ажра- либ чиқиши
	Эндоэффект	950 – 1100	Янги кристалл модданинг ҳосил бўлиши

Полигорскит- $MgO \cdot Al_2O_3$. $4SiO_2 \cdot 5H_2O$. nH_2O	Эндоэффект	130 – 150	Адсорбилинг сувнинг ажралиши
	Эндоэффект	270 – 300	Пакетларо сувнинг йўқотилиши
	Эндоэффект	500 – 530	Конституцион сувнинг ажралиши
	Эндоэффект	905	Кристалл панжаранинг парчаланиши
	Экзоэффект	950	Янги модданинг кристалланиши
Кальцит- $CaCO_3$	Эндоэффект	800 – 950	Диссоциаланиш
Арагонит – $CaCO_3$	Эндоэффект	390-420	Кальцитга айланниш
Ватерит (фатерит)- k-форма $CaCO_3$	Эндоэффект	440	Кальцитга айланниш
	Эндоэффект	900 – 950	Диссоциаланиш
Тремолит- $2CaO \cdot 5MgO \cdot 8SiO_2 \cdot H_2O$	Эндоэффект	800	Конституцион сувнинг чиқиши
Шохли алдагич- $Ca, Na(Mg, Fe)_4 \cdot (Al, Fe) \cdot [(Si, Al)_4O_{11}] \cdot (O, H)_3$	Эндоэффект	400	Сувнинг ажралиши
	Эндоэффект	1175	Сувнинг бутунлайин ажралиб чиқиши
Кальций гидроксид – $Ca(OH)_2$	Эндоэффект	530-580	Дегидратланиш
Магнезит- $MgCO_3$	Эндоэффект	540-710	Диссоциаланиш
Доломит- $Ca Mg(CO_3)_2$	Эндоэффект	730-790	Доломитнинг $CaCO_3$ ва $MgCO_3$ га парчаланиши ҳамда $MgCO_3$ нинг диссоияланиши

Ангидрит – Ca SO_4	Эндоэффект	1190	Полиморф ўзгариш
Ярим молекула сувли гипс- α - $\text{CaSO}_4 \cdot 0,5\text{H}_2\text{O}$	Эндоэффект	160	Дегидратланиш
	Эндоэффект	240	Дегидратланиш
	Эндоэффект	380	Ангидрит инвер- сияси
	Эндоэффект	1180-1200	Полиморф ўзгариш
Ярим молекула сувли гипс – $\beta\text{Ca SO}_4 \cdot 0,5\text{H}_2\text{O}$	Эндоэффект	120	Дегидратланиш
	Эндоэффект	180	Дегидратланиш
	Эндоэффект	240	0,5 мол H_2O йўқолади
	Эндоэффект	410	Ангидрид инвер- сияси
	Эндоэффект	1180 – 1200	Полиморф ўзгариш
Икки молекула сувли гипс- $\text{CaSO}_4 \cdot 2\text{H}_2\text{O}$	Эндоэффект	100 - 120	Адсорбиланган сувнинг йўқолиши
	Эндоэффект	220	0,5 мол H_2O нинг йўқолиши
	Эндоэффект	240	0,5 мол H_2O нинг йўқолиши
	Эндоэффект	380 - 420	Ca SO_4 инверсияси
	Эндоэффект	1180-1200	Полиморф ўзгариш
Уч кальцийли силикат- $3\text{CaO} \cdot \text{SiO}_2$	Эндоэффект	920 - 925	Полиморф ўзгариш
	Эндоэффект	970 - 980	Полиморф ўзгариш
	Эндоэффект	990 – 1000	Полиморф ўзгариш
Алит- $54\text{CaO} \cdot$ $16\text{SiO}_2 \cdot \text{Al}_2\text{O}_3 \cdot$ MgO	Эндоэффект	825	Полиморф ўзгариш
	Эндоэффект	1427	Полиморф ўзгариш

Икки кальцийли силикат - γ -2CaO · SiO ₂	Эндоэффект	780-830	α C ₂ S га ўтиш
	Эндоэффект	1447	α C ₂ Sдан α C ₂ S га ўтиш
Тальк - 3MgO·4SiO ₂ ·H ₂ O	Эндоэффект	850 - 950	Дегидратланиш
Хризотил— асбест-Mg ₆ (Si ₄ O ₁₁) ₆ · (OH) ₆ · H ₂ O	Эндоэффект	100	Адсорбиланган сувнинг йўқолиши
Кальций гидросульфоалюминат 3CaO · Al ₂ O ₃ · Ca SO ₄ · 12H ₂ O	Эндоэффект	200-250	Қисман дегидратланиш, таркибидағи сувнинг кўп қисмини йўқотиши
	Эндоэффект	300-320	Дегидратланиш
	Эндоэффект	500	Дегидратланиш
	Эндоэффект	800	Сувсиз аморф ҳолатдаги фазанинг кристалла ниши
Натрий гидросиликат- Na ₂ O · SiO ₂ · 6H ₂ O	Эндоэффект	95	Босқичли дегидратланиш
	Эндоэффект	1083	Сувсиз тузнинг суюқланиши
Гидрагиллит- Al ₂ O ₃ · 3H ₂ O	Эндоэффект	250 - 300	Қисман дегидратланиш, бемит ҳосил бўлиши
	Эндоэффект	500 - 550	Бемитнинг дегидратланиши
	Экзоэффект	800	γ -Al ₂ O ₃ нинг α -Al ₂ O ₃ га ўтиши
Байерит (метастабил форма)- Al ₂ O ₃ · 3H ₂ O		310 - 315	Қисман дегидратланиш, бемитга ўтиши
		500 - 550	Бемитнинг бутунлайнинг дегидратланиш
		800	γ - Al ₂ O ₃ нинг α -Al ₂ O ₃ га ўтиши

Бемит $\text{Al}_2\text{O}_3 \cdot \text{H}_2\text{O}$	Эндоэффект	460 – 580	Дегидратланиш. Конституцион сувнинг чиқиши ва кристалл панжаранинг бузилиши
	Экзоэффект	850 – 950	$\gamma - \text{Al}_2\text{O}_3$ нинг $\alpha - \text{Al}_2\text{O}_3$ га ўтиши
Гетит $\text{Fe}_2\text{O} \cdot \text{H}_2\text{O}$	Эндоэффект	300 – 420	Дегидратланиш, $\alpha - \text{Fe}_2\text{O}_3$ га ўтиш
	Эндоэффект	680	Полиморф ўзгариш, $\alpha - \text{Fe}_2\text{O}_3$ дан $\gamma - \text{Fe}_2\text{O}_3$ га ўтиш
Магнетит- FeFe_2O_4	Экзоэффект	250 – 375	Магнетитнинг маггемит – $\gamma - \text{Fe}_2\text{O}_3$ га ўтиши
	Экзоэффект	590 – 650	Магнетитнинг гематит – $\gamma - \text{Fe}_2\text{O}_3$ га ўтиши
Гематит- $\alpha - \text{Fe}_2\text{O}_3$	Эндоэффект	658	Маггемит – $\gamma - \text{Fe}_2\text{O}_3$ га ўтиш
	Эндоэффект	1370 – 1400	Магнетит – Fe_3O_4 га ўтиши
Натрийли дала шпати- $\beta - \text{Na}_2\text{O} \cdot \text{Al}_2\text{O}_3 \cdot 6 \text{SiO}_2$	Эндоэффект	1118	Әриш
Мусковит - $\text{K}_2\text{O} \cdot 3\text{Al}_2\text{O}_3 \cdot 6\text{SiO}_2 \cdot 2\text{H}_2\text{O}$	Эндоэффект	750 - 850	Дегидратланиш
	Эндоэффект	1020 – 1090	Кристалл панжара парчаланиши
Биотит - $\text{K}(\text{Mg}, \text{Fe})_3[\text{AlSi}_3\text{O}_{10}] \cdot (\text{OH}, \text{F})_2$	Эндоэффект	1160	Кристалл панжара парчаланиши
	Экзоэффект	1200	Янги кристалл модда ҳосил бўлиши
Брусит - $\text{Mg} (\text{OH})_2$	Эндоэффект	400-550	Дегидратланиш
Ксонотлит - $6\text{CaO} \cdot 6\text{SiO}_2 \cdot \text{H}_2\text{O}$	Эндоэффект	775-800	Дегидратланиш

Такрорлаш учун саволлар

1. Термография усулиниң назарий асослари ким томонидан ишланган?
2. Термография усулига оид термик анализ усулларини сабаб беринг.
3. Термик анализ деб қандай таҳлил турига айтилади?
4. Доломит минералиниң термик таҳлилига оид вақт-ҳарорат диаграммасини чизинг ва ундаги эгри чизиклар ҳолатини тушунтиринг.
5. Дифференциал термик анализ табиатини очиб беринг.
6. Моддаларда содир бўлаётган қандай жараёнлар комплекс термик анализ орқали аниқланади?
7. Моддаларни қиздириш жараёнида дериваторграфик анализ орқали қандай параметрлар аниқланади.
8. Эндотермик эфект қандай рўй беради?
9. Моддаларда экзоэфект қандай рўй беради?
10. Силикат ва зўргасуюловчан материалларни таҳлил қилишда термография қандай вазифани ўтайди?
11. Термография усулларининг қандай амалий имкониятлари мавжуд?
12. Дифференциал термопарали Курнаков пиromетрининг схемасини беринг?
13. Дериваторграф қаерда ва қачон яратилган?
14. Тензиметр орқали қандай параметр аниқланади?
15. Газоволюметрия таҳлили орқали қандай параметр ўлчанади?
16. Дилатометр деганда қандай термик асбоб-ускуна тушунилади?
17. Термография усули препаратлари қандай қилиб тайёрланади?
18. Усул имкониятларини сабаб беринг.
19. Термография усули қандай афзалликка эга?
20. Термография усулиниң камчиликларини кўрсатинг.

БЕШИНЧИ БОБ

РЕНТГЕНОГРАФИК ТАҲЛИЛ

39-§. Рентген нурларининг хоссалари

Таҳлилда маълумки, энг биринчи физик-кимёвий ва фазовий таҳлил усули микроскопия номи билан аталган. Кейинчалик бошқа усуллар, масалан, термография келиб қўшилди.

1895 йили физика фанида оламшумул воқеа рўй берди. Шу йили улуг немис физиги, Нобел мукофотининг биринчи лауреати, профессор В.К. Рентген томонидан кўз илғамайдиган янги нур “X” борлиги қайд этилди. Бу нурлар кейинчалик олим шарафига рентген нурлари деб аталди.

1912 йили Лауз ва унинг ҳамкасабалари томонидан рентген нури дифракцияси кашф қилинди. Натижада фазаларни тўғридан-тўғри идентификация қилишга имкон берадиган энг ишончли рентгенофазовий анализ усули яратишга муваффақ бўлинди.

Рентген нурларини регистрация қилувчи ионизацион ва сцинтиляцион счётчикларнинг пайдо бўлиши ва такомиллаштирилиши, фотография усули яратилиши ва унда фокусловчи камера-монохроматорларнинг тараққий эттирилиши орқали фазовий анализ чегаралари кенгайтирилди.

Рентген нурларининг кашф этилиши, яратилган турли усул ва жиҳозларнинг қўлланилиши физика, кимё, тиббиёт ва айниқса, техника фанлари (металлар технологияси, металлургия, машинасозлик)га имкониятлар очиб берди.

Рентген нурлари $0,01 \text{--} 0,00001 \text{ мк ёки } 10^2 \text{--} 10^{-1} \text{ А}$ тўлқин узунлигига эга бўлиб, улар ёруғлик нурлари каби электромагнит табиатга эга. Улар ижобий ядро ва салбий электронлардан ташкил топган атомга доимий осциллировкаланувчи кучи каби таъсир этади. Электрон ва ядро бир яқинлашади, бир узоқлашади. Натижада атомнинг ўзи тушаётган рентген нури тўлқин узунлигига нурланади. Алоҳида атомлардан чиқарилаётган нур тўлқинлари ёйи бир-бираига қўшилади ва

ёйилган тұлқинлар фронтини ҳосил қиласы. Атомларнинг панжараларидан ёйилган күпгина тұлқинлар ичида фақат кузгудан қайтарилиш қонунига бўйсунувчиларигина сақланиб қолади. Айнан қайтган нур ва атомли занжир ўртасидаги бурчак худди занжир ва тушаётган нур орасидаги бурчак сингари бўлиши керак. Ҳажмий кристаллар учун бу таъсвир мураккаблашади.

Рентген нурлари биринчи марта Рентген томонидан иккита электрод кавшарланган шиши нағчадан иборат ҳавони 10^{-5} мм симоб устуни босимида сўриб олиниши ва ундан электр токи ўтказилиши орқали ҳосил қилинган. Ўрнатилган электродлардан ўзига хос, кўзга кўринмайдиган нурлар чиқиши қайд этилган.

Рентген нурлари квант нурлари қаторига киради, таъсири гамма нурлари кабидир. Бу нурларнинг ҳиди йўқ. Улар рангизиз бўлиб, буюмлар ичига кириши, сингиш, тарқалиш, ёритиш, фотокимёвий ион ҳосил қилиш, биологик таъсир кўрсатиши каби хосса - хусусиятларга эга.

Рентген нурининг турли модда ва жисмлар ичига кириш хусусияти нур тұлқинларининг узунлигига боғлиқ. Агар нур таркибида “қаттиқ”, яъни тұлқин узунлиги кичик нурлар кўп бўлса, ичига кириш “юмшоқ” (тұлқин узунлиги узун) нурларга нисбатан кўпроқ бўлади.

Рентген нурларининг интенсивлигиги турли модда ва жисмлардан ўтаётганда ўзгаратади. Бу уларнинг қалинлиги, қаттиқлиги, солиштирма оғирлиги ва кимёвий тузилишига боғлиқ. Газ ва ҳаво рентген нурларини сингдирмай ҳаммасини ўтказиб юборади. Лекин барий сульфат ёки қўрғошин кўп нур ўтказмайди. Шунинг учун улар рентген нурларидан сақланиш учун тўсиқ сифатида ишлатилади.

Рентген нурлари модда ёки жисм томонидан ютилганда, улар иккинчи даражали рентген нурларини чиқарадиган манбага айланиб қолади.

Рентген нурларини олиш замонавий тузилган аппаратларда амалга оширилади, лекин уларнинг пайдо бўлиши бир хил тизимга – рентген трубкасида катодга юқори кучланиш берилганда ўзидан электронлар – гамма нурлари чиқарилиши, уларнинг қутбланган антикатодга куч билан урилиши натижасида катта тезликда заррачалар отилиб чиқишига асосланган.

40-§. Рентген нурларининг дифракцияси

Рентгенография — рентген нурлари ва уларни металл, металл қотишмалари, кимёвий бирикма, минерал ва турли хом ашёларни тадқиқот қилиш фани. У юқорида санаб ўтилган моддаларнинг атом, суб-, микро- ва макротузилмалари ҳамда кимёвий таркибини аниқ билишга хизмат қиласи. Кимёвий модда ёки минерал атом даражасидаги тузилиши текширилаётганда кристалл панжараларининг тури ва параметрларини аниқлаш имконини беради. Унинг асосий ютуқлари кристаллар, кристалл сингониялари, кристалл панжаралари каби терминларга келиб тақалади.

Рентген нурларининг кристалл моддалар атомларига урилиб тарқалиши Москва университетининг профессори Г.В. Вульф ва инглиз физиклари ота-бала Г. ва Л. Брэгтлар томонидан биринчи маротаба ўрганилган. Қайтган нурларни, олимларнинг фикрича, кристаллдаги атомлар текислигидан қайтган деб ҳисоблаш мумкин.

Кристаллардаги рентген нурлари дифракцияларини баён этишининг қулагай усулини ота-бала Г. ва Л. Брегглар топишган. Уларнинг формуласи

$$n\lambda = 2d \cdot \sin\theta$$

булиб, бу ерда, n -яхлит сон бўлиб, у $1,2,3\dots$ нурларининг қайтиш тартибини беради;

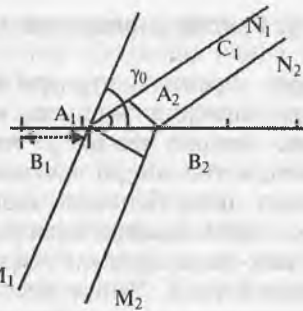
λ -рентген нурлари тўлқин узунлиги, A^0 ;

d -кристалл панжарарадаги атомлар юзаси орасидаги масофа;

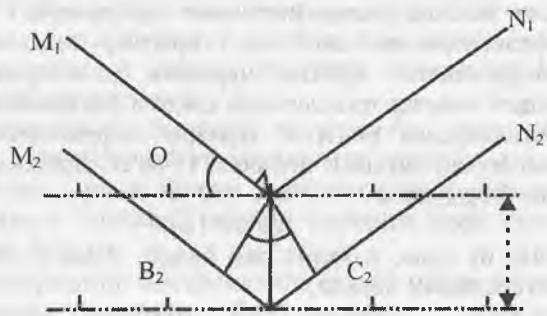
θ - атом юзасига тушаётган рентген нурлари тушиш бурчаги.

Юқорида берилган tenglama рентгенотузилмавий ва рентгеноспектрал анализлар учун асосий ҳисоблаш формуласи бўлиб, у дифракция натижасида оғган нурларнинг йўналиши кристалл панжара тузилишига ўта боғлик эканлигидан далолат беради.

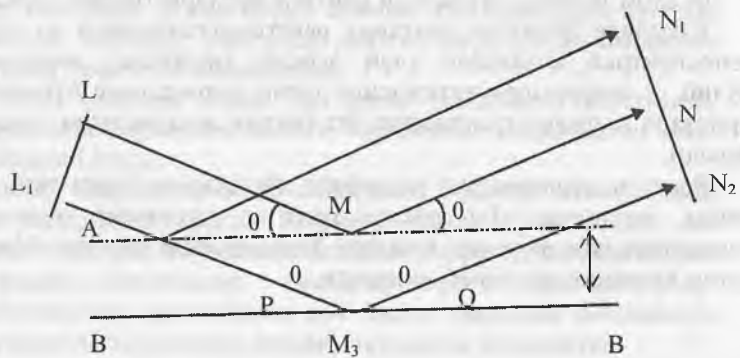
Рентген нурларининг синдириш кўрсаткичи бирга тенг деб қабул қилинган. Бу рақам рентген нурининг кристалл ташқарисидаги ва унинг ичидаги йўналишлари бир хил бўлади деган холосани келтириб чиқаради.



39-расм. Атомлар қатори дифракцияси (Лауэ тенгламаси ечимиға).



40-расм. Вульф-Брэгглар тенгламаси ечимиға оид.



41-расм. Атом текисликларидан қайтган рентген нурлари дифракциясини ҳосил қилиш схемаси.

Рентген нурларининг дифракцияси масаласи Лауэ (39-расм) ва Вульф-Брэгг (40-расм) схемалари ва тенгламалари орқали яхши тушунилади. Шунинг учун бу ўта муҳим масалага алоҳида тўхтаб ўтамиш.

39-расмда кристаллда “в”периодига эга бўлган атомларга $M_1 A_1 N_1$ ва $M_2 A_2 N_2$ нурлари йўналтирилганлигини кўриш мумкин. Агар $M_1 A_1 N_1$ пл түлқин узунлиги қиймати $M_2 A_2 N_2$ дан катта бўлса, шу йўналишда дифракция рўй беради. Фарқни қўйидаги тенглама билан изоҳлаш мумкин:

$$A_1 C_1 - A_2 B_2 = n\lambda.$$

Ўз навбатида:

$$A_1 C_1 = b \cos\phi_n \text{ ва } A_2 B_2 = b \cos\phi_0,$$

$$n\lambda = b(\cos\phi_n - \cos\phi_0), \text{ бу ерада } n=0,1,2,\dots$$

Уч координатали решеткада дифракция амалга ошиши учун бундай тенгликлар учала фазовий координаталар бўйича бажарилиши зарур:

$$a (\cos \alpha_n - \cos \alpha_0) = n\lambda,$$

$$b (\cos \beta_m - \cos \beta_0) = m\lambda,$$

$$c (\cos \gamma_p - \cos \gamma_0) = p\lambda,$$

бу ерда, a , b ва c - x , y ва z ўқлари бўйича решетка даври;

α_0 , β_0 , ва γ_0 - x , y ва z оралиғидаги бурчаклар;

α_n, β_m ва γ_p - дифракцион нур йўналишлари оралиғидаги бурчаклар.

Юқорида берилган дифракцияга оид уч тенглама Лауэ тенгламалари деб ҳам аталади.

Уч ўлчамли кристаллар панжарасини рентген нурларини қайтарувчи параллел юзаликлардан ташкил топган деб фараз қилишимиз мумкин. У ҳолда сеткадаги дифракция $m=n=0$ бўлиб, Лауэнинг икки шарти қўйидагича бўлади:

$$\cos \alpha_n = \cos \alpha_0,$$

$$\cos \beta_m = \cos \beta_0.$$

40-расмдан маълумки, $M_1 A_1 N_1$ нури $M_2 A_2 N_2$ нурига нисбатан $B_2 A_2 + A_2 C_2$ узунлигига қисқароқ ўтади. Аммо $B_2 A_2 = A_2 C_2 = d \sin\theta$, яъни дифракцион эффектнинг пайдо бўлиши зарур:

$$2 d \sin\theta = n\lambda,$$

бу ерда, $n=1,2,3,\dots$. Бу нарса Вульф-Брэглар тенгламасини ўзгинасадир.

Бир хил атомли юзаларнинг тўплами рентген нурларига нисбатан нур қайтариши тўла бўлмаган бир қатор кўзгуларни

намоён этади. Нурнинг бир бўлаги юқоридаги юзадан қайтгач, пастроқда жойлашган юзалардан қайтган нурнинг бошқа бўлаклари ҳисобига кучаяди. Бундай кучайиш фақат бир ҳолатда, у ҳам бўлса, ҳар қандай текисликдан қайтган нурларнинг ўтган йўли бутун сон п га teng бўлса, рўй беради (41-расм).

Бу ҳолда рентген нурларининг интерференцияси содир бўлади. Дифракцион анализ, қайси усулда (кўпинча фотоплёнкада) қайд этилганидан қатъи назар, қаттиқ моддаларнинг атом тузилишини ўрганишга имкон беради.

Рентген нурлари ёрдамида Брегг, Н.В.Белов, Курдюмов, Жданов ва бошқалар томонидан деярли ҳамма қаттиқ моддаларнинг тузилмаси ўрганилган. Ҳар бир кристалл тузилма ўзининг асосида баъзи “ғиштча”лардан - оддий ёки элементар ячейкага эга. Уларнинг учала фазовий координат бўйича давомсиз такрорлашлар натижасида кристаллнинг ҳамма бўшлиқлари тўлдирилиши рўй беради.

Қаттиқ моддаларнинг атомларини қайси тартибда жойлаштириш унинг физикавий хоссалари учун муҳимдир. Атомнинг кимёвий табиатидан кўра, шу тузилма факторлари аҳамиятлироқдир. Графит ва олмос каби яхши таниш мисолларни келтирсан сўзимиз тасдигини топади. Улар бир навли атомлардан ташкил топган, лекин тузилмалари ҳар хил бўлгани учун хоссалари ҳам турлича. Олмосда углерод атомлари октаэдрик тузилмани ҳосил қиласди. Олмоснинг атомлари уч ўлчамли сеткаларни ташкил этади. Бу эса унга юқори қаттиқлик ва шаффоффликни ато қиласди. Графитда эса углерод атомлари гексагонал тузилмани ҳосил қиласди. Унда баъзи атомлар юза бўйлаб мустаҳкам ва тангасимон жойлашган бўлиб, бир-бiri билан (мустаҳкам юзалар) кучсиз боғланган бўлади. Бу ҳол графитнинг мустаҳкамлигини ва шаффоффлигини кескин камайтиради.

41-§. Рентген нурларининг олиниши

Катод нурлари, яъни электронлар оқимининг рентгеннинг электрон трубаларида, баъзи металлар юзасини бомбардимон қилишда рентген нурлари ҳосил бўлади. Электрон боғлари манбай бўлиб трубкадаги вольфрамдан қилинган спирал хизмат қиласди, у 8-12 вольт қувватда ишлайди. Рентген нурлари манбай эса антикатод. Электронларнинг тўсиқларсиз

ҳаракатини таъминлаш учун $1,33 \cdot 10^{-4}$ - $1,33 \cdot 10^{-6}$ нм⁻² (10^{-5}) 10⁻⁷ мм симоб устуни) вакуумда ушлаб турилади. Электродларга бериладиган кучланиш электронларини антикатодга бериш ҳаракат тезлигига шароит яратади. Модда аноди ва анод таркибига электроннинг урилиши тезлигига рентген нурларининг хоссалари боғлиқ.

Рентген нурлари табиати худди кўринадиган ёруғлик нурларига ўхшашиб, фақат рентген нурларининг тўлқин узунлиги нисбатан кичик ва юмшок нурларда 6-60 Å° ни, қаттиқ нурларда 0,6-0,06 Å° ни ташкил этади. Аноддан келаётган рентген нурларининг оқими (“оқ” рентген ёруғлиги) нурларининг турли тўлқин узунликларида ташкил топган. “Оқ” рентген нурлари турли антикатодда ташкил топишидан қатъи назар ва пленкани тўла қоралашишни таъминлайди, яъни нурнинг тўла спектрларни ҳосил қиласиди. Одатий нурланишда эса алоҳида чизиқли спектрини беради ва у материал - антикатоднинг кристалл панжараси тузилишига боғлиқ. Катод электрони ўзининг бир қисм энергиясини антикатод материали атомларига беради, бунда атом ядроидан узоқроқдаги орбиталарга электронларнинг сакраши кузатилади. Олдин ютилган энергия эса монокроматик нурланиш шаклида орбитадан орбитага ўтиш жараёнида ажralиб чиқади.

Бир неча линиялардан ташкил топган нурланиш электронларни бир орбитадан бошқага ўтишидан юзага келувчи рентген нурларини ифодалайди. Улар берилган элемент - антикатод учун аниқ бўлади ва уни одатий спектрларини пайдо этади. Одатий линиялар сериялар ташкил этади ва K, L, M ва бошқа ҳарфлар билан белгиланади. Линия ичидаги сериялар $K_{\alpha_2}, K_{\alpha}, K_{\beta}$ лар билан белгиланади. Одатда, K_α- линиясинг дуплетидан фойдаланилади. Қолган линиялар эса фильтрланади. Монокроматик рентген нурланишини олиш учун трубка антикатоди мос равища молибден, родий, темир, мис, хром, никел, кобальтдан тайёрланади, “оқ” рентген нурланишини олишда платина ёки иридий ишлатилади. Масалан: Cu - мис. Тартиб рақами 29 : Ядро: протон + 29, электрон - 29 (17-жадвал).

Мис элементининг электрон конфигурацияси

17-жадвал

Серия	K	L	M	N	P
Қобиг	1s	2s2p	3s3p3d	4s4p4d4f	5s5p5d5f5g
	2	2 6 8	2 6 10 18	1	

Рентген нурлари текширилаётган моддадан ўтаётганда унинг атомларини ионизациялашга сабабчи бўлади. Ионизация ходисасидан ионизацион счётиклар ва камераларда фойдаланилади. Агар ионизацион камера туйинган ток режимида ишлаётган бўлса, бу ҳолда пайдо бўлган ионизацион ток микдори рентген нурлари интенсивлилигига пропорционалдир. Амалиётда у ўзининг қўлланишини ҳозирги кунда сцинтиляцион счётиклар томонидан сиқиб чиқарилаётган Гейгер – Мюллер счётикларида топган.

Ёруғлик нурларига ўхшаш рентген нурлари фотопленкага нисбатан катта қалинликка эга бўлган ва икки томони маҳсус қатлам билан қопланган рентген плёнкасининг фотоэмульсияси таркибига кирувчи бромли кумуш моддасини парчаланишига олиб келади. Рентген нурлари кадмий сульфати, цинк сульфати ва бошқа моддаларга таъсир эттирилганда уларнинг нурланиши, яъни флуоресценциясига сабабчи бўлади. Флуоресценция ҳодисаси рентгенотузилмавий анализнинг назорат экранлари ҳамда нурланувчи рентгенотехниканинг экранлари ни ясаш ва эксплуатация қилишда ишлатилади.

42-§. Кристалл панжара текисликлариаро масофани ҳисоблаш

Турли бирикмаларни кристалл панжара юзаси орасидаги масофа Вульф-Брэгг формуласи ёрдамида ҳисобланади.

Бунда модданинг ҳамма атомлари кристалл юза бўйлаб бир-биридан паралелл ва teng узоқлиқда жойлашганлигини намоён қиласди. Кўйидаги схемада (40 расм) тенглама яққол кўринади.

N_1 ва N_2 нурлари юришидаги фарқ $PM_2 + M_2Q$ га teng.

$$PM_2 = M_2Q = d \cdot \sin \theta$$

$$\text{максимум шарти } p\lambda = 2d \cdot \sin \theta,$$

бу ерда, d- юзалар орасидаги масофа; θ -йўналтирилган нур ва нур қайтиш юзаси орасидаги бурчак; λ-рентген нурларининг тўлқин узунлиги; n-нур қайтариш тартиби (яхлит сон: 1; 2; 3; ..., n).

Умуман олганда, рентгенография усулларида кристалл панжара текисликлари орасидаги масофа роли катта. Усулнинг асосида ҳам рентген нурларининг шу кристалл панжарасига тушганда дифракцияланиши ётади. Бундай нурлар кристалл ёки аморф қаттиқ модда орқали ўтганда унинг атомларидаги электронларга катта таъсир кўрсатади. Бу таъсир кристалл тузилиши моддалар учун ўта сезиларлидир. Натижада электронлар тебранма ҳаракати вужудга келади ва улар иккиласми тўлқин манбаига айланади.

Дифракциянинг кристалл панжарасидаги ҳолати ва ҳисоботи кристаллар ҳолатининг параллел юзалар тизими кўринишида талқин қилинишига келиб тақалади. Ҳар бир бундай юза ёки текислик панжаранинг кўп сонли боғловчи нуқталари орқали ўтади ва улар сеткасимон юза деб аталади. Сеткасимон юза уларнинг устига тушаётган рентген нурлари ёки тўлқинларини кўзгусимон қайтишини таъминлайди. Дифракцион максимумларнинг пайдо бўлиши параллель сеткали юзалардан қайтаётган тўлқинларнинг бир-бирини интерференция ходисаси орқали кучайтиришига боғлиқ. Бу талаб дифракцияланувчи тўлқин узунлиг (λ) ва сеткали юзага тушаётган нур бурчаги (v) нинг орасидаги маълум даражада боғланишига боғлиқ.

43-§. Текшириш усуллари

Рентген нурлари ёрдамида бажариладиган рентгенографик текшириш усуллари жуда кўп. Моно- ва поликристаллик силикат моддаларини текширишда, асосан, қуйидаги усуллар қўл келади:

1. Жойидан қўзғалмайдиган монокристалларни текшириш усули - бунда тасвир фотоплёнкали тасмага қора нуқталар шаклида қайд этилади. Бу усул адабиётда Лауэ усули ҳам деб аталади. Одатда текшириш учун ўлчами 0,2-1 мм бўлган монокристалл олинади.

2. Айланувчан монокристаллни текшириш усули ёки Лауэ методи - фотоплёнкада доғлар шаклида тасвир олинади. Наму-

на текшириш пайтида камеранинг ўқи атрофида 1 минутда 0,2-2 маротаба айланади. Бу ҳолатда элементар ячейканинг ўлчамлари ва шаклини аниқ топиш имконияти пайдо бўлади;

3. Кукун усули - фотоплёнкали цилиндрик кассетага маҳсус эгри чизиқлар ҳолида қайд этилади. Ионизацион рентгенограмма ҳолида олиниши ҳам мумкин. Бу ҳолда фотоплёнка ролини дифрактометрдаги счётчик тешиги бажаради. Дифракцион шакл секин — аста, счётчик айланишида пайдо бўлувчи ва кетма-кет келувчи чизиқлар ҳолида олинади.

4. Рентгенодефектоскопия - газли ғоваклик, дарз кетиш каби ҳолатлар қайд этилади.

Тиббиётда қўлланиладиган асосий усуллар қаторига куйидагилар киради:

1. Рентгеноскопия - бемор экран билан рентген трубкаси оралиғида туради. Натижа зичланган жойни қорайтириш ҳолатида қайд қилиш билан тугайди.

2. Рентгенография - текширилаётган аъзонинг сояси рентген плёнкасида тасвирланишига асосланган.

3. Флюорография - аъзо тасвири маҳсус аппарат билан суратга олинади, бунда пленка автоматик ҳолатда суриласди.

4. Электронорентгенография - текширилаётган аъзонинг сурати ҳар хил аппаратлар ёрдамида асосан оддий оқ қофозга олинади.

44-§. Рентгенографияда қўлланиладиган асосий ускуналар

Жаҳон минераллари ва кристаллографлари томонидан деярлик барча табиий ва маълум бўлган сунъий минералларнинг тузилиши микроскопик таҳлил асосида 1900 йил атрофида ўрганиб бўлинди. Натижада қаттиқ жисм атомлари тузилмаси ҳажмий тўғри, унда атомлар маълум тартибда жойлашганлиги таъриф этилди. Лекин 1921 йилда эса рентген нурлари ёрдамида уларни қайта текшириш бошланди. Бу амалий текшириш фан ва техникани ниҳоятда бойитди, минеролог-кристаллографларнинг шу онга қадар ҳам тўғри талқин ва башорат қилишганликларини тасдиқлади.

Кейинги йиллар давомида рентгенографияни фан ва техникада қўллаш бўйича улкан тадқиқотлар олиб борилди. Рентгенографияга оид аппаратларни қўллаш тиббиёт, металлургия, кимё, машинасозлик, самолётсозлик, ракетасозлик каби соҳаларида кўпайди.

Амалий рентгенографияда ҳам катта үзгаришлар содир бўлди. Рентгенография аппаратларининг сезувчанлиги оширилди, ҳажми ва оғирлиги эса кичрайтирилди. Рентген анализи усувлари такомиллаштирилди.

Ўзбекистонлик олимлар – проф. И.С.Канцпольский, Н.А. Сирожиддинов, Б.И.Нудельман, Т.А.Отақўзиев, А.А.Исматов тадқиқотларида ҳам амалий рентгенография усули катта ўрин эгаллади. Паст ҳароратларда пишувчи цемент, керамика ва ситаллар олишда унинг хизмати, ниҳоятда катта бўлди.

Фотоусул ишлари учун мўлжалланган тузилма таҳлили аппаратлари. Уларга биринчи навбатда, УРС-60 ва УРС-55 аппаратлари киради:

УРС-55 аппарати. У 55квли кучланишда ишлашга мўлжалланган. Бу стол усти аппарати бўлиб, унда тузилма таҳлили ўтказиш мумкин.

УРС-55 аппаратининг муҳим томонлари сифатида тезкор столнинг кичикилиги, юқори қувватли кенотроннинг йўқлиги ва бошқарув пульти (тўғриловчи вазифасини рентген трубкаси бажаради)нинг ихчамлини айтса бўлади.

УРС-55 аппарати БСВ-2 типидаги чизиқли фокус ва торировкалланган катодли маҳсус электрон трубка билан ишлашга мўлжалланган.

УРС-60 аппарати. У 120 ва 220Вли иккита тўғриловчи лампалар - кенотрон ва 60 кв кучланишда ишлаш учун мўлжалланган.

УРС-60 аппарати - фотометрик усулга мўлжалланган. Унда анод токини стабиллаштирувчи стабилизатор борлиги учун аппаратни ионизацион усулни қайд этиш учун ишлатса бўлади. Иккита трубкада бир йўла ишлаш мумкин. БСВ-2 да рентген нурларини чиқарувчи деразача сони 2 та, БСВ-4 да чиқиши деразачаси 4 та ва БСВ-6 да чиқиши деразачаси 2 та. Шу трубкалар билан ишланса, қурилма хавфсиз бўлади.

Аппаратда сувни камайтирилиши ёки сув келмаслик ҳолатларида, юқори вольтли кабел ўчиб қолганида, анод токи миқдорининг нормадан ошиб кетганида блокировка қилувчи қурилма бор. Анод токини феррорезонанс ва электрон стабилизатор СН-2 ёрдамида барқарорлаштириш кўзда тутилган. Аппарат ток кўрсаткичларининг +7 дан -15% гача тебранишида ишончли ишлайди. Қурилма иш ва тезкор стол шаклида. Тезкор стол ичига генератор мосламаси мавжуд.

УРС-70 қурилмаси. Универсал рентгентузилмавий қурилма. 50 гц частота, 127 ёки 220 в күчланишда, ўзгарувчан ток манбаида ишлашга мосланган.

Рентген трубкани қувват олиш схемаси ярим түлкінли (бир кенотронли ёки кенотронсиз). Трубкадаги күчланиш амплитудаси 70 кв гача, трубкадан ұтәётган ток 30 ма.

Курилма БСВ типидаги шишилди электрон трубка билан ишлашга мосланган. Бошқа типдаги трубкалар, электрон ва ионли (трубка полюсини ерга улаб қўйиш шарт) трубкаларда ишлаш имконияти бор. КРМ-150 типидаги кенотрон тўғрилаш учун ишлатилади.

АРС-4 аппарати. У портатив, жуда тор нур боғларини олиш учун ишлатилади. Аппаратда БСВ-5 (чиқиш сони-2) микрофокус трубкадан фойдаланилади. Трубка аноди катта күчланиш остида бўлиб, катод ерга улаб қўйилган. Корпуснинг катод чўглаш иплари ҳимояланган ва қаршиликлар ёрдамида биритирилган. Бунда анод токи үтишида керакли күчланиш ҳосил бўлади.

Аппарат 50 гц частотада ва 127 ёки 220 в күчланишда бир фазали манбага улашга мослаштирилган. Трубкадаги қувват амплитудаси 45 кв; трубкадан ұтывчи ток - 0,45 ма атрофида; максимал қувват - 0,3 квт атрофида бўлади. Трубка аноди махсус насос ёрдамида трансформатор ёғида совитилади.

Рентгенограммалар юқори ва паст ҳароратларда, вакуум ва босим остида олиб борилиши мумкин. Юқори ҳароратларда рентгенографик шаклларни олиш юқори ҳароратли фазавий ўзгаришларини қайд қилиш учун, модданинг юқори ҳароратда қандай параметрларига эга эканлигини билиш учун, уларнинг иссиқликдан кенгайиш коэффициентларини аниқлаш учун олиб борилади:

1. Юқори ҳароратли рентген жиҳози УРВТ-1300. Унда наимунани иси-тиш аппаратда ўрнатилган электр печи ёрдамида амалга ошади. Бу жиҳоз Дебай методи ёрдамида поликристаллик моддаларни вакуумда хона ҳароратидан то 1300°C гача текширишга имкон беради. Агар тажриба инерт гази ёки атмосферада олиб борилса, у ҳолда ҳарорат 1100°C кўтарилиши мумкин;

2. Юқори ҳароратли рентген жиҳози УРВТ-1500. Бу аппарат ёрдамида вакуумда тажрибаларни 1500°C гача олиб борса бўлади. Тажриба ҳаво ёки инерт гази атмосферасида олиб борилса, у ҳолда ҳарорат 1200°C гача кўтарилиши мумкин.

Рентгенографик анализни паст ҳароратда ҳам олиб бориш мүмкин:

1.ДРОН-1, УРС-50ИМ аппаратларига паст ҳароратли күшимчай УРНТ-180 ўрнатилади. Бу тиргач ёрдамида тажрибаларни минус 180°C гача олиб бориш тавсия этилади. Намуна сифатида кукун ёки шлифдан фойдаланилади. Намунани совитиши азот парлари ҳисобига бўлади.

2.ДРОН-1 га КРН-190 приставкасини ҳам ўрнатиб тажрибаларни минус 190°C гача ўтказиш мүмкин. Намуналар бу жиҳозда вакуумда иссиқлик контакти ҳисобига совийди.

ДРОН-серияли аппаратлар: ДРОН-1, ДРОН-1,5, ДРОН-2, ДРОН-4, ДРОН-УМ1-0,1 ва хоказо. Рентген дифрактометри умумий вазифаларни бажаришга мўлжалланган бўлиб, у ионизацион шаклни электрон ҳисоблаш машиналарига уланган перфотасмага ҳам тушуриши мүмкин. Бундай аппаратлар юқори унумдорликка эга. Рентген трубкасидаги максимал кучланиш 50 кВ, максимал ток эса 60 mA.

Адабиётда ДРМк-2.0—кўп каналли маҳсус рентген дифрактометри, ДРД-4- дистанцион бошқариладиган рентген дифрактометри, ДАРМ-2.0 – ЭҲМ дастурига мўлжалланган автоматик рентген дифрактометри, АРС-4 – тузилмавий текширишга мўлжалланган портатив рентген аппарати, МАРС-1 ва МАРС-2 – тузилмавий анализга мўлжалланган кўп фокусли рентген аппарати ва бошқалар борлиги ҳамда уларнинг ишлаш асослари ёритилган. ДРОН ва УРС ларга УРНТ-180, КРН-190 ўрнатилса, паст ҳароратда иш олиб бориш мүмкин. Юқори ҳароратда УРВТ-1300 ва УРВТ-1500 лар қўлланилади.

Тиббиётда қўлланиладиган рентген ускуналари. Улар уч синфга ажралган:

1. Россияяда чиқарилган Рум-20 ва Рентген-50, Германияда чиқарилган Тур-Д-701 ва Тур-Д-1001, Чехия ва Словакияда яратилган Дуролюкс ва Венгрияда чиқарилган ЕДР-750 аппаратлари. Улар уч фазали олти ярим ўтказгич тўғриловчиларга эга бўлиб, максимал юқори қучланиши 125-150 кВ, анод токи эса 600 дан 800 mA гачадир. Бундай аппаратлар юқори даражада автоматлашган универсал штатив, телевизор приёмники, кино ва флюорограф камераси билан таъминланган.

2.Россиянинг Рум-10 ва Рум-22, Чехия ва Словакиянинг Хиродур-125 ва Мегамета-125, Венгриянинг Диагномакс-125 ва Неодиагномакс-125 аппаратлари. Бу синф аппаратлари бир

фазали ва икки ярим ўтказгич түғриловчи тизимга эга бўлиб, кучланиши 125-150 кВ ва токи 400-500 мА.

3. Россиянинг Рентген-30, Урд-Д-110 ва Рум-5, Германиянинг Тур-Д-350, Чехия ва Словакиянинг Дурамета аппаратлари. Улар кам қувватли, юқори кучланиши 125 кВ ва анод токи 125-300 мА га тенг. Улар 220 ва 380 в электр тармоқлари учун чиқарилган.

45-§. Аппаратларнинг асосий қисмлари

Рентген аппаратларининг асосий қисмларига киради: рентген трубкаси, түғриловчи лампа - кенотрон, чўгланиш реостати, юқори вольтли трансформатор, чўгланиш трансформатори, бошқарув пульти ва унинг зинапояли автотрансформатори ва бошқалар. Кўйида уларнинг тузилишига оид маълумотлар берилади.

1. Рентген трубкалари БСВ-2, БСВ-4, БСВ-6 ва бошқалар. Б-ҳимояли қопламада, хавфсиз; С-тузилма таҳлили учун; В-сувли совитиш маъноларини англатади.

Рентген трубкаси рентген нурлари манбаи бўлиб, у тез учувчан электронларнинг йўлида жойлашган анод билан тўқнашуви натижасида юзага келади.

Рентген трубкаларида рентген нурларини юзага келиш учун кўйидагилар таъминланиши керак:

- Озод электронларни ҳосил қилиш;
- Озод электронларни катта кинетик энергия билан таъминлаш (бир неча мингдан то 1-2 млн. электронвольтгача);
- Анод атомлари билан тез учувчан электронларнинг ўзаро таъсири.

Рентген трубкалари белгиларига қараб қўйидагича таснифланади:

1) Озод электронлар олиш усули бўйича. Бунда трубка ионли ва электронли тарзда фарқланади. Ион трубкаларда озод электронлар совуқ: катодни мусбат ионлар билан бомбордировка қилиш натижасида олинади. Бу вақтда ионли трубка ичидаги 10^{-3} - 10^{-4} мм қўрошин столбасига тенг бўшлиқ ҳосил этилиши ва катодга юқори кучланиш бериб юборилиши шарт. Шундагина катоддан озод электронлар ажралиб чиқади ва идишдаги вакуум туфайли анод томон йўл олади. У анод атомлари билан жуда катта тезликда тўқнашади ва ниҳоят улардан рентген нурларининг ажралиб чиқишига сабабчи бўлади.

Электрон трубкада озод электронлар токда қиздирилган катоднинг термоэлектрон эмиссиясидан пайдо бўлади.

2) Вакуумни ҳосил қилиш ва уни ушлаб туриш усули бўйича. Бунда трубкалар қалайланган ва йиғма тарзда бўлиши билан фарқланади.

Қалайланган трубкаларда юқори вакуум трубка тайёрланадиган вақтнинг ўзида яратилади ва у ўзининг герметик корпуси (баллон)га кўра, ишлаш даврида вакуум ҳолатини сақлайди. Вакуумнинг ўзгариши трубкани ишдан чиққанлигини билдиради.

Йиғма трубкаларда бўшлиқ вакуум насос ёрдамида яратилади ва ушлаб турилади.

3) Ишлатилиши бўйича. Трубка материални ёритиш, тузилма таҳлили ва тиббий мақсадларда (ташхис ва даволаш мақсадида) қўлланилади.

4) Фокусининг катталиги (майдони) бўйича. Трубкалар нормал ($6\text{-}7\text{мм}^2$) ва ўтқир (мм^2 нинг бир неча юз ёки мингнинг улуши қисмича) фокус билан тайёрланади.

Тузилма таҳлили учун қалайланган электрон трубкалар ишлатилади. Унинг кўриниши БСВ-2 мисолида қўйида берилади (42-расм).

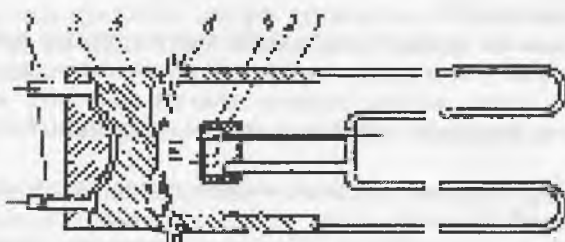
У шиша баллондан ташкил топган, унга иккита электрод киритилган: катод - қиздириладиган вольфрам симли спирал шаклида ва анод- тўла мисли трубка шаклида.

Шиша баллонда юқори вакуум (10^{-5}) 10^{-7}мм симоб устуни) ҳосил қилинади. Унда электронларнинг катоддан анодга бориши эркин харакати таъминланади. Катод иссиқлик ва кимёвий таъсиридан ҳамда электронлар орасидаги газли муҳитда чақмоқ ҳосил бўлишидан ҳимояланган.

Вольфрам спирал 2100-2200 μC гача токда қиздирилганда электронларни чиқаради. Трубка полюсига юқори кучланиш қўйилганлиги туфайли анодга катта тезлик билан интилади. Анод (анод кўзгуси) майдонига урилиб, электронлар тормозланади. Тахминан 1% атрофида кинетик энергия рентген нурларининг электромагнит энергияси тебранишига ўзгаради; қолган энергия аноддан ажралаётган иссиқликка сарфланади.

Тузилма таҳлили учун трубкадан чиқарилаётган нисбатан юмшоқ нур (1 \AA ва кўпроқ тўлқин узунлигига) шишада жуда кучли ютилади. Шунинг учун трубка баллонига рентген нурларини чиқаришни таъминлаш учун енгил элементлар (берил-

лий, литий, бор) дан ташкил топган гетан қотишимаси ёки бериллий металлидан ясалган дарча қотирилади (қалайланади).



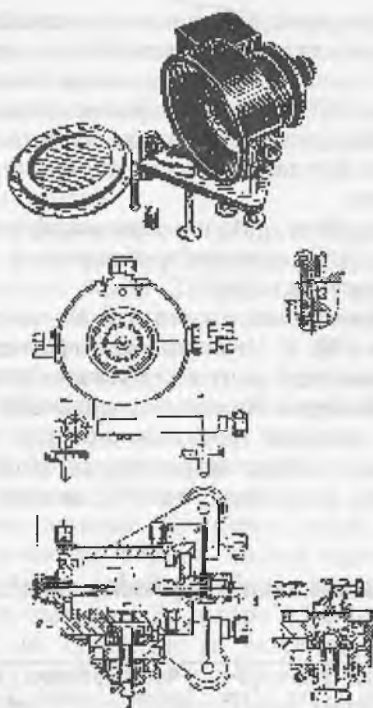
42-расм. Тузилма таҳлили учун ишлатиладиган БСВ-2-электрон рентген трубкаси: 1-балон; 2-катод; 3-анод; 4-йўналтирувчи қалпоқ; 5-мухофаза воситаси; 6-йўналтириш тешиклари; 7-совитиш тизими.

Электрон трубкадаги катод вольфрам спиралдан иборат бўлиб, кўпинча эмиссион ҳолатни ошириш учун торий қавати билан қопланади.

Спирал фокус қалпоқчасига жойлаштирилади. Қалпоқчанинг вазифаси трубка фокусини камайтириш ва катоддан анодга учаётган электрон пучок-арини торлантиришдан иборат. Трубка фокуси деб рентген нурлари ҳосил қилувчи электронлар тушадиган анод майдонига айтилади (фокус думалоқ ёки линияли шаклга эга).

Катод ярим цилиндр ичидаги винтли чизик кўринишида, баъзан спирал кўринишида фокусловчи чашка ичига жойлашган.

Анод - яхлит цилиндр кўринишида (кўпинча мисдан), юқори иссиқлик ўтказувчан материаллардан тайёрланади. Аноднинг ташки ён деворига электронларни тормозловчи пластинка антикатод прессланади. Тузилма таҳлили учун трубкадаги анод ёни 90°бурчакда анод ўқига нисбатан кесилган.



43-расм. РКД-57 камерасининг асосий қисмлари.

Құпроқ тарқалған анодлы трубка - антикатодлар хром, төмір, ванадий кобальт, никел, мис, молибден, вольфрам, күмуш ва марганецлардан тайёрланған бўлади. Электронларнинг анод кўзгусига урилишида катта миқдорда иссиқлик ажралади. Анодни ўта қиздириш вакуум бузилишига, чанглашиш тезлашишига, кўзгу ва анодни ҳам эришига олиб келади. Бунинг олдини олиш мақсадида анод оқиб турган сувда ёки ёғ билан узлуксиз равишда совитилади.

Трубканинг муҳим ҳолат кўрсаткичи унинг қувват чегараси бўлиб, у қуйидагича ифодаланади: $P = UI$ вт,

бу ерда, U - максимал юқори кучланиш, в ; I - трубка токи, амперда.

Қувват чегарасини ошириш мумкин эмас, сабаби анод қизиб кетади.

Трубка фокуси майдонини камайтириш иссиқлик чиқарувчи мөтталл ҳажмини камайтиради, шу туфайли трубка нинг қувват чегарасини камайтиришни тақозо қиласи.

Кўрилаётган БСВ-2 мисли антикатодли трубкага бериладиган энг катта қувват 700 вт га, солиширма қувват эса 48 вт/мм² га тенг. Бундай трубканинг нормал юзаси 700/48 = 14-15 мм² га тенг.

Кўрсатилган фокус юзада максимал қувват УРС-60 аппарати учун 60 квт бўлса, у ҳолда трубка токи $I \leq P/U = 700/60000 \leq 12$ ма дан ошмаслиги керак.

Тузилма кўрсаткичлари қуидаги 18 - жадвалда кетирилади.

2. Кенотрон (К). У - тўғирловчи сифатида хизмат қиласи ва кучланиш ўзгаришида рентген трубкани ўчириб қўяди. Кенотрон ион трубкалари билан ишлашда қўл келиши мумкин. Чунки ҳамма электрон трубкаларнинг ўзи тўғирловчи ролини ўйнайди, бироқ қийин шароитларда рентген трубкага бир йўналиш бўйича фақат битта ток ўтказилади.

Тузилмавий таҳлил трубкаларининг тавсифлари

18-жадвал

Трубка типи	Максимал қувват, вт	Нуртешниклари сони	Фокус формаси	Фокус ўлчами, мм	Фокус просквициси ўлчами, мм	Фокус майдонига солиширтмачаси	Интеграл интенсивлик, $\times 10^3$	Мисли анод кучланиши, кв	Максимал анод токи, ма
БСВ-2	700	2	тўғри	1,2x12	1,2x1,2	48	327		
БСВ-3	450	2	-"-	1x2,5	-	22		45	14
БСВ-4	120	4	айланма	3	3x0,3	17	88		
БСВ-5	20	2	-"-	0,040	0,04x0,04	4000			
БСВ-6	450	2	тўғри	25x5	2,5x0,5	36	304	45	14
БСВ-8	1000	2 1	-"-	1x12 0,1x12	1x1,2 0,2x12	83	454	50	40
БСВ-9	1500	2 1	-"-	2x12	2x1,2 0,2x12	63	170	50	60
БСВ-10	600	2 1	-"-	0,4x8	0,4x0,8 0,04x8	1900		45	24

3. Чўглаш реостатлари (K_{HK} , R_{HP}). Улар - кенотрон ва трубка катоди ток кучини бошқариш учун хизмат қиласи. Шаҳар тармогидаги катта бўлмаган тебраниш чўглаш токини

тебранишига олиб келади ва трубкадаги анод токини кучли равишида ўзгартиради. Чүгаш токини стабиллаштириш учун стабилизатор ишлатилади.

4. Юқори вольтли трансформатор (РР-55). Юқори кучланиш олиш учун хизмат қиласы. Биринчи обмотка АА автотрансформатордан ёки қувватни текис ўзгартирувчан қувват вариаторидан озиқланади.

5. Чүгаш трансформаторлари (ТНР и ТНК). Кенотрон ва рентген трубка симларини чүглантириш учун ишлатилади. Вольфрамли катодли иплар 2100°С гача ва ундан юқорида қыздырыш учун улардан 3-6 а ток ўтказилади. Бу ток чүгаш трансформаторидан кенотронни 10-15 в ли ва рентген трубкасини 6-8 в ли қилиб пасайтириш учун берилади.

6. Зинасимон бошқариш пульти автотрансформатори (АА)-юқори вольтли трансформаторни биринчи обмоткасининг юқори кучланиши ўзгаришини бошқариш учун ишлатилади.

7. Бошқарув пульти. Рентген аппарати махсус бошқарув пульти орқали бошқарилади. Бушқарув пульти рентген аппаратининг электр схемасини сиртқи электр тармоғи билан улайди. У ҳар турли ўлчов асбоблари билан таъминланган бўлиб, тармоқдаги ток кучланиши В, юқори кучланишли ток кВ ва ток қуввати мА ни кўрсатади ва регулировка қиласи. Унда юқори кучланиш, қувват, вақт ва ёруғлик каби параметрлар нинг созлиги ва носозлиги ҳақида хабар терувчи мослама мавжуд.

Рентген трубкасига йўналтирилган кучланиши ўлчаш рентгенотехникада мухим масала ҳисобланади. Уни шарли разрядник билан ўлчаш ўта оддий, қулай ва етарли даражада аниқлашга имкон берадиган усуудлар.

Рентген аппарати трубкасидан ўтаётган токни ўлчаш учун миллиамперметрдан фойдаланилади.

46-§. Фотоусулнинг рентген камералари

Текширилаётган кристалл моддасидан қайтган рентген нурларини дифракцион максимумларини фотоплёнкада қайд қилиш учун хизмат қилувчи қурилмалар рентген камералари деб аталади. Бундай камералар дифракцион максимумларни фотоплёнкада қайд қилиш учун хизмат қиласы.

Камералар фарқланади:

1. Махсус вазифали - алоҳида масалаларни ечиш учун РКФ-86 ва бошқалар ишлатилади.

2. Умумий вазифали камералар - күп масалаларни ечиш учун, одатда, Дебай камераси - РКД ва бошқалардан кенг фойдаланилади. Улар күпроқ тузилмасини ўрганиш учун мұлжалланган.

Камера типлари. Уларга қуидагилар киради:

1) РКД-57. Поликристаллардан дебаеграмм суратини олиш учун. У фазовий таҳлил, дисперлик даражасини аниқлаш, қатlam юзаси ҳолатини аниқлашга хизмат қиласы. Диаметри D-57,3 мм. Суратта олиш бурчак интервали 4-84°С (43-расм).

Намуна шакли ва ўлчами, камера конструктив шартлари: пластинка ёки юпқа цилиндр шаклда бўлиб, ўлчамлари 10x12x5 мм га тенг.

Айланиш: цилиндр намунани айлантириш мумкин. Плёнка жойлашиши - цилиндр юзаси буйича диаметри 57,3 мм ва баландлиги 24 мм.

РКД-57 камерасининг асосий қисмларини қуидагилар ташкил этади:

а) коллиматор—битта ёки бир нечта диафрагмадан ташкил топган бўлади. Улар тушаётган нурлар оқимининг күп қисмини тутиб қолади ва ингичка нур оқимини ўтказишга хизмат қиласы;

б) тубус-коллиматорнинг қаршисидаги тешикка ўрнатилган бўлиб, у дастлабки нурларни цилиндр деворидан ёйилишининг олдини олиш учун хизмат қиласы;

в) камера корпуси—рентген плёнкаси учун кассета вазифасини ўтайди.

РКД – типидаги рентген камералари 4° дан 84° гача бурчак остида қайтган нурларни қайт қилишга имкон беради. Плёнка камера корпусининг ички қисмига зич жойлашиб қолиши учун халқасимон пружиналар ёрдамида қотириб қўйилади.

Рентген камерасига рентген плёнкаси қўйиш чоғида ундан коллиматор ва тубус олиб турилади. Плёнка жойлаштирилиб маҳкамлангач камеранинг қопқоғи винтлар ёрдамида беркитилади. Шундан кейин камера рентген аппаратига – нур тушиш йўлига жойланади.

Камерада рентген нурларини қайд қилиш вақти турлича бўлиб, у тушаётган нурларнинг интенсивлиги, текширилаётган модда тузилмаси ва бошқа ҳолатларга боғлиқ. Хозирги кунда

цилиндрик рентген камераларида рентгенограмма олишнинг уч хил усули мавжуд.

РКФ-86. Дебаеграмм съёмкаси учун мўлжалланган. Фок-словчи, поликристалларни прицизион решеткаси даврини аниқлаш учун. $D=85,95$ мм, θ расмга олиш= $60-88^{\circ}$, 16×16 мм ўлчамдаги картонга ёпиширилган кукун ва камеранинг цилиндр юзаси бўйича айланмайди, цилиндр юзаси бўйича пленка ёйилади.

КРОС - дебаеграмм олиш учун. Қарши съемка учун. Поликристалл панжараси ўлчамларини прецизион аниқлаш, тузилмасининг мукаммаллик даражаси, кассета юзаси оралиғидан $25-100$ мм ли намуна юзасигача, $\theta=54-85^{\circ}$. Намуна ясси $50 \times 60 \times 25$ мм гача ўлчамда, айланниши мумкин, 150 мм диаметрли боғда перпиндикуляр ҳолатда кассета юзасига съёмка қилинади.

РКЭ - дебаеграмм олиш учун. Поликристалларнинг тажриба съёмкаси, $\theta=10-30^{\circ}$ фазовий анализда, $60-88^{\circ}$ панжара параметрларини аниқлаш учун, айланма, намуна ясси шаклда, диаметри 29 мм ва баландлиги $h=10$ мм.

РКСО - монокристаллар лауэграммасини олиш учун, айланиш йўқ, кристалларнинг симметриясини полихроматик нурланишда съёмка қилиш ва уларни йўналишини аниқлаш учун камеранинг оптик марказидан пленкагача бўлган масофа 40 мм; $\theta=2-30^{\circ}\text{C}$ ва $60-87^{\circ}\text{C}$. Намуна шакли - ихтиёрий. Кассеталар 120×100 мм да тўғри ва 100×80 мм қарши съёмкада.

РКВ-86. Монокристалл съёмкаси учун мўлжалланган. Лауэграмм айланиш билан, камера диаметри 86 мм, намуна шакли - ихтиёрий, $\theta=4-80^{\circ}$.

РКУ-86, РКУ-95 ва РКУ-114. Улар дебаеграмм олиш учун, фазовий таҳлил, монокристаллар занжири даврини аниқлаш учун хизмат қиласидилар. $\theta=4-85^{\circ}$, айланыш билан ва айланисиз пленка цилиндр юзаси бўйича.

КФОР - қайта панжарали фотография камераси, намуна шакли - ихтиёрий, съёмка ясси кассетада, - айланниши ҳам мумкин.

КМПС-вакуум камераси. Съёмкани қайд этувчи монокроматор фазовий таҳлил, поликристалл панжарасини аниқлаш учун. $D=171,9$ мм ёки $57,3$ мм; $\theta=12-89^{\circ}$ катта камерада; $\theta=3-30^{\circ}$ ва $60-87^{\circ}$ кичик камерада. Кукун картонга ёпиширилган, кўзғалмас.

КРС- рентгенографик топография учун монокристаллар тузылмасининг ҳақиқий даражани текшириш учун хизмат қилади. Монокристалл, намуна ўлчамлари $20 \times 10 \times 0,5$ мм дан $60 \times 20 \times 10$ мм гача.

Юқоридаги 43-расмда РКД-57 мисолида камераларнинг муҳим жиҳатларини кўриб чиқамиз. Камера қуйидаги асосий деталлардан ташкил топган:

1) Камеранинг асоси ва корпуси.

Учбурчак шаклидаги 1 асос учта винт ёрдамида ўрнатилади, бунда баландлик бўйича камера баландлиги бошқарилади. Камеранинг цилиндрлик корпуси 2 нинг иккита қопқоғи бор. Қопқоқ 3 корпусга маҳкамланган ва 4 қопқоқ эса олиниши мумкин.

2) Бирламчи нур боғларини чегараловчи коллиматор 5. Коллиматор бир нечта думалоқ ёки ёриқли диафрагмалардан ташкил топган.

3) Бирламчи нур боғининг ёритишидан пленкани ҳимоя қилади- 6.

4) Намунани ушлаб турувчи 7 ва марказлаштирувчи мослама 8.

Намунани ушлаб турувчи ўқли фазали конуссимон бошчадан ёки столикдан иборат бўлиб, унга намуна устун ёки симлар шаклида қўйилади.

Намунани камера ўқи бўйича марказлаштириш учта қисиб турувчи винтлар орқали амалга оширилади. Такомиллашган моделларда эса — конуссимон бошчани магнитга жойлаштириш билан амалга оширилади.

47-§. Нурланиши ионизацион қайд этиш таҳлили аппаратлари

Бу усул бўйича модданинг дифракцион картинасини қайд этиш плёнкада эмас, балки у ёки счётчик билан ва нур қайтариш максимумлари ҳолатини ёзишни қофоз тасмага ўзи ёзувчи қурилма ёрдамида амалга оширилади.

Дифрактометрия рентгенотузилма таҳлилини ечишиди, ҳамда катта даражада рентгенографик текширувлар ўтказишда катта аҳамиятга эга. Сабаби нур қайтариш интенсивлигини нафақат объектив баҳолаш, балки асбобнинг юқори ечиш хусусияти ва ишининг унумлилигидадир. Тўла дифрактограммни

қайд этиш 20-30 минут ичида амалга оширилади. Юқори дарражали аниқлаш хусусияти дифрактограммани баъзи деталларини аниқлашга имкон яратади. Бу деталларни аниқлашда аввал катта диаметрли камералар ва шунга мувофиқ узоқ муддатли экспозициялар зарур эди. Бу усул, айниқса, бир типли модда анализи ёки кичик муаммоларни хал этишда жуда муҳим, масалан, карбонатларни аниқлашда, дала шпатининг микроклиниллиги даражаси ва минералларнинг тузилма турлари ни аниқлашда жуда муҳимдир.

Дифрактограмм нур қайтариш бурчаги қиймати ва уларнинг интенсивлигини түғридан-түғри беради. Кукун рентгенограммаларида нур қайтаришга боғлиқ бўлган, нур қайтариш бурчаги кўрсаткичидан юзалар аро масофа кўрсаткичига ўтишда, юзалараро масофа турли тўлқин узунликлари бўйича ҳисобланган ва маълумотномаларга йигилган нурланишни жадвалларидан фойдаланиш орқали бўлади.

Шундай қилиб, рентген дифрактограммаси бошқа рентгенограммалардан фарқ қиласди;

- 1) Фазовий таҳлил учун рентгенограмманинг тез олиниши;
- 2) Уни ҳисоблашнинг осонлиги (саддалиги);
- 3) Фон диффузияси ва чизиқларнинг интенсивлигини аниқ ва оддий топиш имконияти;
- 4) монокристалларнинг йўналишини тез ва аниқ аниқлаш;
- 5) Сифатли полюс шаклларни тез тузиш.

Шунинг учун рентген дифрактограммаларини олиш ҳозирги кунда кенг тарқалган.

Умумий мақсадда УРС-50 ИМ, ДРОН-1, ДРОН-2, ДРОН-3, ДРОН-4 типидаги дифрактограммаларни МДҲ мамлакатларининг маҳаллий саноати чиқаради.

УРС-25И, УРС-50И ва УРС-50ИМ дифрактометрлари. Улар юқори аниқликка эга бўлиб, уларда ёзув автоматик тарзда рўй беради. Бундан ташқари, бу аппарат визуал дифракция бурчакларини гониометрик мослама ёрдамида ҳисобга олишига ҳам имкон беради (44-расм).

Рентген нурлари трубкадан намунага тушади, қайтарилади ва ҳисобловчи қурилмага келади. Гейгер-Мюллер счётчигига нур тушишидан ҳосил бўлган импульслар бирин-кетин кучайтиргич, қайта ҳисобловчи тизим, интегрировка қилувчи тизимлардан ўтади ва ўзи ёзувчан потенциометрга етиб келади. Охирги қурилмада уларнинг қийматлари қайд этилади.

Дифрактометрларнинг техник кўрсаткичлари:

1. Интенсивликни ўлчашдаги максимал хато уларнинг номинал қийматларидан -15 дан +5% гача ташкил этади.

2. Интенсивлик максимал ўлчови 1000 имп /сек, қайта ҳисоблаш схемаси бўйича 5000 имп /сек. гача.

3. Гониометр радиуси -160 мм.

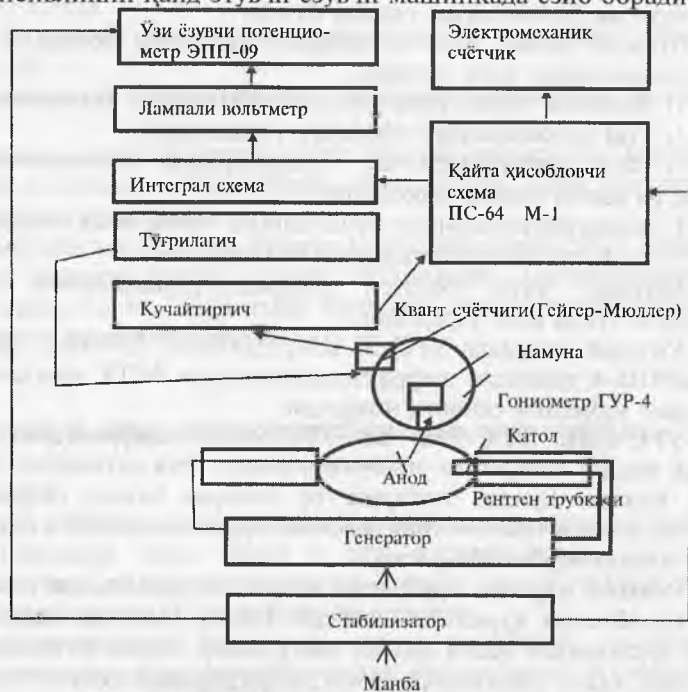
4. Трубка манбай: V 50 кв гача, I 12 ма гача.

5. Рентген трубкаси типи - BCB -6.

ДРОН-0,5 ва ДРОН-1 дифрактометрлари - амплитуда дискриминацияли сцинтиляцион счётчикка эга. Бу аппарат жуда қулай ва фазовий таҳлили жараёнидаги барча масалаларни ечишига имкон беради.

Аппаратларнинг техник маълумотлари:

1) Автоматик счётчик I; 0,1 ёки 0,01 градусда рентгено-граммма нуқталарини олишни таъминлайди. Бир вақтнинг ўзида интенсивликни қайд этувчи ёзувчи машинкада ёзиг боради.



44-расм. УРС-50И ионизацион қурилмасининг принципиал блок-схемаси.

2. ГУР-5 гониометри счётыкнинг 1 / 32 дан то 16 град / мин тезликда айланишини таъминлайди.

3. Счётыкнинг айланиш бурчаги +90 дан – 168° гача.

4. Интенсивликнинг максимал ўлчовлари $5 \cdot 10^4$ имп / сек. гача.

5. Гониометр радиуси – 180 мм.

6. БСВ-8, БСВ-9 ва БСВ-10 трублари ишлатилади. Улар-нинг қувватлари БСВ-6 трубканинг қувватидан 2-3 мартаюқори.

ДРОН-2 дифрактометри. Бу қурилма УРС-25И, УРС-50И, УРС-50 ИМ, ДРОН-0,5 ва ДРОН-1 лар сингари ўзи ёзиши, қайд этиши, бурчақдан тушаётан иккиласми нурларнинг интенсивлиги (2 θ бурчакда) билан таъминланган.

ДРД-1 дифрактометри-радиоактив объектларни текшириш учун мўлжалланган. Масофадан туриб бошқарилади.

ДРК-2 дифрактометри – кварт пластинкаларнинг бурчақлари кесимини назорат этиш учун.

АРС-4М дифрактометри – рентген нурларини микрофокусли боғлари билан ва бошқалар.

ДАР-1 автоматик дифрактометр. Монокристалларни программали бошқаришда текшириш учун. Бу аппарат кристаллографларнинг VII Халқаро Конгрессида (Москва, июл, 1966 й.) кристаллографик аппаратуралар кўргазмасида намойиш этилган.

Биринчи русумли аппаратларда (УРС-25 И, УРС-50 И ва УРС-50 ИМ) рентген нурлари детектори сифатида Гейгер-Мюллер счётыгидан, иккинчисида (ДРОН-0,5, ДРОН-1, ДРОН-2, ДРОН-4 ва бошқалар) – дискриминация амплитудасини пропорционал счётык ёки сцинтиляцион счётыкдан фойдаланилади.

48-§. Нурланиш детекторларининг қисқача тавсифи

Пропорционал ва Гейгер-Мюллер счётыклари. Улар ионизацион табиатига эга. Счётык корпуси шиша трубадан иборат бўлиб, ичида гази бор (одатда аргон ёки криптон, босими 500 мм симоб устуни) У иккита электрод (анод ва катод) дан ташкил топган. Трубка ёни рентген нурларини кам ютувчи материаллардан (слюда, бериллий ва бошқалар) ясалган.

Рентген нурлари квантлари счётыкка тушиб, газларни ионлаштиради; ҳосил бўлган ионлар (электродлар орасидаги

потенциаллар мавжудлигига) ток импульсини яратади. Бунда давомийликни разряд вақти белгилайди.

Ионизацион счётыклар: 200 в га тенг булган потенциаллар фарқида, ҳамма ионлар электродга тушади ва счётык ионизацион камера (V_0 - V_i) режимида ишлайди. Токнинг кичик ($\sim 10^{-12}$ а) лиги ва детекторнинг паст сезувчанлиги туфайлиги бу режимда ўлчовларни ўтказиши мураккаб (45- ва 46-расм).

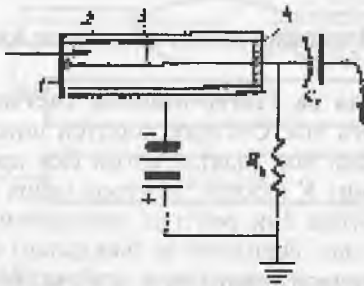
Пропорционал счётыклар. 600-900 в (V_1 - V_2) потенциаллар фарқида электронлар тезлиги шунчалик ошадики, унда ток импульси кучаяди, иккинчи ионизацион эффект чараклайди; бироқ бу ҳодиса кичик оралиқларда счётык иплари билан чегаралангандан ва шунинг учун тез кучини йўқотади. Счётыкнинг кичик “ўлик вақти” га $5 \cdot 10^5$ имп / сек гача қайд этиш имкониятини беради.

Импульси ток катталиги тахминан 10^{-7} а га тенг ва рентген квантини энергиясига пропорционал. Шунинг учун бундай режимда ишловчи ионизацион счётыклар пропорционалли деб аталади.

Гейгер-Мюллер счётычи. Агар потенциаллар фарқи V_3 га оширилса, иплар бўйлаб иккиламчи разряд тарқалади. Счётык Гейгер-Мюллер счётычи режимида ишлайди. Импульс катталиги энди квант энергиясига боғлиқ эмас, аммо 10^{-3} а гача ошади. Бу регистрация қилишни осонлаштиради.

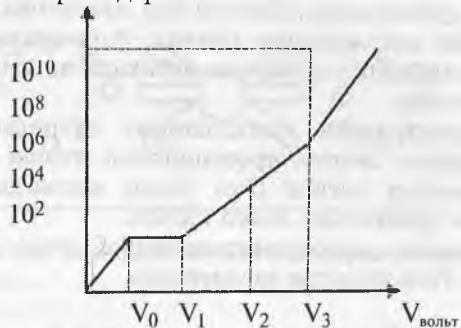
Бу нарса счётыкнинг “ўлик вақти” ни катталаштиради ва натижада ҳисобнинг максимал тезлиги $5 \cdot 10^3$ импульс / секундга камаяди.

Гейгер-Мюллер счётыкларининг хизмат қилиш муддати 10^3 импульсгача, пропорционал счётыкларники эса 10^{12} импульсга тенг.



45-расм. Импульсли ионизацион счётык схемаси: 1-дарча; 2-катод; 3-ўтказгич (анод); 4-изолятор.

Кучайтириш даражаси



46-расм. Газ ионизациясининг счётичкка йўналтирилган потенциаллар фарқига боғлиқлиги (Cu-K_α учун).

49-§. Фотоусул ишлари учун мўлжалланган аппаратларда рентгенограмма олиш усуслари

Олдинги бўлимларда рентгенография усулининг назарий ва амалий асослари ҳамда ишлатиладиган аппаратлари ҳақида батафсил маълумотларга эга бўлдик. Бу бўлимда яна бир амалий иш - рентгенограмма олиш усуслари билан яқиндан танишилади.

Рентгенографик таҳлил имкониятлари чексиз. Усул жуда кўп афзаликларга эга, лекин камчиликлардан ҳам ҳоли эмас. Куйидаги шу ва шунга ўхшаш муаммолар ҳақида фикр юритилиди.

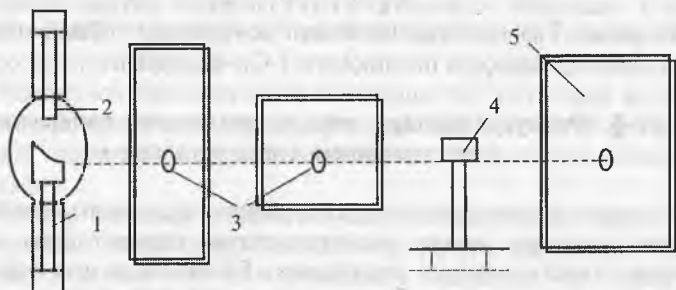
1) Қўзғалмас монокристалл обьектда лауэграмм олиш усули. Лауэграмм монокристалнинг сифати, унинг қристалл тузилмасининг такомиллиги, унда иккиёқлама ёки қонуниятсиз ўсишлар борлиги, рентген нурлари йўналишида кристалл симметрияларини баҳолашга имкон беради, лекин бу усул бўйича элементар ячейка ўлчамларини аниқлаш қийин. Бу мақсад учун аниқ қристаллографик йўналиш атрофида монокристаллни айлантириш ва тебраниш усуслари ишлатилади. Бунда монокроматик нурланишга тасвир қилишдаги тақорорий давр аниқланади (47-расм).

2) Монокристалл рентгенограммасини айланма ёки тебраниш орқали олиш усули. Бу усулда 0,2-0,4 мм дан катта бўлмаган ўлчамдаги майда монокристаллар ишлатилади (48 ва 49-расмлар).

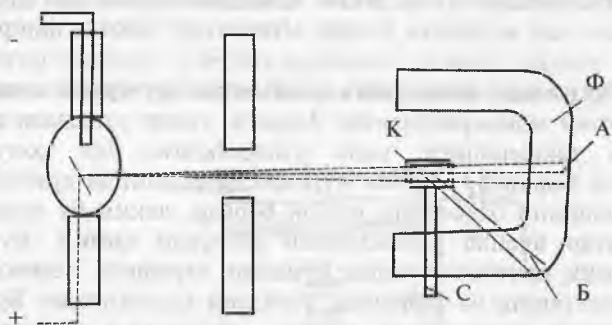
Усул панжара ёки кристаллар симметрияси даврини аниқлашда құлланилади. Плёнка ёки пластинкадаги ёритилған нүқталарнинг интенсивлиги бүйича, бирікмаларнинг атомларининг жойлашиши, элементар ячейкаси ва үлчамлари ҳақида хуоса қилинади.

Бу параметрларни аниқлашнинг тұғридан-тұғри усули булиб, электрон зичлик проекциясини чизиш усули ҳамдир. Бунда әлементар ячейка (ёки унинг қисми)да атомларнинг жойлашиши проекцияси юзага келади.

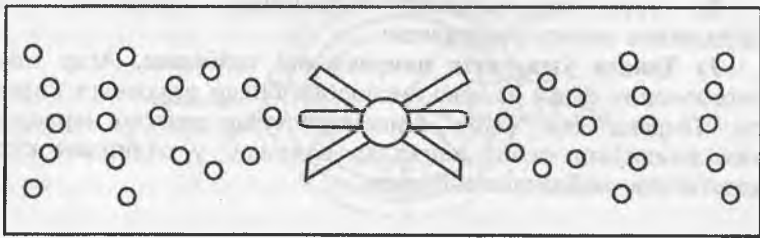
Нурланишни монохроматлаштириш учун дифференциал фильтр ёки Росс фильтри ишлатилади.



47-расм. Кристалдан дифракцион күрнишни олишнинг биринчи тарихий усули: 1-катод; 2-антикатод; 3-дарчалар; 4-кристалл үрнатылған гониометрик бош; 5-ясси плёнкали тасма.



48-расм. Айланыётган монокристалл тасвирини олиш схемаси: Ф-плёнка; К – айланыётган кристалл; С – айланыш подставкаси; Б - дөг; А – дөг.



49-расм. «С» ўқи атрофида берилл монокристаллининг айланма рентгенограммаси.

3) Кукун усулида дебаеграмм олиш усули (Дебай-Шерернинг кукун усули). Олдинги икки усул, яъни қўзғалмас ва айланайтган кристаллининг лауэграммасини олиш учун йирик монокристаллар керак бўлади. Ҳолбуки уларни олиш ҳар доим ҳам мумкин эмас. Аксинча, кукун усулида текширишида жуда майдада кристалл кукунлар билан чекланиш имконияти бор (50 ва 52-расм).

Бу усульнинг афзалликлари:

- майдада кристалл кукуни билан ишлаш мумкин;
- текширишга мўлжалланган материални тайёрлаш оддийлиги;
- тажриба ўтказишни оддийлиги.

Камчиликлари:

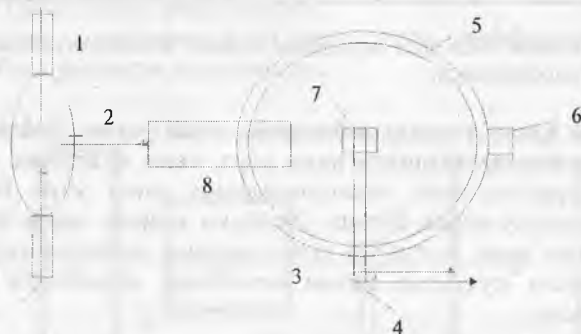
- бирмунча кичик аниқлик билан изоҳданади;
- тузилма ҳисобининг мураккаблиги;
- рентгенограммада линияларнинг тарқоқлиги.

Тасвир олиш тартиби: камерадаги фотоплёнка цилиндрик шаклга эга: Трубкадан монокроматик нур боғлари тирқиши орқали диафрагма (коллиматор) га тушади. Ёпишувчи модда билан нозик стержен ёки цеплюидли трубкага қўйилган на-муна - майдада кукунга тушади. Намунага нурнинг тушиши тубус ёрдамида ёритувчи экранда назорат этилади.

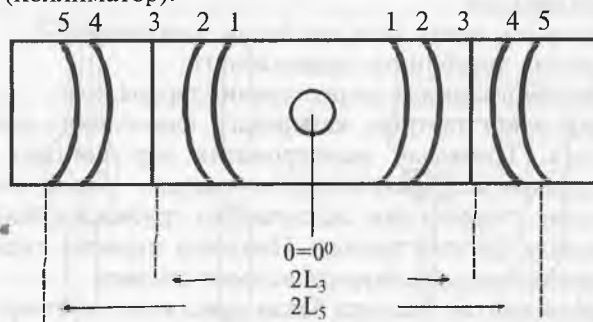
Текширилаётган моддада баъзи кристаллар мутлақо тартибизиз жойлашган, улар орасида ҳар доим Брэгг-Вульф шартига жавоб берувчи нур қайтариш юзасида жойлашган кристаллар бор. Шунинг учун намунали столни айлантириш шарт эмас ва фотографик пленкада марказий доғлар билан полоса қатори ҳосил бўлади. Бундай ҳолатга қараб ушбу кристалл модда ҳолати константларини ҳисоблаш мумкин.

Бу усул намуналарини текширишга тайёрлаш. Улар қүйидагида амалға оширилади:

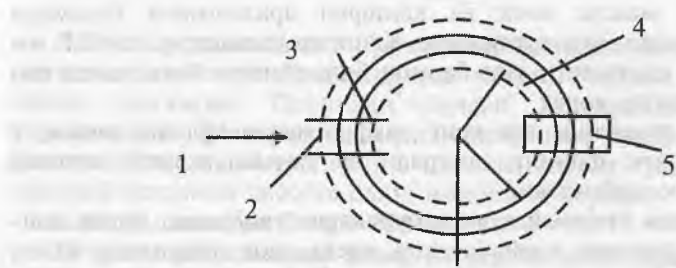
1) Ҳавода ўзгарувчан намуналарни тайёрлаш. Агар модда гигроскопик бўлса ва ҳаво кислороди билан реакцияга киришса, “Пирекс” ёки “гетан” шишалари (улар рентген нурларини кам ютади)дан нозик капилляр олинади, у олдиндан кукун ҳолатигача майдаланган бўлади.



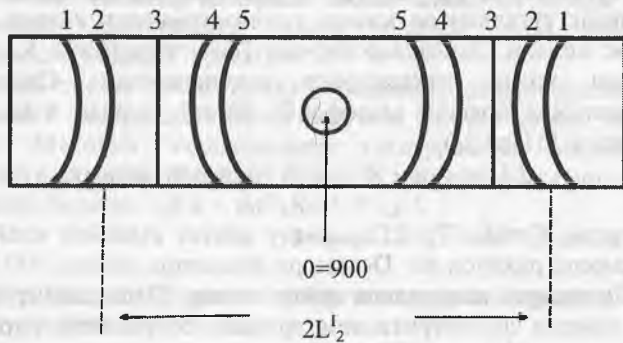
50-расм. Кукун усулида дебаеграмма олишнинг схематик кўриниши: 1-рентген трубкаси; 2-дарча; 3-намунани сақловчи қурилма, 4-намунани айлантириш механизми; 5-фотоплёнка; 6-ёритувчи экран тубуси билан; 7-намуна; 8-қўрғошинли диафрагма (коллиматор).



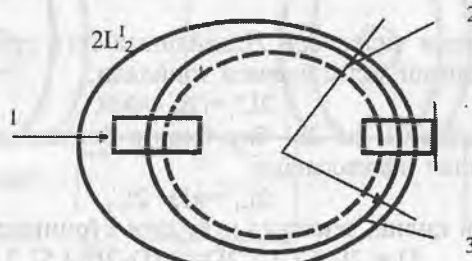
51-расм. Тўгридан-тўғри тасвир олиш усули плёнкасининг кўриниши.



52-расм. Куқун усулида дебаеграмма олиш камерасининг кўриниши: 1-рентген нури; 2-коллиматор; 3-плёнка чеккалари; 4-плёнка; 5-нурланувчи экран тубуси.



53-расм. Цилиндрик камерада қайта тасвир туширишнинг кўриниши.



54-расм. Қайта тасвир усули цилиндрик камераси кўриниши: 1-рентген нури; 2-плёнка охирлари ва 3-плёнка.

Кейин махсус воск ва канифол аралашмаси ёрдамида ёпишириләди ёки суртилади. Капиляр диаметри $d=0,7$ мм атрофида, қалинлиги уни бармоқ билан енгил босилганда синувчан бўлиши керак.

Катта диаметрда эса кенг диафрагмалар қўллаш лозим, у тасвирларнинг фонини оширади ва умуман рентгенограмма сифатини камайтиради.

2. Ҳавода ўзгармайдиган намуналарни тайёрлаш. Яхши майдаланган кукунни клей (резина клейи ёки цапонлак) билан қориштириб аралашма тайёланади. Кейинги нозик тола ($d=0,05-0,1$ мм) кесилади ва тола қуриганида эгилмаслиги учун клей кам бўлиши керак.

Кукун усулида дебаеграмм олиш усулининг турлари:

а) Тўғридан-тўғри тасвир олиш. Цилиндрик камерадаги пленканинг тугалланган қисми коллиматорнинг кириш тешигига мос келади. Линиялар бурчак ўсиш тартибида К пленка ўртасидан унинг чеккаларига тақсимланади. Симметрия чизиқларининг орасида масофа $2L$ бўлиб, бурчак 4θ орқали аниқланади (51-расм).

$$2L_i = 4\theta_i \cdot R \quad \text{ёки градусли ўлчамда}$$

$$2L_i = 2\pi R / 360 \cdot 4\theta_i$$

бу ердан, $Q=2L_i \cdot 57,3 / 2D$;

R-камера радиуси ва D-камера диаметри.

б) Цилиндрик камерадаги қайта тасвир. Пленканинг тугаган қисми камера диаметрига мос келади. У рентген нурларига перпендикуляр бўлади (53- ва 54-расм).

Линиялар бурчак θ ўсиш тартиби бўйича рентгенограмманинг чеккасидан ўрта қисмiga кириш ва чиқиши тешикларидан тарқалади.

Симметрия чизиқлари $2L'$ айланма ёйга тенглиги ($360^\circ - 40^\circ$) хисобга олинган ҳолда бурчаги топилади:

$$2L'_i = (2\pi - 40)R$$

Бу ҳолатда $2L$ ва $2L'$ бир-бирига боғланганлиги қўйидаги тенглик билан ифодаланади:

$$2L_i = \pi D - 2L'_i$$

Шундай қилиб, тенглама қўйидаги кўринишга ўтади:

$$Q_i = 2L_i \cdot 57,3 / 2D = (\pi D - 2L'_i) \cdot 57,3 / 2D$$

в) Цилиндрик камерада асимметрик тасвир олиш. Бу усулда плёнкалар чеккаси рентген нурига перпендикуляр камера диаметрига мос келади (55- ва 56-расм).

Линиялар жойлашиши бурчакнинг ўсишига боғлиқ. Улар рентгенограмманинг ўрта қисмидан чиқиши - кириш дарчалари томон силжиган. Пленкани бундай жойлашиши плёнка ўлчамларини фотография вақтида ўзгариши, камеранинг эфектив- Дэф. диаметри ёки, 1 мм пленканинг градуслардаги ҳақиқий баҳосини ҳисобга олиш имконини беради.

Камера диаметри D эф.= $H + B / \pi$.

2) цилиндрик камерада шлиф тасвирини ҳосил қилиш. Бунда қуидагиларга қатъий риоя қилиш зарур:

а) намуна қия жойлашган: $\theta = L_i 57,3 / D$;

б) намуна рентген боғига перпендикуляр жойлашган:

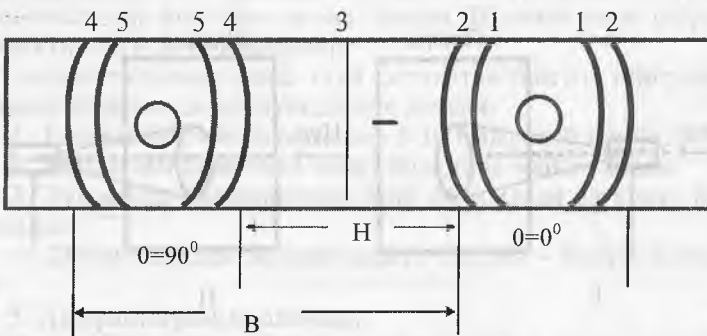
$$\theta_i = (\pi D - 2 L') \cdot 57,3 / 2D$$

в) Аксиал цилиндр камерада тасвир олиш. Бу усулда камера ва намуна жойлашиши ҳамда рентген нури йўналиши қуидагича бўлади (57-расм):

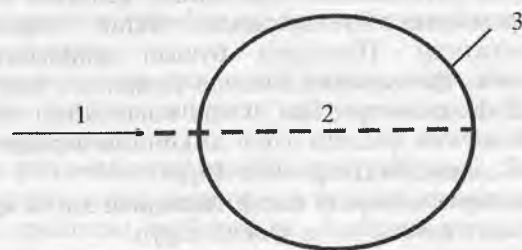
Бундай тасвир дебай ҳалқа атрофидаги дифрагирован нурланишнинг тарқалиш интенсивлигини таҳдил этиш учун муҳимdir. Масалан, моддаларнинг текстурасини текширишда. Яхши натижаларни θ кичик бурчаги томонидан таҳдил қилиш имконини беради.

г) Ясси плёнкага тасвир тушириш. У ўз навбатида икки хил бўлади (58- расм):

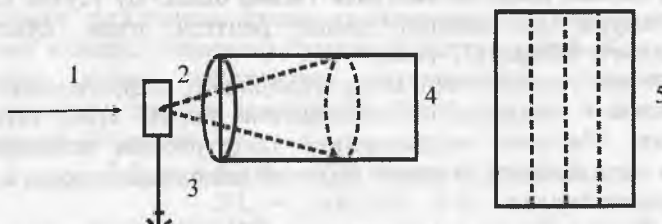
- 1) нур ўтишида тўғридан-тўғри тасвир ҳосил қилиш;
- 2) нур қайтишида тасвир тушириш.



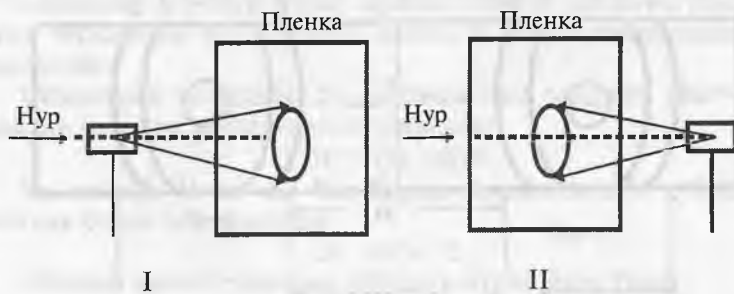
55-расм. Плёнкадаги асимметрик тасвир.



56-расм. Асимметрик тасвир усули камераси: 1-рентген нури; 2-камера; 3-плёнка.



57-расм. Аксиал цилиндрик камерада тасвир ҳосил қилиш схемаси: 1-рентген нури; 2-намуна; 3-айланувчан механизм; 4-аксиал камера; 5-плёнка.



58-расм. Ясси плёнкага тасвир түширишда рентген нури йұналиши, намуна ва плёнкаларни жойлаш схемалари: 1-нур үтишига асосланған; 2-нур қайтишига асосланған.

50-§. Нурланишни ионизацион қайд этиш таҳлили аппаратарида дифрактограмма олиш усуулари

Рентген нурланиши бундан 90-йил бурун очилган бўлса ҳам тадқиқотлар, асосан фотоусулларни қўллаш йўли билан давом этди. Бу усул юқори аниқликка эга, аммо уни ишлатаётган илмий ходимдан ҳам рентгенография, ҳам фотографиядан юқори малака талаб қиласи.

Кейинги 25-30 йил ичидаги фотоусулларда лауэграммада дебаеграмма олиш ўрнига нурланишни ионизацион қайд этишга асосланган дифрактограмма усууллари жорий этила бошланди. Бу усуулларда иш олиб бориш маҳсус счётчикларга асосланган бўлиб, уларда дифракцион максимумлар регистрация қилинади.

Хозирги вақтда нурланишни ионизацион қайд этиш таҳлили аппаратларидаги дифрактограмма олишнинг икки усули қўйидагича регистрация қилишга асосланган:

1. Гейгер-Мюллернинг ионизацион счетчиги ёрдамида.
2. Сцинтиляцион счетчиги ёрдамида.

Биринчи газли счетчикларининг такомиллаштирилган турлари пропорционал ёки мустақил номлари билан ҳам аталади. Ток кучи ёки импульслар сонига кўра рентген нурланиш интенсивлиги ҳақида фикр юритиш мумкин.

Кристалл-фосфор (таллий билан активлаштирилган йодли натрий кристалли) ва фотокўпайтиргичдан ташкил топган сцинтиляцион счетчикларда Гейгер-Мюллер газли счётчикларига нисбатан фон анча кичик бўлади. Шунинг учун уларнинг эффективлиги анча юқоридир.

Дифрактограмма олиш учун силикатли намуна тайёрлаш ва дифрактограмма олиш қўйидагича кечади:

1. Текширилаётган намунадан 5-10 г ажратиб олинади.
2. Агатли майдалагичда спирт ёрдамида майдаланади.
3. Ҳўл модда майдалагичда ёқиб юборилади ва қуруқ қукун олинади.
4. ДРОН маркали аппаратларига намуна - қукун жойланади.
5. Дифрактограмма олинади.
6. Дифрактограмма пиклари номерланади.
7. Пиклар ўлчами ва интенсивлиги аниқланади.
8. Топилган қўйматлар маҳсус жадваллар ёрдамида d-га айлантирилади.

9. Махсус китоблар ёрдамида d ва I лар қиймати орқали модда таркиби аниқланади.

Рентген нурлари билан ишлашда хавфсизлик техникаси қоидаларига қаттиқ риоя қилиш зарур. У узоқ вақт киши организимига таъсир ўтказса саломатлик масаласига путур етади:

1.Инсон қонининг таркиби ўзгаради.

2.Ички органлар шикастланади.

3.Тери қавати куяди.

Рентген нурлари билан ишлашда маъсул органлар томонидан белгиланган шарт-шароитларга қатъий амал қилиш талаб этилади:

1.Рентген аппаратларида ишлаш учун ёши 18 га кирмаганларга рухсат берилмайди.

2.Рентген аппаратларини созлаш ва тузатишга фақат махсус маълумоти бор кишиларгагина рухсат этилади.

3.Рентген аппарати жойлашган хоналарга бегона шаҳсларнинг киришига йўл қўйилмайди.

4.Рентген аппарати ишлаб турган вақтда унинг бўлакларига тегиш, юқори волъти қисмларини таъмиглаш ва бошқалар ман этилади.

5.Вақт-вақти билан ренгтен нурланишидан ҳимоя восита-ларининг эффекивлиги дозиметрлар орқали текшириб турилиши шарт.

6.Рентген трубкаси ва рентген камераси алмаштирилгач аппарат ўрнатилган хонани дозиметр ёрдамида текшириб туриш керак.

Рентген нурлари билан ишлашда хавфсизлик техникаси қоидаларига риоя қилишни таъминлашда рентген дозиметрлари катта рол ўйнайди. Рентген нурлари дозасини ўлчашада, одатда, кўчма асбоблардан – универсал ГРИ дозиметрларидан кенг фойдаланилади. Бу асбоб бир исли электрометр ва алмаштириб туриладиган ионланиш камералари тўпламидан ташкил топган.

51-§. Рентгенографик таҳлилдан фойдаланиш имкониятлари

Усулни қўллашни амалий имкониятлари жуда катта. Куйида улардан асосийлари келтириллади:

1. Табиий ва сунъий минераллар ва кимёвий бирикмаларнинг диагностикаси учун (кимёгар, кристаллокимёгар, крис-

таллограф, геокимёгар, геолог, геофизик, физик, металлург, оптик ва бошқалар томонидан):

а) минераллар турини аниқлаш (слюда, пироксен, дала шпати, гранат, кварц, алунит, мелилит, волластонит, муллит, титанат, карбонат, сульфат ва бошқалар);

б) бир түрли минералларни түрли типларини аниқлаш (биотит, флогонит, мусковит; натрийли -, калийли- ва кальцийли дала шпатлари; каолинит, галлуазит ва бошқа тупроқ минераллари);

в) тузилма турларини аниқлаш (дала шпатининг моноклин ёки триклин шакли, пироксенларнинг моноклин ва бошқа турлари, нефелиннинг ромбик ва гексагонал шакллари ва ҳоказо);

г) минерал таркибини сифат ва миқдорий баҳолаш (ион ўлчамлари ва бошқаларга боғлиқ ҳолда).

2. Тузилма таҳлили учун:

а) моддаларнинг симметрияларини аниқлаш;

б) симметрия фазовий группаларини-элементар ячейкада молекула, ион, атомларнинг симметрик жойлашиши;

в) элементар ячейка ўлчамлари – параметралар: а, б ва с; бурчаклар: α , β ва γ қийматлари;

г) панжарарадаги атом, ионларнинг координати ва атомлар орасидаги масофа;

д) модданинг кристаллик тузилмасини баёни, тузилмани ташкил қилувчи атомлар орасидаги масофа, координацион рақам ва бошқалар.

3. Аниқлаш учун:

а) модданинг монокристаллиги - монокристалнинг тузилмавий етуклиги, қўшалоқларнинг мавжудлиги, ўлчами, сифати ва бошқа диагностик параметрларини баҳолаш имкони;

б) модданинг поликристаллиги – поликристаллар кимёвий таркиби, поликристалл заррачалари ўлчами ва ҳоказо.

4. Минерал тузилмасидаги у ёки бу элементлар ва уларнинг шаклини аниқлаш - минерал, рудадаги қўшилма (изоморф, механик) ларнинг қандай аралашмалиги ва эрувчанлигини ўрганиш.

5. Тоғ жинслари ва рудаларини сифати ва миқдорини фазавий рентгенографик таҳлили.

6. Минералларнинг дисперслиги ва кристалларининг катталикларини баҳолаш.

7. Минераллар тузилмалари тузилиши, нуқсонлар-Шотки, Френкел ноаниқларни аниқлаш.
8. Минерални текстураларини аниқлаш.
9. Рентгеноаморф ва коллоид минералларни ўрганиш.
10. Минералларнинг барқарорлиги ва турли таъсирилардан фазовий ўзгаришини ўрганиш.
11. Зичлик, иссиқликдан кенгайиш коэффициенти, Кюри нуқтаси, қаттиқ эритмаларнинг идеаллиги ёки дефект тузилманга эга эканлиги каби физик ҳосса-хусусиятларини аниқлаш.
12. Xона ҳароратидан 1500°C ли ҳарорат таъсирида рўй берувчи физик-кимёвий ўзгаришларни аниқлаш.
13. Минус 190°C гача тадқиқотлар олиб бориш, совуқлик таъсирида рўй берган ўзгаришларни аниқлаш.
14. Рентгенографик таҳлилни ҳаво шароитида олиб бориш ва олинган натижалар турғунлигини таъминлаш.
15. Рентгенографик таҳлилни юқори босим остида маҳсус камералардан фойдаланган холда олиб бориш.
16. Шиша, канифол, гудрон каби ноорганик ва органик моддаларни кичик рентген бурчаклари остида текшириш ва уларда бор бўлган фрагментларни аниқлаш.

52-§. Рентгенографик таҳлил афзаллиги

Жуда кўп афзалликлари бор. Улардан асосийлари қаторида қўйидагиларни қайд этиш мумкин:

1. Флуоресцент нурланишни фильтрлаш мақсадида монохроматлардан фойдаланиш имконияти беради.
2. Интенсивликни юқори аниқликда ўлчаш мумкинлиги (чегаралар фотографик усулда 5-7 %, электрик усулда ўлчашда 0,5-1%).
3. Текшириш натижаларини хужжатлилиги. Иккиласми чегараларни фотографик қайд этишда рентгенограмманинг ҳамма линиялари бир вақтнинг ўзида қайд этилади. Дифрактометр ёрдамида турли чизиқларнинг интенсивлиги ҳисобга олинади, счётчик айланиши ёки ионизацион камеранинг ўзиёзар машинкасида ёзилади.
4. Кристалларнинг ўлчамларини аниқлаш имконияти. Поликристалл ўлчами (10^{-3} - 10^{-5} см оралиғида ётган бўлса рентгенограммада узлуксиз ва нозик чизиқлари қайд этилади. 10^{-5} см дан кичик ўлчамли кристалларнинг мавжудлиги чизиқларнинг “дифракцион кенгайиш”га олиб келади. Агар кристаллар йи-

рик донали ва 10^{-3} дан катта бўлса, рентгенограмма донадор, яъни алоҳида нуқталардан ташкил топади. Чизиқларда кузати-лаётган иккала ўзгаришни ҳам кристалларнинг ўлчамларини аниқлашда ишлатиш мумкин.

5. Кичик бурчак остида кичик ўлчамли обьект рентгенограммаларини олиш имконияти (масалан, қаттиқ эритмаларнинг тузилиши бир ҳилда эмаслиги, шиша ва бошқалар).

6. Текстурани аниқлаш имконияти (майда кристалл - агрегатларнинг йўналтириш қонуниятлари).

7. Усулнинг юқори даражада унумдорлиги (дифрактометрия);

8. Кристаллнинг керакли йўналиши бўйича қўйиши ва рентгенограммасини олиш имконияти.

9. Рентгенография усулининг таъсирида электронография ва нейтронография усулларининг пайдо бўлиши ва такомиллашиши. Уларда электронлар ёки нейтронлар боғларининг намунага таъсири қайд этилади.

53-§. Усулнинг камчиликлари

Рентгенография усулининг афзалликлари жуда қўп, лекин камчиликлари ҳам бор. Олимлар аниқланган камчиликларни бартараф этиб, усул имкониятларини ошириш устида фаол ишламоқдалар. Булар қаторига қўйидагилар киради:

1. Усулнинг аморф моддалар (шиша, канифол, смола, ях ва бошқалар) тузилмасини аниқлашдаги заифлиги. Ҳосил бўлган рентгенограмма ё тўғри чизиқдан иборат, ёки жуда паст интенсивли пиклар йигиндисидан иборат бўлади. Бу камчилик рус олими проф. Парой-Кошиб фикрича, рентген нурлари кичик бурчак остида намунага таъсир эттирилишини таъминлаш прецизион усули орқали бартараф этилиши мумкин. Бу усул шишаларнинг тузилишидаги микроноаниқликларни текширишнинг тўғри усули ҳисобланади.

2. Поликристалл моддалари тузилмаларини рентгенографик расшифровка қилишнинг қийинлиги. Уларда атом тузилмаларини аниқловчи маълумотлар кўпинча етарли миқдорда эмас.

Масалан, муллит минералининг монокристалли ва поликристалли расшифровкаси орасида катта тафаввут мавжуд. Монокристалл бир йўсинда аниқ расшифровка қилинади, поликристаллида эса расшифровка бир қатор шартли кўрсаткичлар орқали боради.

Таркибига барий ва кальций кирган шишаларда нисбатан катта макон ($R=150-200 \text{ \AA}$) лар борлиги олимлар томонидан аниқланган (19-жадвал).

Шишалар таркибида аниқланган микроноаниқликлар

19-жадвал

Тартиб	Шиша таркиби, мол. фоиз ҳисобида			Микроноаниқликлар радиусы, \AA
	SiO_2	Na_2O	MgO	
1.	80	10	10 (BaO)	160
2.	80	10	10 (CaO)	195
3.	88,5	11,5	-	125

3. Фотоусулни қўллашда: фотографик операциялар ҳақида маълумотга эга бўлишлик ҳамда рентгенограммаларни фотометр усулида қайд этишнинг кераклилиги.

4. Электр усулини қўллашда: рентген трубкани электрик режимда ишилашида стабиллаштириш етарли эмаслиги ҳамда счётчик билан боғланган ҳамма ёрдамчи кучайтирувчи ва таъминловчи занжирларнинг етарли даражада эмаслиги.

5. Чизиқларнинг ҳолатини аниқ ўлчашда юқори аниқликка эга бўлган гониометрии қўллашнинг зарурлиги ва муҳимлиги. Бу ҳолатда асбоб мураккаблашади ва қимматлашади.

6. Паст сингония (ромбик, моноклин ва триклини)ли моддалар – гидрагилит, байерит, диаспор, бемит, каолинит, диккит, накрит, монтмориллонит, бейделлит, нонtronит, монотермит, галлуазит, пирофиллит, кальцит, доломит, гипс, ангидрит ва бошқаларни тузилмаларини расшифровка килишнинг мураккаблиги.

7. Бир сингония ёки тузилмали ўхшаш биримларни расшифровкаси қийинлиги. Масалан, флюорит ва сфалерит каби минераллар нафақат бир хил кубик сингонияга эга, балки уларнинг элементар ячайка ўлчамлари ҳам бир-бирига teng: $5,42 \text{ \AA}$. Фақат юзаларора масофа d ва нур қайтариш интенсивлигини қийматларини нисбий баҳолаш билан минерални аниқ таҳлил этиш мумкин. Олинган натижа дебаеграмм стандартлари картотекаси ёки маҳсус чоп этилган китоблар (Михеев-1957 ва 1965 йиллар; Минераллар- 1965-1967 йиллар; Семенов- 1963 йил; Сидеренко- 1957 йил; Миркин- 1961 йил ва бошқалар) га солиштириш йўли билан олиб борилади.

8. Кўп ҳолларда рентгенограмма маълумотлари бошқа константалар билан тўлдирилиши лозим. Масалан, гранат турла-

рини аниқлашда уч диаграмма “а-N-d” бүйича ташхис қўйиш мумкин. Бу ерда, а - элементар ячейка ўлчами, N- нур синдириш кўрсаткичи ва d- гранитнинг солишиштира оғирлиги. Буларнинг ҳаммаси гранат минералининг турлари ҳақида аниқ маълумот олишни таъминлайди.

54-§ Кимёвий бирикмаларга оид рентгенографик маълумотлар

В 5222400 – «Кимёвий технология» йўналишининг «Силикат ва зўрфасуюлувчан материаллар технологияси» соҳаси хом ашёлари, яримфабрикатлари, материаллари ва буюмларида кўпроқ учровчи кимёвий бирикмаларнинг рентгенограммаларига тўғри келадиган текисликлараро масофа ($d, \text{\AA}$) ва чўққилар интенсивлиги ($J, 100,10$ ёки солишиштира таққослаш) га оид маълумотнома Л.И.Миркин [23], В.Н.Михеев [24], В.В.Тимашев [6], А.И.Китайгородский, Н.А.Торопов [36], И.И.Горбунов ва бошқа манбалар [5,29-35] келтирилган маълумотлардан фойдаланилган ҳолда қўйидаги 20- жадвалда келтирилади.

Кимёвий бирикмаларга оид рентгенографик маълумотлар Д.И. Менделеев даврий жадвалида жойлашган 58 элемент ва унинг ҳосилаларига таалуқли бўлиб, у литий элементидан бошланиб водород элементига оид тегишли рақамларни ўз ичига олган. Айниқса жадвалда элемент, элемент ҳосил қилган оксид, элемент карбонати, сульфати ва нитрати, у ҳосил қилган тузлар – алюминат, силикат ва бошқалар катта ўринни эгаллаган. Жумладан, литий элементига таалуқли 22 бирикма, натрийга – 15 бирикма, калийга – 17 бирикма, магнийга – 24 бирикма, кальцийга – 57 бирикма, стронцийга – 25 бирикма, барийга – 23 бирикма, алюминийга – 21 бирикма 20-жадвалга киритилган.

Текисликлараро масофа жадвалда ангстремда берилган. Агар фойдаланилган адабиётда у килоиксада берилган бўлса, у ҳолда $1d^{\text{\AA}} = 1,00202 \text{ kX}$ тенгламаси ёрдамида килоикс ангстрем ўлчовига ўтказилган.

Чўққилар интенсивлиги жадвалда 3 кўринишда ўз ифодасини топган: бирдан юзгача ҳисобида; Иккинчи кўринишда интенсивлилик нолдан ўнгача ҳисобида ўтказилган. Учинчи кўринишда эса интенсивлилик нисбий бирликларда берилган: Кз – кучсиз, Ж.кз. – жуда кучсиз, Ж.ж.кз. – жуда-жуда кучсиз, Ў – ўртача, Ки – кучли, Ж.ки. – жуда кучли, Ж.ж.ки – жуда-жуда кучли.

**Табиий ва сунъий кимёвий бирикмаларининг баъзи бирларига
хос бўлган d ва J**

20-жадвал

Модда	d	J	D	J	D	J
1	2	3	4	5	6	7
Литий-Li	2,48 1,75	100 17	1,430 1,240	20 3	- -	- -
Li OH	4,35 2,98 2,75 2,67 2,51	33 20 100 23 13	2,42 2,08 1,97 1,85 1,77	17 3 3 5 7	1,74 1,65 1,490 1,280 1,257	3 7 7 3 3
LiF	2,32 2,00	67 100	1,419 1,211	23 3	1,160 -	3 -
LiH	2,357 2,041 1,444 -	54 100 40 -	1,231 1,178 1,0204 -	23 11 3 -	0,9374 0,9130 0,8335 0,7859	8 9 7 5
LiCl	2,96 2,56 1,81 1,55 1,482	100 100 60 32 12	1,283 1,178 1,148 1,048 0,989	5 12 14 6 5	0,909 0,869 0,857 - -	2 3 2 - -
Li ₂ CO ₃	4,16 3,80 3,02 2,91 2,80 2,62 2,47 2,42	63 5 5 50 100 25 10 38	2,26 2,07 1,86 1,81 1,61 1,59 1,57 1,54	18 3 13 3 3 5 5 5	1,51 1,460 1,422 1,389 1,350 1,311 1,280 -	5 5 3 3 3 3 3 -
LiNO ₃	3,58 2,78 2,53 2,13	67 53 20 100	1,371 1,355 1,255 1,194	20 13 4 4	1,008 0,982 0,932 0,927	3 3 1 1

	1,95 1,72 1,53 1,420	1 11 27 1	1,140 1,117 1,082 1,025	1 3 4 1	0,895 0,890 - -	1 1 - -
Li ₂ SO ₄	4,01	100	2,20	3	1,56	2
	3,49	11	2,09	5	1,53	3
	3,16	40	2,01	2	1,487	6
	2,78	6	1,95	13	1,424	2
	2,68	3	1,88	5	1,400	3
	2,62	5	1,81	3	1,340	3
	2,47	13	1,77	2	1,279	3
	2,40	6	1,67	2	1,215	2
	2,31	6	1,60	3	1,185	3
Li ₂ O·Al ₂ O ₃	4,54	6	1,849	3	1,296	3
	3,506	19	1,799	3	1,278	6
	3,210	13	1,741	3	1,249	13
	2,790	41	2,721	13	1,202	25
	2,660	3	1,675	3	1,177	3
	2,545	3	1,608	31	1,139	19
	2,372	84	1,559	6	1,107	3
	2,280	25	1,518	72	1,077	6
	2,078	13	1,467	3	1,054	13
	1,969	59	1,439	6	-	-
	1,905	3	1,393	100	-	-
Li ₂ O·Fe ₂ O ₃	2,39	40	0,949	10	0,657	20
	2,07	100	0,925	50	0,624	10
	1,461	90	0,845	40	0,575	10
	1,247	30	0,798	10	0,553	10
	1,195	40	0,732	10	-	-
	1,035	20	0,690	20	-	-
Li ₂ O·CrO ₃	7,0	16	2,47	10	1,64	2
	5,3	5	2,32	8	1,60	3
	4,39	32	2,22	3	1,56	3
	4,10	100	2,14	5	1,52	2
	3,70	5	2,08	2	1,57	2
	3,50	32	2,01	3	1,420	13
	3,27	20	1,94	8	1,367	5
	3,15	13	1,84	11	1,343	3
	2,85	32	1,80	2	1,215	2
	2,64	24	1,73	3	1,113	2
	2,54	8	1,69	6	-	-

$\text{Li}_2\text{CrO}_4 \cdot 2\text{H}_2\text{O}$	6,6 5,3 4,78 4,50 4,25 4,08 3,70 3,57 3,38 3,18 3,07 3,00	40 27 83 67 83 83 67 67 40 53 100 100	2,76 2,65 2,55 2,49 2,37 2,18 2,10 2,03 1,92 1,87 1,81 1,75	100 27 27 53 53 40 27 40 13 7 27 13	1,70 1,66 1,63 1,59 1,53 1,50 1,452 1,400 1,370 1,340 - -	7 40 40 13 7 27 40 13 7 13 - -
$\text{Li}_2\text{Cr}_2\text{O}_7 \cdot 2\text{H}_2\text{O}$	6,4 5,4 5,1 4,31 3,92 3,72 3,42 3,19	4 60 60 50 4 60 32 100	3,08 2,86 2,69 2,58 2,42 2,36 2,19 2,12	20 20 28 12 8 8 16 12	2,01 1,76 1,70 1,65 1,485 1,350 - -	8 8 8 12 4 4 - -
$\text{Li}_2\text{SO}_4 \cdot \text{H}_2\text{O}$	7,8 5,1 4,12 3,84 3,68 3,54 3,02 2,93 2,72	7 67 100 58 7 67 50 33 33	2,65 2,48 2,41 2,33 2,28 2,18 2,04 1,91 1,81	3 3 27 3 3 7 7 7 7	1,72 1,70 1,63 1,59 1,55 1,490 1,378 - -	7 7 3 7 7 7 7 - -
LiKSO_4	3,94 3,09 2,556 2,423 2,186 1,970	Ж.ку. Ж.ку. Ж.ку. Кз. Ж.ку. Ж.ку.	1,912 1,642 1,595 1,560 1,481 1,369	Ж.кз. Ку. Ж.кз. Ку. Ку. Кз.	1,324 1,286 1,253 1,223 1,201 1,187	Ж.кз. Ж.кз. Ж.кз. Ж.кз. Ж.кз. Ж.кз.
$\text{LiCl} \cdot \text{H}_2\text{O}$	3,82 2,70 2,58 2,43 2,21 2,04	10 100 3 3 5 1	1,94 1,91 1,86 1,71 1,57 1,358	3 13 1 3 20 5	1,275 1,210 1,155 1,105 1,025 -	1 4 1 1 2 -

β - LiAlSi ₂ O ₆	4,5904 3,9094 3,4884 3,1554 2,2938 2,2605	5 25 100 11 8 9	2,1040 1,9293 1,8825 1,7404 1,6938 1,6438	7 13 37 3 3 14	1,5406 1,4775 1,4502 1,4291 1,3208 1,2384	7 3 10 6 12 11
LiGaSi ₂ O ₆	4,6333 3,9472 3,5074 3,1819 2,3130 2,2792	8 30 100 12 24 12	2,1257 2,0955 1,9497 1,8899 1,7020 1,6598	5 5 13 36 4 29	1,5500 1,4865 1,4629 1,4378 1,3342 1,2475	8 5 15 7 18 17
Амфибол -	7,98 4,85 $Li_3Mg_5Fe^{2+}$ Fe^{3+} $Al_2(OH)_4$ $Si_{16}O_{44}\sqrt{}$	4 1 4 4 6 6	2,212 2,095 2,031 1,952 1,856 1,798	1 6 1 4 1 6	1,444 1,423 1,395 1,351 1,337 1,312	4 1 8 1 1 8
	2,97 2,80 2,70 2,64 2,53 2,46 2,418 2,282	10 6 6 6 8 1 1 4	1,736 1,712 1,590 1,572 1,522 1,487 1,472 -	4 4 8 8 1 6 1 -	1,276 1,257 1,239 1,176 1,163 1,135 1,084 -	4 1 1 1 1 4 4 -
Манганси-клерит -	5,064 4,295 (Li, Mn^{++}, Fe^{--}) [PO ₄]	1 8 4 8 8 4 - -	2,519 2,169 1,760 1,737 1,676 1,648 -	10 4 8 8 4 4 - -	1,624 1,477 1,353 1,323 1,149 1,103 1,070 -	4 4 8 4 4 8 8 -
Феррисик-лерит -	5,929 5,382 (Li, Fe^{++}, Mn^{++}) [PO ₄]	10 4 10 10 10 10 -	4,148 3,893 2,780 2,565 2,188 -	4 4 4 4 4 -	2,103 1,740 1,480 1,070 -	10 1 10 10 -
Натрий - Na	3,02 2,13 -	100 15 -	1,75 1,51 -	20 5 -	1,355 1,246 1,145	5 3 3

Na ₂ O	9,0 7,8 5,6 5,0 3,75 3,43 3,09 2,87 2,76 2,55	2 2 4 4 2 4 10 4 2 100	2,47 2,42 2,35 2,30 2,24 2,03 1,96 1,89 1,86 1,80	2 4 14 12 4 10 2 2 4 50	1,71 1,65 1,56 1,50 1,466 1,438 1,400 1,345 1,275 -	4 4 2 4 12 4 4 12 8 -
Na ₂ CO ₃	3,43 3,22 2,96 2,85 2,70 2,60 2,54 2,36 2,25	8 12 80 2 20 60 60 100 40	2,18 2,11 2,02 1,95 1,88 1,83 1,79 1,71 1,67	60 4 14 40 40 2 4 25 12	1,62 1,57 1,52 1,482 1,451 1,418 1,388 1,347 -	12 25 8 16 6 4 8 4 -
NaCl	3,258 2,821 1,994 1,701 1,628 1,410	13 100 55 2 15 6	1,294 1,261 1,1515 1,0855 0,9969 0,9533	1 11 7 1 2 1	0,9401 0,8917 0,8601 0,8503 0,8141 -	3 4 1 3 2 -
Na ₂ SO ₄	4,66 3,84 3,178 3,075 2,783 2,646 2,329 2,211 1,919 1,891	73 18 51 47 100 48 21 5 4 4	1,864 1,841 1,798 1,680 1,662 1,605 1,589 1,553 1,537 1,512	31 6 4 12 8 5 3 10 1 2	1,497 1,465 1,429 1,386 1,324 1,304 1,297 1,279 1,258 1,233	5 1 5 3 3 3 6 5 1 1
NaOH	5,8 2,85 2,35 2,03 1,90 1,70	13 20 100 10 8 30	1,65 1,460 1,346 1,266 1,201 1,178	25 10 2 5 5 1	1,108 1,071 1,019 0,973 - -	2 7 2 4 - -

$\text{Na}_2\text{O} \cdot 11\text{Al}_2\text{O}_3$	11,8 5,7 4,45 4,08 3,78 2,79 2,67 2,51 2,40 2,23 2,13 2,08	53 13 9 5 1 17 40 27 27 27 27 3	2,02 1,93 1,84 1,74 1,69 1,65 1,59 1,56 1,480 1,400 1,340 1,238	40 27 13 12 1 4 53 20 20 100 33 17	1,210 1,190 1,170 1,152 1,135 1,113 1,098 1,051 1,042 1,017 0,993 0,968	11 1 3 3 3 3 3 11 13 12 13 12
$2\text{Na}_2\text{O} \cdot \text{P}_2\text{O}_5$	4,40 3,38 2,72 2,53 2,42 2,33 2,06	100 25 75 3 3 23 10	2,02 1,91 1,75 1,67 1,55 1,475 1,424	5 31 10 3 23 13 15	1,342 1,293 1,206 1,165 1,140 1,070 1,013	8 5 5 3 5 3 5
$3\text{Na}_2\text{O} \cdot \text{P}_2\text{O}_5$	4,25 3,95 3,84 3,45 3,11 2,70 2,55 2,43 2,25	48 13 20 6 11 48 100 10 20	2,15 2,05 1,91 1,81 1,72 1,66 1,57 1,53 1,450	6 20 48 8 11 2 6 24 11	1,400 1,355 1,316 1,275 1,245 1,207 1,193 1,157 -	3 6 6 5 3 6 8 3 -
$\text{Na}_2\text{O} \cdot \text{SiO}_2$	5,3 3,56 3,04 2,57 2,40 1,98	20 20 100 48 64 9	1,88 1,83 1,75 1,53 1,445 1,418	28 9 40 5 9 40	1,145 1,114 1,032 0,990 0,932 -	3 9 2 2 2 -
$\text{Na}_2\text{O} \cdot \text{Al}_2\text{O}_3 \cdot 6\text{SiO}_2$	6,4 4,05 3,80 3,66 3,20 2,96 2,65 2,56 2,44 2,32	8 35 16 25 100 25 2 12 14 12	2,18 2,13 1,99 1,90 1,83 1,80 1,73 1,67 1,58 1,50	6 12 8 12 18 8 8 6 12 8	1,460 1,425 1,380 1,350 1,270 1,223 1,200 1,169 1,137 1,050	16 16 8 14 14 12 4 8 6 4

$\text{Na}_2\text{O}\cdot\text{CaO}\cdot\text{SiO}_2$	4,348 2,667 2,416 2,166 1,877	10 100 5 5 50	1,523 1,443 1,321 1,264 1,183	60 5 20 5 20	1,141 1,083 0,996 - -	5 5 10 - -
$\text{Na}_2\text{O}\cdot 2\text{CaO}\cdot 3\text{SiO}_2$	4,421 3,772 3,360 3,026 2,644 2,508 2,363 2,249 2,153	10 30 50 5 100 5 10 5 5	1,868 1,799 1,741 1,693 1,639 1,545 1,517 1,387 1,328	60 10 10 5 10 20 30 30 20	1,298 1,209 1,178 1,129 1,106 1,070 1,012 0,986 -	20 5 10 20 5 5 10 20 -
$2\text{Na}_2\text{O}\cdot\text{CaO}\cdot 3\text{SiO}_2$	4,089 3,781 3,270 2,668 2,374 2,175 1,888	20 20 5 100 10 10 60	1,803 1,722 1,622 1,540 1,436 1,387 1,335	10 5 20 50 20 10 40	1,218 1,191 1,143 1,112 1,007 - -	10 30 10 10 20 - -
Карнегиит - α -форма $\text{Na}_2\text{O}\cdot\text{Al}_2\text{O}_3\cdot 2\text{SiO}_2$	4,29 2,61 2,23 2,13 1,845 1,690	10 9 1 4 2 5	1,645 1,500 1,415 1,300 1,243 1,163	1 7 3 4 3 3	1,061 1,024 0,980 0,957 - -	1 1 2 1 - -
Калий – K	3,75 2,65 2,15	100 16 30	1,87 1,68 1,52	4 4 2	1,418 - -	2 - -
KCl	3,13 2,21 1,81	100 60 14	1,57 1,401 1,280	6 12 6	1,108 1,047 0,991	2 2 2
KNO_2	4,00 3,31 2,50 2,20	2 100 18 15	2,01 1,85 1,71 1,67	8 1 1 1	1,65 1,61 1,56 -	1 1 1 -
KNO_3	4,66 3,77 3,03 2,77	12 100 36 8	2,66 2,19 2,06 1,96	28 24 8 12	1,76 1,54 1,365 -	4 4 4 -

K_3PO_4	5,5	30	2,23	16	1,68	2
	3,65	30	2,13	4	1,64	18
	3,44	4	2,07	4	1,58	2
	3,15	30	2,03	2	1,52	2
	3,03	100	1,93	12	1,462	2
	2,75	60	1,89	2	1,435	2
	2,56	50	1,82	20	1,407	6
	2,45	20	1,77	4	1,370	4
	2,39	40	1,73	2	-	-
K_2SO_4	5,0	2	2,08	40	1,419	3
	4,19	24	2,00	5	1,392	3
	3,73	8	1,94	4	1,350	6
	3,38	5	1,88	10	1,302	5
	3,00	80	1,85	4	1,285	2
	2,88	100	1,76	3	1,245	4
	2,66	2	1,68	10	1,212	1
	2,50	12	1,62	4	1,175	5
	2,41	20	1,57	6	1,141	4
K_2CO_3	2,21	24	1,440	10	1,115	1
	7,0	2	2,31	8	1,67	2
	5,5	2	2,18	6	1,61	3
	3,39	6	2,09	14	1,55	2
	2,97	16	1,99	10	1,50	2
	2,80	100	1,85	8	1,410	5
	2,61	32	1,77	3	1,345	2
	2,37	16	1,70	3	1,307	2
	4,71	63	1,56	25	1,056	1
K_2SiF_6	2,88	50	1,438	30	1,014	1
	2,45	1	1,365	8	0,996	1
	2,35	100	1,285	20	0,984	1
	2,03	75	1,225	7	0,957	2
	1,86	1	1,175	6	0,936	1
	1,82	1	1,134	6	0,908	2
	1,66	20	1,087	10	-	-
	5,60	100	2,38	10	1,87	10
	3,52	100	2,29	10	1,60	10
$K_2B_4O_7 \cdot 5H_2O$	3,37	100	2,18	40	1,55	10
	2,76	76	2,11	10	1,460	10
	2,52	20	1,99	10	-	-
	4,83	10	2,53	15	1,86	5
	3,68	50	2,45	5	1,77	10
$K_2Cr_2O_7$	3,45	50	2,38	5	1,70	5
	3,29	100	2,29	5	1,66	5
	3,02	75	2,24	5	1,58	5
	2,85	63	2,18	5	1,450	5
	2,75	5	2,14	5	1,400	5
	2,69	5	2,04	25	-	-
	2,62	20	1,90	5	-	-

$K_2O \cdot 12Al_2O_3$	4,45 3,48 3,13 2,80 2,69 2,505 2,405 2,24	19 3 3 41 50 59 31 25	2,135 2,07 2,03 1,973 1,935 1,835 1,744 1,653	41 3 41 13 13 6 9 3	1,596 1,563 1,482 1,416 1,397 1,346 1,262 1,240	50 41 6 25 100 31 3 13
$K_2O \cdot Fe_2O_3$	4,58 2,80 1,98	16 100 13	1,62 1,405 1,260	32 8 6	1,150 1,062 0,940	2 3 2
K_2TiO_3	7,0 3,46 3,32 3,01 2,76	17 7 3 20 100	2,32 2,18 1,87 1,78 1,71	23 23 3 7 3	1,64 1,60 1,52 1,480 1,392	3 3 3 3 3
K_2UO_4	7,5 3,55	100 50	3,20 2,57	75 25	2,02 1,96	25 25
$K_2O \cdot Al_2O_3 \cdot 6SiO_2$	4,24 4,01 3,85 3,69 3,49 3,35 3,25 3,03 2,94 2,88	38 20 20 20 15 25 100 13 25 8	2,76 2,61 2,52 2,43 2,33 2,16 2,10 2,02 1,98 1,92	10 15 13 13 8 25 3 3 10 10	1,85 1,80 1,73 1,65 1,61 1,57 1,54 1,51 1,468 -	3 25 5 3 3 3 3 5 10 -
$K_2O \cdot CaO \cdot SiO_2$	4,62 2,831 2,415 2,312 2,002 1,837	40 100 40 30 60 20	1,791 1,635 1,541 1,416 1,354 1,266	10 60 30 40 20 40	1,099 1,070 1,043 1,001 0,9437 0,9247	30 60 30 10 40 40
Мусковит - $K_2O \cdot 3Al_2O_3 \cdot 6SiO_2 \cdot 2H_2O$	10,03 5,02 4,52 3,89 2,505 3,342 3,204	10 5 7 3 5 9 4	2,125 2,056 1,987 1,944 1,868 1,728 1,647	7 1 8 1 2 1 8	1,352 1,335 1,320 1,297 1,272 1,246 1,221	8 5 1 8 4 8 4

	3,095 2,862 2,783 2,568 2,471 2,374 2,250 2,186	6 7 5 10 2 7 2 3	1,596 1,555 1,519 1,498 1,472 1,448 1,427 1,410	3 4 4 10 1 2 3 1	1,206 1,193 1,159 1,130 1,115 1,104 1,045 -	2 2 3 2 6 2 5 -
Мис- Cu	2,08 1,81	100 53	1,277 1,089	33 33	1,043 0,905	9 3
Cu ₂ O	3,00 2,45 2,12 1,51	3 100 31 44	1,283 1,228 1,065 0,977	31 5 3 5	0,953 0,869 0,819 -	3 3 3 -
CuO	2,51 2,31 1,85 1,70 1,57	100 100 20 8 8	1,50 1,408 1,370 1,298 1,258	15 20 20 5 10	1,159 1,086 1,007 0,978 0,885	5 3 3 3 3
CuF ₂	3,127 2,708 2,150 1,633	100 6 49 28	1,3539 1,2425 1,1055 1,0424	3 5 5 3	0,9574 0,9156 0,8564 -	1 2 1 -
Cu SO ₄	4,20 3,92 3,55 2,62 2,41 2,31 2,08 2,01 -	53 3 53 100 40 9 5 3 -	1,96 1,77 1,67 1,58 1,55 1,461 1,430 1,400 -	12 33 9 13 8 1 27 3 -	1,375 1,305 1,290 1,243 1,210 1,182 1,150 1,096 1,076	11 3 1 1 3 1 3 4 4
CuO·Al ₂ O ₃	2,85 2,43 2,01	33 100 27	1,85 1,64 1,55	7 7 20	1,423 1,230 -	67 7 -
CuO·B ₂ O ₃	6,4 5,3 3,88 3,17 2,91	44 78 100 33 22	2,66 2,51 2,37 2,17 1,95	33 100 11 11 11	1,73 1,58 1,55 1,53 1,425	33 11 11 11 11
CuO·Co ₂ O ₃	4,65 2,85	15 25	1,64 1,55	10 31	1,160 1,076	3 3

	2,43	100	1,421	38	1,047	8
	2,31	20	1,361	3	-	-
	2,11	5	1,227	8	-	-
Кумуш - Ag	2,36	100	1,179	5	0,834	3
	2,04	53	1,022	1	0,786	4
	1,445	27	0,938	8	0,691	3
	1,232	53	0,915	5	-	-
Ag ₂ O	3,35	1	1,422	16	1,054	2
	2,72	100	1,360	3	0,960	1
	2,36	40	1,179	1	0,907	1
	1,67	24	1,082	2	-	-
Ag ₂ CO ₃	4,77	20	2,27	30	1,53	3
	4,31	20	2,20	1	1,50	2
	3,05	4	2,15	8	1,462	1
	2,73	50	2,03	8	1,440	5
	2,65	100	1,92	8	1,398	4
	2,55	2	1,86	4	1,370	13
	2,48	1	1,77	10	1,328	4
	2,42	15	1,67	8	1,300	2
	2,37	3	1,63	10	1,222	3
	2,32	4	1,59	7	1,133	3
AgCl	3,203	49	1,273	3	0,9248	3
	2,774	100	1,241	11	0,8774	3
	1,962	50	1,1326	7	0,8462	2
	1,673	15	1,0680	3	0,8366	3
	1,602	15	0,9810	2	-	-
	1,387	6	0,9380	2	-	-
AgNO ₃	4,51	50	2,24	25	1,66	15
	4,08	50	2,15	15	1,57	5
	3,66	38	2,11	10	1,490	10
	3,00	100	2,08	50	1,420	8
	2,80	38	1,96	18	1,382	5
	2,73	44	1,90	10	1,340	13
	2,53	38	1,83	25	1,310	3
	2,29	31	1,70	15	-	-
Ag ₂ O·MoO ₃	5,3	6	1,64	43	1,097	1
	3,28	17	1,475	1	1,075	9
	2,80	100	1,422	11	1,043	1
	2,68	17	1,406	11	0,978	2
	2,32	14	1,345	1	0,951	5
	2,12	5	1,245	5	0,915	1
	1,89	6	1,211	17	-	-
	1,78	43	1,164	3	-	-
Олтин -Au	2,35	100	1,227	40	0,935	9
	2,03	53	1,173	9	0,910	7
	1,439	33	1,019	3	0,832	4
	-	-	-	-	0,784	4

AuCN	5,1 2,94 2,54 1,92 1,69	60 100 100 40 16	1,61 1,467 1,410 1,271 1,200	12 20 16 4 4	1,165 1,110 1,086 1,018 0,961	4 4 4 4 4
Au ₃ In ₂	3,930 3,229 2,811 2,285 2,262 1,963	Ý. Кз. Кз. Ж.ку. Ж.ку. Ý.	1,757 1,609 1,491 1,433 1,406 1,326	Ж.кз. Ж.ку. Кз. Кз. Ý. Кз.	1,310 1,304 1,195 1,142 1,129 -	Ý. Ý. Ку. Кз. Кз. -
Au ₃₄ Sn ₆₆	4,525 3,766 3,530 3,450 3,398 3,097 3,035 3,015 2,937 2,760 2,744	Ý. Ý. Ж.кз. Ý. Ý. Ж.ку. Ý. Ý. Ку. Ж.ку. Кз.	2,712 2,619 2,533 2,466 2,453 2,440 2,414 2,273 2,241 2,179 2,149	Ku. Ý. Кз. Кз. Ж.кз. Ж.кз. Ку. Ж.кз. Ку. Ý. Ку.	2,139 2,135 2,130 2,083 2,074 2,056 1,963 1,955 1,939 1,916 1,908	Ж.кз. Ý. Ку. Ý. Ж.ку. Ку. Ж.кз. Ж.кз. Ý. Ý. Ý.
AuSb ₂	3,82 3,32 2,97 2,71 2,34 1,999 1,914 1,836 1,773 1,521 1,482 1,445 1,414	1 5 4 3 4 10 1 1 2 1 1 1 1	1,353 1,277 1,231 1,211 1,175 1,124 1,107 1,078 1,048 1,011 1,001 0,989 0,979	1 3 1 1 2 1 1 1 1 2 1 1 1	0,932 0,921 0,912 0,904 0,888 0,865 0,851 0,844 0,831 0,806 0,800 0,794 0,783	1 1 1 1 2 5 1 1 2 2 2 1 4
Бериллий - Be	1,97 1,79 1,73	20 14 100	1,328 1,137 1,022	12 12 12	0,983 0,963 0,955	2 8 6
BeO	2,34 2,19 2,06 1,59 1,350 1,239	80 50 100 24 32 32	1,170 1,150 1,130 1,032 0,915 0,884	4 20 4 3 8 2	0,870 0,822 0,780 0,758 - -	2 8 3 8 - -

Be₂C	2,502 2,171 1,535	98 1 100	1,309 1,0860 0,9959	16 15 7	0,9709 0,8863 0,8356	2 41 11
BeS	2,807 2,432 1,718 1,466 1,404	100 31 39 32 10	1,216 1,115 1,087 0,9924 0,9357	5 13 10 13 12	0,8595 0,8219 0,8104 - -	7 18 13 - -
BeSO₄·4H₂O	5,7 3,90 3,40 3,20 3,06 2,84 2,52 2,42	13 100 13 20 1 3 53 1	2,30 2,23 2,17 2,00 1,94 1,88 1,84 1,78	1 1 17 4 3 13 7 5	1,70 1,60 1,490 1,458 1,414 1,330 - -	3 5 4 8 4 4 - -
BeO·Al₂O₃	4,47 4,03 3,60 3,24 2,85 2,57 2,33 2,26 2,08 1,98 1,88	4 6 5 8 4 8 8 7 10 2 2	1,80 1,65 1,61 1,555 1,513 1,462 1,362 1,338 1,296 1,257 1,215	6 4 10 2 5 5 8 4 7 7 4	1,190 1,160 1,140 1,105 1,078 1,061 1,056 1,040 1,021 1,003 -	4 4 5 5 6 6 2 7 2 6 -
Магний - Mg	2,77 2,60 2,45 1,90 1,60 1,471 1,378	30 25 100 20 20 30 18	1,341 1,303 1,225 1,180 1,084 1,030 1,010	13 3 3 3 4 7 3	0,974 0,925 0,898 0,870 0,763 0,740 -	4 1 3 1 1 1 -
MgO	2,42 2,10 1,485 1,266	6 100 75 6	1,213 1,050 0,963 0,940	15 4 1 10	0,937 0,860 0,854 -	5 4 2 -

Магнезит - $MgCO_3$	3,53	2	1,404	5	1,100	3
	2,737	10	1,367	1	1,065	8
	2,500	5	1,352	6	1,049	5
	2,316	4	1,336	7	1,012	2
	2,101	9	1,249	3	0,9671	7
	1,935	6	1,237	2	0,9554	7
	1,766	2	1,200	2	0,9496	1
	1,697	10	1,189	5	0,9443	5
	1,503	3	1,156	1	0,9171	6
	1,485	5	1,126	1	0,9120	10
$MgSO_4$	4,18	4	2,30	25	1,55	4
	3,55	100	2,15	4	1,51	2
	3,35	2	2,02	4	1,454	6
	3,18	2	1,97	8	1,409	2
	2,64	30	1,81	4	1,382	2
	2,45	20	1,77	12	1,275	6
	2,35	4	1,68	6	-	-
Брусит - $Mg(OH)_2$	4,77	Ж.ку.	1,310	Ү.кз.	0,9543	Ж.ж.кз.
	2,725	Ж.кз.	1,192	Ж.ж.кз.	0,9503	Ж.кз.
	2,365	Ж.ж.ку.	1,183	Кз.	0,9455	Кз.
	1,794	Ку.	1,118	Ж.ж.кз.	0,9085	Ж.ж.кз.
	1,573	Ү.	1,092	Ж.ж.кз.	0,9001	Ж.ж.кз.
	1,494	Ү.	1,034	Ж.кз.	0,8974	Ж.ж.кз.
	1,373	Ү.	1,030	Ж.ж.кз.	0,8923	Ж.ж.кз.
	1,363	Ж.ж.кз.	1,0067	Кз.	0,8156	Ж.ж.кз.
	-	-	-	-	0,7865	Ж.ж.кз.
$MgO \cdot SiO_2$	6,33	1	2,706	26	2,232	7
	4,41	14	2,534	43	2,114	24
	3,303	35	2,494	51	2,096	21
	3,167	100	2,471	31	2,058	13
	2,941	44	2,358	7	2,019	10
	2,876	87	2,280	5	1,984	13
	2,825	23	2,252	7	1,958	24
	-	-	-	-	-	-
2MgO·SiO ₂	5,1	1	2,45	40	1,74	100
	3,89	40	2,26	40	1,67	10
	3,72	5	2,15	11	1,62	11
	3,49	20	2,02	2	1,57	8
	2,99	13	1,95	2	1,490	32
	2,77	40	1,88	3	1,395	20
	2,51	32	1,81	3	1,350	28
	-	-	-	-	1,315	10
$MgO \cdot Al_2O_3$	4,67	4	1,366	3	1,0100	5
	2,858	40	1,278	2	0,9522	3
	2,436	100	1,232	9	0,9330	10
	2,333	3	1,218	1	0,9034	6
	2,021	58	1,1662	7	0,8869	1
	1,649	10	1,1312	2	0,8613	1

	1,555 1,429	45 58	1,0796 1,0518	4 12	0,8469 0,8247	10 20
MgO·B ₂ O ₃	7,7 6,1 5,3 4,29 3,57 3,18 3,07 2,82	12 16 8 24 12 12 80 100	2,18 2,07 1,99 1,99 1,86 1,77 1,71 1,63	24 32 40 8 12 8 8 12	1,50 1,445 1,412 1,375 1,262 1,151 - -	8 8 8 8 16 8 - -
MgCa(CO ₃) ₂	3,71 2,89 2,68 2,55 2,40 2,19 2,06 2,02	2 100 2 2 13 40 2 20	1,85 1,80 1,57 1,55 1,50 1,468 1,418 1,389	2 40 2 10 1 6 1 8	1,337 1,300 1,270 1,237 1,202 1,172 - -	2 1 1 2 1 1 - -
MgO·Fe ₂ O ₃	4,82 2,96 2,52 2,09 1,71 1,61 1,48 1,32	50 50 100 50 30 70 90 10	1,28 1,12 1,09 1,04 0,983 0,964 0,933 0,891	20 20 40 20 10 3 10 5	0,876 0,853 0,820 0,808 0,762 0,753 - -	20 40 10 10 5 5 - -
2 MgO·P ₂ O ₅	4,14 3,85 3,45 3,00 2,51 2,40 2,30 2,15	10 4 5 100 8 5 1 2	2,09 1,85 1,69 1,62 1,57 1,51 1,465 1,380	15 10 8 7 10 1 7 6	1,322 1,250 1,206 1,155 1,131 1,073 1,044 1,002	7 5 2 1 1 1 3 2
Серпентин- 3MgO·2SiO ₂ · 2H ₂ O	7,38 4,619 3,661 2,625 2,487 2,141 1,966	10 4 10 4 10 8 4	1,789 1,738 1,655 1,530 1,500 1,411 -	6 2 2 10 8 6 -	1,304 1,277 1,164 1,100 1,074 1,057 -	8 6 4 2 2 2 -

Вермикулит -(Mg,Fe) ₃ [(Al, Si) ₄ O ₁₀]· (OH) ₂ ·4H ₂ O	11,38	Ku.	2,66	Ku.	1,40	Ж.кз.
	8,00	Ж.кз.	2,43	Ў.ку.	1,39	Ж.кз.
	5,91	Ж.кз.	2,19	Ў.	1,36	Ж.кз.
	4,88	Кз.	2,03	Ў.	1,34	Ku.
	4,54	Ў.	1,75	Кз.	1,31	Ў.
	3,45	Ku.	1,70	Ku.	1,28	Ў.
	3,22	Ж.кз.	1,53	Ж.ку.	-	-
	3,05	Ж.кз.	1,52	Ж.кз.	-	-
Тальк - 3MgO·4SiO ₂ · H ₂ O	11,50	Ж.кз.	2,91	Ў.	1,71	Ku.
	8,96	Ж.ку.	2,80	Ў.	1,59	Ў.ку.
	6,68	Ж.кз.	2,66	Ў.	1,55	Ku.
	6,09	Ж.кз.	2,54	Ku.	1,50	Кз.
	5,18	Ж.кз.	2,38	Кз.	1,42	Ж.кз.
	4,50	Ў.	2,25	Ў.	1,35	Ў.
	3,44	Ў.	2,16	Ў.	1,33	Ku.
	3,30	Ж.кз.	1,90	Ku.	1,31	Ku.
	3,18	Ж.ку.	1,75	Кз.	1,29	Кз.
	-	-	-	-	1,25	Кз.
Нонтронит - m=Mg ₃ (Si ₄ O ₁₀) _n (OH) ₂ ·p[Fe, Al] ₂ (Si ₄ O ₁₀) _n (OH) ₂ ·nH ₂ O	7,11	Ж.кз.	2,62	Ku.	1,53	Ж.ку.
	6,38	Ж.кз.	2,32	Ж.кз.	1,49	Ж.кз.
	5,98	Ж.кз.	2,07	Ж.кз.	1,32	Ku.
	4,52	Ku.	2,00	Ж.кз.	1,26	Ў.
	3,54	Ж.кз.	1,72	Ў.	-	-
	3,28	Ж.кз.	1,69	Ku.	-	-
Монотермит - 0,2RO·Al ₂ O ₃ · 3SiO ₂ ·1,5H ₂ O (+0,5H ₂ O)	9,60	Ж.кз.	3,15	Ж.кз.	1,53	Ў.ку.
	7,80	Ж.кз.	2,53	Ku.	1,48	Ku.
	6,70	Кз.	2,43	Ж.кз.	1,40	Ж.кз.
	5,60	Кз.	2,32	Ў.	1,36	Ku.
	4,35	Ў.	2,06	Ў.	1,33	Ж.кз.
	4,17	Ў.кз.	1,97	Ў.	1,29	Ў.
	3,78	Ж.кз.	1,79	Ў.ку.	1,19	Ў.
	3,43	Ў.	1,71	Ж.кз.	1,15	Ў.
	3,26	Ж.ку.	1,64	Ku.	-	-
Палигорскит - MgAl ₂ [Si ₄ O ₁₁] _n (OH) ₂ ·4H ₂ O· nH ₂ O	10,40	Ў.	3,80	Ж.кз.	1,69	Ku.
	7,70	Кз.	3,44	Кз.	1,58	Ў.кз.
	6,12	Кз.	3,23	Ў.ку.	1,52	Ku.
	5,50	Кз.	2,62	Ж.ку.	1,31	Ku.
	4,46	Ў.кз.	2,20	Ў.ку.	1,26	Ў.
	4,10	Ж.кз.	1,75	Ў.	-	-
Сепиолит - Mg ₃ [Si ₄ O ₁₁] _n H ₂ O	9,87	Ж.кз.	3,76	Ў.	2,25	Ж.кз.
	9,04	Кз.	3,31	Ku.	2,20	Ў.
	7,90	Ж.кз.	3,10	Кз.	1,80	Ж.кз.
	6,50	Ж.кз.	2,62	Ж.кз.	1,52	Ж.ку.
	5,62	Ж.кз.	2,58	Ж.ку.	1,30	Кз.
	4,44	Ў.	2,30	Ж.кз.	1,27	Кз.
	4,12	Ў.	-	-	-	-

Антофиллит - $7\text{MgO}\cdot8\text{SiO}_2\cdot\text{H}_2\text{O}$	9,4	8	2,75	8	1,542	7
	9,1	9	2,52	4	1,498	3
	8,25	10	2,350	2	1,443	3
	5,05	3	2,252	2	1,319	2
	4,51	4	2,026	1	1,221	2
	4,13	6	1,982	3	1,156	2
	3,36	7	1,951	1	1,107	2
	3,23	10	1,838	6	1,100	2
	3,12	3	1,768	3	1,028	6
	2,84	10	1,610	8	0,926	6
$\text{Mg}_4\text{Nd}_6\text{Si}_4\text{P}_2\text{O}_{26}$	3,36	3	2,48	1	1,77	3
	3,02	1	2,02	1	1,74	2
	2,76	10	1,90	3	1,72	3
	2,72	3	1,85	1	1,68	3
	2,67	1	1,80	5	-	-
Хлорит - $\text{Mg}_5\text{Al}\equiv\text{AlSi}_3\text{O}_{10}\text{V(OH)}_8$	13,26	Ku.	2,56	ÿ.	1,56	Ж.ку.
	9,48	Ку.кз.	2,42	ÿ.кз.	1,50	ÿ.кз.
	7,85	ÿ.	2,28	ÿ.ку.	1,48	Кз.
	7,50	Ж.ку.	2,23	Кз.	1,43	ÿ.
	5,28	ÿ.	2,12	Ж.кз.	1,41	Ж.ку.
	4,66	Ж.к.	2,10	ÿ.	1,36	Кз.
	4,17	Ж.кз.	2,05	Ku.	1,33	ÿ.кз.
	3,82	ÿ.	1,90	ÿ.	1,30	Ку.
	3,52	Ж.ку.	1,84	ÿ.	2,25	Ж.кз.
	3,18	Кз.	1,75	ÿ.	1,20	Ку.
	2,90	Ku.	1,66	ÿ.	1,15	ÿ.ку.
	2,70	Ку.кз.	1,59	Ж.ку.	-	-
	5,8	15	2,55	3	1,78	8
	4,10	100	2,46	3	1,72	10
	3,57	15	2,31	15	1,63	3
Бишовит, бишофит - $\text{MgCl}_2\cdot6\text{H}_2\text{O}$	2,98	20	2,23	25	1,59	3
	2,88	50	2,15	8	1,480	10
	2,72	44	2,05	18	1,420	3
	2,65	75	1,84	31	1,390	10
	-	-	-	-	1,365	3
	7,51	10	2,290	1	1,450	1
Серпентин - $\text{Mg}_6\text{Si}_4\text{O}_{10}\text{V}(\text{OH})_8$	5,20	1	2,205	1	1,407	1
	4,59	5	2,140	5	1,322	1
	3,94	1	1,814	1	1,300	3
	3,73	10	1,780	3	1,268	3
	3,105	3	1,725	1	1,238	1
	2,750	1	1,686	1	1,208	1
	2,635	1	1,657	1	1,159	2
	2,580	1	1,550	1	1,099	1
	2,490	9	1,525	5	1,068	2
	2,420	1	1,497	5	1,051	2

Кальций - Ca	3,21 2,80 1,97	100 30 20	1,68 1,61 1,28	20 10 5	1,246 1,238 -	3 5 -
CaO	2,76	40	1,100	7	0,800	6
	2,39	100	1,071	25	0,759	2
	1,69	63	0,979	13	0,731	1
	1,445	20	0,922	3	0,723	2
	1,382	20	0,847	3	0,671	1
	1,200	10	0,810	3	0,666	1
CaCl ₂	4,49	100	2,09	16	1,490	4
	3,46	16	1,90	36	1,330	12
	3,05	80	1,79	8	1,243	12
	2,85	32	1,68	12	1,210	12
	2,33	60	1,56	4	1,165	4
	2,24	16	1,51	8	-	-
CaF ₂	3,16	67	1,117	30	0,835	2
	1,93	100	1,050	10	0,789	1
	1,65	50	0,968	5	0,767	2
	1,370	23	0,925	7	0,731	5
	1,256	23	0,866	5	0,731	3
	-	-	-	-	0,644	1
Ca (OH) ₂	4,93	50	1,55	2	1,063	10
	3,11	25	1,485	20	1,035	5
	2,63	100	1,450	20	1,012	8
	1,93	50	1,315	16	0,955	5
	1,79	40	1,178	2	0,850	2
	1,69	30	1,145	15	-	-
Кальцит - CaCO ₃	3,86	12	2,095	18	1,604	8
	3,035	100	1,927	5	1,587	2
	2,845	3	1,913	17	1,525	5
	2,495	14	1,875	17	1,518	4
	2,285	18	1,626	4	1,510	3
	-	-	-	-	-	-
Арагонит- CaCO ₃	3,40	100	2,49	48	1,88	64
	3,29	48	2,36	48	1,82	32
	3,05	2	2,19	11	1,74	40
	2,88	2	2,10	24	1,63	2
	2,70	64	1,98	100	1,56	6
	-	-	-	-	-	-
Ватерит- CaCO ₃	4,26	13	2,06	63	1,480	8
	3,58	63	1,866	15	1,367	8
	3,29	75	1,827	63	1,318	10
	2,73	100	1,650	31	1,289	13
	2,31	8	1,550	8	1,145	8
	-	-	-	-	1,112	5

CaO·Al ₂ O ₃	5,6 4,69 4,41 4,05 3,88 3,71 3,50 3,30	3 13 2 5 1 7 1 3	3,20 2,97 2,85 2,75 2,69 2,60 2,52 -	4 100 7 1 1 1 42 -	2,41 2,33 2,27 2,20 2,13 1,92 1,53 -	27 7 3 10 5 20 20 -
3CaO·Al ₂ O ₃	4,847 4,142 3,784 3,120 3,043 2,991 2,696 -	7 2 10 2 15 5,5 100 -	2,402 2,298 2,193 1,933 1,906 1,664 1,555 -	4 5,5 5 6 36,5 59 24 -	1,523 1,356 1,347 1,206 1,100 1,067 1,047 1,016	2,5 5 20 27 97 2 3,5 8
3CaO·5Al ₂ O ₃	4,46 3,50 3,31 3,09 2,96 2,87 2,73 2,60 2,51	40 100 7 40 27 33 40 100 20	2,44 2,31 2,18 2,05 2,00 1,44 1,90 1,85 1,80	47 13 20 40 20 13 20 13 33	1,76 1,68 1,62 1,52 1,53 1,478 1,455 1,370 1,337	33 13 40 13 67 13 27 27 13
5CaO·3Al ₂ O ₃	4,95 3,19 3,01 2,68 2,44 2,19 1,94 -	67 20 23 100 50 50 50 -	1,73 1,66 1,59 1,52 1,478 1,395 1,344 -	13 42 50 13 10 27 10 -	1,309 1,261 1,236 1,209 1,174 1,141 1,112 1,091	17 7 7 10 10 7 13 3
α - CaO·SiO ₂	5,7 3,42 3,23 2,80 2,45 1,98	5 15 100 75 10 63	1,83 1,69 1,61 1,54 1,476 1,400	8 3 8 3 8 5	1,293 1,250 1,180 1,140 1,110 1,040	3 8 3 3 3 3

α -2CaO·SiO ₂	5,6 4,32 4,05 3,80 3,38 3,01 2,89	8 24 6 24 9 48 9	2,74 2,60 2,51 2,44 2,32 2,24 2,18	100 6 9 6 6 5 6	2,02 1,90 1,80 1,75 1,68 1,63 1,53	6 48 32 20 20 28 8
β -2CaO·SiO ₂	2,77 2,62 2,43 2,28 2,19 2,03	100 40 16 12 50 16	1,98 1,90 1,80 1,70 1,62 1,52	32 16 12 8 16 12	1,485 1,370 1,290 1,250 1,180 1,125	12 8 4 4 4 4
3CaO·SiO ₂	3,02 3,75 2,61 2,30 2,18 1,48	44 100 75 8 50 5	1,92 1,81 1,76 1,63 1,54 1,480	10 3 38 31 10 31	1,441 1,380 1,195 1,160 1,130 1,094	20 18 8 3 3 5
Фторапатит- 10CaO· 3P ₂ O ₅ · F ₂	8,12 5,25 4,684 4,055 3,872 3,492 3,442 3,167	8 4 1 8 8 1 40 14	3,067 2,800 2,772 2,702 2,624 2,517 2,289 2,250	18 100 55 60 30 6 8 20	2,218 2,140 2,128 2,061 2,028 1,997 1,937 1,884	4 6 4 6 2 4 25 14
Перовскит — CaO·TiO ₂	3,81 2,69 2,57 2,42 2,29 2,20 2,11	3 10 1 1 3 3 1	2,03 1,903 1,846 1,704 1,665 1,552 -	1 8 2 3 2 8 -	1,345 1,203 1,136 1,100 1,017 0,897 -	6 5 2 4 7 6 -
CaY ₂ O ₄	4,96 3,55 3,13 2,94 2,89 2,84	15 14 14 13 78 72	2,82 2,75 2,47 2,30 2,28 2,14	100 12 20 15 11 12	2,01 1,778 1,722 1,664 1,653 1,578	45 18 32 35 16 11
CaHo ₂ O ₄	5,04 4,96 3,77 3,55 3,13 2,89 2,84	8 25 7 10 11 100 75	2,82 2,75 2,47 2,30 2,15 2,04 2,01	66 10 21 16 11 8 37	1,788 1,772 1,664 1,653 1,639 1,580 -	14 18 19 21 15 8 -

CaYb ₂ O ₄	4,983	53	2,492	15	1,614	18
	4,870	44	1,992	34	1,431	13
	2,901	68	1,963	24	1,416	13
	2,833	100	1,661	24	1,252	8
	2,763	72	1,647	19	1,173	6
	2,742	38	1,625	24	1,093	3
Ca ₂ Yb ₂ O ₅	6,916	17	2,299	26	1,613	7
	5,505	15	2,155	24	1,534	7
	3,534	4	2,124	10	1,462	21
	3,457	5	2,071	4	1,424	12
	3,048	27	1,854	7	1,409	4
	2,926	100	1,827	4	1,402	4
	2,894	12	1,809	4	1,376	5
	2,849	19	1,764	6	1,234	2
	2,755	35	1,726	12	1,165	5
	2,585	20	1,696	14	1,150	5
	2,469	9	1,668	15	1,128	3
	2,436	5	1,630	10	1,126	3
	2,402	25	1,620	18	-	-
	7,900	5	2,488	13	1,690	20
Ca ₃ Yb ₂ O ₆	5,488	5	2,420	8	1,635	7
	2,372	5	2,398	12	1,617	13
	3,948	5	2,345	12	1,442	4
	3,391	5	2,298	5	1,423	9
	2,921	21	2,262	8	1,407	4
	2,883	100	2,176	4	1,376	4
	2,761	31	2,154	7	1,149	3
	3,29	27	2,66	6	1,716	14
CaY ₄ O ₇	3,13	75	2,47	11	1,678	47
	3,06	19	2,31	12	1,653	24
	2,94	87	2,24	22	1,642	14
	2,91	59	2,17	19	1,600	35
	2,89	33	2,13	37	1,566	9
	2,82	100	1,866	42	1,554	19
	2,79	49	1,781	41	-	-
	2,75	85	1,722	15	-	-
CaCd ₄ O ₇	3,192	59	2,270	18	1,674	24
	2,986	100	2,160	59	1,630	24
	2,868	82	1,899	47	1,593	18
	2,840	85	1,705	50	1,579	15
	2,792	68	1,680	26	1,549	26
CaHo ₄ O ₇	3,29	24	2,24	24	1,722	20
	3,13	100	2,22	12	1,678	47
	2,94	85	2,17	28	1,653	28
	2,92	51	2,14	14	1,600	39
	2,89	29	2,13	54	1,580	8
	2,82	71	2,01	25	1,568	20
	2,79	88	1,866	41	1,551	19
	2,75	90	1,781	35	-	-

CaYb ₄ O ₇	5.81 5.02 3.72 3.24 3.084 2.906 2.880 2.784	4 4 4 18 54 100 42 32	2,747 2,702 2,274 2,211 2,138 2,098 1,840 1,754	59 71 5 11 13 33 30 28	1,693 1,657 1,637 1,631 1,579 1,503 1,500 1,121	7 22 9 11 12 13 16 10
CaO · Ca ₂ O ₃ - I	6,288 4,511 3,875 3,675 2,950	3 3 6 2 10	2,623 2,589 2,488 2,195 2,173	7 4 4 2 2	1,966 1,947 1,932 1,710 -	2 2 2 2 -
CaO · Ca ₂ O ₃ - II	5,327 4,564 2,155 3,319	7 2 2 2	3,006 2,806 2,661 2,559	4 10 3 2	2,493 1,846 1,561 1,525	2 2 2 2
CaO · WO ₃	4,76 3,10 3,072	53 100 31	2,844 2,622 2,326	14 23 19	2,256 2,0864 -	3 5 -
4CaO · Al ₂ O ₃ · Fe ₂ O ₃	2,78 2,66 2,05	33 100 27	1,93 1,58 1,53	47 13 7	1,326 1,212 -	7 7 -
2CaO · Al ₂ O ₃ · SiO ₂	5,44 5,04 3,70 3,44 3,06 2,841 2,718 2,554 2,428 2,407 2,401 -	3 7 22 2 25 100 3 7 17 26 26 -	2,300 2,291 2,037 1,921 1,862 1,852 1,811 1,752 1,718 1,633 1,615 -	15 15 15 7 5 5 8 37 2 4 3 -	1,545 1,515 1,435 1,424 1,390 1,376 1,359 1,279 1,267 1,252 1,1241 1,0080	2 17 3 1 2 7 3 2 2 4 30 15
2CaO · MgO · 2SiO ₂	5,57 4,25 3,95 3,72 3,52 -	10 12 5 14 6 -	3,09 2,881 2,488 2,430 2,392 -	29 100 10 6 12 -	2,321 2,285 2,040 1,961 1,903 1,848	10 6 16 5 5 8

Монтичеллит - $\text{CaO} \cdot \text{MgO} \cdot \text{SiO}_2$	5,56 4,19 3,854 3,637 3,188 2,935 2,666	15 35 10 40 15 35 100	2,586 2,543 2,401 2,355 2,209 1,916 1,818	40 30 24 7 5 15 30	1,777 1,751 1,721 1,704 1,687 1,600 -	10 7 15 5 5 15 -
Диопсид - $\text{CaO} \cdot \text{MgO} \cdot 2\text{SiO}_2$	2,231 2,992 2,291 2,894 2,566 2,524 2,518 2,301	30 100 30 40 25 65 65 16	2,215 2,198 2,156 2,133 2,108 2,042 2,014 2,006	14 14 12 18 10 20 14 10	1,968 1,835 1,754 1,673 1,658 1,624 1,617 -	8 10 14 6 6 35 35 -
Мервинит - $3\text{CaO} \cdot \text{MgO} \cdot 2\text{SiO}_2$	2,84 2,74 2,66 2,41 2,30 2,20 2,16	50 50 100 30 50 50 50	2,03 1,90 1,87 1,75 1,69 1,61 1,57	50 70 60 30 30 50 50	1,53 1,43 1,39 1,34 1,32 1,23 1,19	70 30 30 50 50 50 30
Сфен - $\text{CaO} \cdot \text{TiO}_2 \cdot \text{SiO}_2$	4,87 3,57 3,20 2,98 2,85 2,59 2,26 2,09	2 5 10 9 5 10 7 2	2,05 1,932 1,801 1,734 1,693 1,630 1,553 1,488	6 2 2 5 6 7 6 7	1,410 1,343 1,302 1,274 1,225 1,131 1,106 1,074	9 5 5 5 2 5 5 2
$\text{CaLaAl}_3\text{O}_7$	5,11 4,49 3,75 3,48 3,11 2,889 2,868 2,583	8 3 22 10 25 100 5 18	2,473 2,441 2,338 2,329 2,233 2,079 1,892 1,842	20 10 10 10 10 30 10 10	1,835 1,784 1,545 1,500 1,404 1,400 0,9517 0,9164	10 30 25 7 7 7 50 25

CaNdAl ₃ O ₇	5,11	14	2,419	7	1,767 1,723 1,530 1,492 1,385 0,9460 0,9092	31
	3,73	16	2,312	9		8
	3,47	7	2,134	6		18
	3,09	18	2,057	27		7
	2,868	100	1,938	8		12
	2,550	22	1,881	9		50
	2,455	11	1,876	7		25
	2,434	8	1,829	5		-
CaSmAl ₃ O ₇	3,71	25	2,403	6	1,525 1,486 1,382 1,274 0,9434 0,9059	20
	3,43	10	2,302	10		5
	3,07	20	2,044	27		15
	2,850	100	1,935	10		10
	2,635	5	1,821	12		50
	2,539	7	1,761	35		25
	2,439	12	1,714	5		-
Ca ₃ YAl ₃ O ₇	5,43	4	2,394	20	1,711 1,542 1,511 1,474 1,447 1,375 1,360 1,323 0,9379 0,8999	10
	5,04	5	2,283	14		3
	3,86	4	2,189	6		23
	3,70	22	2,114	2		6
	3,33	4	2,037	25		2
	3,05	31	1,921	8		10
	2,841	100	1,864	6		3
	2,713	3	1,850	5		2
	2,613	4	1,813	10		50
	2,522	10	1,750	40		25
	2,432	18	1,720	4		-
	4,22	11	3,19	18		11
Ca ₆ La ₄ (SiO ₄) ₆	4,06	10	2,94	100	2,19 2,03 -	25
	3,66	20	2,88	40		-
	3,29	26	2,35	13		-
	4,17	10	3,15	20		-
Ca _{0,67} La _{0,33} · Al _{0,33} · Si _{0,67} O ₃	4,00	10	2,88	100	2,12 1,99 -	10
	3,55	8	2,78	18		17
	3,27	20	2,27	13		-
	4,10	16	3,12	50		-
Ca _{0,67} Nd _{0,33} · Al _{0,33} ·Si _{0,67} O ₃	3,93	16	2,83	100	2,09 1,97 -	24
	3,51	8	2,75	32		-
	3,22	20	2,27	13		-
	3,37	16	2,60	14		-
Ca _{0,67} Sc _{0,33} · Al _{0,33} ·Si _{0,67} O ₃	3,04	70	2,49	25	1,69 1,63 -	33
	2,84	10	2,39	10		75
	2,73	100	1,99	12		-

Геролит — $2\text{CaO}\cdot 3\text{SiO}_2\cdot 2\text{H}_2\text{O}$	9,6 7,9 6,4 4,68 4,24 3,84 3,54 3,36 3,15	6 4 4 4 8 6 4 10 6	3,02 2,92 2,85 2,65 2,58 2,52 2,45 2,29 2,25	2 2 8 6 2 2 4 4 6	2,12 2,095 2,060 1,990 1,940 1,884 1,813 — —	4 4 2 2 2 8 3 — —
$3\text{CaO}\cdot \text{Ga}_2\text{O}_3$	10,589 8,043 7,748 6,207 6,046 5,271 4,964 4,409 3,579 3,443 3,378 3,217	2 1 1 1 1 6 2 2 1 4 1 4	3,110 2,983 2,959 2,827 2,626 2,523 2,493 2,402 2,269 2,195 1,964 1,882	5 10 8 1 4 4 4 1 3 1 2 1	1,837 1,826 1,791 1,684 1,635 1,579 1,553 1,487 1,451 1,389 1,359 1,268	1 1 2 1 2 1 1 1 1 3 1 2
$\text{CaO}\cdot 2\text{Ga}_2\text{O}_3$	7,481 6,784 4,738 4,568 3,837 3,703 3,545 3,168 2,955 2,860 2,831 2,709	1 1 3 9 1 3 10 8 2 3 3 4	2,666 2,601 2,471 2,428 2,387 2,328 2,120 2,060 1,960 1,837 1,806 1,733	6 4 5 2 4 1 3 1 1 1 1 3	1,676 1,650 1,624 1,586 1,560 1,480 1,422 1,392 1,371 1,284 — —	1 2 1 4 1 1 1 1 1 1 — —
Спуррит — $2(2\text{CaO}\cdot \text{SiO}_2)\cdot \text{CaCO}_3$	3,81 3,019	3 7	2,701 2,663	10 5	2,635 2,170	7 4
Анортит — $\text{CaO}\cdot \text{Al}_2\text{O}_3\cdot 2\text{SiO}_2$ (Ромбик)	5,94 4,83 4,29 4,20 4,17 4,11 3,75 3,21 3,13 2,97	3 9 5 10 85 70 50 100 3 35	2,415 2,383 2,363 2,327 2,296 2,241 2,152 2,115 2,087 2,056	1 8 15 13 4 13 3 7 40 15	1,855 1,849 1,773 1,732 1,685 1,672 1,621 1,598 1,578 1,558	3 8 7 2 10 15 3 8 6 6

	2,94 2,701 2,601 2,532	50 30 6 12	2,042 2,026 1,965 1,907	12 10 20 3	1,533 1,510 - -	8 3 - -
CaO·Al ₂ O ₃ · 2SiO ₂ (Тексагонал)	7,37 4,43 3,80 3,68 2,84 2,555 2,456	85 7 30 100 40 9 14	2,414 2,417 2,119 1,842 1,770 1,701 1,658	3 11 4 100 9 1 1	1,501 1,495 1,475 1,399 1,277 1,183 1,152	2 14 3 12 8 5 1
CaO·Al ₂ O ₃ · 2SiO ₂ (Триклин)	4,08 3,80 3,63 3,37 3,26 3,20 3,15 2,948 2,832 2,648 2,509 2,135	3 3 2 2 1 10 2 4 4 2 6	2,097 2,021 1,926 1,877 1,836 1,797 1,762 1,714 1,626 1,532 1,480 1,451	3 3 3 2 5 4 5 2 3 2 4 3	1,410 1,385 1,360 1,342 1,317 1,274 1,211 1,166 1,127 1,079 1,064 -	2 4 3 3 2 2 3 4 2 3 4 -
Воллас- тонит — β - CaO·SiO ₂	7,7 4,05 3,83 3,52 3,40 3,31 3,16 3,09 2,97 2,80 2,72 2,55 2,47	40 10 80 80 5 80 5 30 100 10 10 30 60	2,33 2,29 2,18 2,08 2,01 1,98 1,91 1,88 1,86 1,83 1,80 1,79 1,75	40 40 60 5 20 20 20 20 10 60 5 5 40	1,72 1,602 1,531 1,515 1,478 1,455 1,426 1,387 1,358 1,332 1,312 - -	60 40 10 5 20 30 5 5 30 10 5 -
Ранкинит — 3CaO·2SiO ₂	4,39 4,04 3,76 3,51 3,33 3,15 2,97 2,85 2,74 2,68 2,54	80 80 100 50 50 100 70 70 30 100 80	2,47 2,34 2,26 2,15 2,10 2,03 1,98 1,94 1,90 1,84 1,80	70 20 20 20 20 20 20 20 70 70 80	1,74 1,72 1,67 1,62 1,59 1,54 1,52 1,47 1,44 1,42 -	20 20 20 30 30 20 20 70 30 20 -

Шенонит, кальциоолив иин- γ - 2CaO· SiO ₂	5,66	Ў.кз.	1,754	Ў.кз.	1,185	Ж.кз.
	4,33	Ў.	1,685	Ў.кз.	1,161	Кз.
	4,05	Кз.	1,672	Ж.ж.кз.	1,138	Ў.кз.
	3,82	Ў.	1,631	Ў.	1,106	Ж.ж.кз.
	3,39	Кз.	1,618	Ж.ж.кз.	1,095	Кз.
	3,01	Kу.	1,574	Ж.ж.кз.	1,078	Ж.кз.
	2,89	Ж.кз.	1,541	Ж.кз.	1,059	Ж.ж.кз.
	2,74	Ж.ки.	1,527	Кз.	1,050	Ж.ж.кз.
	2,60	Кз.	1,501	Кз.	1,038	Ж.ж.кз.
	2,53	Кз.	1,471	Ў.кз.	1,026	Ж.кз.
	2,46	Кз.	1,440	Кз.	1,014	Кз.
	2,33	Кз.	1,411	Кз.	1,001	Ж.кз.
	2,25	Ж.кз.	1,375	Ж.кз.	0,988	Ж.ж.кз.
	2,18	Кз.	1,349	Ж.кз.	0,978	Ж.ж.кз.
	2,05	Ж.кз.	1,303	Ж.кз.	0,953	Кз.
	2,02	Кз.	1,273	Кз.	0,942	Ж.ж.кз.
	1,964	Ж.кз.	1,253	Ў.кз.	0,933	Ж.кз.
	1,908	Kу.	1,233	Ж.кз.	0,921	Ж.кз.
	1,873	Ж.кз.	1,218	Ж.ж.кз.	0,808	Ж.ж.кз.
	1,805	Ў.ку.	1,207	Ж.ж.кз.	0,900	Ж.кз.
	-	-	-	-	0,891	Кз.
Сульфатли Спуррит — 2(2CaO· SiO ₂)· CaSO ₄	7,68	10	2,704	10	1,954	20
	5,676	10	2,605	40	1,889	50
	5,319	10	2,561	50	1,836	15
	4,559	25	2,476	10	1,819	10
	4,073	20	2,403	10	1,806	10
	3,939	30	2,380	5	1,776	15
	3,490	30	2,353	5	1,755	20
	3,336	45	2,281	20	1,699	15
	3,190	65	2,227	10	1,688	10
	3,118	30	2,199	10	1,612	10
	3,035	30	2,169	20	1,561	5
	2,981	35	2,078	10	1,529	15
	2,838	100	2,060	15	-	-
	2,736	10	2,017	20	-	-
	3CaO·Fe ₂ O ₃ · 3CaSO ₄ · 32H ₂ O	7,43	1	2,98	10	2,06
	4,71	4	2,73	1	1,89	4
	4,30	1	2,65	3	1,84	5
	3,85	3	2,45	4	1,61	1
	3,60	1	2,26	5	1,51	3
	3,41	1	2,19	4	1,40	2
Стронций — Sr	3,50	100	2,14	20	1,74	20
	3,03	60	1,83	100	-	-
SrO	2,97	100	1,55	43	1,182	29
	2,58	86	1,485	14	1,151	14
	1,82	71	1,290	14	1,050	29

SrF ₂	3,37 2,91 2,06 1,75	100 5 100 50	1,68 1,455 1,336 1,302	5 10 15 5	1,189 1,121 1,029 0,979	20 15 5 10
SrCO ₃	3,53 2,56 2,45	100 8 40	2,18 1,05 1,98	8 40 8	1,90 1,81 -	16 32 -
Sr(NO ₃) ₂	4,50 3,91 3,48 3,18 2,35	100 33 33 33 100	2,24 1,94 1,78 1,75 1,58	100 17 17 17 17	1,50 1,376 1,315 - -	17 17 17 - -
SrO·SiO ₂	5,07 3,07 3,37 2,92 2,53	18 65 38 100 17	2,07 1,914 1,783 1,759 1,686	68 33 10 3 17	1,603 1,527 1,460 1,350 1,307	13 17 17 5 17
2SrO·SiO ₂	4,87 4,02 3,61 3,28 2,97 2,81 -	20 50 10 70 50 100 -	2,55 2,37 2,29 2,21 2,16 2,04 -	40 50 80 40 60 40 -	2,01 1,90 1,87 1,82 1,77 1,70 1,66	60 10 50 60 60 50 60
3SrO·Al ₂ O ₃	5,6 5,4 4,4 4,3 3,98 3,49 -	4 5 2 5 2 4 -	3,25 2,92 2,81 2,51 2,39 2,29 -	2 5 100 4 2 7 -	2,13 1,99 1,81 1,77 1,74 1,62 1,40	7 11 1 3 1 20 6
3SrO·SiO ₂	3,61 2,97 2,90 2,69 2,45 2,34 2,19	6 35 100 15 25 55 25	1,89 1,81 1,77 1,70 1,69 1,66 1,59	4 15 6 7 3 14 12	1,56 1,55 1,52 1,49 1,46 1,38 1,34	9 4 10 4 3 3 5

SrO·Al ₂ O ₃	6,07 4,42 4,00 3,90 3,83 3,14 3,04 2,98 2,56 2,55 -	5 48 9 13 13 100 88 76 33 72 -	2,46 2,42 2,21 2,19 2,15 2,10 2,03 2,01 1,95 1,92 -	12 16 20 14 14 17 5 8 16 21 -	1,90 1,86 1,67 1,63 1,60 1,58 1,57 1,56 1,53 1,48 1,47	7 11 6 6 13 5 7 8 14 12 7
SrO·6Al ₂ O ₃	4,71 4,42 3,66 2,78 2,75 2,70 2,63 2,48 2,41	10 16 20 44 24 9 100 95 5	2,39 2,35 2,29 2,20 2,11 2,01 1,85 1,81 1,74	3 2 27 19 65 38 52 2 2	1,72 1,61 1,58 1,54 1,52 1,46 1,39 1,35 -	10 4 31 59 4 3 43 2 -
5SrO·Al ₂ O ₃	5,11 4,98 4,29 3,92 3,35 2,89 2,84 2,79	3 3 3 2 3 100 4 17	2,75 2,56 2,49 2,42 2,34 2,31 2,15 2,07	11 2 3 2 5 5 12 2	2,04 1,96 1,70 1,69 1,63 1,61 1,44 1,34	2 12 7 4 11 8 4 5
SrO·CeO ₂	5,29 2,99 2,38 2,26 2,11 1,795 -	3 100 3 8 33 7 -	1,740 1,718 1,668 1,537 1,501 1,457 -	3 22 2 17 7 2 -	1,383 1,245 1,166 1,153 1,128 1,086 1,020	2 10 5 5 12 5 7
SrO·TiO ₂	2,76 2,25 1,944	100 10 30	1,589 1,376 1,230	30 23 18	1,173 1,122 1,041	2 3 15
SrO·ZrO ₂	2,90 2,04 -	100 40 -	1,667 1,446 -	67 27 -	1,293 1,180 1,094	24 3 27

SrO·Al ₂ O ₃ · 2SiO ₂	6,44 5,77 4,55 4,11 3,75 3,58 3,47 3,43 3,27 3,22 2,97 2,89 2,74	34 11 16 8 38 21 21 68 100 100 46 26 35	2,55 2,47 2,40 2,34 2,31 2,22 2,19 2,16 2,10 2,06 2,04 1,965 1,929	65 5 9 9 9 11 12 8 7 11 11 3 3	1,916 1,895 1,872 1,846 1,834 1,794 1,784 1,744 1,657 1,621 1,564 1,505 1,491	3 11 7 7 7 11 19 7 6 9 10 7 13
6SrO·9Al ₂ O ₃ · 2SiO ₂	5,60 4,49 3,03 2,97 2,94 2,91 2,82 2,79 2,75 2,56 2,45 -	21 26 100 79 74 47 29 58 32 11 30 -	2,40 2,37 2,32 2,30 2,25 2,21 2,16 2,04 2,02 1,96 1,92 -	12 7 11 16 5 9 28 17 49 7 17 -	1,89 1,87 1,85 1,80 1,78 1,57 1,56 1,48 1,47 1,46 1,40 1,38	15 7 10 10 11 21 21 13 11 8 11 8
2SrO·MgO· 2SiO ₂	5,68 5,18 4,35 4,02 3,82 3,59 3,17 2,950 2,838 -	32 5 5 9 23 9 45 100 7 -	2,590 2,539 2,462 2,366 2,280 2,225 2,175 2,100 2,050 -	24 36 12 10 10 5 7 43 7 -	2,000 1,946 1,915 1,891 1,822 1,795 1,778 1,727 1,586 1,555	10 15 8 12 14 27 10 5 5 15
2SrO·Al ₂ O ₃ · SiO ₂	5,53 5,24 3,90 3,80 3,48 3,13 2,914 2,753 -	5 5 5 15 4 22 100 2 -	2,625 2,488 2,471 2,370 2,329 2,234 2,179 2,100 -	24 10 14 3 5 3 5 31 -	1,953 1,891 1,838 1,798 1,779 1,746 1,736 1,672 1,568	7 10 10 22 10 7 7 4 22
SrLaAl ₃ O ₇	5,59 5,24 3,82 3,53	6 16 19 12	2,181 2,174 2,096 1,967	10 10 43 8	1,743 1,562 1,411 1,306	8 34 8 7

	3,15 2,923 2,614 2,489 2,354 2,249	22 100 37 19 9 6	1,912 1,897 1,858 1,800 1,761 1,753	9 14 10 30 6 10	1,198 1,157 0,9626 0,9275 - -	6 4 50 25 - -
SrGdAl ₃ O ₇	5,13 3,76 3,50 3,11 2,889 2,571 2,480 2,451	23 12 13 20 100 20 15 18	2,438 2,325 2,238 2,226 2,068 1,952 1,896 1,841	15 8 18 18 40 14 5 9	1,779 1,738 1,537 1,497 1,394 0,9508 0,9132 -	36 8 15 5 8 50 25 -
SrYAl ₃ O ₇	5,12 3,75 3,70 3,49 3,09 2,871 2,742 2,555 2,453	8 20 15 8 16 100 5 25 18	2,425 2,417 2,305 2,269 2,216 2,052 1,945 1,882 1,831	18 18 10 5 10 37 10 7 10	1,766 1,724 1,527 1,487 1,387 1,373 1,278 0,9497 0,9114	35 10 25 7 15 2 4 50 25
SrNdGa ₃ O ₇	3,87 3,20 2,961 2,833 2,642 2,536 2,524 2,393	14 23 100 8 33 33 30 3	2,128 2,002 1,945 1,938 1,888 1,824 1,791 1,778	10 10 5 5 10 47 5 6	1,581 1,543 1,430 1,415 1,335 1,324 0,9764 0,9395	22 8 18 9 6 5 30 15
SrGd ₂ O ₄	3,01 2,94 2,88 2,54 2,37	68 100 73 20 12	2,34 2,23 2,08 2,04 1,728	17 13 45 47 42	1,716 1,692 1,681 1,647 1,603	28 40 30 20 15
SrSm ₂ O ₄	3,00 2,93 2,897 2,878 2,791 2,544 2,378	Ү. Ку. Ку. Кз. Ж.ж.кз. Ж.кз. Ж.ж.кз.	2,345 2,231 2,078 2,041 1,862 1,855 1,796	Ж.ж.кз. Ж.ж.кз. Ку. Ү.ку. Ж.ж.кз. Ж.ж.кз. Ж.ж.кз.	1,751 1,727 1,717 1,696 1,681 1,651 -	Ү. Ку. Ку. Ү. Ү.ку. Кз. -

Беловит — $(\text{Sr}, \text{Ce}, \text{Na}, \text{Ca})_{10} \cdot [\text{PO}_4]_6 \cdot (\text{OH}, \text{O})_2$	3,56	3	1,843	7	1,209	3
	3,28	5	1,830	7	1,184	3
	3,15	6	1,787	7	1,166	1
	2,87	10	1,560	2	1,158	3
	2,78	7	1,509	4	1,148	4
	2,31	3	1,494	4	1,132	4
	2,19	1	1,467	2	1,105	3
	2,14	3	1,316	5	1,070	6
	1,998	8	1,306	5	1,064	3
	1,943	7	1,275	6	1,037	8
	1,900	8	1,252	6	1,010	4
Анкилит — $\text{Sr}_2\text{LaCe} \cdot (\text{H}_2)_2 \cdot [\text{CO}_3]_4 \cdot (\text{OH})_2$	4,40	5	2,95	8	1,318	5
	3,79	10	2,35	6	1,207	5
	-	-	-	-	-	-
Лампрофил- лит- $\text{Sr}_2(\text{Na}_3\text{Ti}) \cdot \text{Ti}_2 \cdot (\text{Si}_2\text{O}_7)_2\text{O}_2\text{F}$	3,17	10	2,12	5	1,59	3
	2,75	9	1,76	3	1,44	3
	-	-	-	-	-	-
Витчит — $\text{Sr}_3\text{B}_{16}\text{O}_{27} \cdot 5\text{H}_2\text{O}$	10,3	10	2,76	1	1,932	6
	5,64	6	2,69	1	1,859	2
	5,12	6	2,59	8	1,832	1
	4,46	4	2,52	2	1,797	2
	4,40	6	2,39	6	1,757	4
	3,47	4	2,20	6	1,673	1
	3,32	9	2,147	4	1,650	1
	3,19	4	2,078	6	1,583	2
	2,98	4	2,033	6	1,534	2
	2,86	6	1,992	2	1,506	2
Барий — Ва	3,55	100	1,451	5	1,026	1
	2,513	20	1,343	14	0,986	6
	2,051	40	1,185	5	0,917	2
	1,776	18	1,124	4	0,861	8
	1,590	12	1,072	3	-	-
BaO	3,20	100	1,380	10	0,975	5
	2,75	88	1,265	20	0,933	10
	1,95	75	1,231	25	0,920	5
	1,66	50	1,128	15	-	-
	1,59	25	1,060	5	-	-

Ba(OH) ₂	5,77 5,20 4,70 4,38 4,03 3,59 3,39 3,19 3,02 2,94	8 6 25 12 40 25 100 14 10 18	2,75 2,71 2,55 2,46 2,32 2,16 2,05 2,00 1,945 1,895	14 25 20 30 30 10 20 6 30 18	1,818 1,729 1,670 1,600 1,515 1,488 1,440 1,391 - -	6 6 20 10 14 2 10 6 - -
BaF ₂	3,58 3,09 2,19 1,86 1,78 1,55 -	100 25 100 80 15 15 -	1,420 1,382 1,262 1,190 1,095 1,045 -	32 18 32 20 5 15 -	1,031 0,978 0,944 0,933 0,866 0,859 0,827	3 6 3 2 3 2 5
BaCO ₃	4,56 4,45 3,72 3,68 3,215 2,025	9 4 100 53 15 4	2,749 2,656 2,628 2,590 2,281 2,226	3 11 24 23 6 2	2,150 2,104 2,048 2,019 1,940 1,859	28 12 10 21 15 3
BaCa(CO ₃) ₂	3,96 3,16 2,54	50 100 40	2,14 1,998 1,940	30 30 25	1,642 1,568 1,505	13 13 3
BaO·SO ₂	4,20 3,44 3,20 2,75 2,33	63 100 75 63 35	2,08 1,99 1,77 1,69 1,59	45 10 10 10 5	1,490 1,380 1,320 1,260 1,182	5 5 5 5 5
BaO·SO ₃	4,35 3,89 3,57 3,44 3,31 3,10 2,83 2,72 2,47	20 25 10 63 35 63 40 45 15	2,31 2,20 2,10 2,04 1,92 1,85 1,74 1,67 1,63	10 15 100 10 5 15 8 15 8	1,58 1,52 1,465 1,420 1,255 1,190 1,093 1,028 -	10 25 7 20 18 8 13 5 -

BaCrO ₄	4,50	11	1,97	1	1,380	7
	4,00	27	1,91	17	1,350	3
	3,54	40	1,80	10	1,325	3
	3,19	83	1,71	33	1,288	13
	2,90	33	1,66	11	1,250	4
	2,78	27	1,62	11	1,225	5
	2,53	8	1,56	23	1,170	8
	2,37	7	1,50	5	1,120	10
	2,25	7	1,450	13	1,055	4
	2,16	100	1,410	3	-	-
BaO·TiO ₂	4,03	12	2,019	12	1,786	7
	3,99	25	1,997	37	1,642	15
	2,830	100	1,802	6	1,634	35
	2,314	46	1,790	8	1,419	12
	-	-	-	-	1,412	10
BaO·Al ₂ O ₃	4,0468	Kз.	1,6768	Ý.	1,3023	Ý.
	3,1560	Ku.	1,6731	Ý.	1,2748	Ku.
	2,6084	Ku.	1,6386	Kз.	1,2509	Ж.кз.
	2,5008	Kз.	1,5890	Ku.	1,2485	Kз.
	2,4539	Ж.кз.	1,5719	Ý.	1,2399	Ku.
	2,2570	Kз.	1,5042	Ý.	1,2383	Kз.
	2,2421	Ý.	1,4728	Ж.кз.	1,2266	Kз.
	2,9970	Ý.	1,4624	Ж.кз.	1,2224	Kз.
	2,1829	Ж.кз.	1,4218	Ж.кз.	1,2028	Ku.
	2,0065	Ý.	1,3909	Ý.	-	-
BaO·CeO ₂	1,9724	Ý.	1,3841	Kз.	-	-
	1,9453	Kз.	1,3451	Ý.	-	-
	3,44	1	1,794	50	1,174	30
	3,10	100	1,552	15	1,098	2
BaO·6Al ₂ O ₃	2,18	35	1,389	20	1,034	10
	2,10	4	1,269	8	0,980	8
	4,74	57	3,02	15	2,23	25
	4,44	59	2,79	85	2,13	67
3BaO·Al ₂ O ₃	4,09	11	2,70	84	2,04	45
	3,68	27	2,51	100	1,992	11
	3,32	27	2,42	15	1,760	15
	3,09	12	2,30	20	-	-
	4,12	34	2,47	5	2,15	7
Паст жароратли форма - BaO·SiO ₂	3,78	10	2,38	23	2,06	25
	3,06	9	2,31	6	1,944	4
	2,91	100	2,20	5	1,841	12
	5,082	Ж.кз.	1,747	Ku.	1,119	Kз.
	3,682	Ku.	1,654	Kз.	1,096	Kз.
	3,470	Ж.ж.кз.	1,573	Kз.	1,075	Ж.кз.
	3,305	Ж.кз.	1,512	Kз.	1,053	Ж.кз.
BaO·SiO ₂	2,999	Ж.ки.	1,404	Kз.	1,033	Ж.кз.
	2,600	Ý.	1,355	Ku.	1,011	Ku.
	2,349	Ý.	1,305	Ж.ж.кз.	0,961	Ku.

	2,135 1,980 2,854 -	Ж.ку. Ку. Кз. -	1,270 1,238 1,209 -	Ж.ж.кз. Ку. Кз. -	0,943 0,916 0,902 0,890	Ж.ж.кз. Ү. Ж.ж.кз. Ж.ж.кз.
Юқори хароратли форма — $\text{BaO}\cdot\text{SiO}_2$	3,637 3,354 3,070 2,789 2,660 2,326 2,280	Ү. Ку. Ү. Кз. Кз. Ү. Ү.	2,205 2,070 2,017 1,883 1,836 1,747 1,687	Ү. Ү. Ү. Ку. Кз. Ж.ж.кз. Кз.	1,598 1,561 1,524 1,501 1,463 1,421 -	Кз. Кз. Кз. Кз. Кз. Ж.ж.кз. -
Юқори хароратли форма — $\text{BaO}\cdot2\text{SiO}_2$	6,66 5,49 4,66 4,09 3,95 3,86 3,84 3,75 3,51 -	50 12 16 16 100 20 39 38 45 -	3,39 3,34 3,30 3,23 3,17 3,13 3,11 3,07 2,83 -	14 29 44 63 33 60 85 47 27 -	2,77 2,74 2,58 2,34 2,32 2,24 2,20 2,19 2,15 2,11	34 65 17 11 20 42 63 81 25 8
Паст хароратли форма — $\text{BaO}\cdot2\text{SiO}_2$	6,75 5,05 3,95 3,80 3,71 3,41 3,33 3,26	25 23 100 41 32 66 73 44	3,22 3,09 2,77 2,72 2,70 2,56 2,39 2,32	50 92 34 50 43 14 10 13	2,22 2,16 2,12 2,02 1,986 1,916 1,901 -	36 36 41 25 15 14 15 -
$2\text{BaO}\cdot\text{SiO}_2$	4,16 3,39 3,12 3,08 3,00	21 64 26 24 93	2,91 2,88 2,41 2,38 2,23	100 62 39 34 25	2,11 2,09 2,01 1,963 1,895	24 32 11 17 20
$2\text{BaO}\cdot3\text{SiO}_2$	4,38 3,87 3,75 3,66 3,27 3,24 -	6 12 100 56 52 48 -	3,10 2,77 2,75 2,38 2,34 2,26 -	31 37 34 6 27 25 -	2,22 2,20 2,13 2,07 2,03 1,973 1,911	19 13 37 14 7 13 13
$5\text{BaO}\cdot8\text{SiO}_2$	6,85 5,99 4,287 3,795 3,735 3,264 3,209	11 13 31 78 89 100 56	3,099 2,852 2,820 2,778 2,761 2,345 2,265	38 11 22 78 40 18 27	2,224 2,195 2,173 2,141 2,071 1,984 1,906	27 18 31 13 18 22 18

Ba LaGa ₃ O ₇	3,93 3,64 3,245 3,01 2,880 2,622 2,573 2,167	17 8 28 100 16 29 44 16	2,035 1,974 1,940 1,920 1,863 1,817 1,805 1,610	14 14 10 20 56 10 12 26	1,564 1,528 1,509 1,455 1,440 1,356 1,345 -	8 4 4 27 6 5 5 -
Ba Nd Ga ₃ O ₇	3,90 3,62 3,22 2,995 2,863 2,670 2,551	16 7 30 100 6 33 30	2,148 2,022 1,962 1,910 1,846 1,810 1,797	12 5 8 11 38 6 8	1,597 1,549 1,446 1,431 1,384 1,347 -	20 8 14 5 5 5 -
Цинк-Zn	2,472 2,293 2,077 1,684 1,339 1,332 1,235	30 10 100 20 100 100 5	1,172 1,152 1,121 1,088 1,044 0,947 0,910	70 5 40 5 10 20 20	0,859 0,827 0,773 0,756 0,737 0,717 0,703	30 10 20 10 20 5 5
ZnO	2,816 2,602 2,476 1,911 1,626 1,477 1,407 1,379 1,359	71 56 100 29 40 35 6 28 14	1,301 1,225 1,1812 1,0929 1,0639 1,0422 1,0158 0,9848 0,9764	3 5 3 10 4 10 5 4 7	0,9555 0,9382 0,9069 0,8826 0,8675 0,8369 0,8290 0,8237 0,8125	1 4 12 6 1 6 2 2 5
ZnO ₂	2,81 2,43 1,721	60 100 36	1,467 1,405 1,116	40 10 8	1,088 0,993 0,936	6 4 6
ZnCO ₃	3,54 2,73 2,32 2,10 1,937 1,769	66 100 33 27 40 13	1,698 1,486 1,405 1,367 1,338 1,248	80 40 40 5 27 3	1,202 1,179 1,100 1,069 1,050 -	3 10 8 13 4 -

ZnO·AL ₂ O ₃	4,67 2,861 2,438 2,335 2,021	3 84 100 1 8	1,855 1,650 1,556 1,429 1,367	10 24 40 43 1	1,278 1,233 1,219 1,1670 1,1322	6 9 1 1 1
ZnO·B ₂ O ₃	5,29 3,74 3,048 2,364 2,158	6 3 100 23 1	1,997 1,869 1,761 1,672 1,594	20 13 38 2 3	1,526 1,466 1,364 1,321 1,282	25 5 8 4 3
ZnO·Cr ₂ O ₃	2,92 2,50 2,40 2,07 1,692	48 100 3 10 25	1,597 1,465 1,312 1,266 1,199	50 60 5 8 1	1,110 1,082 1,037 - -	7 12 4 - -
Кадмий — Cd	2,80 2,58 2,34 1,89 1,51 1,486	40 30 100 20 25 18	1,400 1,310 1,286 1,252 1,228 1,170	3 27 2 20 2 3	1,060 1,020 0,959 0,921 0,863 0,821	5 4 10 2 4 2
CdO	2,712 2,349 1,661 1,416	100 88 43 28	1,355 1,1742 1,0772 1,0499	13 5 9 13	0,9584 0,9036 0,8300 -	11 9 5 -
CdCO ₃	3,77 2,94 2,46 2,23 2,06 1,88 1,83 1,58	80 100 50 3 45 33 80 40	1,50 1,470 1,419 1,355 1,295 1,260 1,230 1,190	17 5 15 5 5 17 5 8	1,142 1,120 1,022 0,976 0,942 0,880 - -	8 8 8 7 7 7 - -
Cd (OH) ₂	4,70 3,02 2,55 1,86 1,74 1,63	100 63 100 40 30 30	1,51 1,440 1,400 1,271 1,165 1,139	13 20 20 15 7 8	1,110 1,090 1,028 1,005 0,980 0,925	13 3 10 3 4 5
CdSO ₄	4,93 3,74	50 14	2,30 2,11	22 8	1,630 1,559	24 8

	3,57 3,21 3,10 2,51 2,43 2,38 -	100 26 4 60 6 50 -	2,06 1,948 1,860 1,773 1,717 1,682 -	8 2 4 4 10 8 -	1,525 1,465 1,444 1,407 1,329 1,269 1,169	6 6 6 4 8 4 4
CdO·WO ₃	5,9 5,0 3,80 3,05	25 38 100 100	2,93 2,53 1,91 1,81	50 75 38 38	1,76 1,53 1,465 1,410	13 25 13 13
Симоб - Hg	2,771 2,255 1,750 1,474	80 10 60 40	1,379 1,235 1,125 1,085	20 20 10 10	1,035 0,943 - -	10 10 - -
HgO	2,96 2,83 2,75 2,40 1,81 1,75 1,64 1,60	100 75 38 75 63 8 15 10	1,468 1,440 1,413 1,378 1,200 1,187 1,161 1,148	38 20 8 5 13 10 5 3	1,103 1,079 1,050 1,026 0,982 0,943 - -	5 3 3 3 3 3 - -
HgSO ₄	3,90 3,40 3,26 3,01 2,81 2,37	100 50 17 33 33 33	2,25 2,13 2,04 1,99 1,93 1,84	17 17 33 33 17 17	1,80 1,64 1,53 1,477 1,381 1,304	17 17 17 17 17 17
Hg ₂ SO ₄	4,42 4,19 3,61 3,47 3,11 3,03 2,85	63 63 10 5 10 100 5	2,73 2,55 2,37 2,20 2,08 2,01 1,96	10 25 10 30 30 5 10	1,89 1,80 1,73 1,66 1,62 1,52 -	25 10 15 5 5 10 -
Hg ₃ (PO ₄) ₂	4,01 3,52 3,19 3,01	71 29 29 100	2,85 2,71 2,41 2,12	43 14 29 14	2,05 2,01 - -	14 29 - -
Hg ₃ PO ₄	7,2 6,3 5,5 4,83 4,40 3,85 3,60 3,48	11 22 22 44 56 44 33 44	2,72 2,60 2,45 2,28 2,18 2,12 2,01 1,94	22 100 22 44 17 22 17 22	1,81 1,77 1,66 1,62 1,57 1,52 1,50 1,440	17 17 22 11 22 22 22 22

	3,09 2,94	67 89	1,89 1,86	11 17	1,384 1,346	11 11
H ₃ BO ₃	5,9 3,16 2,90 2,81 2,62	28 100 3 2 6	2,55 2,49 2,23 2,16 2,08	2 2 13 3 6	2,02 1,68 1,63 1,58 -	3 3 2 3 -
B(OH) ₃	7,66 6,84 6,07 4,59 4,24 4,035 3,858 3,382 3,178 3,099	2 4 7 1 2 1 5 2 10 1	2,94 2,846 2,631 2,561 2,490 2,433 2,367 2,297 2,238 2,175	3 3 3 1 3 2 2 4 5 1	2,101 1,982 1,902 1,868 1,825 1,783 1,753 1,724 1,693 1,647	4 1 4 1 2 3 3 3 4 3
BPO ₄	3,62 3,07 2,25 1,965 1,865 1,817	100 7 53 3 17 7	1,534 1,460 1,375 1,319 1,269 1,211	4 17 3 9 5 4	1,185 1,093 1,059 1,039 - -	5 4 3 4 - -
Сингапит – BMgAlO ₄	4,93 3,97 3,73 3,43 3,24 2,82 2,62 2,46 2,38	7 5 2 1 9 1 9 2 7	2,30 2,14 1,93 1,868 1,801 1,764 1,705 1,621 1,576	7 10 2 2 1 1 4 10 1	1,534 1,514 1,420 1,384 1,360 1,340 1,320 - -	4 4 7 2 1 4 1 - -
Майергоф- ферит – B ₆ Ca ₂ O ₁₁ 7H ₂ O	8,39 6,51 5,03 4,17	100 100 50 8	3,65 3,50 3,30 3,17	18 12 35 100	3,09 2,974 2,900 2,641	18 18 1 18
B ₄ C	4,00 3,79 3,39 2,57 2,38 2,03	5 15 100 23 38 38	1,81 1,69 1,54 1,50 1,450 1,400	3 3 3 3 5 5	1,320 1,260 1,230 1,158 - -	5 3 5 5 - -

Алюминий- Al	2,33 2,02 1,430 -	100 40 30 -	1,219 1,168 1,011 -	30 7 2 -	0,928 0,905 0,826 0,778	4 4 1 1
Корунд- α -Al ₂ O ₃	3,479 2,552 2,379 2,085 1,740 1,601 1,546 1,510 1,404 1,374 1,276 1,239	72 92 41 100 41 83 7 2 38 42 6 16	1,1898 1,1601 1,1470 1,1382 1,1255 1,0988 1,0831 1,0781 1,0426 1,0175 0,9976 0,9819	6 1 4 1 5 6 3 7 13 1 11 2	0,9345 0,9178 0,9076 0,9052 0,8991 0,8804 0,8698 0,8580 0,8502 0,8303 0,8137 0,8075	3 2 12 3 16 4 2 12 4 22 4 11
Юқори хароратли γ - Al ₂ O ₃	2,86 2,72 2,595 2,445 2,290 2,160	6 25 19 41 31 6	1,988 1,937 1,790 1,596 1,533 1,497	50 19 6 6 9 13	1,440 1,389 1,285 1,235 1,176 1,134	3 100 3 3 3 9
Паст хароратли γ - Al ₂ O ₃	2,39 2,275 1,975 1,862	19 13 72 6	1,520 1,396 1,139 0,987	6 100 13 6	0,882 0,806 - -	6 6 - -
v- Al ₂ O ₃	2,835 2,710 2,570 2,445 2,300 2,245 2,015	41 50 3 50 41 31 50	1,900 1,794 1,734 1,605 1,536 1,479 1,449	41 13 3 3 25 13 19	1,400 1,386 1,289 1,258 1,231 1,108 -	25 100 6 3 3 3 -
x- Al ₂ O ₃	3,03 2,80 2,71 2,57 2,43 2,325 2,245	13 19 13 41 19 25 3	2,115 2,001 1,900 1,868 1,638 1,600 1,548	41 3 3 19 19 3 3	1,483 1,435 1,390 1,340 1,308 1,264 -	9 41 100 13 9 3 -
Гидрат- гиллит (гиб- бсит)- Al ₂ O ₃ ·3H ₂ O	4,82 4,34 3,512 3,317 3,184	10 6 2 2 2	1,798 1,747 1,686 1,657 1,639	8 8 8 2 1	1,298 1,248 1,235 2,215 2,195	1 2 1 4 3

	3,080 2,451 2,378 2,288 2,153 2,044 1,992 1,919	1 8 10 1 6 8 8 6	1,458 1,441 1,408 1,401 1,380 1,360 1,337 1,316	9 4 4 2 2 4 2 2	1,183 1,145 1,124 1,110 1,084 1,039 1,024 -	2 3 3 3 3 1 3 -
Байерит - $\text{Al}_2\text{O}_3 \cdot 3\text{H}_2\text{O}$	4,79 4,34 3,19 2,47 2,37 2,26	10 10 4 2 3 1	2,22 2,00 1,89 1,77 1,72 1,65	10 1 2 1 7 1	1,60 1,55 1,44 1,39 1,33 1,21	1 2 3 3 4 2
Глинозем гидрати- диаспор- $\text{Al}_2\text{O}_3 \cdot \text{H}_2\text{O}$	4,690 3,988 3,249 2,554 2,313 2,130 2,072 1,887 1,792 1,707 1,673	2 6 1 6 6 8 8 1 2 4 2	1,630 1,605 1,567 1,517 1,477 1,426 1,400 1,372 1,337 1,325 1,300	10 3 2 2 8 3 3 6 2 2 3	1,283 1,262 1,240 1,221 1,201 1,176 1,171 1,144 1,091 -	3 2 2 2 4 2 4 2 3 -
Глинозем гидрати- Бемит- $\text{Al}_2\text{O}_3 \cdot \text{H}_2\text{O}$	6,2 3,6 2,344 1,975 1,849 1,766 1,646	6 8 10 3 10 3 7	1,577 1,521 1,452 1,430 1,379 1,306 1,248	2 6 8 4 5 10 2	1,221 1,206 1,175 1,156 1,131 1,113 1,026	2 2 4 4 6 3 2
$\text{Al}_2(\text{SiF}_6)_3$	3,52 2,98	100 7	2,77 2,11	7 10	1,76 1,58	13 10
$\text{Al}(\text{NO}_3)_3 \cdot 9\text{H}_2\text{O}$	7,0 6,8 6,3 5,7 5,3 4,90 4,50 4,05 3,78	20 30 50 63 5 30 40 100 40	3,60 3,43 3,25 3,10 3,01 2,90 2,77 2,59 2,52	50 10 50 10 75 20 10 63 40	2,36 2,30 2,25 2,18 2,12 2,07 2,03 2,95 1,88	75 10 10 25 5 10 20 20 25

$\text{Al}_2\text{O}_3\text{SiO}_2$	5,396 3,423 3,368 2,893 2,687 2,546 2,284 2,204	33 100 100 5 50 83 17 100	2,112 1,869 1,833 1,678 1,597 1,568 1,518 1,441	42 42 33 58 50 25 83 50	1,414 1,392 1,327 1,306 1,272 1,254 - -	8 33 50 8 50 33 - -
Муллит - $3\text{Al}_2\text{O}_3 \cdot 2\text{SiO}_2$	5,413 3,423 3,386 2,888 2,693 2,546 2,296	50 100 100 42 75 83 33	2,208 2,123 1,882 1,839 1,690 1,597 1,580	100 50 25 33 50 50 17	1,523 1,455 1,441 1,404 1,335 1,276 1,260	83 17 42 8 25 33 33
Каолин - γ -форма $\text{Al}_2\text{O}_3 \cdot 2\text{SiO}_2 \cdot 2\text{H}_2\text{O}$	7,2 4,45 4,30 4,20 4,04 3,59	80 80 64 48 32 100	2,56 2,50 2,34 1,99 1,90 1,85	48 48 80 32 8 8	1,80 1,67 1,54 1,490 1,310 1,289	8 40 16 56 8 16
Диккит- $\beta\text{-Al}_2\text{O}_3 \cdot 2\text{SiO}_2 \cdot 2\text{H}_2\text{O}$	7,24 4,99 4,48 4,18 3,59 2,597 2,534 2,347	10 2 6 4 8 5 5 8	1,885 1,872 1,793 1,659 1,564 1,498 1,461 1,323	5 3 3 8 4 5 4 7	1,292 1,262 1,240 1,110 1,079 1,035 - -	5 3 3 3 3 4 - -
Накрит- $\alpha\text{-Al}_2\text{O}_3 \cdot 2\text{SiO}_2 \cdot 2\text{H}_2\text{O}$	7,15 4,42 4,16 3,59 3,38 3,07 2,540 -	10 8 6 10 4 4 6 -	2,416 2,305 2,100 1,980 1,922 1,788 1,740 -	10 2 6 5 6 6 2 -	1,676 1,618 1,489 1,466 1,372 1,318 1,282 1,270	4 4 8 4 6 1 2 4

Монтмориллонит- (Al,Mg) ₂ (OH) ₂ [Si ₄ O ₁₀]·H ₂ O	6,30	Ж.кз.	3,06	У.	1,71	У.
	6,09	Ж.кз.	2,60	Ку.	1,67	У.
	5,49	Ж.кз.	2,45	Ж.кз.	1,55	Ж.кз.
	4,47	Ку.	2,22	Кз.	1,51	Ж.ку.
	4,05	Кз.	2,13	Кз.	1,29	Ку.
	3,78	Кз.	2,00	Кз.	1,25	Ку.
	3,42	У.	1,77	Кз.	-	-
Бейделлит- Al ₂ [Si ₄ O ₁₀] (OH) ₂ ·nH ₂ O	9,09	Ж.кз.	3,53	Ку.	1,72	У. кз.
	8,15	Ж.кз.	3,28	Ж.кз.	1,67	Ку.
	6,96	Ж.кз.	2,58	Ку.	1,51	Ж.ку.
	5,76	Ж.кз.	2,36	У.	1,31	У. ку.
	4,45	Ку.	2,00	Ж.кз.	1,27	У.
Галлуазит (сиделлит)- Al ₂ O ₃ · 2SiO ₂ ·4H ₂ O	11,50	Ж.ку..	3,21	Кз.	2,03	Ж.кз
	8,06	Ж.кз.	2,69	Ж.кз.	1,92	Ж.кз.
	5,80	Кз.	2,58	Ку.	1,69	Ку.
	4,40	Ку.	2,49	У.	1,65	Ку.
	4,15	Ж.кз.	2,39	У.	1,50	Ж.ку.
	3,98	Кз.	2,32	У.	1,47	Ж.кз
	3,50	У.	2,22	Ж.кз.	1,29	Ку.
	-	-	-	-	1,24	Ку.
Пирофиллит- Al ₂ O ₃ · 4SiO ₂ ·H ₂ O	11,80	Ж.кз.	3,00	Кз.	1,76	Кз.
	10,50	Кз.	2,91	Ж.кз.	1,67	Ку.
	8,80	Ку.	2,72	Ж.кз.	1,65	У.
	6,38	Ж.кз.	2,60	У. Ку.	1,55	Ку.
	5,89	Ж.кз.	2,43	У.	1,51	Ку.
	5,52	Ж.кз.	2,40	У.	1,44	У.
	4,58	Ку.	2,11	Кз.	1,40	Ку.
	4,08	Ж.кз.	2,09	У.	1,38	У.
	3,52	Кз.	2,00	Ку.	1,37	У.
	3,33	Ку.	1,98	Ж.кз.	1,35	У.
	3,19	Кз.	1,91	Ж.кз.	1,32	У.
	3,08	Ж.ку.	1,85	Ку.	-	-
Галий-Ga	3,831	28	1,2766	4	0,9706	7
	2,953	100	1,2475	20	0,9626	3
	2,925	50	1,2379	14	0,9515	1
	2,262	60	1,2276	5	0,9369	1
	1,996	85	1,2216	17	0,8986	4
	1,957	56	1,1928	15	0,8948	2
	1,947	17	1,1853	4	0,8923	4
	1,916	16	1,1302	5	0,8817	7
	1,789	21	1,1119	8	0,8802	7
	1,763	6	1,0866	3	0,8690	4
	1,599	11	1,0540	1	0,8654	3
	1,586	3	1,0496	3	0,8383	8
	1,476	3	1,0355	4	0,8376	4
	1,461	14	1,0111	2	0,8247	5

	1,406	9	0,9976	2	0,8179	6
	1,404	8	0,9775	1	0,8080	3
	1,391	4	0,9735	5	-	-
GaP	3,14	100	1,572	17	1,112	15
	2,72	15	1,362	13	1,049	8
	1,924	65	1,250	35	-	-
	1,641	50	1,218	3	-	-
Ga ₂ O ₃	3,630	26	1,565	9	1,1396	6
	2,651	100	1,466	33	1,1266	8
	2,491	80	1,438	30	1,0878	6
	2,238	4	1,325	4	1,0366	8
	2,177	16	1,282	11	1,0266	3
	2,052	3	1,245	9	0,9738	3
	1,814	36	1,209	4	0,9487	7
	1,665	45	1,1696	4	-	-
GaSb	3,520	100	1,363	3	0,9294	5
	3,048	11	1,244	20	0,9188	1
	2,156	67	1,1738	10	0,8796	2
	1,838	44	1,0776	5	0,8534	5
	1,759	3	1,0304	9	0,8452	1
	1,524	11	1,0158	1	0,8144	7
	1,399	17	0,9638	4	0,7936	7
Индий-In	2,72	100	1,395	30	1,025	2
	2,46	25	1,355	15	0,980	2
	2,29	40	1,144	2	0,948	6
	1,68	30	1,088	10	0,905	2
	1,62	15	1,055	2	0,888	2
	1,462	20	1,040	2	-	-
In ₂ O ₃	4,11	12	1,260	6	0,9144	5
	2,91	100	1,242	7	0,9003	6
	2,69	2	1,225	3	0,8931	2
	2,51	24	1,205	2	0,8792	3
	2,37	6	1,189	2	0,8725	3
	2,25	2	1,175	6	0,8666	2
	2,142	7	1,158	14	0,8602	2
	1,973	13	1,129	9	0,8538	6
	1,843	4	1,115	8	0,8410	2
	1,780	49	1,103	2	0,8418	3
	1,729	4	1,088	5	0,8361	5
	1,677	4	1,065	5	0,8306	2
	1,634	7	1,042	4	0,8251	2
	1,593	4	1,031	9	0,8196	4
	1,552	8	1,021	4	0,8141	3
	1,519	42	1,009	2	0,8038	4

	1,486	10	0,9899	7	0,7988	4
	1,456	10	0,9806	2	0,7939	2
	1,425	4	0,9720	8	0,7891	8
	1,398	3	0,9624	6	0,7844	2
	1,371	4	0,9457	8	0,7796	5
	1,350	2	0,9376	8	-	-
	1,281	6	0,9292	5	-	-
In Cl ₃	5,8	100	2,68	10	1,76	8
	5,3	13	2,55	48	1,63	11
	5,0	20	2,44	10	1,59	3
	4,50	24	2,32	24	1,51	3
	4,01	24	2,23	13	1,475	3
	3,82	6	2,10	3	1,445	6
	3,58	32	2,05	16	1,390	6
	3,41	10	2,00	13	1,328	6
	3,00	40	1,92	10	-	-
	2,84	32	1,84	24	-	-
Таллий-Tl	3,00	40	1,73	29	1,158	11
	2,75	23	1,56	29	1,105	17
	2,62	100	1,460	23	1,074	6
	2,02	23	1,445	17	0,962	6
Tl ₂ O ₃	4,304	11	1,710	5	1,279	2
	3,042	100	1,668	2	1,2597	2
	2,816	3	1,628	4	1,2428	1
	2,635	42	1,589	27	1,2261	3
	2,484	6	1,554	6	1,2094	6
	2,357	2	1,522	6	1,1789	2
	2,248	4	1,491	3	1,1646	1
	2,149	1	1,462	1	1,1371	2
	2,068	8	1,434	3	1,1110	1
	1,924	3	1,409	2	1,0874	1
	1,863	33	1,339	3	1,0764	2
	1,808	2	1,318	3	1,0649	1
	1,758	1	1,298	4	-	-
TlNO ₃	5,60	4	2,495	5	1,951	10
	4,88	2	2,474	24	1,939	2
	4,40	68	2,442	29	1,928	14
	4,01	31	2,426	6	1,835	4
	3,259	5	2,293	1	1,824	14
	3,145	28	2,199	17	1,778	9
	3,080	34	2,118	3	1,754	13
	3,048	10	2,066	2	1,745	1
	2,962	100	2,004	9	1,691	6
	2,612	3	1,984	8	1,688	7

Tl ₂ SO ₄	5,32 5,17 4,40 4,32 3,91 3,67 3,53 3,266 3,237 3,154 3,122 3,045 2,961	6 9 17 28 2 14 57 26 21 53 100 88 55	2,78 2,664 2,630 2,533 2,457 2,321 2,308 2,200 2,186 2,181 2,158 2,103 2,056	10 1 15 26 15 12 10 9 13 12 27 9 16	1,966 1,957 1,941 1,926 1,884 1,873 1,858 1,837 1,832 1,802 1,778 1,767 1,739	12 3 7 17 4 1 6 7 13 7 23 4 10
Скандиний алюминати- Sc ₂ O ₃ ·Al ₂ O ₃	2,842 2,687 2,359 2,265	29 100 21 5	2,241 2,138 2,004 1,8436	5 7 9 5	1,7051 1,6350 1,4180 1,3990	21 28 12 5
3Sc ₂ O ₃ · 5Ga ₂ O ₃	4,73 3,404 3,110 3,034 2,889 2,878 2,852 2,653 2,598 2,486 2,385 2,365 2,247	12 36 39 8 29 100 100 88 16 11 88 90 13	2,231 2,144 2,131 1,830 1,7905 1,7836 1,7077 1,6800 1,6017 1,5858 1,5793 1,5167 1,4933	8 14 24 6 52 39 46 100 52 10 28 24 10	1,4890 1,4839 1,4447 1,4328 1,4281 1,4158 1,3966 1,3640 1,3496 1,3466 1,3267 1,3048 -	10 49 54 11 24 42 48 9 11 11 13 18 -
Sc ₂ O ₃ Nb ₂ O ₅	5,77 4,84 3,79 3,667	10 40 40 70	3,002 2,950 2,828 -	100 100 40 -	2,550 2,482 2,404 -	40 70 40 -
Тортвейтит - Sc ₂ [Si ₂ O ₇]	5,13 4,57 4,48 4,29 3,45 3,36 3,14 3,12 2,93 2,60	100 5 5 5 5 10 90 100 80 30	2,55 2,17 2,13 2,09 2,05 1,932 1,875 1,700 1,694 1,646	80 30 5 10 30 10 10 40 30 30	1,594 1,572 1,522 1,509 1,422 1,358 1,186 1,174 -	20 10 10 20 20 40 10 5 -

$\text{Sc}_2\text{O}_3 \cdot \text{SiO}_2$	3,687 3,439 3,317 2,980 2,847 2,792 2,555 2,436	20 20 40 60 55 100 20 10	2,294 2,182 2,112 2,097 2,080 2,060 1,989 1,926	25 10 30 35 35 20 20 30	1,779 1,647 1,620 1,526 1,506 1,463 1,439 -	40 25 15 10 25 15 15 -
Иттрий (III) оксид- Y_2O_3	4,31 3,06 2,646 2,494 2,366 2,258 2,160 2,076	14 100 31 7 2 9 2 14	1,933 1,873 1,816 1,767 1,718 1,675 1,634 1,597	5 61 3 2 8 2 8 43	1,562 1,528 1,498 1,469 1,442 1,416 -	11 10 4 3 6 4 - -
$\text{Y}(\text{NO}_3)_3 \cdot 6\text{H}_2\text{O}$	8,4 5,7 5,3 4,65 4,24 3,91 3,23 3,04 2,98 2,92	100 60 80 20 20 20 30 15 20 20	2,79 2,61 2,53 2,39 2,30 2,22 2,12 2,05 1,98 1,95	15 20 30 20 20 10 60 15 20 10	1,92 1,89 1,86 1,83 1,79 1,76 1,70 1,65 1,61 1,54	20 10 10 10 15 15 15 10 10 10
$2\text{Y}_2\text{O}_3 \cdot \text{Al}_2\text{O}_3$	7,41 5,26 4,69 4,54 3,705 3,326 3,011 2,908 2,884 2,615 2,559 2,538 2,523	63 16 100 16 19 100 100 100 47 48 64 29 61	2,486 2,470 2,454 2,291 2,274 2,129 2,090 2,063 2,046 1,9811 1,9449 1,9163 1,9027	21 39 37 43 28 12 13 87 41 16 15 12 16	1,8426 1,8298 1,8164 1,7921 1,7317 1,7235 1,6279 1,6236 1,6126 1,5759 1,5661 1,5621 -	80 85 81 32 32
$\text{Y}_2\text{O}_3 \cdot \text{SiO}_2$	6,01 5,87 4,03 3,86 3,64 3,51 3,34	15 20 10 50 10 65 15	3,11 3,003 2,916 2,880 2,772 2,655 2,625	60 100 45 85 30 15 15	2,580 2,538 2,410 2,261 2,187 2,172 2,041	15 40 20 30 35 54 10

$\text{Y}_2\text{O}_3 \cdot \text{GeO}_2$	5,93 3,70 3,59 3,38 3,16 3,033	15 30 35 70 10 85	2,973 2,951 2,826 2,620 2,547 2,438	75 60 100 25 40 25	2,300 2,220 2,208 2,059 - -	25 25 30 10 - -
Лантан-La	3,23 2,86 2,27 1,86 1,70	100 70 50 50 20	1,61 1,55 1,52 1,45 1,36	20 40 10 20 20	1,23 1,17 1,11 1,08 0,98	30 30 30 10 30
La_2O_3	3,41 3,063 2,980 2,278 1,968 1,753 1,705 1,656	34 31 100 58 63 52 4 24	1,642 1,532 1,490 1,398 1,309 1,289 1,261 1,209	17 3 5 2 7 2 12 6	1,1879 1,1538 1,1396 1,1367 1,0901 1,0658 1,0220 0,9952	4 4 2 4 7 4 1 3
$\text{La}_2\text{Ga}_2\text{BeO}_7$	5,14 3,765 3,520 3,130 2,905 2,755 2,564	11 20 10 32 100 24 24	2,487 2,064 1,967 1,909 1,858 1,781 1,741	44 22 14 8 8 50 18	1,585 1,557 1,531 1,400 1,312 1,268 -	8 8 15 18 7 7 -
$\text{La}_2\text{Ti}_3\text{O}_{8,7}$	3,980 3,600 2,770 2,273 1,954	15 10 100 25 70	1,751 1,593 1,382 1,300 1,233	10 65 40 5 35	1,177 1,129 1,083 1,044 -	10 15 5 30 -
Вайншенкит (La,Nd)[PO ₄] 2H ₂ O	7,55 5,22 4,70 4,20 3,74 3,01 2,83 2,61 2,52 2,47 2,44 2,37 2,162 2,083	9 4 5 10 8 9 6 5 2 2 2 4 4 5 1	2,036 2,005 1,964 1,927 1,855 1,820 1,773 1,755 1,689 1,640 1,596 1,557 1,530 1,503	4 1 4 1 5 4 6 5 1 5 5 1 1 2	1,437 1,408 1,390 1,344 1,326 1,317 1,301 1,249 1,216 1,197 1,180 1,160 1,139 1,125	4 1 2 4 1 1 2 4 4 1 1 1 2 1

	2,059	4	1,489	2	1,118	5
Церий- α -Ce	2,97	100	1,481	28	1,049	8
	2,57	60	1,288	12	0,990	4
	1,815	40	1,179	16	0,910	4
	1,550	40	1,143	12		
CeO_2	3,11	100	1,237	25	0,899	2
	2,69	25	1,207	16	0,853	4
	1,90	80	1,101	20	0,816	2
	1,62	60	1,037	18	0,756	4
	1,55	10	0,954	4	0,722	4
	1,347	10	0,912	14	0,703	2
CeCl_3	8,6	12	3,82	30	2,30	8
	7,9	8	3,31	20	2,21	30
	6,8	100	3,17	12	2,08	2
	5,7	6	3,07	2	2,01	8
	5,3	30	2,83	12	1,93	8
	5,0	12	2,63	16	1,89	8
	4,50	16	2,53	4	1,82	4
	4,30	30	2,48	16	1,73	8
	3,99	25	2,38	10	-	-
$\text{Ce}(\text{NO}_3)_3 \cdot 6\text{H}_2\text{O}$	11,5	24	4,39	100	2,53	48
	10,0	16	3,97	80	2,45	40
	8,7	16	3,80	48	2,41	32
	8,1	64	3,64	32	2,30	40
	6,8	80	3,35	64	2,25	40
	6,3	100	3,25	64	2,19	32
	5,8	64	3,00	32	2,11	64
	5,4	80	2,91	64	2,03	24
	5,2	48	2,84	64	2,00	16
	4,70	100	2,62	80	1,95	48
	-	-	-	-	1,86	32
$\text{Ce}(\text{SO}_4)_2 \cdot 4\text{H}_2\text{O}$	6,8	13	2,98	7	2,05	7
	5,8	5	2,91	3	2,00	10
	5,4	3	2,82	10	1,88	3
	4,65	100	2,70	13	1,83	7
	4,41	13	2,60	7	1,76	5
	3,96	7	2,48	3	1,67	5
	3,69	7	2,39	3	1,62	5
	3,45	17	2,33	3	1,54	3
	3,33	3	2,23	3	-	-
	3,22	33	2,10	10	-	-

Ce_2SiO_5	3,580 3,279 3,153 2,879 2,790 2,619 2,557 2,419 2,300 2,208 2,147 2,099 2,006 1,954 1,910	11 27 33 100 25 5 5 3 11 7 11 5 31 20 38	1,859 1,834 1,813 1,6856 1,6483 1,6380 1,5800 1,5660 1,5210 1,5097 1,4760 1,3943 1,3630 1,3450 1,3235	22 35 37 11 7 9 14 14 24 20 20 5 7 9 12	1,3105 1,2836 1,2625 1,2120 1,1932 1,1550 1,1412 1,0779 1,0672 1,0460 1,0309 1,0192 1,0068 - -	18 27 25 5 5 11 5 9 12 7 5 7 - -
$\text{Ce}_2\text{Si}_2\text{O}_7$	3,760 3,353 3,258 3,138 3,067 2,842 2,684 2,657 2,506 2,395 2,297 2,175 2,156 2,1196 2,0260 1,9330	6 100 24 21 24 27 36 36 24 12 6 33 39 18 69 21	1,8930 1,8300 1,7260 1,6656 1,6120 1,5770 1,5500 1,5157 1,4728 1,4558 1,4256 1,4058 1,3770 1,3560 1,3240 1,2955	24 57 27 33 15 12 18 15 6 9 15 9 21 18 21 15	1,2798 1,2595 1,2355 1,2058 1,1688 1,1577 1,1290 1,1193 1,1045 1,0823 1,0700 1,0531 1,0412 1,0052 - -	27 24 21 9 27 21 18 18 12 15 24 21 9 12 - -
$\text{CeO}_{1.6}\cdot 2\text{TiO}_2$	3,282 3,208 3,097 2,938 2,783 2,680 2,611 2,518 2,373 2,196	95 100 55 45 15 30 20 30 15 25	2,170 1,965 1,896 1,803 1,763 1,690 1,673 1,620 1,569 1,470	30 25 55 55 45 45 55 65 50 30	1,4368 1,4058 1,3850 1,3440 1,2378 1,2174 1,1787 1,1646 1,1038 1,0423	15 15 15 20 30 15 15 20 25 25
$\text{Ce}_2\text{Ti}_3\text{O}_{8.7}$	3,90 3,503 2,752 2,243 1,934	10 10 100 20 65	1,743 1,583 1,372 1,294 1,228	10 55 30 5 25	1,172 1,123 1,080 1,039 -	10 10 5 30 -

Ce AlO ₃	3,75 2,64 2,20 1,90 1,70 1,55	1 5 4 4 2 5	1,34 1,26 1,20 1,14 1,10 1,05	4 4 5 3 2 2	1,01 0,910 0,887 0,864 0,841 -	5 2 4 2 4 -
Ce ₂ O ₃	3,408 3,016 2,930 2,257 1,947 1,735 1,685	20 100 90 40 35 65 5	1,642 1,630 1,524 1,480 1,3898 1,3010 1,2535	45 45 30 15 15 20 20	1,2018 1,1810 1,1476 1,1330 1,0832 1,0587 1,0167	20 10 35 10 20 15 10
Ce ₂ O ₃ · 11Al ₂ O ₃	3,67 2,76 2,62 2,47 2,28 2,20 2,12 2,00 1,85	20 45 85 70 30 35 65 55 15	1,81 1,71 1,575 1,538 1,459 1,388 1,349 1,316 1,288	10 25 60 100 5 35 5 35 5	1,230 1,185 1,160 1,143 1,120 1,107 1,080 1,042 1,032	20 10 10 15 15 16 10 35 35
Ce ₂ Zr ₂ O ₇	6,23 3,23 3,10 2,68 2,46 2,20 2,060 1,893 1,811	3 5 100 42 10 3 4 90 10	1,614 1,545 1,501 1,390 1,338 1,304 1,226 1,197 1,172	80 30 2 2 20 3 54 38 4	1,0926 1,0302 0,9463 0,9359 0,9047 0,8923 0,8462 0,8160 0,8068	40 45 20 2 30 20 15 10 10
Цералит — (Ce ⁴⁺ , Ca ²⁺) · Al ³⁺ (O ²⁻ , F ⁻) ₃	3,7 2,9 2,61 2,16 2,06 1,85 1,66 1,52 1,48	1 2 5 4 2 4 2 5 1	1,38 1,32 1,24 1,20 1,13 1,11 1,08 1,04 1,00	1 4 4 5 3 2 2 2 5	0,936 0,909 0,885 0,861 0,838 0,816 0,802 — —	1 2 4 2 4 2 2 — —
Nd ₂ O ₃	3,30 2,99 2,90 2,22 1,916 1,714 1,616 1,598 1,502	30 30 100 30 40 50 40 30 10	1,453 1,367 1,278 1,229 1,183 1,156 1,131 1,107 1,064	20 10 20 20 20 10 20 10 20	1,041 0,974 0,960 0,914 0,890 0,868 0,838 0,832 —	10 20 20 10 10 10 10 10 —

$\text{Nd}_2(\text{SO}_4)_3 \cdot 5\text{H}_2\text{O}$	7,66 6,88 5,14 5,01 4,76 4,56 4,42	100 20 30 15 5 10 15	4,19 4,05 4,02 3,74 3,46 3,38 3,24	10 5 15 5 10 20 40	3,18 3,16 3,10 3,07 2,95 2,83 -	10 50 25 5 10 15 -
NdAlO_3	3,74 2,64 2,15 1,86	40 100 43 55	1,66 1,53 1,33 1,32	33 61 23 25	1,25 1,09 - -	48 5 - -
$\text{Nd}(\text{OH})_3$	7,89 3,93 3,46 3,38 3,16 2,970	60 100 20 55 25 70	2,614 2,084 1,993 1,906 1,876 1,774	80 30 30 5 30 10	1,640 1,582 1,565 1,553 1,364 1,303	15 15 5 5 5 5
NdCl_3	6,08 3,47 2,85 2,59 2,25 2,18 2,00 1,96 1,92 1,77	20 75 75 100 4 30 50 1 7 25	1,73 1,59 1,56 1,50 1,453 1,420 1,390 1,353 1,313 1,270	30 50 15 10 6 13 1 2 7 8	1,248 1,230 1,202 1,190 1,124 1,103 1,080 1,060 1,050 -	6 10 1 6 4 7 8 7 7 -
$\text{Nd}_2\text{Ti}_3\text{O}_{8.7}$	3,900 3,488 2,733 2,240 1,931	10 10 100 25 50	1,728 1,578 1,368 1,289 1,220	10 65 30 5 25	1,168 1,118 1,072 1,034 -	5 10 5 35 -

Европий (III)	4,43	50	1,716	10	1,298	50
Оксид –	3,133	100	1,675	50	1,280	20
Eu ₂ O ₃ (куб)	2,711	90	1,636	80	1,262	60
	2,557	50	1,601	60	1,246	70
	2,425	20	1,566	60	1,214	70
	2,312	50	1,536	40	1,200	20
	2,214	10	1,506	10	1,185	20
	2,127	70	1,477	50	1,172	60
	1,982	40	1,451	20	1,145	60
	1,918	80	1,379	40	1,121	60
	1,860	30	1,357	60	1,109	70
	1,806	10	1,337	60	-	-
	1,760	50	1,317	40	-	-
Eu ₂ O ₃ (монооклин)	5,91	30	2,310	60	1,736	20
	4,988	10	2,268	40	1,704	80
	3,989	40	2,201	60	1,670	50
	3,408	50	2,175	30	1,660	30
	3,268	30	2,140	80	1,654	60
	3,176	80	2,054	10	1,640	20
	3,034	80	1,975	10	1,615	30
	2,965	100	1,923	80	1,592	20
	2,882	70	1,876	30	1,579	60
	2,832	80	1,859	20	1,549	60
	2,768	80	1,814	10	1,538	60
	2,652	20	1,798	60	1,526	60
	2,517	20	1,760	50	1,522	30
EuO	4,87	20	2,309	20	1,753	2
	4,01	50	2,294	25	1,705	8
	3,32	10	2,291	40	1,663	18
	3,26	70	2,207	6	1,640	16
	2,995	35	2,152	8	1,629	18
	2,940	16	2,126	20	1,621	25
	2,862	100	2,039	25	1,581	4
	2,824	80	2,010	25	1,562	14
	2,807	100	1,906	6	1,520	8
	2,718	4	1,873	6	1,500	4
	2,549	12	1,836	6	1,483	2
	2,428	4	1,824	14	1,458	4
	2,386	12	1,780	12	1,433	6

Eu_3O_4	5,05 3,86 3,35 3,18 3,01 2,934 2,895 2,872 2,795 2,551 2,375 2,337 2,324 -	2 8 4 6 70 100 50 14 10 16 6 4 6 -	2,225 2,079 2,076 2,043 2,015 1,984 1,866 1,847 1,748 1,725 1,717 1,693 1,681 -	2 14 12 12 2 2 10 4 4 20 8 6 20 -	1,678 1,647 1,602 1,572 1,559 1,527 1,513 1,507 1,503 1,491 1,468 1,433 1,404 1,102	18 2 2 2 2 4 2 8 6 4 8 2 2 32
$\text{Eu}(\text{OH})_3$	5,52 3,18 3,05 2,757 2,399 2,202 2,083 1,837 1,828 1,810	70 55 100 20 6 50 6 16 20 35	1,733 1,589 1,585 1,527 1,524 1,410 1,374 1,295 1,262 1,201	6 2 14 4 4 8 6 8 2 10	1,194 1,189 1,171 1,114 1,099 1,051 1,039 1,004 1,002 -	10 2 2 4 2 8 2 8 10 -
$3\text{Eu}_2\text{O}_3 \cdot 5\text{Ga}_2\text{O}_3$	5,063 4,384 3,314 3,099 2,773 2,531 2,432 2,264 2,192 2,012 1,829 1,790 1,7196 -	14 6 8 30 100 45 4 10 4 12 2 14 30 -	1,6874 1,6573 1,5749 1,5504 1,3866 1,3534 1,3374 1,3224 1,2796 1,2531 1,2162 1,1827 1,1517 -	4 35 6 14 10 18 4 8 2 2 2 2 18 -	1,1323 1,1049 1,0962 1,0713 1,0336 1,0196 1,0128 1,0060 0,9867 0,9627 0,9349 0,9244 0,9194 0,9142	8 4 6 2 4 6 4 8 4 1 6 10 1 6
$\text{Eu}_2\text{O}_3 \cdot \text{Al}_2\text{O}_3$	3,72 3,30 2,63 2,489 2,245 2,151 2,066 1,862 1,810 1,712	70 40 100 40 20 70 20 70 50 10	1,668 1,631 1,522 1,492 1,387 1,323 1,319 1,303 1,283 1,260	70 60 100 20 50 20 80 30 10 30	1,245 1,243 1,228 1,183 1,181 1,179 1,168 1,166 -	20 70 50 30 50 90 70 60 -

$\text{Eu}_2\text{O}_3 \cdot 11\text{Al}_2\text{O}_3$	2,76	42	2,095	59	1,563	31
	2,73	35	2,066	39	1,529	61
	2,617	100	1,994	39	1,516	45
	2,602	24	1,851	25	1,452	14
	2,469	66	1,722	18	1,395	21
	2,355	17	1,699	18	1,385	48
	2,264	24	1,658	21	1,309	28
	2,137	36	1,589	34	1,234	24
	-	-	-	-	1,224	21
	-	-	-	-	-	-
$\text{EuCa} \cdot \text{Al}_3\text{O}_7$	5,46	8	2,38	21	1,75	50
	5,09	15	2,29	12	1,68	9
	3,71	35	2,28	8	1,64	12
	3,46	5	2,18	12	1,52	44
	3,08	40	2,14	9	1,48	9
	2,86	100	2,04	33	1,45	9
	2,76	15	1,98	12	1,42	9
	2,54	9	1,92	24	1,38	35
	2,44	24	1,86	24	1,31	15
	2,41	21	1,82	12	1,28	9
	-	-	-	-	1,24	12
	-	-	-	-	-	-
EuS	3,26	80	1,33	70	0,909	10
	2,94	100	1,22	70	0,920	50
	2,10	80	1,15	60	0,898	40
	1,80	60	1,05	20	0,861	10
	1,70	50	1,01	40	0,836	60
	1,49	50	0,997	50	0,828	60
	1,37	50	0,941	50	0,799	80
	-	-	-	-	-	-
Гадалиний $(\text{III})-\text{Оксид}$ Gd_2O_3	5,900	3	2,961	100	2,258	5
	3,965	4	2,868	50	2,195	20
	3,396	10	2,820	75	2,131	45
	3,155	70	2,752	75	1,915	40
	3,028	60	2,308	10	1,784	25
	-	-	-	-	-	-
$3\text{Gd}_2\text{O}_3 \cdot \text{Ga}_2\text{O}_3$	4,53	20	2,301	15	1,7672	17
	4,11	13	2,241	17	1,7184	17
	3,204	14	2,199	13	1,6808	17
	3,054	100	2,032	39	1,6450	24
	3,025	57	2,005	30	1,5788	24
	2,990	27	1,9918	15	1,5456	17
	2,908	22	1,9027	15	1,5276	25
	2,824	29	1,8349	32	-	-
	2,630	17	1,8097	14	-	-
	-	-	-	-	-	-
Gd_3Ga_2 $(\text{GaO}_4)_3$	5,05	16	2,77	100	1,53	40
	-	-	-	-	1,65	3

$\text{Gd}_2\text{O}_3 \cdot \text{Fe}_2\text{O}_3$	3,880 3,831 3,461 2,810 2,725 2,677 2,636 2,304 2,268 2,200 2,134 2,083 1,936	70 10 80 70 100 70 50 30 40 50 50 10 70	1,916 1,890 1,827 1,757 1,741 1,720 1,700 1,659 1,604 1,583 1,558 1,553 1,544	40 50 50 20 10 80 10 30 50 50 20 90 40	1,453 1,426 1,416 1,380 1,365 1,346 1,337 1,282 1,272 1,266 1,230 1,226 1,223	70 20 10 40 70 30 40 20 70 20 20 70 40
Иттербий(III) —Оксид Yb_2O_3	4,23 2,997 2,775 2,606 2,453 2,327 2,217 2,127	8 100 3 30 7 2 8 3	2,042 1,901 1,843 1,787 1,739 1,691 1,647 1,609	16 5 57 3 7 11 3 10	1,572 1,538 1,504 1,474 1,444 1,418 1,395 -	52 13 17 7 4 8 5 -
$2\text{Yb}_2\text{O}_3$ Al_2O_3	3,26 2,95 2,86 2,567 2,481 2,241	37 100 77 24 17 14	2,026 1,827 1,797 1,778 1,667 1,565	26 15 29 31 22 15	1,548 1,537 1,521 1,478 1,463 -	18 27 12 10 8 -
$3\text{Yb}_2\text{O}_3$ $5\text{Al}_2\text{O}_3$	4,18 3,20 3,16 2,92 2,64 2,414 2,155 1,914	19 30 21 31 100 29 24 59	1,752 1,712 1,644 1,616 1,585 1,485 1,326 1,295	18 22 56 21 53 30 14 39	1,265 1,223 1,166 1,104 1,085 1,051 0,887 0,8118	15 17 16 52 16 16 40 33
YbB_{12}	4,30 3,725 2,636 2,249 2,153 1,865 1,712 1,669 1,523 1,437 -	100 85 50 90 30 13 30 20 20 12 -	1,320 1,262 1,244 1,181 1,139 1,126 1,078 1,046 1,035 0,998 -	6 20 20 6 10 4 2 6 4 8 -	0,972 0,9336 0,9123 0,9056 0,8801 0,8623 0,8566 0,8350 0,8198 0,8149 0,7962	18 2 4 4 10 6 2 2 10 10 4

Карбон - C (Алмаз)	2,05 1,26 1,072 0,885 0,813 0,721 0,680 0,625 0,597	100 50 40 10 25 40 20 10 20	0,558 0,538 0,507 0,496 0,473 0,462 0,442 0,432 0,417	15 6 3 8 20 15 5 3 12	0,409 0,397 0,389 0,378 0,372 0,363 0,358 - -	8 5 8 5 5 7 20 - -
C-(Графит)	3,38 2,12 2,02 1,69 1,227	100 5 10 10 18	1,150 1,120 1,049 1,991 0,828	9 1 1 3 1	0,796 0,707 0,695 - -	1 1 1 - -
Эвенкит - $C_{21}H_{48}$	9,36 4,66 4,183 3,744 3,348 3,024 2,783 2,627 2,515 2,461 2,415	1 5 10 9 1 5 3 1 7 2 4	2,245 2,150 2,124 2,079 2,015 1,914 1,866 1,751 1,718 1,658 1,623	8 3 6 3 3 5 3 6 1 5 3	1,571 1,515 1,460 1,426 1,386 1,299 1,243 1,214 1,116 1,102 1,026	1 4 2 2 3 4 4 4 4 2 3
Кертицит - $C_{24}H_{18}O$	18,1 9,4 8,4 6,23	10 1 5 2	5,62 5,06 4,59 4,09	7 10 5 9	3,78 3,42 - -	5 10 - -
$ C_2O_4 Ca\cdot H_2O$	5,95 5,81 4,53 3,773 3,652 3,414 3,321 3,105 3,002 2,971 2,906 2,842 2,639 -	100 5 5 5 90 1 1 5 1 50 10 10 1 -	2,497 2,455 2,422 2,388 2,357 2,262 2,213 2,135 2,076 1,978 1,955 1,930 1,891 -	20 1 1 1 80 20 5 1 10 5 5 5 5	1,850 1,848 1,826 1,818 1,794 1,737 1,693 1,644 1,588 1,552 1,528 1,505 1,480 1,458	1 1 1 1 1 1 1 1 1 1 1 1 1 1

Кремний — Si	3,138 1,920 1,638 1,357	100 60 35 8	1,246 1,1083 1,0450 0,9599	13 17 9 5	0,9178 0,8586 0,8281 -	11 9 5 -
β — кварц SiO ₂	4,25 3,35 2,45 2,29 2,23 2,12 1,97 1,82	25 100 15 10 6 9 8 25	1,66 1,54 1,450 1,375 1,299 1,256 1,228 1,200	8 20 2 25 4 3 3 6	1,180 1,155 1,080 1,048 1,035 1,015 — —	8 1 4 2 1 1 — —
α — кварц SiO ₂	4,43 3,42 2,55 2,30 2,22 2,05 —	60 100 60 40 60 60 —	1,85 1,71 1,57 1,421 1,393 1,292 —	90 40 80 80 80 60 —	1,277 1,225 1,296 1,190 1,113 1,105 1,044	60 40 60 40 20 20 20
γ — трилимит SiO ₂	4,30 4,08 3,81 3,43 3,21 2,96 2,80 2,49	100 33 67 1 1 17 3 27	2,305 2,080 1,840 1,690 1,635 1,598 1,530 1,439	11 5 3 8 4 4 5 3	1,399 1,360 1,305 1,244 1,192 1,153 1,097 —	7 3 4 3 5 3 1 —
α - триди- мит-SiO ₂	4,39 4,12 3,73 3,23 2,94 2,77 2,49 2,28 2,11	10 10 9 5 5 2 7 5 2	2,07 1,95 1,88 1,77 1,69 1,62 1,591 1,528 1,432	2 5 2 2 7 5 5 7 5	1,394 1,371 1,336 1,305 1,243 1,226 1,196 1,153 1,096	5 2 2 5 2 2 6 5 2
Юқори жароратлы кристобалит- SiO ₂	4,15 2,92 2,53 2,17 2,07 1,99	100 5 80 10 30 5	1,793 1,688 1,639 1,469 1,379 1,265	5 5 60 50 20 30	1,209 1,130 1,089 1,029 1,000 0,956 0,929	30 20 5 5 10 10 10

Паст хароратли β – кристо- балит- SiO_2	4,04	100	1,692	3	1,345	1
	3,138	12	1,642	1	1,336	1
	2,845	14	1,612	5	1,301	2
	2,489	18	1,604	2	1,282	2
	2,468	6	1,574	1	1,235	1
	2,342	1	1,535	2	1,224	1
	2,121	4	1,495	3	1,207	1
	2,024	3	1,432	2	1,1842	2
	1,932	4	1,423	1	1,1762	1
	1,874	4	1,401	1	1,1659	1
	1,756	1	1,368	1	1,1556	1
	1,736	1	1,353	1	1,1112	1
	-	-	-	-	1,0989	3
Китит- SiO_2	7,46	10	2,516	5	1,667	5
	5,64	5	2,246	5	1,636	5
	5,28	5	2,174	5	1,589	5
	4,50	20	2,148	5	1,562	5
	3,72	70	2,067	5	1,489	5
	3,42	100	1,988	5	1,441	5
	3,33	20	1,879	5	1,412	5
	3,11	20	1,864	10	1,389	5
SiC	2,51	100	1,087	6	0,768	2
	2,17	20	0,998	18	0,735	6
	1,54	63	0,972	6	0,724	2
	1,310	50	0,887	13	0,688	3
	1,255	5	0,837	10	0,663	1
ZrSi_2	7,372	Ж.кз	1,821	У.	1,228	У.
	3,682	Кз.	1,639	Ку.	1,204	Ж.кз.
	3,600	Кз.	1,615	Кз.	0,915	Кз.
	3,279	Ку.	1,589	Кз.	0,908	Ж.кз.
	2,960	Кз.	1,527	У.	0,888	У.
	2,563	Ку.	1,509	Ж.кз.	0,874	Кз.
	2,456	У.	1,473	У.	0,868	У.
	2,299	Ж. ку.	1,434	У.	0,857	Ж.кз.
	2,039	У.	1,386	Кз.	0,854	У.
	1,953	Кз.	1,303	У.	0,850	Кз.
	1,841	У.	1,259	Кз.	0,843	У.
Германий – Ge	3,266	100	1,298	10	0,956	11
	2,000	57	1,155	17	0,895	6
	1,706	39	1,089	7	0,863	4
	1,414	7	1,000	3	0,817	2
	-	-	-	-	0,792	8
GeO_2	4,31	20	1,87	25	1,386	8
	3,41	100	1,71	12	1,339	10
	2,48	14	1,62	2	1,301	2
	2,35	25	1,56	25	1,277	10
	2,28	16	1,495	8	1,248	2
	2,15	20	1,445	4	1,228	6
	2,00	2	1,410	25	-	-

GeJ ₄	6,95 5,384 4,918 3,4740 3,0104 2,6270	4 8 12 100 41 4	2,5679 2,3605 2,1286 1,8148 1,7652 1,7378	3 4 35 27 3 7	1,5047 1,3812 1,3466 1,2287 1,1585 -	4 7 6 5 3 -
Ge ₃ Bi ₄ O ₁₂	4,24 3,26 2,76 2,59 2,12 2,04 1,915	ÿ. Ku. Ku. ÿ. ÿ. ÿ. K ₃ .	1,798 1,704 1,661 1,619 1,548 1,514 1,486	ÿ. ÿ. ÿ. ÿ. ÿ. K ₃ . ÿ.	1,431 1,404 1,335 1,296 1,258 - -	ÿ. ÿ. ÿ. ÿ. K ₃ . - -
GeO ₂ . 2ZnO	4,10 3,54 2,89 2,69 2,38 2,04 1,96 1,87 1,73 1,66 1,63	60 80 100 100 80 40 40 100 40 40 60	1,58 1,55 1,50 1,44 1,42 1,38 1,36 1,28 1,25 1,22 1,19	60 60 10 100 20 80 80 20 20 40 40	1,17 1,14 1,11 1,08 1,07 1,05 1,02 1,01 0,998 0,983 -	20 40 40 10 20 10 60 20 20 10 -
7GeO ₂ . 2Fe ₂ O ₃	3,342 3,077 3,037 2,960 2,602 2,518 2,324 2,260	80 60 100 90 70 90 10 10	2,036 1,859 1,735 1,692 1,650 1,601 1,575 1,549	50 40 10 60 60 10 20 70	1,470 1,427 1,364 1,335 1,289 1,255 - -	30 80 10 10 10 10 - -
Қалай – α- Sn	3,751 2,294 1,956 1,622 1,489	100 83 53 12 20	1,325 1,249 1,1470 1,0968 1,0260	21 11 6 10 9	0,9895 0,9365 0,9087 0,8671 0,8430	4 3 7 13 12
β - Sn	2,91 2,79 2,05 2,01 1,65 1,480	100 80 32 80 24 24	1,450 1,298 1,200 1,092 1,040 1,022	20 16 20 11 8 6	0,980 0,927 0,885 0,847 0,805 -	3 6 2 3 2 -

SnO	4,85	10	1,225	4	0,9674	1
	2,989	100	1,209	3	0,9507	3
	2,688	37	1,202	4	0,9371	3
	2,418	14	1,1747	6	0,9056	4
	2,039	1	1,1697	8	0,8988	4
	1,901	13	1,1520	1	0,8824	5
	1,797	27	1,1026	4	0,8524	4
	1,604	25	1,0766	6	0,8503	4
	1,494	11	1,0303	4	0,8405	6
	1,484	12	1,0201	3	0,8062	1
	1,382	3	0,9965	1	0,8020	1
	1,344	5	0,9852	1	0,8002	1
SnO ₂	3,34	100	1,412	15	1,035	2
	2,64	63	1,315	6	0,948	8
	2,36	18	1,213	10	0,929	1
	1,75	63	1,180	2	0,905	4
	1,67	10	1,150	6	0,880	4
	1,58	5	1,110	3	0,845	2
	1,492	10	1,085	8	-	-
	1,435	10	1,057	3	-	-
Sn ₃ (PO ₄) ₂	6,9	7	2,68	27	1,90	17
	6,1	3	2,48	27	1,77	33
	4,39	33	2,39	17	1,71	7
	3,98	100	2,30	20	1,65	7
	3,42	20	2,06	3	1,482	7
	3,11	100	2,01	13	1,445	8
	2,78	20	1,96	17	-	-
Күргөшин - Pb	2,85	100	1,490	50	1,105	17
	2,47	50	1,428	17	-	-
	1,74	50	1,134	17	-	-
PbO (сарык)	5,893	6	2,278	1	1,724	15
	3,067	100	2,203	1	1,640	13
	2,946	31	2,008	12	1,596	1
	2,744	28	1,963	2	1,534	9
	2,493	1	1,850	14	1,514	2
	2,377	20	1,797	14	1,474	11
PbO (қизил)	5,018	5	1,872	37	1,282	2
	3,115	100	1,675	24	1,256	3
	2,809	62	1,558	6	1,226	4
	2,510	18	1,542	11	1,219	5
	2,124	1	1,438	2	1,1977	1
	1,988	8	1,405	5	1,1462	2

PbO ₂	3,49 2,78 2,46 1,84 1,74 1,68	100 100 28 100 20 8	1,56 1,51 1,480 1,390 1,268 1,210	20 24 24 12 16 8	1,145 1,125 1,000 0,948 - -	8 8 12 4 - -
Pb ₃ O ₄	3,35 2,88 2,76 2,62 1,95 1,89 1,82 1,74 1,62	100 43 43 28 14 28 28 43 14	1,58 1,51 1,405 2,89 2,84 2,80 2,74 2,64 2,60	14 14 14 55 65 31 68 38 42	2,47 2,41 2,35 2,05 1,95 1,89 1,87 1,84 -	30 46 29 22 56 10 24 15 -
PbCO ₃	4,427 4,255 3,593 3,498 3,074 2,893 2,644 2,589	17 7 100 43 24 2 2 11	2,522 2,487 2,213 2,129 2,081 2,009 1,981 1,933	20 32 7 2 27 11 9 19	1,859 1,847 1,796 1,750 1,693 1,642 1,632 1,615	21 8 4 2 1 2 6 2
2PbO·ZnO· 2SiO ₂	5,26 4,01 3,85 3,58 3,19 2,96 2,83 2,63 2,53 2,28 2,20	50 20 20 35 75 100 15 30 25 8 8	2,12 1,943 1,928 1,887 1,868 1,823 1,777 1,752 1,575 1,562 1,533	35 18 8 14 8 40 20 6 16 15 8	1,489 1,432 1,336 1,331 1,302 1,296 1,285 1,232 1,219 1,192 -	5 10 8 8 12 8 10 10 10 8 -
PbO·TiO ₂	3,83 3,54 3,01 2,81 2,74 2,45 2,28 2,05 2,01 1,93	4 2 1 10 6 1 8 2 1 7	1,73 1,64 1,59 1,51 1,41 1,38 1,35 1,33 1,29 1,23	1 4 9 1 5 4 1 5 5 3	1,18 1,15 1,12 1,096 1,080 1,057 1,044 1,012 1,000 -	5 5 2 2 9 9 9 2 2 -

$\text{Pb}_5[\text{AsO}_4, \text{PO}_4]_3 \cdot \text{Cl}$	4,36	1	2,96	10	1,94	6
	4,13	4	2,91	8	1,91	6
	3,67	1	2,24	4	1,88	6
	3,38	4	2,08	8	1,84	6
	3,28	6	2,03	4	-	-
	3,00	10	1,97	6	-	-
$\text{PbFe}_2[\text{AsO}_4]_2 \cdot (\text{OH})_2$	6,01	6	3,04	6	2,31	1
	4,59	6	2,96	8	1,91	6
	4,52	1	2,81	6	1,81	6
	4,18	6	2,73	6	1,73	1
	3,52	8	2,55	10	1,68	1
	3,31	1	2,46	4	1,61	4
	3,24	10	2,45	4	-	-
	3,07	6	2,32	1	-	-
Дюфтил — $\text{PbCu}[\text{AsO}_4] \cdot (\text{OH})$	5,01	2	3,17	10	2,26	5
	4,76	1	2,94	1	2,08	4
	4,18	6	2,91	8	1,861	7
	4,00	1	2,63	9	1,745	6
	3,78	2	2,52	2	1,635	8
	3,51	2	2,42	2	1,584	4
	3,32	1	2,32	1	1,559	4
	—	—	—	—	—	—
Титан-Ti	2,556	40	1,336	50	1,065	20
	2,341	40	1,249	40	0,989	30
	2,241	100	1,233	30	0,942	30
	1,728	40	1,176	10	0,917	30
	1,477	40	1,125	10	0,880	10
TiO_2 (анатаз)	3,52	100	1,480	24	1,045	3
	2,37	24	1,362	8	0,950	2
	1,88	40	1,335	8	0,913	2
	1,70	28	1,262	11	0,894	2
	1,66	24	1,164	6	-	-
TiO_2 (рутгил)	3,24	80	1,449	20	0,903	2
	2,49	60	1,355	30	0,890	8
	2,29	4	1,245	4	0,875	4
	2,19	30	1,170	8	0,843	2
	2,05	12	1,147	4	0,832	4
	1,69	100	1,091	8	0,822	4
	1,62	30	1,040	8	-	-
	1,485	20	0,964	4	-	-
TiO_2 (брекит)	3,46	6	2,45	8	1,681	10
	3,22	10	2,17	4	1,619	6
	2,87	6	1,881	4	1,356	8
Браннерит- UTi_2O_6	3,42	10	2,276	7	1,623	6
	3,32	6	1,903	8	-	-
	2,455	7	1,861	6	-	-

Титанит- CaTi[SiO ₄]O	3,21 2,97 2,59	9 7 10	1,647 1,498 1,135	8 8 7	1,110 - -	7 - -
Циркелит- CaZrTi ₂ O ₇	2,96 2,83	10 3	2,53 1,817	2 3	1,752 -	3 -
Чевкинит- Ce ₄ (Fe,Ti) ₃ · [TiO ₄] ₂ · [Si ₂ O ₇] ₂	3,156 2,850	8 7	2,702 2,600	10 5	2,163 1,960	8 8
Эвксенит- Y(Nb,Ta,Ti) ₂ · (O,OH) ₆	3,66 2,98	5 10	2,43 1,823	4 5	1,723 1,487	5 5
Цирконий – Zr	2,798 2,573 2,459 1,894 1,616 1,463 1,399 1,368 1,350	33 32 100 17 17 18 3 18 12	1,287 1,2296 1,1689 1,0842 1,0588 1,0360 1,0063 0,9783 0,9660	4 4 3 4 2 6 3 2 4	0,9474 0,9327 0,9003 0,8771 0,8577 0,8292 0,8201 - -	2 3 5 3 1 2 2 - -
ZrO ₂	5,1 3,69 3,19 2,85 2,63 2,55 2,34 2,21 2,01 1,85	5 24 100 80 32 16 8 24 16 32	1,81 1,70 1,66 1,62 1,59 1,55 1,51 1,486 1,426 1,363	40 20 24 5 6 24 8 16 16 5	1,330 1,307 1,270 1,219 1,167 1,113 1,036 1,001 - -	8 3 12 5 6 6 4 6 - -
ZrO ₂ ·SiO ₂	4,434 3,302 2,650 2,518 2,336 2,217 2,066 1,908 1,751 1,712	45 100 7 45 10 8 20 14 11 40	1,651 1,547 1,495 1,477 1,381 1,362 1,290 1,259 1,248 1,1883	14 4 3 8 10 7 5 8 3 11	1,1672 1,1079 1,1006 1,0682 1,0590 1,0506 1,0442 1,0015 0,9745 0,9713	2 5 5 1 7 7 5 1 5 5

Zr(NO ₃) ₄ 5H ₂ O	9,6 6,9 6,1 5,2 4,73 4,21 3,64 3,49 3,25 3,03	100 100 5 10 50 18 20 15 38 10	2,56 2,43 2,33 2,17 2,13 2,07 1,98 1,91 1,81 1,74	18 15 15 15 15 13 13 8 10 8	1,70 1,64 1,59 1,55 1,51 1,476 1,390 1,360 1,295 1,228	5 10 3 5 3 3 3 5 3 3
Гафний – Hf	2,768 2,531 2,428 1,866 1,599 1,440 1,385 1,351	27 34 100 16 14 16 2 16	1,336 1,256 1,214 1,1303 1,0697 1,0464 1,0247 0,9917	12 4 3 3 4 1 6 5	0,9671 0,9502 0,9336 0,8891 0,8668 0,8428 0,8168 0,8060	2 5 3 5 4 1 2 3
HfO ₂	5,07 3,68 3,61 3,15 2,82 2,59 2,52 2,48 2,32 2,196 2,171 2,006 1,981 1,838 1,807 1,794 1,768	20 40 30 100 100 60 50 20 50 60 30 30 40 60 30 20 20 30	1,684 1,653 1,634 1,600 1,580 1,533 1,501 1,486 1,467 1,439 1,410 1,352 1,318 1,299 1,295 1,263 1,256	50 60 40 40 30 50 40 40 50 30 50 20 40 30 30 20 20	1,237 1,203 1,172 1,160 1,153 1,143 1,134 1,121 1,108 1,099 1,084 1,070 1,049 1,039 1,025 - -	10 30 10 10 10 10 10 10 10 10 10 10 10 10 10 10 -

HfOCl ₂ 8H ₂ O	12,1 8,51 7,03 6,03 5,39 4,74 4,57 4,42 4,27 4,138 4,027 3,855 3,818	100 20 65 10 8 2 2 6 2 6 50 12 12	3,676 3,512 3,418 3,444 3,168 3,120 3,068 3,017 2,926 2,842 2,806 2,781 2,736	14 2 18 2 12 30 2 18 6 6 4 2 8	2,712 2,636 2,556 2,542 2,517 2,447 2,412 2,375 2,340 2,325 2,289 2,259 2,242	2 2 4 8 2 4 2 4 4 4 2 10 6
NH ₄ F	3,85 3,59 3,39 2,62 2,22	100 60 60 20 60	2,02 1,88 1,490 1,450 1,420	40 16 4 2 2	1,340 1,270 1,240 -	4 2 4 -
NH ₄ Cl	3,85 2,72 2,22 1,92 1,72	15 100 2 12 8	1,57 1,370 1,288 1,221 1,165	25 5 3 7 1	1,115 1,033 0,912 0,864 -	1 4 1 1 -
NH ₄ NO ₃	4,93 3,95 3,09 2,86 2,72 2,47 2,38	40 50 100 5 75 13 10	2,25 2,10 1,97 1,83 1,78 1,73 1,63	75 5 5 5 6 5 9	1,57 1,51 1,495 1,463 1,430 -	10 10 10 15 5 -
(NH ₄)HSO ₄	4,75 3,90 3,69 3,15 3,06 2,84 2,61	100 83 100 40 40 40 100	2,43 2,35 2,24 2,18 2,11 2,01 1,95	27 7 13 13 20 7 27	1,87 1,80 1,66 1,62 1,58. 1,493 -	7 20 13 13 7 27 -
(NH ₄) ₃ AlF ₆	4,85 4,20 2,969 2,535 2,423 2,100 1,928 1,879	100 66 50 25 83 100 2 3	1,717 1,614 1,485 1,420 1,329 1,269 1,213 1,189	1 83 50 33 17 1 2 33	1,166 1,123 1,093 0,991 0,970 0,940 0,895 -	4 17 17 3 8 3 3 -

(NH ₄) ₂ Cr ₂ O ₇	6,6 5,1 3,77 3,37 3,04 2,77	58 100 16 83 40 27	2,48 2,33 2,05 2,00 1,92 1,87	30 18 25 10 10 10	1,82 1,50 1,465 1,425 1,350 1,290	25 10 10 10 7 7
Фосфор-Р-қизил	4,22 3,64	100 60	3,24 2,59	60 60	2,32 -	30 -
Фосфор-Р-кора	5,24 3,36 2,62 2,56 2,25 2,19 2,11 1,80	30 80 60 100 20 10 10 20	1,75 1,640 1,618 1,483 1,400 1,364 1,330 1,300	20 80 70 20 40 10 10 10	1,270 1,249 1,200 1,180 1,156 1,067 1,062 -	10 20 30 10 40 40 50 -
P ₂ O ₅	5,4 5,2 3,72 3,39 3,27 3,15 3,02 2,57 2,43 2,32 2,24 2,11 2,06	100 53 4 11 33 20 53 8 17 8 33 3 3	2,00 1,95 1,79 1,75 1,69 1,67 1,63 1,59 1,56 1,52 1,485 1,428 1,401	1 23 3 1 1 2 1 1 1 4 5 3 3	1,357 1,335 1,299 1,266 1,252 1,236 1,210 1,185 1,155 1,140 1,124 1,099 1,084	1 3 7 3 3 3 1 3 1 1 2 1 1
PCl ₅	6,7 5,8 4,98 4,69 3,98 3,66 3,47 2,95 2,87	3 13 100 75 20 5 15 50 25	2,78 2,44 2,32 2,19 2,08 2,01 1,94 1,86 1,82	100 20 10 10 5 15 13 3 3	1,79 1,67 1,60 1,57 1,472 1,420 1,300 1,212 -	5 3 13 5 5 3 3 3 -

(PNCL ₂) ₄	7,63 5,25 4,72 4,00 3,83 3,77 3,43 3,23 3,10 2,98	39 26 2 5 55 11 100 8 8 18	2,88 2,71 2,68 2,54 2,47 2,42 2,40 2,35 2,30 2,25	6 9 13 7 3 6 6 5 2 1	2,12 2,04 2,01 1,953 1,910 1,859 1,759 1,713 1,670 1,631	8 2 2 1 1 1 3 13 3 3
Мишьянк - As	3,555 3,180 2,780 2,054 1,891 1,781 1,764 1,662 1,562 1,387	76 100 4 12 8 16 16 48 32 20	1,368 1,286 1,223 1,201 1,182 1,119 1,107 1,088 1,068 1,041	20 28 92 24 84 36 36 56 60 80	1,023 0,998 0,955 0,942 0,929 0,922 0,908 0,891 0,854 -	96 40 64 72 44 44 88 52 68 -
As ₂ O ₃	6,3 3,18 2,75 2,53 2,24 2,12	56 100 24 32 8 16	1,95 1,66 1,59 1,54 1,438 1,343	24 16 8 16 8 8	1,301 1,266 1,205 1,064 - -	8 8 8 8 - -
As ₂ O ₅	7,1 5,6 4,88 4,01 3,58 3,40 3,21	30 30 100 10 60 60 20	3,05 2,70 2,62 2,34 2,26 2,18 2,10	50 20 40 10 20 20 10	2,02 1,89 1,84 1,77 1,71 - -	10 10 10 10 20 - -
As ₂ S ₃	4,82 4,42 4,00 3,70 3,19 3,05 2,85	100 7 47 47 20 13 47	2,70 2,55 2,45 2,31 2,12 2,07 2,02	53 7 47 13 13 13 7	1,91 1,85 1,74 1,68 1,64 - -	13 13 13 27 7 - -

AsI ₃	7,15	1	1,9880	15	1,4375	4
	5,40	12	1,7984	16	1,3558	5
	3,578	49	1,7880	2	1,3376	6
	3,536	2	1,7477	10	1,2687	4
	3,220	100	1,6096	6	1,1914	1
	2,538	20	1,6014	5	-	-
	2,0800	31	1,4986	1	-	-
Сурма - Sb	3,71	15	1,470	13	1,190	3
	3,10	100	1,410	20	1,120	3
	2,24	63	1,360	25	1,075	10
	2,14	63	1,310	8	1,047	3
	1,86	15	1,258	15	1,031	8
	1,76	44	1,243	10	-	-
	1,55	20	1,215	3	-	-
Sb ₂ O ₃	6,4	10	1,61	10	1,247	10
	3,22	100	1,56	10	1,217	1
	2,78	30	1,450	2	1,184	1
	2,56	8	1,394	6	1,138	4
	1,96	50	1,355	4	1,073	8
	1,68	50	1,283	15	-	-
Sb ₂ O ₄	3,49	1	1,856	20	1,371	1
	3,44	33	1,778	17	1,323	9
	3,07	100	1,719	27	1,251	8
	2,93	23	1,683	3	1,199	5
	2,65	17	1,633	7	1,157	7
	2,46	3	1,568	1	1,112	15
	2,39	7	1,525	2	1,055	8
	2,22	1	1,475	15	1,012	3
Sb ₂ O ₅	1,990	2	1,428	12	0,995	4
	6,0	100	1,82	50	1,180	8
	3,10	80	1,73	16	1,150	4
	2,97	80	1,55	36	1,075	4
	2,58	16	1,480	8	1,075	4
	2,36	4	1,440	8	1,048	4
	1,98	16	1,340	12	0,990	-

Sb ₂ (SO ₄) ₃	5,4 5,2 4,25 3,45 3,30 3,15 2,90 2,80 2,69 2,61	20 15 100 3 31 50 15 3 20 10	2,46 2,41 2,34 2,27 2,13 2,04 1,97 1,89 1,82 1,78	3 5 10 5 18 31 8 18 15 3	1,70 1,65 1,57 1,51 1,475 1,420 1,370 1,320 1,260 -	5 5 5 3 8 5 5 5 5 -
Висмут — Bi	3,28 2,35 2,27 2,01 1,96 1,86	100 50 50 7 13 30	1,63 1,54 1,490 1,440 1,327 1,180	20 3 20 27 13 3	1,135 1,089 1,073 1,045 1,020 -	10 7 7 3 3 -
Bi ₂ O ₃	3,42 3,25 2,69 2,54 2,39 2,03 1,95	5 100 88 5 15 5 25	1,87 1,82 1,75 1,66 1,58 1,490 1,395	15 5 20 10 10 10 5	1,305 1,270 1,225 1,195 1,120 -	5 5 5 5 5 -
Bi ₂ O ₃ ·P ₂ O ₅	4,68 4,20 3,52 3,30 3,08 2,87	40 60 20 20 100 100	2,60 2,45 2,33 2,18 2,12 1,95	20 20 20 20 20 20	1,81 1,73 1,58 1,53 -	40 40 20 40 -
Bi ₂ O ₄ ·2H ₂ O	3,73 3,20 2,95	17 17 100	2,74 2,14 1,93	33 17 17	1,75 1,62 -	17 33 -
BiO ₂ ·CrO ₄	10,5 4,90 3,55 3,20 2,93	50 5 5 100 5	2,80 2,70 2,58 2,40 2,32	5 5 10 5 5	2,05 1,88 1,65 1,58 -	5 5 5 10 -

Bi ₂ (SO ₄) ₃	5,6 5,2 4,30 3,36 3,13 2,94 2,74 2,62	75 75 100 37 50 13 75 25	2,45 2,36 2,17 2,07 1,99 1,91 1,87 1,71	13 13 25 25 13 13 13 13	1,67 1,60 1,53 1,490 1,440 1,360 1,225 -	13 13 13 13 13 13 13 -
Ванадий – V	2,14 1,51 1,236	100 7 20	1,072 0,958 0,875	3 3 1	0,810 0,759 0,714	3 1 1
V ₂ O ₃	3,65 2,70 2,47 2,32 2,18 2,03 1,83	60 80 60 2 20 2 25	1,69 1,61 1,57 1,470 1,429 1,330 1,235	100 2 3 25 30 10 4	1,218 1,193 1,170 1,125 1,093 1,057 -	2 2 6 3 6 6 -
V ₂ O ₅	5,7 4,38 4,09 3,39 2,87	33 100 13 83 53	2,76 2,68 2,61 2,18 1,99	13 7 13 7 7	1,92 1,86 1,77 1,65 1,56	13 7 10 7 7
VC	2,40 2,07 1,469 1,251	100 100 50 25	1,199 1,039 0,952 0,929	10 5 5 10	0,849 0,800 - -	5 3 - -
VCl ₅	11,4 5,6 5,2 4,30 4,00 3,68 3,50 3,30 3,11 3,01	100 100 5 25 18 5 10 8 3 3	2,78 2,63 2,52 2,42 2,34 2,24 2,15 2,00 1,93 1,82	75 25 25 3 3 8 8 10 5 5	1,67 1,63 1,55 1,51 1,440 1,390 1,330 1,260 - -	10 10 3 8 3 3 3 3 - -

(VO) ₂ (SO ₄) ₃ · 16H ₂ O	6,3 5,8 5,4 5,1 4,55 4,35 3,90 3,70 3,51	32 32 32 8 100 50 24 16 50	3,30 3,16 3,04 2,82 2,70 2,64 2,47 2,34 2,18	28 16 28 28 24 28 12 20 20	2,03 1,98 1,92 1,88 1,75 1,64 1,55 1,450 -	8 8 20 8 4 4 4 6 -
Ниобий – Nb	2,33 1,65 1,34	100 20 32	1,16 1,041 0,950	6 10 1	0,879 0,775 0,736	6 2 1
Nb ₂ O ₅	5,181 5,049 4,678 4,081 3,955 3,781 3,703 3,571 3,455 3,390 3,322 3,216 3,054	20 50 10 10 10 20 100 100 100 20 50 10 10	2,814 2,747 2,686 2,603 2,518 2,461 2,426 2,306 2,068 2,039 1,986 1,901 1,850	100 100 100 1 50 50 10 50 100 100 10 100 10	1,811 1,773 1,740 1,728 1,706 1,674 1,646 1,610 1,589 1,575 1,553 1,523 1,511	20 20 50 20 10 100 1 20 100 50 50 50 10
NbCl ₅	8,88 6,19 5,78 5,34 4,95 4,46 4,27 3,61	16 10 100 50 40 40 25 10	3,31 2,93 2,81 2,72 2,61 2,55 2,515 2,456	10 10 10 95 10 10 5 10	2,354 2,123 1,914 1,881 1,779 1,766 -	5 35 15 5 15 25 - -
Nb ₂ O ₅ · MnO	7,3 3,84 3,694 3,608 2,990 2,881 2,754	20 20 100 40 100 60 40	2,703 2,541 2,501 2,405 2,245 2,221 2,090	100 100 100 40 20 40 60	2,080 2,050 2,000 1,950 1,903 1,845 1,784	10 10 10 10 60 60 60

Nb ₂ O ₅	4,58	10	2,759	20	2,162	60
Fe ₂ O ₃	3,740	10	2,497	100	2,045	60
	3,582	100	2,446	60	2,015	40
	2,907	100	2,322	60	1,973	40
	2,806	10	2,196	40	1,864	60
	-	-	-	-	1,788	60
Тантал – Ta	2,33	100	1,346	30	1,042	5
	1,65	20	1,165	5	0,881	5
Ta ₂ O ₅	6,2	3	2,81	58	1,71	7
	5,7	17	2,61	23	1,66	10
	4,48	3	2,45	3	1,62	27
	3,96	100	2,29	3	1,52	3
	3,49	27	2,15	3	1,470	5
	3,23	23	1,98	42	1,400	5
	3,05	33	1,87	17	1,360	5
	2,95	13	1,77	50	1,322	13
TaO _x	2,374	50	1,399	40	0,962	30
	2,327	100	1,184	10	0,892	30
	1,678	50	1,170	30	0,881	30
	1,626	30	1,058	30	-	-
	1,364	60	1,035	30	-	-
TaO _x	2,411	100	1,415	40	1,014	30
	2,287	50	1,334	60	0,966	30
	1,795	40	1,190	30	0,923	30
	1,627	40	1,143	20	0,896	30
	1,594	40	1,125	20	0,866	30
TaO ₂	4,719	60	1,927	50	1,309	30
	2,722	100	1,669	70	1,285	20
	2,521	10	1,572	40	1,261	20
	2,352	60	1,491	10	1,146	30
	2,229	30	1,458	30	1,114	50
	2,112	30	1,423	40	1,084	30
	2,012	20	1,396	20	-	-
(Ta, Co, Ge) O	2,384	100	2,008	80	1,430	50
	2,357	50	1,950	20	1,417	20
	2,270	100	1,826	20	1,278	50
	2,225	50	1,768	20	-	-

Хром-Cr	2,052 1,436 1,172 1,014	100 40 80 50	0,909 0,829 0,768 0,718	60 20 70 10	0,6775 0,6420 0,6120 0,5865	40 30 30 30
CrO ₃	4,20 3,40 2,86 2,36 2,25 2,00 1,96	75 100 25 20 20 7 10	1,84 1,74 1,71 1,68 1,60 1,56 1,54	5 15 3 1 3 1 1	1,50 1,470 1,431 1,405 1,376 - -	5 1 3 5 2 - -
Cr ₂ O ₃	3,62 2,67 2,47 2,17 2,03 1,81 1,67	45 70 70 30 4 45 100	1,58 1,465 1,432 1,294 1,236 1,209 1,172	6 30 45 16 6 6 5	1,148 1,123 1,087 1,041 1,025 0,946 -	6 6 12 10 2 6 -
Cr(NO ₃) ₃ ·9H ₂ O	6,7 6,3 5,7 4,90 4,51 4,04 3,80 3,63 3,43 3,27 3,13 3,01 -	75 75 5 35 50 100 50 50 10 45 5 45 -	2,92 2,78 2,61 2,54 2,39 2,32 2,25 2,20 2,13 2,09 2,04 1,95 -	15 10 75 30 75 5 15 20 10 35 30 10 -	1,90 1,82 1,78 1,73 1,69 1,62 1,58 1,53 1,490 1,460 1,410 1,367 1,319	40 10 20 5 25 10 10 5 5 10 10 10 10
CrK(SO ₄) ₂ ·12H ₂ O	7,0 5,5 4,98 4,31 4,08 3,68 3,26 3,04	12 16 8 100 30 60 35 30	2,87 2,81 2,72 2,59 2,48 2,34 2,25 2,15	2 12 12 6 12 6 6 4	2,03 1,97 1,93 1,85 1,74 1,69 1,63 -	12 6 16 4 4 8 10 -
Молибден-Mo	2,22 1,57 1,281 1,114 0,995	100 56 37 17 23	0,908 0,841 0,787 0,742 0,704	7 23 3 14 11	0,672 0,643 0,617 - -	9 6 14 - -

Mo ₂ O ₃	3,42	100	1,405	20	1,032	2
	2,42	80	1,350	2	1,015	1
	2,22	40	1,305	2	0,997	6
	2,17	3	1,285	24	0,976	2
	1,84	6	1,211	16	0,955	2
	1,71	80	1,180	2	0,920	6
	1,57	6	1,141	6	0,880	2
	1,53	16	1,114	6	0,857	5
	1,470	3	1,087	4	0,842	5
MoO ₂	4,78	20	2,405	40	1,833	35
	3,41	100	2,398	50	1,718	55
	2,804	30	2,176	30	1,704	80
	2,433	50	2,171	10	1,692	50
	2,420	85	2,147	30	-	-
MoO ₃	7,0	15	2,528	15	1,822	35
	3,82	85	2,377	30	1,788	20
	3,47	20	2,312	20	1,754	5
	3,44	40	2,277	25	1,735	65
	3,27	100	2,135	25	1,720	5
	3,01	10	1,982	40	1,694	40
	2,707	40	1,965	50	1,666	70
	2,657	70	1,907	5	1,630	40
	2,613	5	1,852	80	-	-
Mo(PO ₃) ₃	5,546	5	3,002	5	2,334	15
	5,379	40	2,927	5	2,299	5
	4,750	25	2,857	25	2,268	20
	3,950	100	2,785	25	2,217	5
	3,752	10	2,690	5	2,140	5
	3,661	20	2,658	5	2,116	5
	3,505	45	2,482	30	2,070	15
	3,350	20	2,438	5	2,011	5
	3,136	10	2,403	5	1,9741	10
	3,075	5	2,381	10	-	-
Вольфрам – W	2,23	100	1,000	29	0,707	6
	1,58	29	0,913	6	0,674	6
	1,290	71	0,846	34	0,622	6
	1,117	17	0,745	11	-	-
WO ₂	4,78	15	2,418	80	1,731	40
	3,45	100	2,393	50	1,724	65
	2,828	20	2,181	15	1,709	45
	2,446	45	2,150	10	1,698	50
	2,436	55	1,847	20	-	-
	2,428	20	1,827	20	-	-

WO ₃	3,835 3,762 3,642 3,342 3,109 3,076	100 95 100 50 50 50	2,684 2,661 2,617 2,528 2,509 2,172	75 60 90 35 40 50	2,149 2,098 2,038 2,020 2,011 -	60 10 40 30 25 -
W ₂ C	2,35 1,77 1,35	70 70 100	1,27 1,26 1,19	20 20 70	1,08 1,00 -	20 100 -
W ₂ Zr	4,40 2,69 2,30 2,20 1,90 1,74 1,55	20 10 100 90 30 20 10	1,46 1,35 1,28 1,20 1,16 1,15 1,10	80 80 20 10 50 90 10	1,07 1,02 0,99 0,95 0,93 -	20 10 100 30 10 -
W ₄ H ₂ O ₁₃	5,3 3,48 2,93 2,69 2,60 2,55 2,37 2,31 2,23	50 100 8 5 10 25 10 8 3	2,10 1,97 1,84 1,73 1,69 1,63 1,60 1,50 1,470	3 8 20 15 3 13 8 5 5	1,410 1,305 1,276 1,245 1,215 1,189 1,157 -	5 3 3 3 3 3 5 -
Марганец- α-Mn	2,36 2,22 2,09 1,89 1,81 1,74 1,340 1,283	2 2 100 20 10 16 2 7	1,258 1,210 1,190 1,130 1,048 0,983 0,960 0,936	10 28 2 3 6 2 2 3	0,834 0,820 0,813 0,801 0,793 0,770 -	2 2 2 2 2 2 -
β-Mn	2,81 2,10 2,00 1,90	7 100 66 27	1,68 1,485 1,410 1,237	7 3 3 30	1,170 1,064 1,051 -	20 3 3 -
MnO	2,56 2,22 1,57 1,339	66 100 66 23	1,281 1,110 1,019 0,994	17 7 7 17	0,906 0,853 -	7 3 -

Mn ₂ O ₃	3,82 2,68 2,32 1,991 1,836 1,707 1,656	30 100 23 12 17 1 72	1,609 1,520 1,447 1,414 1,383 1,353 1,300	1 3 6 60 6 4 1	1,276 1,252 1,171 1,155 1,139 1,076 1,049	3 1 2 3 1 8 6
MnO ₂	3,11 2,40 2,21 2,12	100 50 4 12	1,98 1,62 1,56 1,440	4 50 12 8	1,390 1,303 1,050 1,001	4 16 4 4
Mn ₃ O ₄	4,92 3,08 2,87 2,75 2,56 2,48 2,36 2,22	20 31 8 63 8 100 13 31	2,03 1,79 1,70 1,64 1,57 1,54 1,466 1,438	15 18 5 5 50 50 3 18	1,384 1,340 1,300 1,277 1,237 1,192 1,123 -	4 8 3 13 4 5 4 -
MnAl ₂ O ₄	2,92 -	17 -	2,49 -	50 -	2,39 1,398	50 100
MnCO ₃	3,65 2,84 2,36 2,16	30 100 14 12	2,00 1,82 1,76 1,53	12 2 50 6	1,452 1,365 1,298 -	4 4 2 -
Иод – I ₂	3,69 3,09 2,52 2,44 2,33	100 100 8 18 15	2,11 2,02 1,97 1,81 1,76	15 20 30 10 10	1,71 1,51 1,460 1,400 -	20 10 8 5 -
I ₂ O ₅	4,03 3,79 3,40 3,28 3,18 2,92 2,83 2,74 2,53	15 50 75 100 15 5 3 5 13	2,44 2,35 2,28 2,18 2,08 2,02 1,96 1,90 1,83	13 5 5 13 10 5 5 5 10	1,79 1,74 1,71 1,66 1,62 1,59 1,56 -	8 5 13 5 3 10 13 -

HIO ₃	4,69 4,51 4,035 3,868 3,577 3,233 3,172 2,941 2,790 2,768 2,746 2,608 2,596 2,506 2,462 2,385 2,362 2,340 2,252	15 31 100 9 38 43 53 7 31 16 26 19 32 11 23 9 7 8 2	2,173 2,157 2,104 2,017 1,950 1,934 1,900 1,888 1,838 1,830 1,798 1,788 1,762 1,744 1,718 1,669 1,665 1,603 1,586	2 11 22 3 17 3 7 5 6 30 26 9 14 14 9 5 7 10 4	1,567 1,563 1,561 1,551 1,531 1,490 1,478 1,454 1,450 1,444 1,396 1,369 1,359 1,3476 1,3368 1,3280 1,3161 1,3037 -	5 10 18 4 9 2 3 5 9 10 5 6 8 4 6 6 2 1 -
I ₃ Y	6,92 3,752 3,463 3,301 3,095 2,624 2,549	40 30 50 100 20 10 60	2,401 2,309 2,224 2,164 2,117 2,066 2,021	10 20 10 80 10 20 10	2,002 1,971 1,874 1,837 1,809 1,734 1,700	10 50 10 50 50 40 10
Темир- α -Fe	2,0268 1,4332	100 19	1,1702 1,0134	30 9	0,9064 0,8275	12 6
Темир - γ - Fe	2,07 1,80	100 50	1,26 1,081	32 32	1,018 -	4 -
FeO	2,47 2,14 1,51	50 100 63	1,293 1,238 1,072	15 8 3	0,984 0,959 0,876	3 5 3
Fe ₂ O ₃	3,68 2,69 2,51 2,20 1,84 1,69 1,60 1,485	18 100 75 18 63 63 13 50	1,452 1,351 1,308 1,259 1,230 1,190 1,163 1,140	50 3 18 13 3 8 5 13	1,104 1,056 0,962 0,954 0,900 0,881 0,843 -	10 8 10 5 3 5 5 -

Fe ₃ O ₄	4,85 2,97 2,53 2,42 2,10 1,71 1,61 1,483	6 28 100 11 32 16 64 80	1,326 1,279 1,210 1,121 1,092 1,049 0,970 0,966	6 20 5 10 32 10 16 8	0,940 0,880 0,859 0,853 0,825 0,814 0,809 -	6 10 20 8 2 10 5 -
Магнетит – Fe Fe ₂ O ₄	4,21 2,99 2,541 1,428 2,098	1 6 10 3 7	1,710 1,612 1,479 1,325 1,277	5 9 9 3 5	1,264 1,174 1,119 1,091 1,047	2 1 4 8 6
FeSO ₄	4,78 3,58 3,25 2,56 2,40 2,28 2,23 2,05 -	24 13 100 13 2 13 10 11 -	1,99 1,83 1,78 1,70 1,63 1,59 1,55 1,440 -	20 16 2 3 20 20 10 6 -	1,420 1,361 1,281 1,251 1,200 1,140 1,110 1,014 1,000	2 5 13 2 8 3 2 2 3
3FeO·Al ₂ O ₃ · 3SiO ₂	2,61 1,84	100 80	1,17 -	60 -	1,06 -	55 -
Кобальт – α – Co	2,182 1,920 1,490 1,250 1,145	80 100 20 70 30	1,064 1,045 0,953 0,839 0,788	60 30 10 20 20	0,752 0,738 0,717 -	10 10 10 -
β – Co	2,04 1,77 1,253 1,066	100 44 22 22	1,021 0,886 0,813 0,792	5 3 3 3	0,723 0,682 -	3 3 -
CoO	2,45 2,12 1,50 1,281	67 100 100 40	1,227 1,060 0,975 0,951	40 10 10 30	0,869 0,819 -	20 7 -
Co(OH) ₂	4,40 2,44 2,31 1,80	100 23 83 40	1,50 1,425 1,367 1,215	8 40 27 5	1,196 1,162 1,120 -	1 4 4 -

CoCO ₃	3,64 2,76 2,34	40 100 11	2,12 1,96 1,71	11 11 71	1,50 1,415 1,355	11 11 6
CoB ₂ O ₄	2,88	75	1,745	6	1,278	6
	2,53	6	1,649	24	1,232	12
	2,44	100	1,600	12	1,081	6
	2,08	3	1,555	75	1,052	12
	2,03	12	1,427	75	1,010	4
	1,856	3	1,367	3	-	-
CoFe ₂ O ₄	4,89	8	1,608	45	1,087	20
	2,95	40	1,476	65	1,045	40
	2,51	100	1,320	3	0,985	2
	2,41	5	1,275	13	0,965	8
	2,08	15	1,204	3	-	-
	1,702	8	1,117	5	-	-
CoCrO ₄	3,30	50	2,62	100	1,73	50
	3,10	50	2,36	50	1,65	25
	2,89	50	2,04	25	1,55	50
CoCr ₂ O ₄	4,84	4	1,796	2	1,266	10
	2,94	33	1,696	19	1,200	1
	2,83	5	1,652	1	1,110	5
	2,51	100	1,599	43	1,082	23
	2,40	4	1,467	60	1,038	4
	2,07	27	1,312	3	-	-
Никель - Ni	2,03	100	1,061	32	0,788	8
	1,76	50	1,017	4	0,719	8
	1,244	32	0,808	8	0,678	8
NiF ₂	3,30	100	1,719	62	1,383	15
	2,55	62	1,650	15	1,257	5
	2,23	20	1,516	10	1,120	5
Ni(OH) ₂	4,60	67	1,75	7	1,348	7
	2,70	100	1,56	53	1,295	7
	2,33	67	1,48	33	-	-
NiO	2,40	60	1,203	12	0,852	3
	2,08	100	1,042	2	0,802	2
	1,474	60	0,957	4	-	-
	1,258	24	0,933	6	-	-
NiSO ₄	4,30	40	1,96	6	1,480	13
	3,92	24	1,87	10	1,431	6
	3,58	40	1,78	24	1,398	24
	3,33	24	1,67	14	1,350	8
	3,15	2	1,62	2	1,309	11
	2,55	100	1,58	8	1,285	3
	2,33	40	1,55	3	1,219	3
	2,00	20	1,51	3	-	-
NiAl ₂ O ₄	2,43	75	2,01	75	1,55	13
	-	-	-	-	1,421	100

NiMnO ₄	4,85 2,97 2,53 2,41 2,09	12 30 100 25 50	1,71 1,61 1,480 1,280 1,260	8 40 60 8 12	1,207 1,119 1,090 1,048 -	8 4 10 4 -
Ni ₃ (PO ₄) ₂ · 8H ₂ O	7,8 6,6 4,80 4,47 4,00 3,78 3,58 3,13 2,91	36 100 40 28 20 36 8 32 50	2,66 2,56 2,47 2,37 2,26 2,18 2,14 2,03 1,89	40 12 20 24 20 20 20 16 16	1,856 1,775 1,740 1,634 1,550 1,489 1,450 1,384 1,313	8 8 16 20 20 8 8 4 8
Уран (IV)оксид - UO ₂	3,157 2,735 1,934 1,649	100 48 49 47	1,579 1,368 1,255 1,223	13 9 18 15	1,1163 1,0523 -	13 15 -
Ураноксид - U ₃ O ₈	4,10 3,38 2,61 2,06 1,971 1,943 1,782 1,760 1,702	4 10 7 3 5 6 2 8 5	1,673 1,578 1,547 1,501 1,431 1,415 1,376 1,314 1,297	4 4 3 1 2 3 1 2 4	1,277 1,238 1,219 1,134 1,123 1,100 0,991 -	5 4 3 1 2 5 5 -
Кислород - O ₂	3,17 3,04 2,92 2,75	Kз. Ў. Kз. Kи.	2,58 1,91 1,72 1,65	Kи. Ў. Kз. Kз.	1,60 1,46 1,36 -	Ки. Кз. Ў. -
Муз - I - H ₂ O	3,92 3,67 3,44 2,68	10 100 20 15	2,26 2,065 1,920 1,516	10 50 10 15	1,368 1,300 1,250 1,167	2 3 3 5
Муз - II - H ₂ O	3,8 3,0 2,7 2,19 2,10 1,94	9 10 8 9 9 6	1,85 1,74 1,70 1,59 1,46 1,43	6 6 6 6 6 6	1,34 1,29 1,26 1,18 1,14 -	6 8 6 4 6 -
Муз - III - H ₂ O	3,60 3,39 2,90 2,66 2,55 2,28 2,10 2,07	10 8 8 6 8 6 8 8	1,92 1,86 1,79 1,68 1,62 1,58 1,53 1,48	8 6 6 7 4 6 5 6	1,46 1,43 1,38 1,36 1,32 1,28 1,23 1,20	6 6 4 7 4 6 6 6

Такрорлаш учун саволлар

1. Рентген нури қачон ва ким томонидан кашф этилган?
2. Рентген нурларининг тўлқин узунлигини мкм ва \AA лар ўлчовида келтиринг.
3. «Қаттиқ» ва «юмшоқ» рентген нурлари деб қандай тўлқин узунлигига эга бўлган нурларга айтилади?
4. Ота-бала Брегглар томонидан тақдим қилинган рентген нури дифракциясига оид формулани ёзиб беринг.
5. Рентген нури ёрдамида бажариладиган рентгенологик текшириш усулларини санаб беринг.
6. Фотоусул ишлари учун мўлжалланган қандай рентгеноту-зилма таҳлили аппаратларини биласиз?
7. Нурланишни ионизациян қайд этиш таҳлили аппаратла-рини номи ва русумини келтиринг.
8. Рентген аппаратларининг асосий қисмларининг номлари ва тузилиши ҳақида маълумотлар беринг.
9. Рентген трубкаси рентгенографик аппаратларда қандай ролни бажаради, улар конструктив қандай деталлардан ташкил топган?
10. Кенотрон, чўғланиш реостати, юқори вольтли транс-форматор каби рентген аппарати қисмларининг тузилиши ва вазифалари ҳақида маълумотлар келтиринг.
11. РКД-57 камерасининг тузилиши ва асосий қисмлари ҳақида фикрингизни билдиринг.
12. УРС-50И ионизациян рентген қурилмасининг принци-пиал блок-чизмасини келтиринг.
13. Рентгенографик таҳлилдан фойдаланиш имкониятлари қандай?
14. Рентгенографик таҳлил афзалликларини санаб беринг.
15. Рентгенографик усул камчиликлардан холими?

ФОЙДАЛАНИЛГАН АДАБИЁТЛАР РЎЙХАТИ

1. Азимов Ш.Ю., Тожиев Ф.Х. Анерганик моддаларнинг физика - кимёвий анализи. -Тошкент: Ўқитувчи, 1977.-132 б.
2. Азимов Ш.Ю., Исматов А.А., Федоров Н.Ф. Апатиты их редкоземельные аналоги.- Ташкент: ФАН, 1990.-116 с.
3. Алексеев А.Г., Варгин В.В. Катализированная регулируемая кристаллизация стекол литиевоалюмосиликатной системы.-М.-Л.: Химия, 1964.-120с.
4. Берг Л.Г. Введение в термографию. -М.: АН СССР, 1961.
5. Берг Л.Г., Бурмистров Н.П., Озерова М.И., Цуриков Г.Г. Практическое руководство по термографии. -Казан: КазанГУ, 1967.
6. Вегман Е.Ф., Руфанов Ю.Г., Федорченко И.Н. Кристаллография, минералогия, петрография и рентгенография. - М.: Металлургия, 1990.- 262 с.
7. Винчелл А.Н., Винчелл Г. Оптические свойства искусственных минералов. - М.: Мир, 1967.-526 с.
8. Васильев Е.К., Кащаева Г.М., Ушаповская З.Ф. Рентгенографический определитель минералов. -М.: Наука, 1974.
9. Горшков В.С., Тимашев В.В., Савельев В.Г. Методы физико-химического анализа вяжущих веществ. - М.: Высшая школа, 1981.-281 с.
10. Драго Р. Физические методы в неорганической химии.-М.: Мир, 1967.
11. Егунов В.П. Введение в термический анализ.- Самара, Самара ГУ, 1996. -270 с.
12. Зинюк Р.Ю., Балыков А.Г., Гавриленко И.В. ИК спектроскопия в неорганической технологии. -Л.: Химия, 1983.
13. Исматов А.А., Сирахиддинов Н.А. Свойства и изоморфизм мелилитов. -Ташкент: ФАН, 1983.-152с.
14. Исматов А.А., Юнусов М.Ю., Максудов Д.И. Полевошпатовое сырье Средней Азии для производства фарфора.-М.: Легпромбытиздан, 1988.-136с.
15. Исматов А.А. Синтез и физико-химическое исследование некоторых классов неорганических соединений. - Дисс. на соис. уч. ст. доктора химических наук.- Л.: ЛТИ, 1972. - 347с.
16. Исматов А.А., Шерназарова М.Т., Якубов Т.Н. Стеновая керамика с использованием палеоглин и лессовых пород. - Ташкент: ФАН, 1993. -- 118с.

17. Кристаллография, рентгенография и электронная микроскопия. — М.: Металлургия, 1982.-632с.
18. Козлова О.Г. Морфологи — генетический анализ кристаллов. — М.: МГУ, 1991. — 223 с.
19. Ковба Л.М., Трунов В.К. Рентгенофазовый анализ. — М.: МГУ, 1969-160 с.
20. Лазарев А.Н. Колебательные спектры и строение силикатов. — Л.: Наука, 1968.-347 с.
21. Леонов А.И. Высокотемпературная химия кислородных соединений церия. — Л.: Наука, 1969.-201с.
22. Липовский В.Н., Берёзкин В.Т. Автоматические газовые потоковые хромотографы. —М.: Химия, 1982.
23. Минералогическая энциклопедия. — Л.: Недра, 1985.-512с.
24. Минералогический справочник технолога — обогатителя. —Л.: Недра, 1985.-264с.
25. Миркин Л.И. Справочник по рентгеноструктурному анализу поликристаллов. — М.: Физматгиз, 1961.-863 с.
26. Михеев В.И., Сальдау Э.П. Рентгенофотический определитель минералов [Т.II]. — Л.: Недра, 1965.-364с.
27. Славин В. Атомно-абсорбционная спектрометрия.- М.: Химия, 1971.
28. Плюснина И. И. Инфракрасные спектры силикатов. - М.: МГУ, 1967.-189с.
29. Плюснина И. И. Инфракрасные спектры минералов. - М.: МГУ, 1977.-174с.
30. Справочник по электротехническим материалам / Под. ред. Корисского Ю.М., Пасынкова В.В., Тареева Б.М. в 3-х томах. —М.: Энергоатомиздат, 1986 т. 1; 1987 т.2: 1988 т.3
31. Таблица физических величин. Справочник / Под. ред. И.К.Кикоина.- М.: Атомиздат, 1976.-106 с.
32. Торопов Н.А., Барзаковский В.П., Лапин В.В., Курцева Н.Н. Диаграмма состояния силикатных систем. Справочник. Выпуск первый. Двойные системы. — Л.: Наука, 1969. — 822с.
33. Фекличев В.Г. Диагностические спектры минералов.- М.:Недра, 1977.-228с.
34. Юнусов М.Ю., Ильганаев В.Б., Исматов А.А. Мало-и многожелезистые оксидные стекла.-Ташкент: Узбекистан, 1991.-128 с.
35. Құшмуродов О.Қ., Зоҳидов К.С. Элементлар геокимёси.-Тошкент: ТДТУ, 1996.-72 бет.

36. Ҳамробоев И.Х, Ражабов Ф.Ш. Петрография ассолари.
-Тошкент: Ўқитувчи, 1984.-184 б.
37. Schaumburg H. (Hrsg.). Keramik. – Stuttgart, B.G.Teubner,
1994. – 654р.

МУНДАРИЖА

СЎЗ БОШИ.....	3
КИРИШ.....	4
БИРИНЧИ БОБ. ФИЗИК-КИМЁВИЙ ТАҲЛИЛНИНГ АСОСИЙ УСУЛЛАРИ	
1-§. Физик-кимёвий таҳдил усулларини ривож- лантиришда жаҳон, Марказий Осиё ва Ўзбекистон олимларининг ҳиссаси.....	7
2-§. Физик-кимёвий таҳдил таърифи	8
3-§. Фанда қўлланиладиган асосий тушунчача- лар.....	10
4-§. Физик-кимёвий таҳлилнинг асосий усулла- ри.....	11
5-§. Физик-кимёвий, термик ва бошқа таҳдил усуллари ёрдамида аниқланадиган кўрсаткичлар.....	14
Такрорлаш учун саволлар.....	15
ИККИНЧИ БОБ. МИКРОСКОПИК ТАҲЛИЛ	
6-§. Микроскопик текшириш усули аҳамияти ва ривожи.....	16
7-§. Кристаллооптика усули.....	18
8-§. Таҳлилда аниқланадиган асосий хусусиятлар..	19
9-§. Усулдан фойдаланишнинг имкониятлари.....	23
10-§. Усулнинг афзаллиги ва камчиликлари.....	24
11-§. Микроскопия усули аппаратлари.....	25
12-§. Микроскоплар учун мосламалар.....	30
13-§. Препаратларни тайёрлаш усуллари.....	32
14-§. Микрофотография намуналари.....	34
15-§. Тупроқ, минераллари, баъзи бир оксидлар ва кальций оксиди-кремний оксиди тизимидағи фаза- ларнинг оптик характеристикалари.....	38
16-§. Диагностика мақсадларида фойдаланилади- ган микроскопик кўрсаткичлар.....	41
Такрорлаш учун саволлар.....	73

УЧИНЧИ БОБ. ИНФРАҚИЗИЛ СПЕКТРО-СКОПИК ТАҲЛИЛ

17-§. Инфрақизил нурларнинг табиати.....	75
18-§. Моддаларнинг инфрақизил спектрлари.....	77
19-§. Кальцит минералининг инфрақизил спектрлари ҳақида.....	82
20-§. Таҳлил имкониятлари.....	85
21-§. Усулнинг афзаллиги ва камчиликлари.....	93
22-§. Инфрақизил спектроскопия усули апаратлари.....	94
23-§. ИК спектрометрларнинг соддалаштирилган схемаси.....	95
24-§. Препаратларни тайёрлаш усули.....	99
25-§. ИК спектрларни ёзиб олиш.....	100
26-§. Муҳим фазаларнинг ИК спектрлари.....	103
27-§. Инфрақизил спектроскопик таҳдилга оид диагностик маълумотлар.....	107
Такрорлаш учун саволлар.....	112

ТЎРТИНЧИ БОБ. ТЕРМИК ТАҲЛИЛ

28-§. Термография усули табиати.....	114
29-§. Термик таҳдил.....	116
30-§. Дифференциал термик таҳдил (ДТА).....	119
31-§. Комплекс термик таҳдил.....	120
32-§. Дериваторграфик таҳдил.....	121
33-§. Усулнинг аппаратуралари.....	122
34-§. Дериваторграф.....	125
35-§. Тензиметрия, газоволюметрия ва дилатометрия асбоблари.....	127
36-§. Препарат тайёрлаш усуллари.....	128
37-§. Усулнинг имкониятлари, афзаллиги ва камчиликлари.....	129
38-§. Кимёвий жарабёнларда содир бўладиган термик эфектларга оид маълумотлар.....	131
Такрорлаш учун саволлар.....	138

БЕШИНЧИ БОБ. РЕНТГЕНОГРАФИК ТАҲЛИЛ

39-§. Рентген нурларининг хоссалари.....	139
40-§. Рентген нурларининг дифракцияси.....	141
41-§. Рентген нурларини олиниши.....	144
42-§. Кристалл панжара текисликлариаро масофа- ни ҳисоблаш.....	146
43-§. Текшириш усуллари.....	147
44-§. Рентгенографик усул аппаратлари.....	148
45-§. Аппаратларнинг асосий қисмлари.....	152
46-§. Фотоусулнинг рентген камералари.....	157
47-§. Нурланишни ионизацион қайд этиш таҳлили аппаатлари.....	160
48-§. Нурланиш детекторларининг қисқача тавси- фи.....	163
49-§. Фотоусул ишлари учун мўлжалланган аппа- ратларда рентгенограмма олиш усуллари.....	165
50-§. Нурланишни ионизацион қайд этиш таҳлили аппаратларида дифрактограмма олиш усул- лари.....	173
51-§. Рентгенографик таҳлилдан фойдаланиш им- кониятлари.....	174
52-§. Рентгенографик таҳлил афзалиги.....	176
53-§. Усул камчиликлари.....	177
54-§. Кимёвий модда ва бирималарга оид рентге- нографик маълумотлар	179
Такрорлаш учун саволлар.....	261
ФОЙДАЛАНИЛГАН АДАБИЁТЛАР РЎЙХАТИ....	262

А.А.Исматов

**Силикат ва зўргасуюлувчан
материаллар физик-кимёвий таҳлилининг
замонавий усуллари**

Тошкент-«Fan va texnologiya» -2006

Муҳаррир: М.Тожибоева

Тех.муҳаррир: А.Мойдинов

Мусаҳҳих: К.Авезбоев

Босишга руҳсат этилди 20.01.2006.

Бичими 60x841/16. Оффсет қофози. Нашр табоби 16,75.

Адиди 1000. Буюртма №13.

«Fan va texnologiya» нашриёти, 700003, Тошкент, Олмазор, 171.
Шартнома № 01-06.

«Фан ва технологиялар Марказининг» босмахонасида
чоп этилди. Тошкент, Олмазор, 171.

